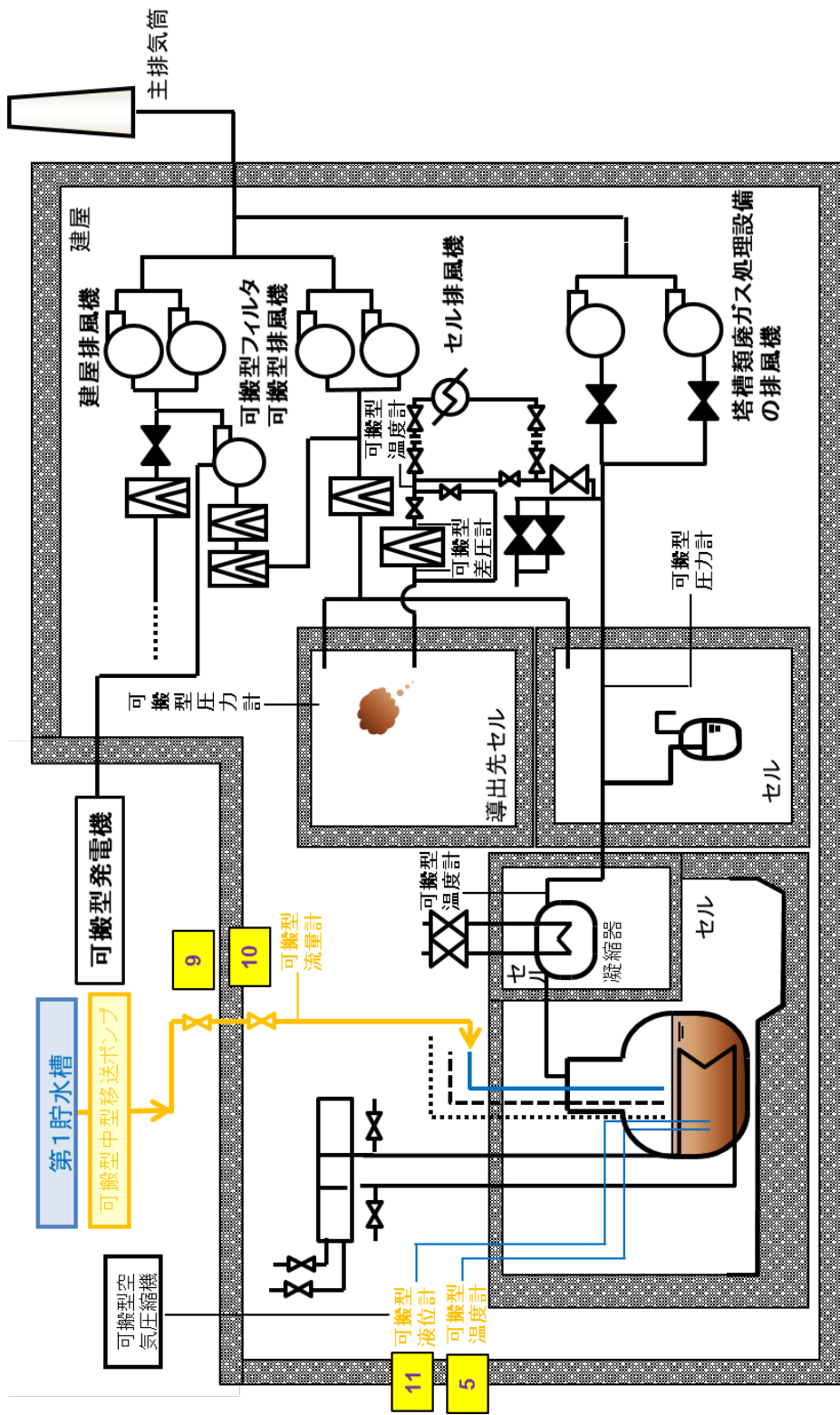


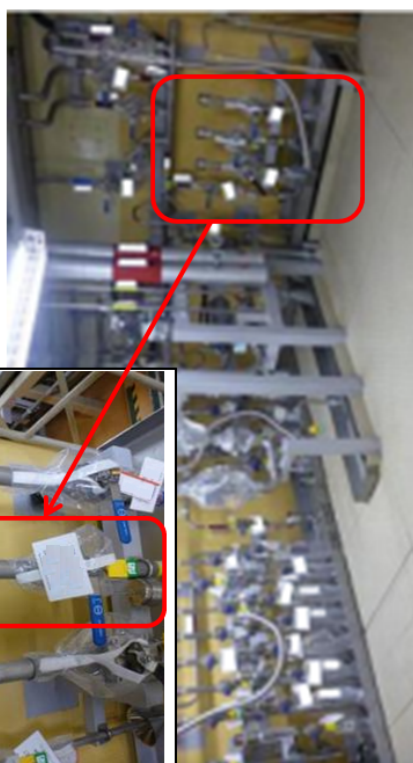
【分離建屋の蒸発乾固の拡大防止対策（貯槽等への注水）の概要】



※ 経路構成については、設計進捗により変更の可能性が有り

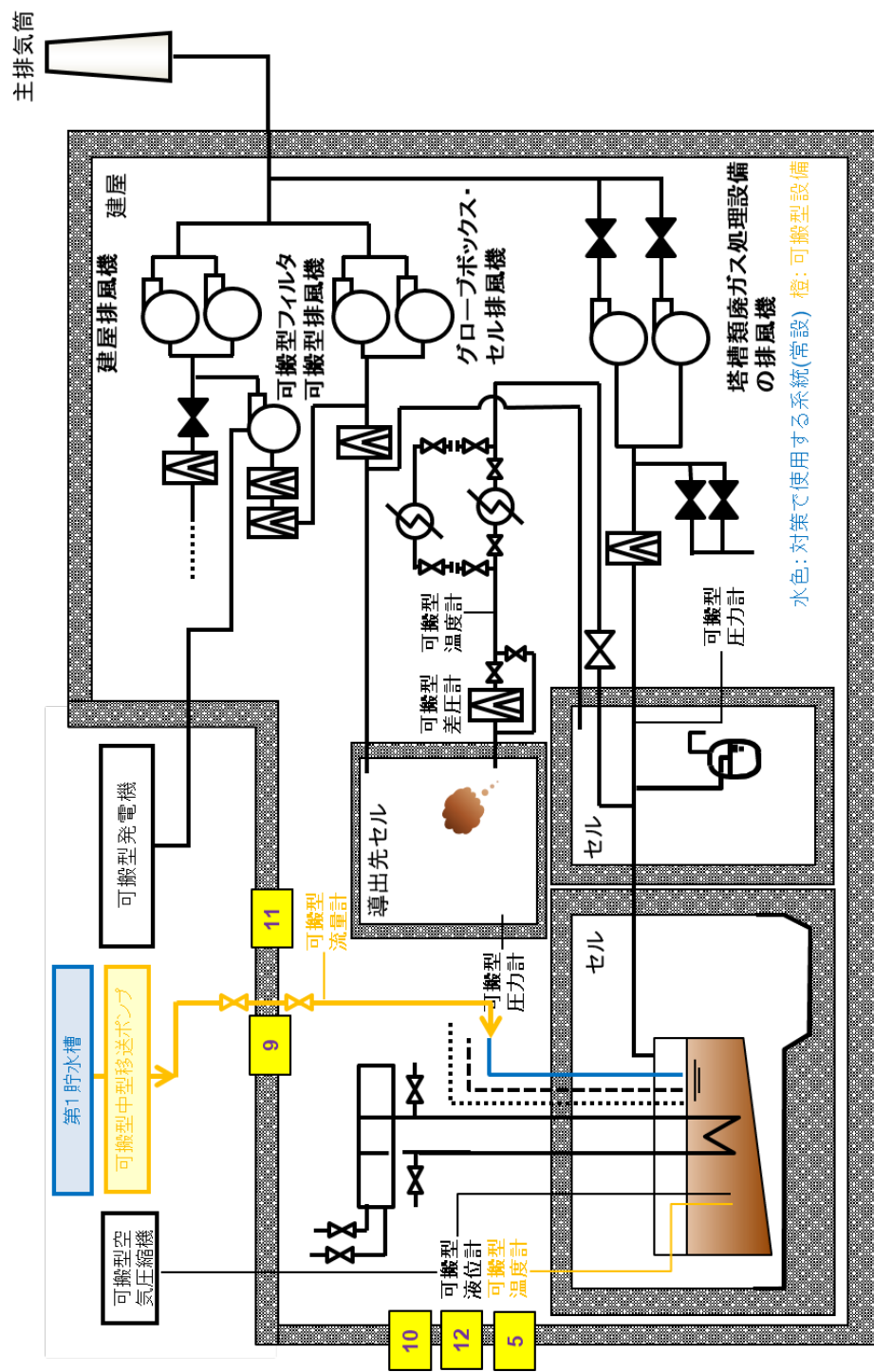
水色: 対策で使用する系統(常設) 橙: 可搬型設備

第2.－3図 分離建屋の貯槽等への注水概要図

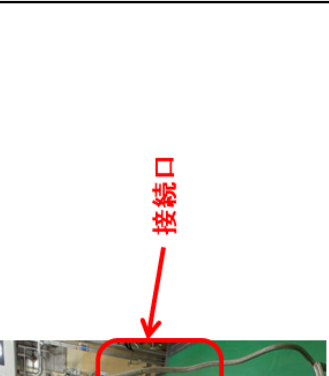
<p>9 ホース敷設、ホース接続</p> 	<p>10 漏えい確認等／貯槽等注水</p> <p>【作業概要】 対象貯槽への供給弁を閉止した状態で一度注水し、敷設したホース等からの漏えいがないことを確認する。 対象貯槽への注水(は、可搬型液位計設置後、貯槽等の液位の低下が確認(初期液量の70%)された場合は、貯槽等への注水を開始する。</p> 	<p>11 貯槽液位計設置及び貯槽液位測定</p> <p>【作業概要】 可搬型液位計を設置し、対象貯槽の液位を確認する。</p> 
	<p>5 貯槽温度測定</p> <p>【作業概要】 発生防止対策時に設置した可搬型温度計を用いて、対象貯槽の温度推移を確認する。</p> 	

第2.-4図 分離建屋の貯槽等への注水概要

【精製建屋の蒸発乾固の拡大防止対策（貯槽等への注水）の概要】

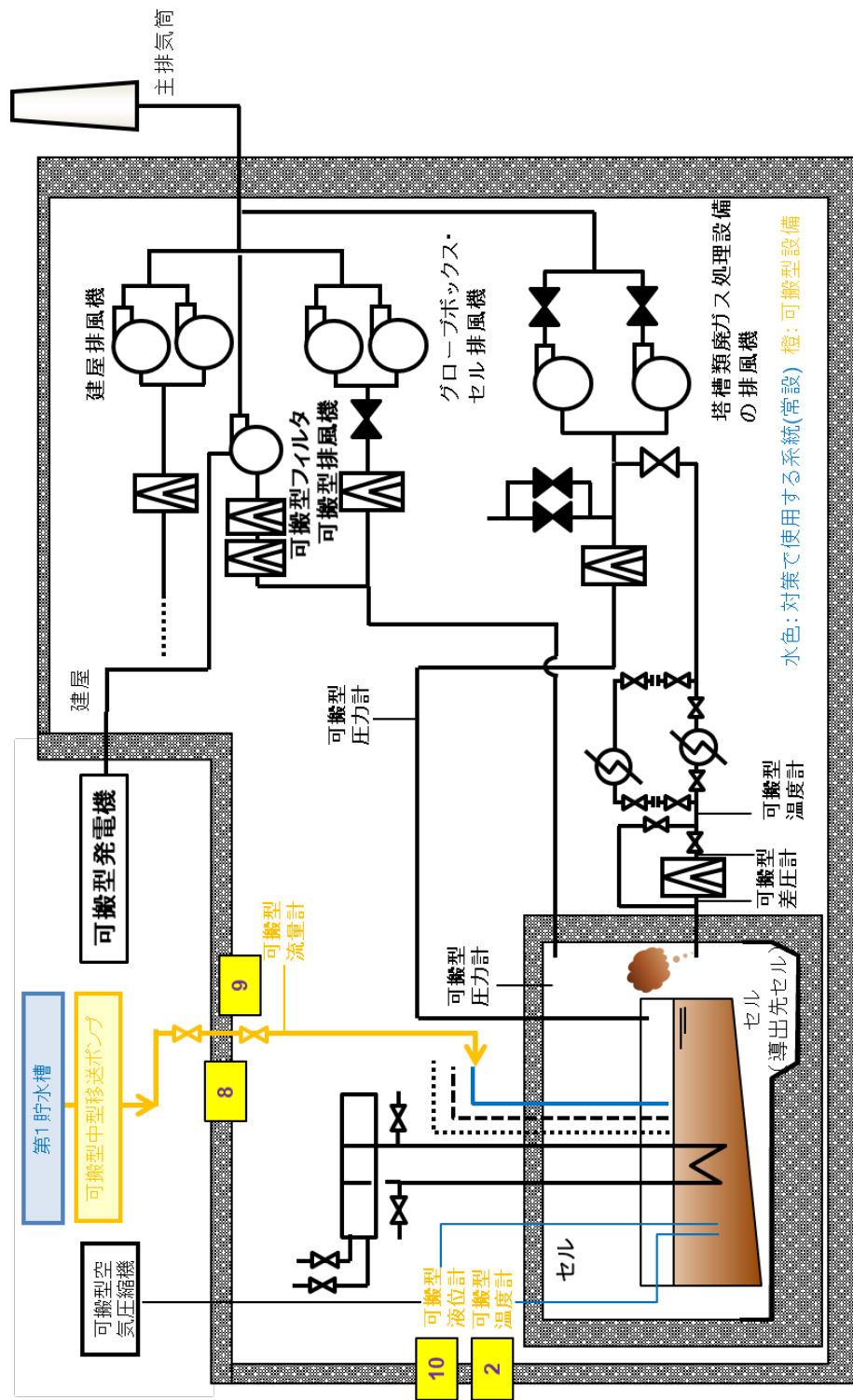


第2.－5図 精製建屋の貯槽等への注水概要図

<p>9 ホース敷設、ホース接続</p> <p>【作業概要】 対象貯槽へ屋外から注水するため、ホース敷設、可搬型流量計設置等を実施する。</p> <p>11 漏えい確認等／貯槽等注水</p> <p>【作業概要】 対象貯槽への供給弁を閉止した状態で一度注水し、敷設したホース等からの漏えいがないことを確認する。 対象貯槽への注水は、可搬型液位計設置後、貯槽等の液位の低下が確認(初期液量の70%)された場合は、貯槽等への注水を開始する。</p>  	<p>10 液貯槽液位計設置</p> <p>【作業概要】 可搬型液位計を設置し、対象貯槽の液位を確認する。</p> 	<p>12 貯槽液位測定</p> <p>【作業概要】 発生防止対策時に設置した可搬型温度計を用いて、対象貯槽の温度推移を確認する。</p> 
--	---	---

第2.－6図 精製建屋の貯槽等への注水概要

【ウラン・プルトニウム混合脱硝建屋の蒸発乾固の拡大防止対策（貯槽等への注水）の概要】



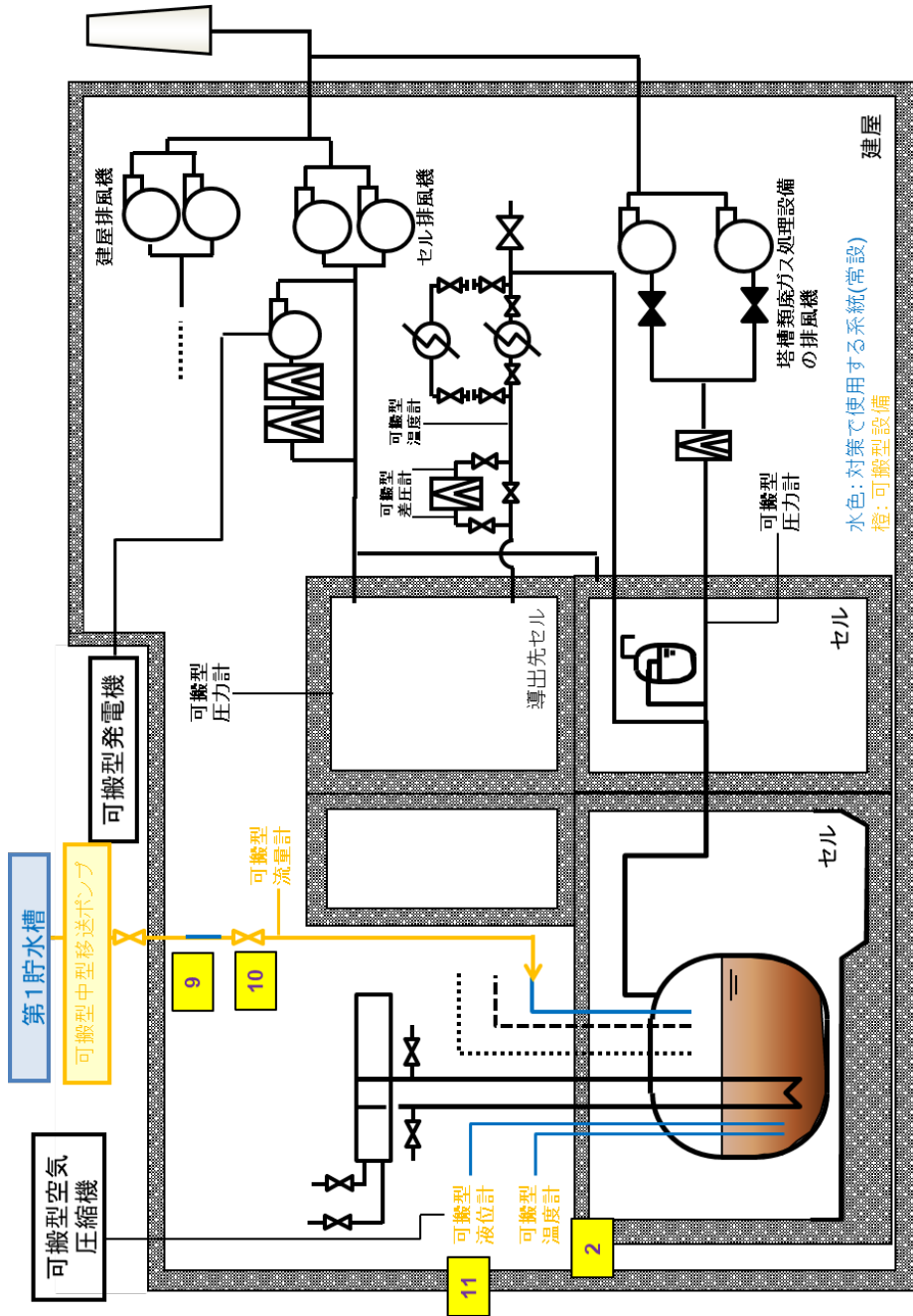
第2.－7図 ウラン・プルトニウム混合脱硝建屋の貯槽等への注水概要図

<p>8 ホース敷設、ホース接続</p> 	<p>9 漏えい確認等／貯槽等注水</p> 	<p>10 貯槽液位計設置及び貯槽液位計測</p> 	<p>2 溫度計設置(可搬型温度計による貯槽温度測定、温度確認)</p> 
---	---	---	--

第2.-8図 ウラン・プルトニウム混合脱硝建屋の貯槽等への注水概要

■については核不拡散の観点から公開できません。

【高レベル廃液ガラス固化建屋の蒸発乾固の拡大防止対策（貯槽等への注水）の概要】

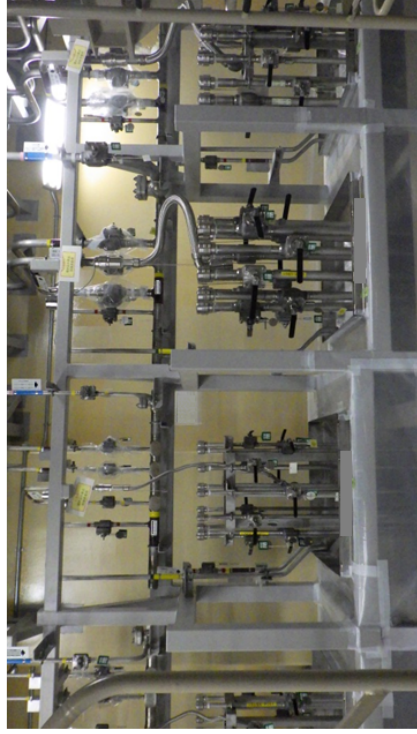


※ 経路構成については、設計進歩により変更の可能性が有り

第2.-9図 高レベル廃液ガラス固化建屋の貯槽等への注水概要図

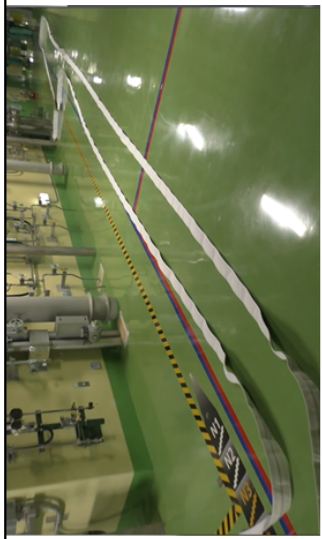
9 ホース敷設、ホース接続

【作業概要】
対象貯槽へ屋外から注水するため、ホース敷設、可搬型流量計設置等を実施する。



10 漏えい確認等／貯槽等注水

【作業概要】
対象貯槽への供給弁を閉止した状態で一度注水し、敷設したホース等からの漏えいがないことを確認する。
対象貯槽への注水は、可搬型液位計設置後、貯槽等の液位の低下が確認(初期流量の70%)された場合は、貯槽等への注水を開始する。



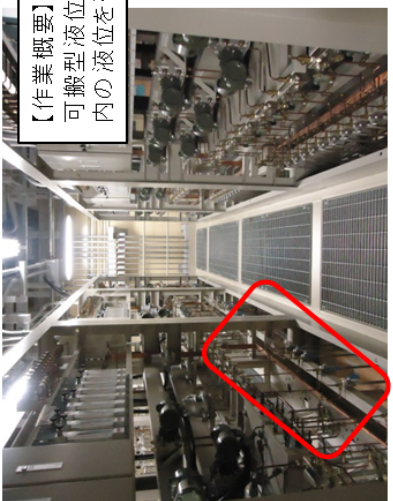
2 溫度計測

【作業概要】
発生防止対策時に設置した可搬型温度計を用いて、
対象貯槽の温度推移を確認する。



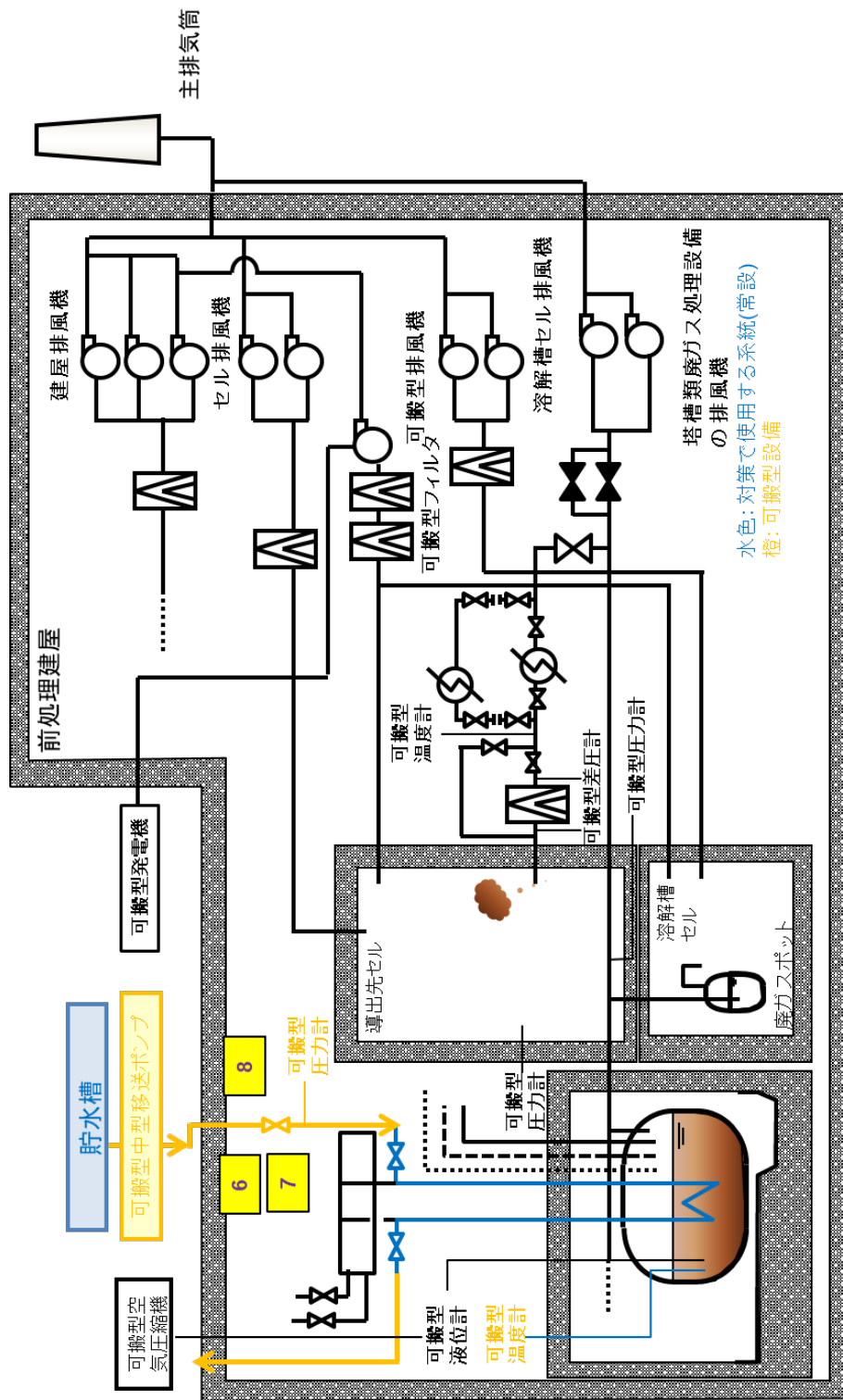
11 貯槽液位計設置及び液位計測

【作業概要】
可搬型液位計を設置し、対象貯槽内の液位を確認する。



第2.－10図 高レベル廃液ガラス固化建屋の貯槽等への注水概要図

【前処理建屋の蒸発乾固の拡大防止対策（冷却コイル等への通水）の概要】



第2.－11図 前処理建屋の冷却コイル等への通水概要図

6 冷却コイル等通水準備(ホース敷設、ホース接続)

【作業概要】

冷却水を供給するための建屋内ホースを敷設する。その後、出口弁を閉止した状態で一度通水して加圧し、通水経路の健全性及び敷設したホース等からの漏えいがないことを確認する。

7 冷却コイル等通水準備(弁隔離)

8 冷却コイル等通水(弁操作、漏えい確認)

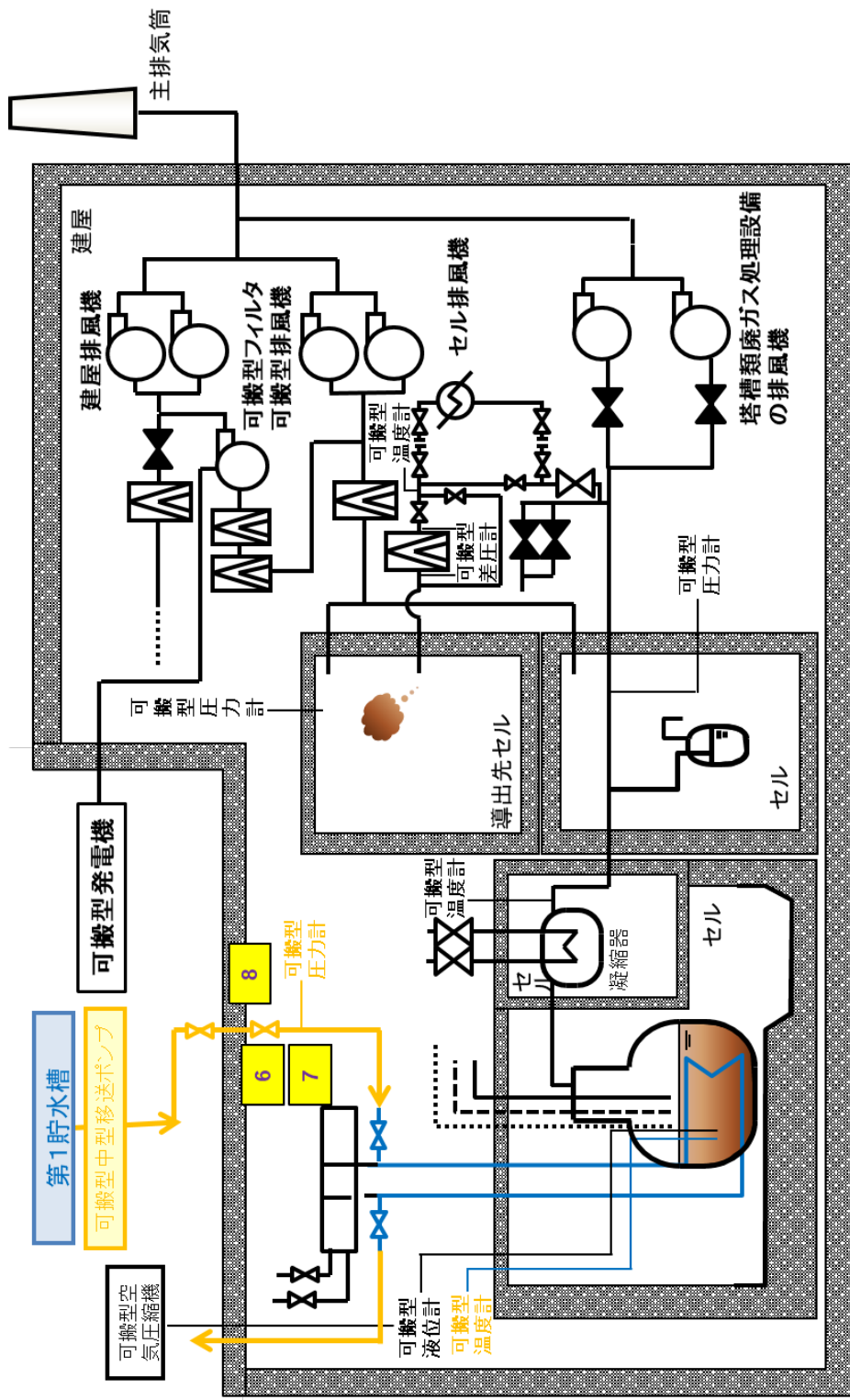
【作業概要】

通水を実施するための弁隔離等を実施する。その後弁を徐々に開とし通水を開始する。必要に応じて通水流量を調整する。また、敷設したホース等からの漏えいがないことを確認する。



第2.-12図 前処理建屋の冷却コイル等への通水概要

【分離建屋の蒸発乾固の拡大防止対策（冷却コイル等への通水）の概要】



※ 経路構成については、設計進捗により変更の可能性があります
水色：対策で使用する系統(常設) 橙：可搬型設備

第2.-13図 分離建屋の冷却コイル等への通水概要図

6 冷却コイル等通水準備(ホース敷設、ホース接続)



【作業概要】

冷却水を供給するための建屋内ホースを敷設する。その後、出口弁を閉止した状態で一度通水して加圧し、通水経路の健全性及び敷設したホース等から漏れないかなどを確認する。

7 冷却コイル等通水準備(弁隔離)

8 冷却コイル等通水(弁操作、漏えい確認)

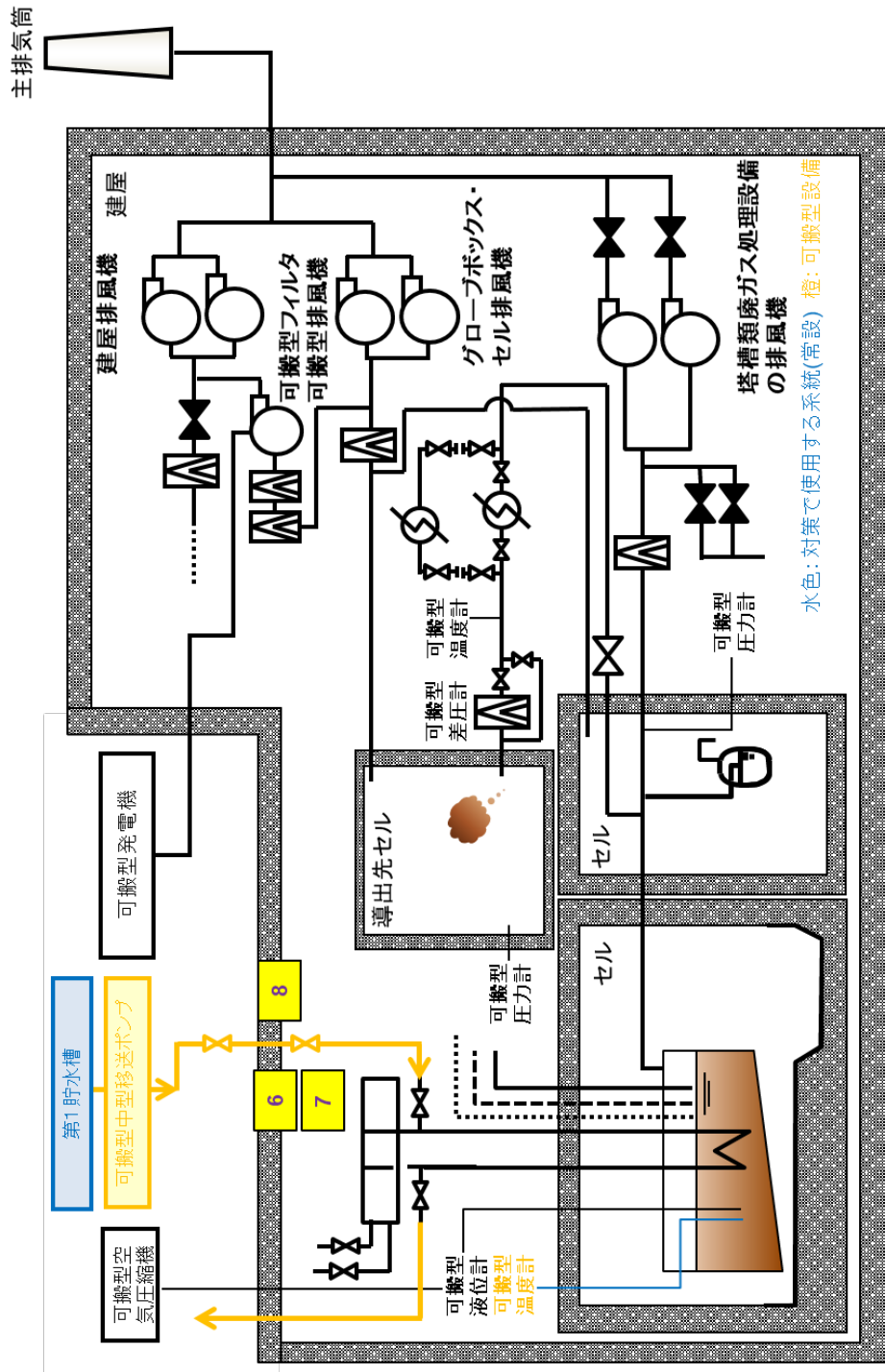
【作業概要】

通水を実施するための弁隔離等を実施する。その後弁を徐々に開どし通水を開始する。必要に応じて通水流量を調整する。また、敷設したホース等からの漏れないかなどを確認する。



第2.－14図 分離建屋の冷却コイル等への通水概要

【精製建屋の蒸発乾固の拡大防止対策（冷却コイル等への通水）の概要】



※ 経路構成については、設計進捗により変更の可能性が有り

第2.-15図 精製建屋の冷却コイル等への通水概要図

6 冷却コイル等通水準備(ホース敷設、ホース接続)

【作業概要】

冷却水を供給するための建屋内ホースを敷設する。その後、出口弁を開止した状態で一度通水して加圧し、通水系統の健全性及び敷設したホース等からの漏えいがないことを確認する。

7 冷却コイル等通水準備(弁隔離)

8 冷却コイル等通水(弁操作、漏えい確認)

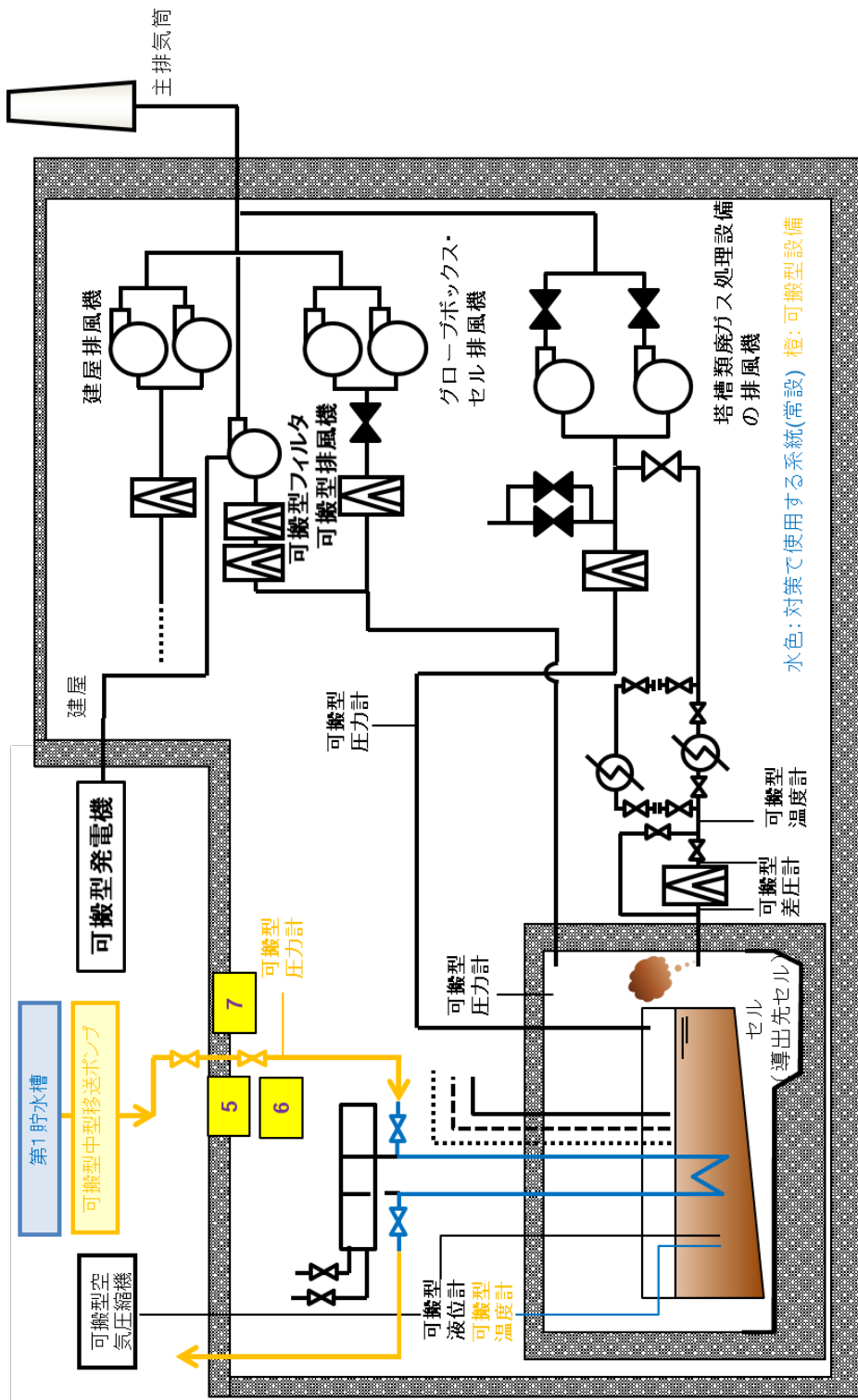
【作業概要】

通水を実施するための弁隔離等を実施する。その後弁を徐々に開とし通水を開始する。必要に応じて通水流量を調整する。また、敷設したホース等からの漏えいがないことを確認する。



第2.－16図 精製建屋の冷却コイル等への通水概要

【ウラン・プルトニウム混合脱硝建屋の拡大防止対策（冷却コイル等への通水）の概要】



※ 経路構成については、設計変更により変更の可能性があり

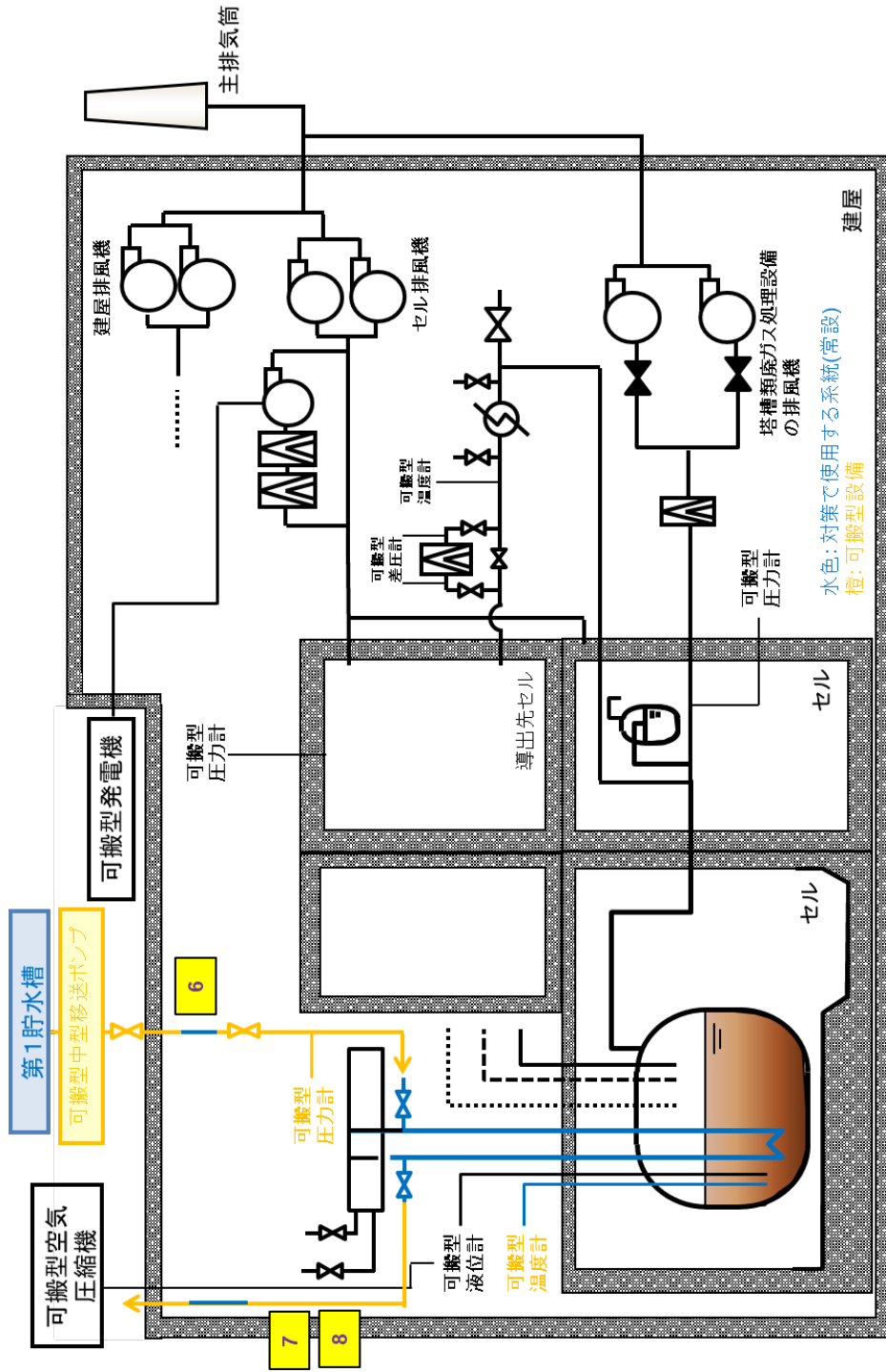
第2.-17図 ウラン・プルトニウム混合脱硝建屋の冷却コイル等への通水概要図

5	冷却コイル等通水準備(ホース接続)
【作業概要】	【作業概要】 冷却水を供給するための建屋内ホースを敷設する。その後、出口弁を閉止した状態で一度通水して加圧し、通水系統の健全性及び敷設したホース等からの漏えいがないことを確認する。
6	冷却コイル等通水準備(弁隔離)
7	冷却コイル等通水(弁操作、漏えい確認)



第2.-18図 ウラン・プルトニウム混合脱硝建屋の冷却コイル等への通水概要

【高レベル廃液ガラス固化建屋の蒸発乾固の拡大防止対策（冷却コイル等への通水）の概要】

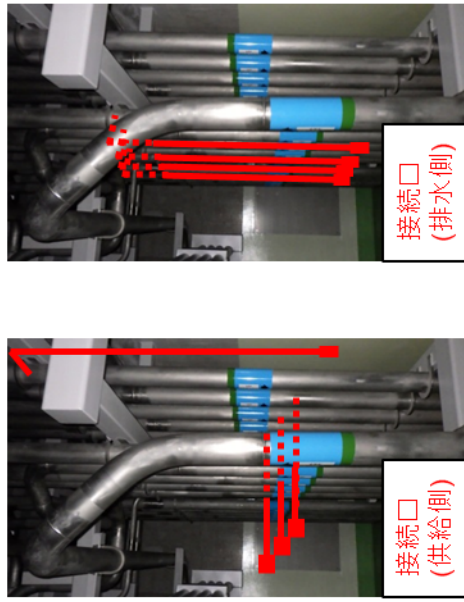


* 経路構成については、設計進捗により変更の可能性があり

第2.－19 図 高レベル廃液ガラス固化建屋の冷却コイル等への通水概要図

6 冷却コイル等通水準備(ホース接続)

【作業概要】
冷却水を供給するための建屋内ホースを敷設する。その後、出口弁を閉止した状態で一度通水して加圧し、通水経路の健全性及び敷設したホース等からの漏えいがないことを確認する。



7 冷却コイル等通水準備(弁隔離)

8 冷却コイル等通水(弁操作、漏えい確認)

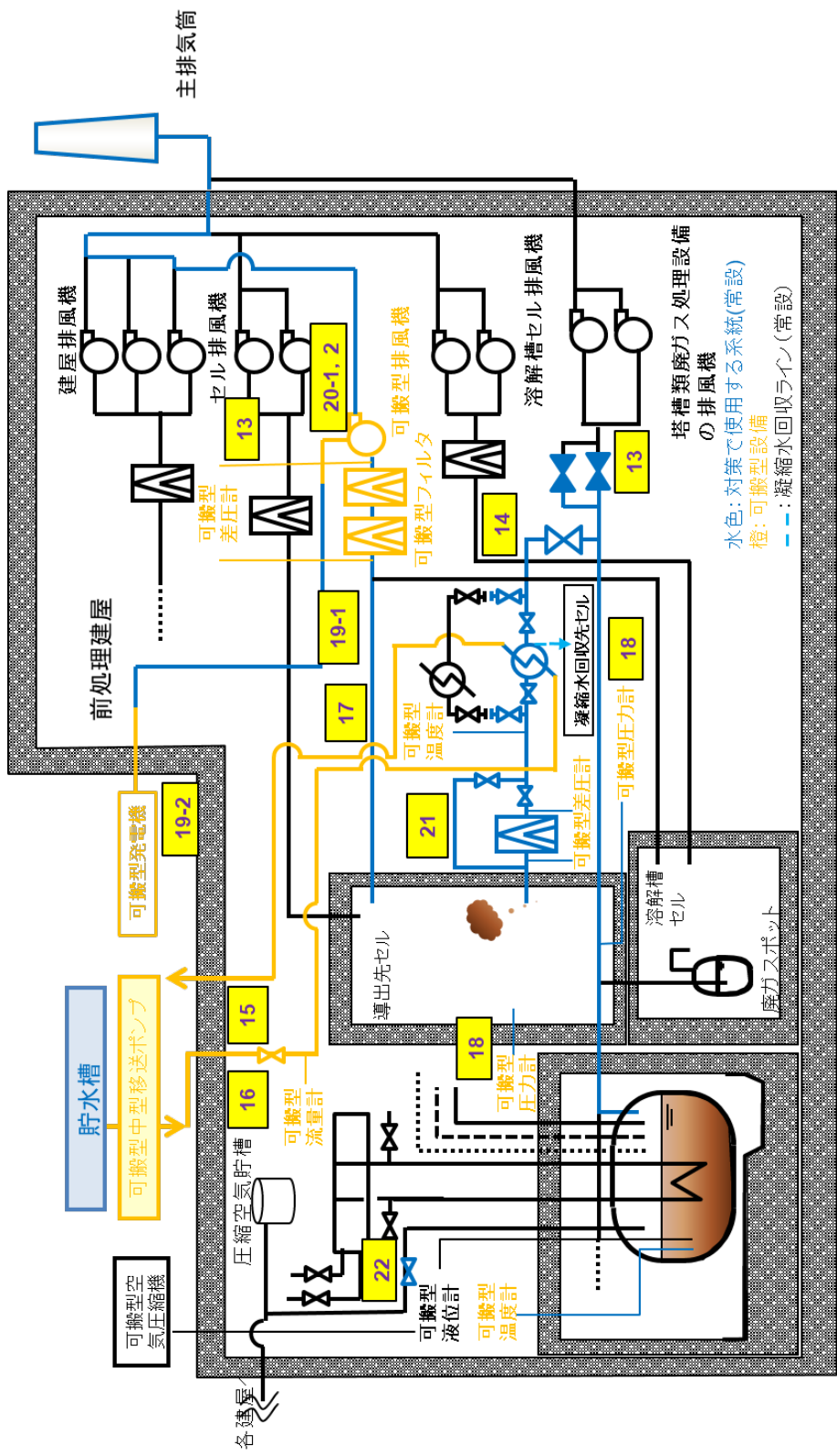
【作業概要】

通水を実施するための弁隔離等を実施する。その後弁を徐々に開どし通水を開始する。必要に応じて通水流量を調整する。また、敷設したホース等からの漏えいがないことを確認する。



第2.-20図 高レベル廃液ガラス固化建屋の冷却コイル等への通水概要

【前処理建屋の蒸発乾固の拡大防止対策（セルへの導出経路の構築及び代替セル排気系による対応）の概要】



※ 経路構成については、設計進捗により変更の可能性が有り

第2.－21図 前処理建屋のセルへの導出経路の構築及び代替セル排気系による対応概要図

<p>13 隔離弁の操作</p>  <p>【作業概要】セル導出設備の隔離弁を閉止し、塔槽類廃ガス処理設備からセルに導出するユニットに繋がる弁を開放することで、塔槽類廃ガス処理設備内の雰囲気をセルへ導出する。</p>	<p>14 排気経路構築(ダンバ閉止等)</p>  <p>【作業概要】廃ガス中に含まれる放射性物質を極力低減させて大気中へ放出するため、ダンバ閉止等により排気経路構築を行う。</p>
<p>15 凝縮器通水準備(ホース敷設、ホース接続、弁操作)</p>  <p>【作業概要】凝縮器へ屋外から通水し、機器からの蒸発蒸気を凝縮させるために、建屋内の接続口までホースを敷設する。外部からの通水を実施するための弁隔離等を実施する。</p>	<p>16 漏えい確認等／凝縮器通水</p>  <p>【作業概要】出口弁を閉止した状態で一度通水して加圧し、通水系統の健全性を確認した後に、出口弁を開いて通水を開始する。必要に応じて通水流量を調整する。また、敷設したホース等からの漏えいがないことを確認する。</p>
<p>17 計器監視(流量、圧力、温度、液位)</p>  <p>【作業概要】発生防止対策及び拡大防止対策後に、状態を監視するため、定期的に流量、液位、温度、圧力を確認する。</p>	

第2.-22 図 前処理建屋のセルへの導出経路の構築及び代替セル排気系による対応概要（その1）

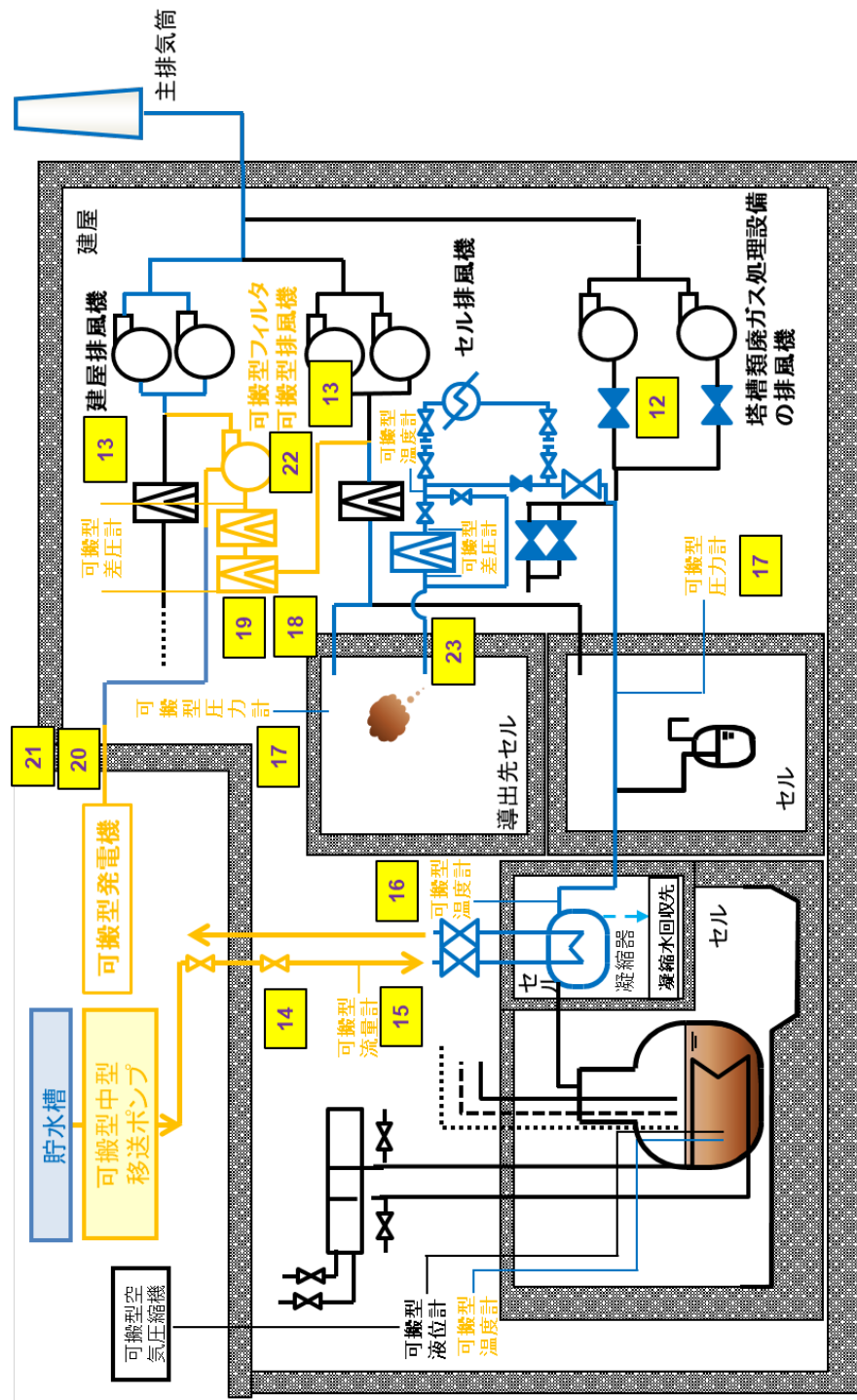
<p>18 セル内圧力計設置及び廃ガス洗浄塔入口圧力計設置</p> <p>19-1 可搬型ダクト、可搬型フィルタ及び可搬型排風機設置</p> <p>19-2 ケーブル敷設及び接続、可搬型発電機起動</p> <p>20-1 可搬型排風機運転準備</p> <p>20-2 可搬型排風機運転</p>	<p>前処理建屋</p> <p>【作業概要】 可搬型排風機によりセルに導出された放射性物質等を排気するため、可搬型発電機からの給電ケーブルを接続(給電)し、可搬型排風機を運転する。</p>	<p>21 切替えの弁操作</p> <p>22 水素掃気用安全圧縮空気系の手動弁を閉止</p> <p>【作業概要】 溶液が沸騰した後、高性能粒子フィルタの差圧が上昇傾向を示した場合、バイパスラインへ切り替える。</p>
<p>18 セル内圧力計設置及び廃ガス洗浄塔入口圧力計設置</p> <p>19-1 可搬型ダクト、可搬型フィルタ及び可搬型排風機設置</p>	<p>【作業概要】 塔槽類密閉ガス処理設備の雰囲気を導出したセルの圧力及びセル導出時の圧力を監視するため、可搬型圧力計を設置する。</p> <p>セルに導出した塔槽類密閉ガス処理設備の雰囲気を排気するため、可搬型フィルタ、可搬型排風機及び可搬型ダクトを接続する。</p>	<p>【作業概要】 水素掃気用の圧縮空気の供給継続による大気中への放射性物質の放出を低減するため、前処理建屋の機器へ圧縮空気を供給する水素掃気用安全圧縮空気系の手動弁を開止する。</p>

第2.-23図

前処理建屋のセルへの導出経路の構築及び代替セル排氣系による対応概要（その2）

については核不拡散の観点から公開できません。

【分離建屋の蒸発乾固の拡大防止対策（セルへの導出経路の構築及び代替セル排気系による対応）の概要】



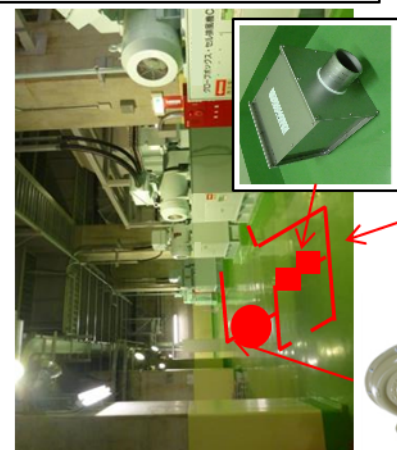
※ 経路構成について(は、設計進捗により変更の可能性が有り)

水色: 対策で使用する系統(常設) 橙: 可搬型設備

第2. - 24 図 分離建屋のセルへの導出経路の構築及び代替セル排気系による対応概要図

<p>12 隔離弁の操作</p>  <p>【作業概要】 セル導出設備の隔離弁を閉止し、塔槽類密閉力ス処理設備からセルに導出するユニットに繋がる弁を開放することで、塔槽類密閉力ス処理設備内の雰囲気をセルへ導出する。</p>	<p>13 排気経路構築(ダンパ閉止等)</p>  <p>【作業概要】 セル導出設備の隔離弁を閉止し、塔槽類密閉力ス処理設備からセルに導出するユニットに繋がる弁を開放することで、塔槽類密閉力ス処理設備内の雰囲気をセルへ導出する。</p>	<p>14 凝縮器通水準備(ホース接続、弁操作)</p>  <p>【作業概要】 凝縮器へ屋外から通水し、高レベル廃液濃縮缶からの蒸発蒸気を凝縮させることによる、建屋内の接続口までのホースを敷設する。 外部からの通水を実施するための弁隔離等を実施する。</p>	<p>15 漏えい確認等／凝縮器通水</p>  <p>【作業概要】 出口弁を閉止した状態で一度通水して加圧し、通水系統の健全性を確認した後に、出口弁を開として通水を開始する。必要に応じて通水量を調整する。 また、敷設したホース等からの漏えいがないことを確認する。</p>	<p>16 計器監視(液位、温度、圧力、流量)</p>  <p>【作業概要】 発生防止対策及び拡大防止対策後に、状態を監視するため、定期的に流量、液位、温度、圧力を確認する。</p>
---	---	---	--	--

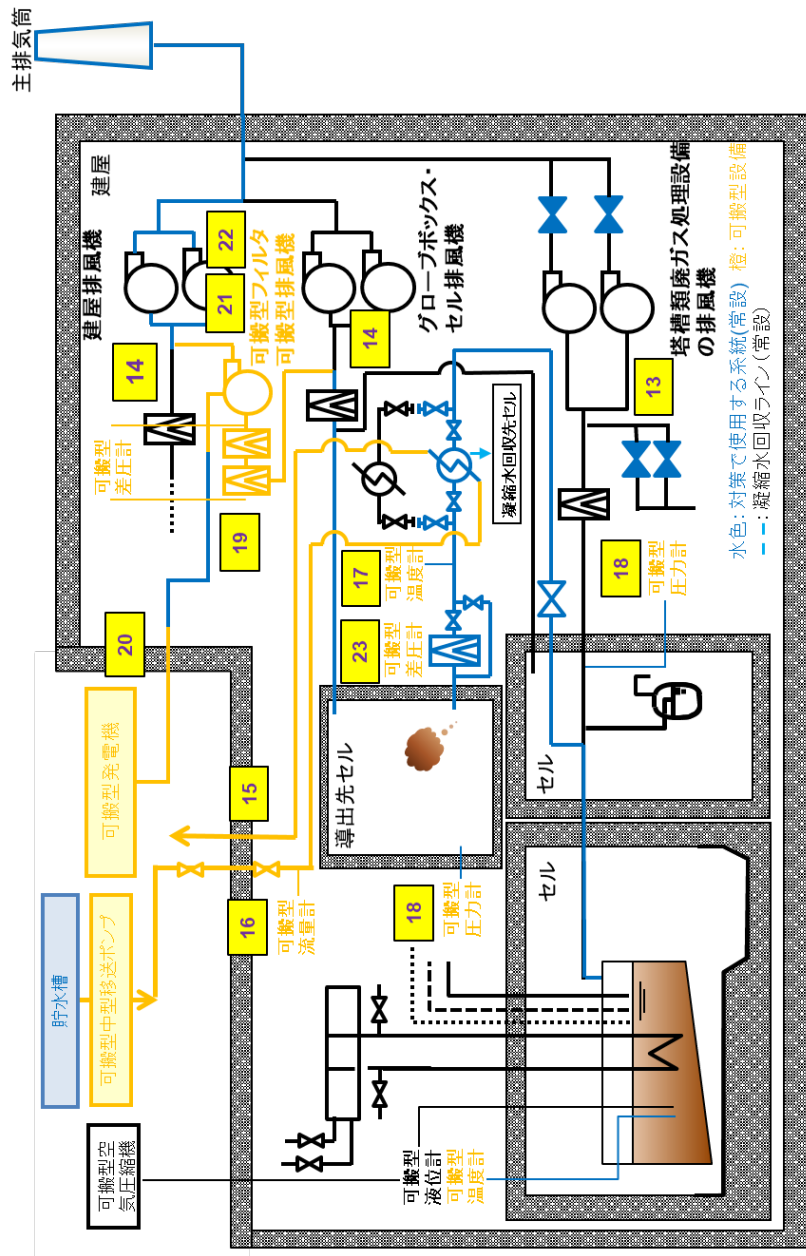
第2.－25図 分離建屋のセルへの導出経路の構築及び代替セル排気系による対応概要（その1）

17 セル内圧力計設置及び発ガス洗浄塔入口圧力計設置	18 可搬型ダクトの設置	19 可搬型フィルタ及び可搬型排風機の設置	20 ケーブル敷設及び接続、可搬型発電機起動	21 可搬型排風機運転準備	22 可搬型排風機運転
<p>【作業概要】 塔槽類廃ガス処理設備の圧力及びセル導出時の圧力を監視するため、可搬型圧力計を設置する。</p> <p>【作業概要】 可搬型排風機ににより、セルに導出された放射性物質等を排气するため、可搬型発電機からの給電ケーブルを接続(給電)し、可搬型排風機を運転する。</p>			 <p>可搬型発電機</p> <p>ケーブル</p>		
 <p>可搬型フィルタ</p>			 <p>可搬型ダクト</p> <p>接続口</p>		
			23 切替えの弁操作	<p>【作業概要】 溶液が沸騰した後、高性能粒子フィルタの差圧が上昇傾向を示した場合、バイパスラインへ切り替える。</p>	

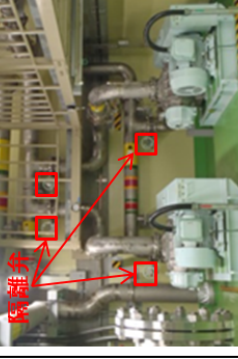
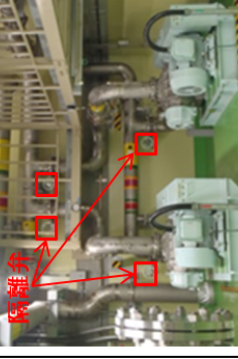
第2.-26図 分離建屋のセルへの導出経路の構築及び代替セル排気系による対応概要（その2）

については核不拡散の観点から公開できません。

【精製建屋の蒸発乾固の拡大防止対策（セルへの導出経路の構築及び代替セルハル排気系による対応）の概要】



第2.-27図 精製建屋のセルへの導出経路の構築及び代替セルハル排気系による対応概要図

<p>13 隔離弁の操作</p>  <p>【作業概要】 セル導出設備の隔離弁を閉止し、塔槽類廃ガス処理設備からセルに導出するユニットに繋がる弁を開放することにより、塔槽類廃ガス処理設備内の雰囲気をセルへ導出する。</p>	<p>14 排気経路構築(ダンパ閉止等)</p>  <p>【作業概要】 廃ガス中に含まれる放射性物質を極力低減させるため、ダンパ開止等により排気経路構築を行う。</p>
<p>15 凝縮器通水準備(ホース敷設、ホース接続、弁操作)</p>  <p>【作業概要】 凝縮器へ屋外から通水し、機器からの蒸発蒸気を凝縮させたために、建屋内の接続口までホースを敷設する。</p>	<p>16 漏えい確認等／凝縮器通水</p>  <p>【作業概要】 出口弁を閉止した状態で一度通水して加圧し、通水系統の健全性を確認した後に、出口弁を開として通水を開始する。必要に応じて通水流量を調整する。また、敷設したホース等からの漏えいがないことを確認する。</p>
<p>17 計器監視(液位、温度、圧力、流量)</p>  <p>【作業概要】 発生防止対策及び拡大防歯対策後に、状態を監視するため、定期的に流量、液位、温度、圧力を確認する。</p>	

第2.-28図 精製建屋の精製建屋のセルへの導出経路の構築及び代替セル排気系による対応概要（その1）

18 セル内圧力計設置及び廃ガス洗浄塔入口圧力計設置

19 可搬型ダクト、可搬型フィルタ及び可搬型排風機の設置

【作業概要】
塔槽類廃ガス処理設備の雰囲気を導出したセルの圧力及びセル導出時の圧力を監視するため、可搬型圧力計を設置する。
セルに導出した塔槽類廃ガス処理設備の雰囲気を排氣するため、可搬型フィルタ、可搬型排風機及び可搬型ダクトを接続する。

20 ケーブル敷設及び接続、可搬型発電機起動

21 可搬型排風機運転準備

22 可搬型排風機起動

【作業概要】
可搬型排風機により、セルに導出された放射性物質等を排気するため、可搬型発電機からの給電ケーブルを接続(給電)し、可搬型排風機を運転する。





20 ケーブル敷設及び接続、可搬型発電機起動

21 可搬型排風機運転準備

22 可搬型排風機起動

【作業概要】
可搬型排風機により、セルに導出された放射性物質等を排気するため、可搬型発電機からの給電ケーブルを接続(給電)し、可搬型排風機を運転する。



【作業概要】
溶液が沸騰した後、高性能粒子フィルタの差圧が上昇傾向を示した場合、バイパスラインへ切り替える。

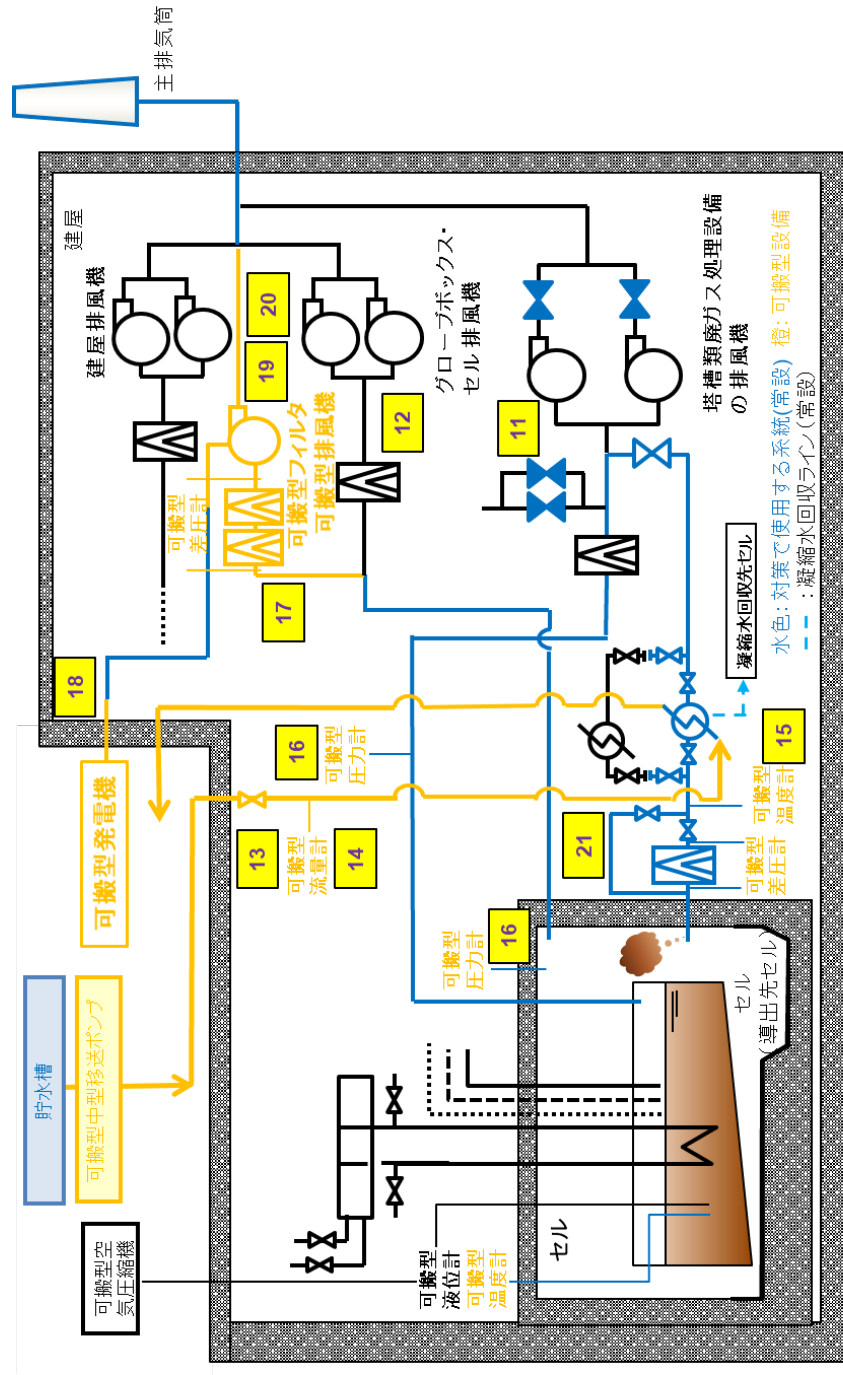
23 切替えの弁操作

第2.－29図 精製建屋のセルへの導出経路の構築及び代替セル排気系による対応概要（その2）

については核不拡散の観点から公開できません。

【ウラン・プルトニウム混合脱硝建屋の蒸発乾固の拡大防止対策（セルへの導出経路の構築及び代替セル排気系による】

対応) の概要】



※ 経路構成については、設計進捗により変更の可能性が有り

第2. -30 図 ウラン・プルトニウム混合脱硝建屋のセルへの導出経路の構築及び代替セル排気系による対応概要図



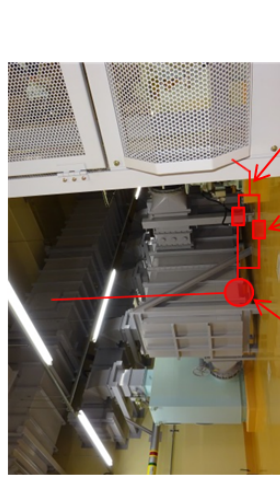
第2.－31 図 ウラン・プルトニウム混合脱硝建屋のセルへの導出経路の構築及び代替セル排気系による対応概要（その1）

については核不拡散の観点から公開できません。

16 セル内圧力計設置及び塵ガス洗浄塔入口圧力計設置

17 可搬型ダクト、可搬型フィルタ及び可搬型排風機の設置

【作業概要】
塔槽類塵ガス処理設備の雰囲気を導出したセルの圧力及びセル導出時の圧力を監視するため、圧力計を設置する。
セルに導出した塔槽類塵ガス処理設備の雰囲気を排気するため、可搬型フィルタ、可搬型排風機及び可搬型ダクトを接続する。



可搬型排風機 可搬型フィルタ 可搬型ダクト

18 ケーブル敷設及び接続、可搬型発電機起動

19 可搬型排風機運転準備

20 可搬型排風機運転

【作業概要】
可搬型排風機により、セルに導出された放射性物質等を排気するため、可搬型発電機からの給電ケーブルを接続(給電)し、可搬型排風機を運転する。



21 切替えの弁操作

【作業概要】
溶液が沸騰した後、高性能粒子フィルタの差圧が上昇傾向を示した場合、バイパスラインへ切り替える。

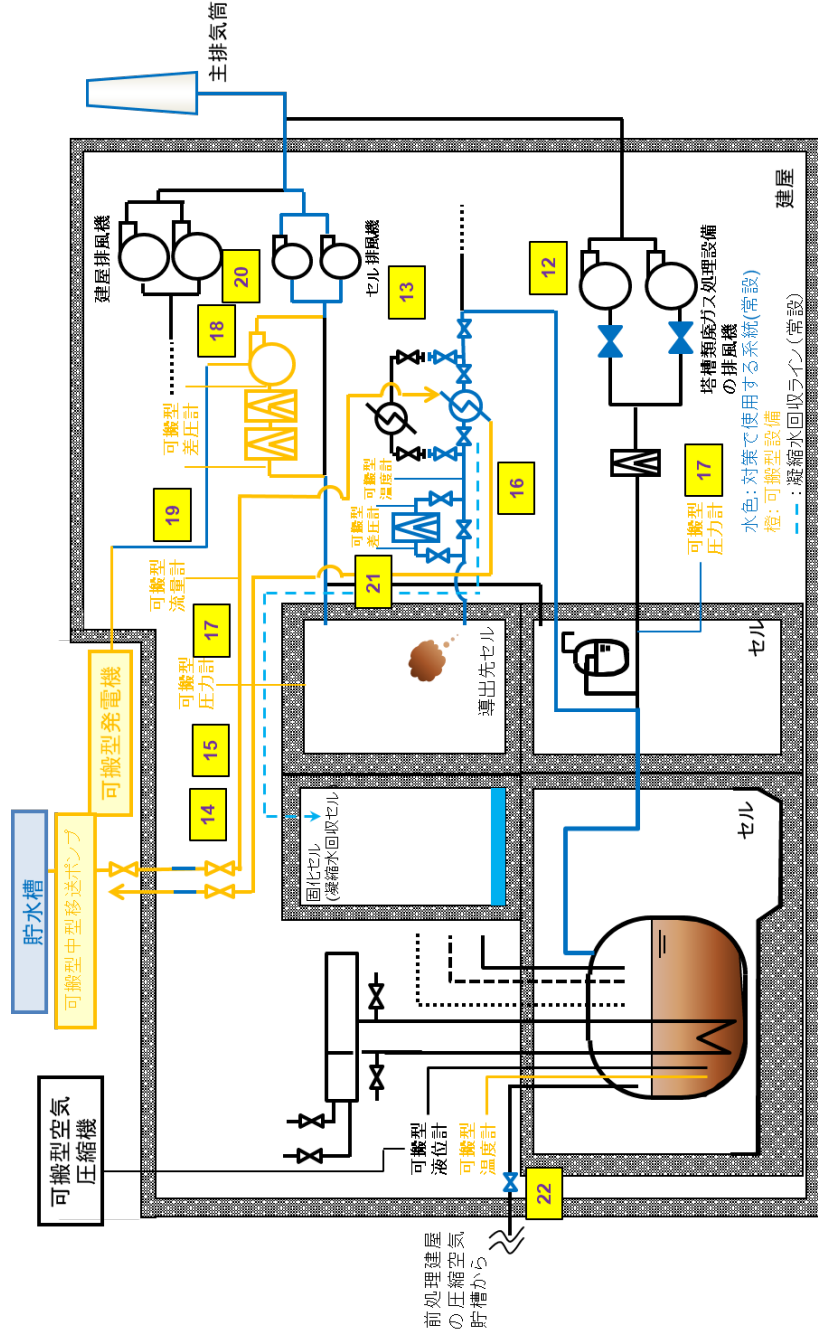


可搬型排風機 可搬型フィルタ 可搬型ダクト

第2.-32 図 ウラン・プルトニウム混合脱硝建屋のセルへの導出経路の構築及び代替セル排気系による対応概要（その2）

■については核不拡散の観点から公開できません。

【高レベル廃液ガラス固化建屋の蒸発乾固の拡大防止対策（セルへの導出経路の構築及び代替セル排気系による対応）の概要】



※ 経路構成については、設計進捗により変更の可能性が有り

第2.-33図 高レベル廃液ガラス固化建屋のセルへの導出経路の構築及び代替セル排気系による対応概要図

12 隔離弁の操作



【作業概要】
セル専出設備の隔離弁を閉止し、塔槽類廢ガス処理設備からセルに導出するユニットに繋がる弁を開放することで、塔槽類廢ガス処理設備内の雰囲気をセルへ導出する。

13 排氣経路構築(ダンバ閉止等)



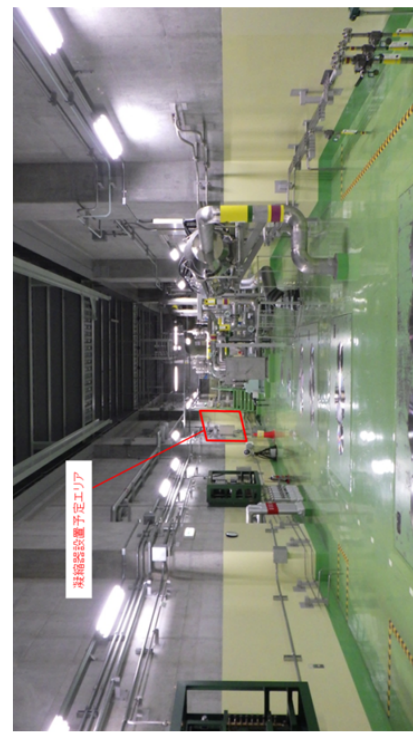
【作業概要】
廃ガス中に含まれる放射性物質を極力低減させて大気中へ放出するため、ダンバ閉止等により排氣経路構築を行う。

16 計器監視(液位、温度、圧力、流量)



【作業概要】
発生防止対策及び拡大防止対策後に、状態を監視するため、定期的に流量、液位、温度、圧力を確認する。

14 凝縮器通水準備(ホース敷設、ホース接続、弁操作)



【作業概要】
凝縮器へ屋外から通水し、機器からの蒸発蒸気を凝縮させるために、建屋内の接続口までホースを敷設する。建屋からの通水を実施するための弁隔離等を実施する。

15 漏えい確認等／凝縮器通水

【作業概要】
出口弁を閉止した状態で一度通水して加圧し、通水系統の健全性を確認した後に、出口弁を開どして通水を開始する。必要に応じて通水流量を調整する。
また、敷設したホース等からの漏えいがないことを確認する。

第2.－34図 高レベル廃液ガラス固化建屋のセルへの導出経路の構築及び代替セル排気系による対応概要（その1）

<p>17 セル内圧力計設置及び廃ガス洗浄塔入口圧力計設置</p> <p>18 可搬型ダクト、可搬型フィルタ、可搬型排風機の設置</p>	<p>19 ケーブル敷設及び接続、可搬型発電機起動</p> <p>20 可搬型排風機運転準備及び可搬型排風機運転</p>	<p>21 切替えの弁操作</p> <p>22 水素掃気用安全圧縮空気系の手動弁を閉止</p>
--	--	---

【作業概要】

塔槽類廃ガス処理設備の雰囲気を導出したセルの圧力及びセル導出時の圧力を監視するため、可搬型圧力計を設置する。

セルに導出した塔槽類廃ガス処理設備の雰囲気を排気するため、可搬型フィルタ、可搬型排風機及び可搬型ダクトを接続する。



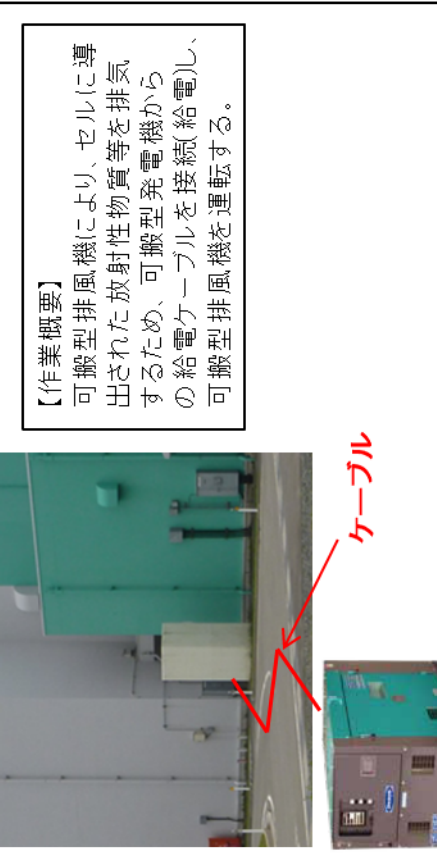
可搬型フィルタ

可搬型排風機

可搬型ダクト

【作業概要】

可搬型排風機[により]、セルに導出した放射性物質等を排気するため、可搬型発電機からの給電ケーブルを接続(給電)[し]、可搬型排風機を運転する。



可搬型発電機

ケーブル

【作業概要】

溶液が沸騰した後、高性能粒子フィルタの差圧が上昇傾向を示した場合、バイパスラインへ切り替える。

第2.－35図 高レベル廃液ガラス固化建屋のセルへの導出経路の構築及び代替セル排気系による対応概要（その2）

2. 1 蒸発乾固の拡大防止対策の信頼性

2.1.1 貯槽等への注水に使用する設備の設計

貯槽等への注水に使用する系統は、位置的分散及び独立性を考慮した系統を4～6系統整備し、多重性を確保しており、1系統あたり1口を合計4～6口の接続口があるため、多様な空間を確保している。また、貯槽等への注水に使用する系統は、基準地震動を1.2倍にした地震動を考慮する設計とする。

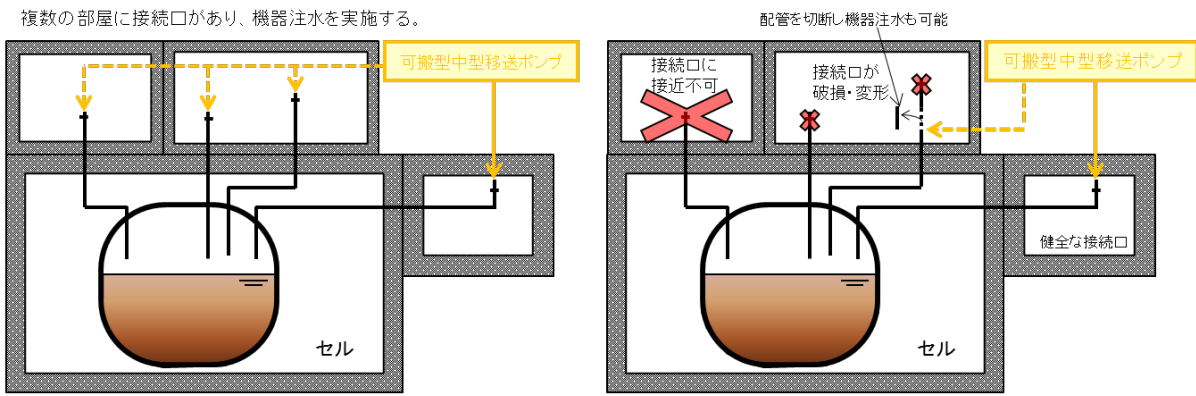
整備した貯槽等への注水系統が使用できない場合に備え、貯槽等への注水に使用できるその他の配管を予め選定し、当該配管に対して工具を用いて接続口を作成する手順を整備する。

- ✓ 位置的分散及び独立性を考慮した系統を4～6系統整備 ⇒ 多重性確保
- ✓ 1系統あたり1口、合計4～6口の接続口を整備 ⇒ 注水のための多様な空間を確保
- ✓ 整備した貯槽等への注水系統が使用できない場合に備え、貯槽等への注水に使用できるその他の配管を予め選定し、当該配管に対してパイプカッターを用いて接続口を作成する手順を整備する。
⇒ 注水のための多様な空間、手段を確保

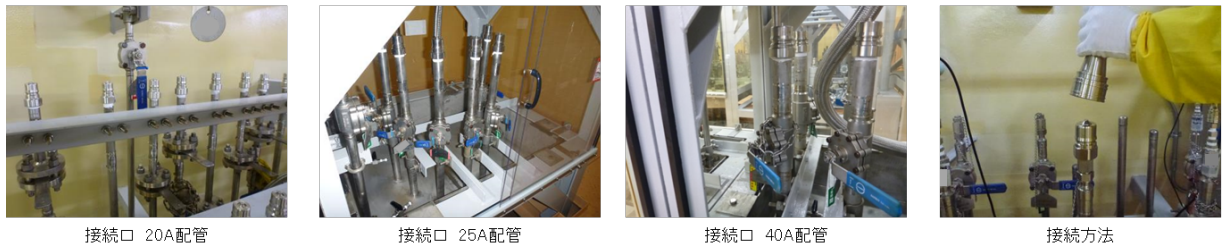
○接続口の信頼性

貯槽等への注水に使用する配管は、以下の写真のようなものを複数の部屋に複数本用意している。これらの配管が使用できない状況として、周囲の構築物が倒壊し、接続口へ接近できることを想定されるが、複数の部屋に接続口があることから貯槽等への注水が可能である。

仮に全ての部屋で倒壊があり、接続口が変形・破損している場合でもパイプカッターで切断し、新たに接続口を作成することができる。



拡大防止対策で使用する配管の例



第2.-36図 貯槽等への注水の接続口概要図

○配管切断実証訓練

R-SUS304ULC 80A SCH20S (外径 89.1mm 厚さ 4.0mm) 配管を切断するまでに要した時間は約 15 分程度である。機器注水配管は 8A～40A 配管が多く、本実証訓練より作業量や作業時間は短縮できると考える。



第2.-37図 配管切断実証訓練

2.1.2 貯槽等への注水に使用する設備の有効性について

蒸発乾固への対処は、安全冷却水系の冷却機能の喪失が発生した場合に実施するため、蒸発乾固への対処に使用する重大事故等対処施設には、安全冷却水系の冷却機能の喪失に伴って生じる環境条件の変化を想定した場合でも、必要な機能を有效地に発揮することが求められる。

以下に、重大事故等対処施設が機能を発揮できることを説明する。

a. 溫度

1) 常設重大事故等対処設備

貯槽等への注水は、高レベル廃液等の沸騰後に実施することから、その温度は最大でも高レベル廃液等の沸点程度であり、設備の機能を損なうことはない。

2) 可搬型重大事故等対処設備

可搬型重大事故等対処設備は、直接高レベル廃液等と接することはなく、外部から供給される水を通水するのみである。外部から供給される水の温度は、外気温度以下であることから、設備の機能を損なうことはない。

- ✓ 可搬型ホース（消防ホース）の耐熱温度 60°Cに対し、外部から供給される水の温度は外気温度以下であることから、有意な影響はない。

b. 圧力

可搬型中型移送ポンプからの冷却水供給圧が圧力条件として最も高いが、貯槽等への注水に使用する設備の最高使用圧力以下の供給圧で冷却水を供給する運用とすることから、設備の機能を損なうことはない。

- ✓ 可搬型ホース（消防ホース）の使用圧力が1.6MPa程度であるのに対し、可搬型中型移送ポンプからの冷却水供給圧を0.8MPa以下とすることから、有意な影響はない。

c. 放射線

直接高レベル廃液等と接する常設重大事故等対処設備における放射線影響は、平常運転時と同程度であり、設備の機能を損なうことはない。直接放射線と接しない可搬型重大事故等対処設備における放射線影響は、セル外で使用するためその影響は無視できることから、設備の機能を損なうことはない。

2.1.3 各建屋の各貯槽における蒸発量及び時間余裕

各建屋について蒸発量及び時間余裕について以下に示す。

第2.-1表 前処理建屋における蒸発量及び時間余裕

蒸発乾固対象貯槽等	崩壊熱密度 (W/m ³)	液量 (m ³)	単位時間当たりの 蒸発量 (m ³ /h)	時間余裕※ (h)
中継槽A	600	7	6.8×10^{-3}	410 時間
中継槽B	600	7	6.8×10^{-3}	410 時間
計量前中間貯槽A	600	25	2.4×10^{-2}	400 時間
計量前中間貯槽B	600	25	2.4×10^{-2}	400 時間
リサイクル槽A	600	2	2.5×10^{-3}	440 時間
リサイクル槽B	600	2	2.5×10^{-3}	440 時間
計量後中間貯槽	460	25	1.9×10^{-2}	530 時間
計量・調整槽	460	25	1.9×10^{-2}	520 時間
計量補助槽	460	7	5.3×10^{-3}	520 時間
中間ポットA	460	■	1.3×10^{-4}	420 時間
中間ポットB	460	■	1.3×10^{-4}	420 時間

※ 冷却機能の喪失から高レベル廃液等が初期液量の70%になるまでの時間

■については商業機密の観点から公開できません。

第2.-2表 分離建屋における蒸発量及び時間余裕

蒸発乾固対象貯槽等	崩壊熱密度 (W/m ³)	液量 (m ³)	単位時間当たりの 蒸発量 (m ³ /h)	時間余裕※ (h)
高レベル廃液濃縮缶A	5800	■	1.3×10^{-1}	62 時間
第6一時貯留処理槽	290	■	5.7×10^{-4}	920 時間
高レベル廃液供給槽A	460	25	3.9×10^{-3}	2100 時間
溶解液中間貯槽	460	6	1.9×10^{-2}	520 時間
溶解液供給槽	290	15	4.5×10^{-3}	520 時間
抽出廃液受槽	290	20	7.1×10^{-3}	840 時間
抽出廃液中間貯槽	290	60	9.4×10^{-3}	840 時間
抽出廃液供給槽A	290	60	2.9×10^{-2}	840 時間
抽出廃液供給槽B	290	3	2.9×10^{-2}	850 時間
第1一時貯留処理槽	290	■	1.4×10^{-3}	900 時間
第8一時貯留処理槽	290	■	1.7×10^{-3}	900 時間
第7一時貯留処理槽	290	20	9.4×10^{-3}	900 時間
第3一時貯留処理槽	290	20	9.4×10^{-3}	850 時間
第4一時貯留処理槽	460	25	9.4×10^{-3}	850 時間

※ 冷却機能の喪失から高レベル廃液等が初期液量の 70%になるまでの時間

第2.-3表 精製建屋における蒸発量及び時間余裕

蒸発乾固対象貯槽等	崩壊熱密度 (W/m ³)	液量 (m ³)	単位時間当たりの 蒸発量 (m ³ /h)	時間余裕※ (h)
プルトニウム濃縮液受槽	8600	1	1.4×10^{-2}	26 時間
リサイクル槽	8600	1	1.4×10^{-2}	26 時間
希釈槽	8600	2.5	3.5×10^{-2}	26 時間
プルトニウム濃縮液一時貯槽	8600	1.5	2.1×10^{-2}	26 時間
プルトニウム濃縮液計量槽	8600	1	1.4×10^{-2}	26 時間
プルトニウム濃縮液中間貯槽	8600	1	1.4×10^{-2}	26 時間
プルトニウム溶液受槽	930	■	1.4×10^{-3}	300 時間
油水分離槽	930	■	1.4×10^{-3}	300 時間
プルトニウム濃縮缶供給槽	930	3	4.6×10^{-3}	280 時間
プルトニウム溶液一時貯槽	930	3	4.6×10^{-3}	280 時間
第2一時貯留処理槽	930	1.5	2.3×10^{-3}	290 時間
第3一時貯留処理槽	930	1.5	4.6×10^{-3}	280 時間
第1一時貯留処理槽	930	3	2.3×10^{-3}	290 時間

※ 冷却機能の喪失から高レベル廃液等が初期液量の 70%になるまでの時間

■については商業機密の観点から公開できません。

第2.-4表 ウラン・プルトニウム混合脱硝建屋における
蒸発量及び時間余裕

蒸発乾固対象貯槽等	崩壊熱密度 (W/m ³)	液量 (m ³)	単位時間当たりの 蒸発量 (m ³ /h)	時間余裕※2 (h)
硝酸プルトニウム貯槽	8600	1	1.4×10^{-2}	33 時間
混合槽A	5300	1	8.6×10^{-3}	57 時間
混合槽B	5300	1	8.6×10^{-3}	57 時間
一時貯槽※1	8600	1	1.4×10^{-2}	33 時間

※1 平常運転時は空運用（プルトニウム濃縮液を貯蔵している場合）

※2 冷却機能の喪失から高レベル廃液等が初期液量の 70%になるまでの
時間

第2.-5表 高レベル廃液ガラス固化建屋における蒸発量及び時間余裕

蒸発乾固対象貯槽等	崩壊熱密度 (W/m ³)	液量 (m ³)	単位時間当たりの 蒸発量 (m ³ /h)	時間余裕※2 (h)
高レベル廃液混合槽A	3600	20	1.2×10^{-1}	72 時間
高レベル廃液混合槽B	3600	20	1.2×10^{-1}	72 時間
供給液槽A	3600	5	3.0×10^{-2}	74 時間
供給液槽B	3600	5	3.0×10^{-2}	74 時間
供給槽A	3600	2	1.2×10^{-2}	74 時間
供給槽B	3600	2	1.2×10^{-2}	74 時間
高レベル廃液共用貯槽※1	3200	120	6.3×10^{-1}	79 時間
第1高レベル濃縮廃液貯槽	3200	120	6.3×10^{-1}	79 時間
第2高レベル濃縮廃液貯槽	3200	120	6.3×10^{-1}	79 時間
第1高レベル濃縮廃液一時貯槽	3600	25	1.5×10^{-1}	79 時間
第2高レベル濃縮廃液一時貯槽	3600	25	1.5×10^{-1}	72 時間

※1 平常運転時は空運用（高レベル濃縮廃液を貯蔵している場合）

※2 冷却機能の喪失から高レベル廃液等が初期液量の 70%になるまで
の時間

2.1.4 各建屋の貯槽等への注水に必要な注水流量について

貯槽等への注水は、蒸発量に対して3倍程度で供給したとしても、いずれの建屋も整備した可搬型中型移送ポンプ（容量 $240\text{m}^3/\text{h}$ ）を用いて注水することが可能である。また、十分な時間余裕があり、各建屋で時間余裕が一番短い貯槽に対しても対処可能である。

各建屋の貯槽等への注水実施までの時間余裕（冷却機能の喪失から高レベル廃液等が初期液量の70%になるまでの時間）、対策準備完了時間及び各建屋における注水流量（蒸発量に対して3倍程度で供給する流量）を第2.－6表に示す。

第2.－6表 各建屋の貯槽等への注水に関する時間及び注水流量

建屋	注水までの時間※1	対策準備完了時間	注水流量※2 (m^3/h)
前処理建屋	400 時間	39 時間	約 3.3×10^{-1}
分離建屋	62 時間	11 時間 15 分	約 6.1×10^{-1}
精製建屋	26 時間	9 時間	約 4.0×10^{-1}
ウラン・プルトニウム混合脱硝建屋	33 時間	16 時間	約 1.4×10^{-1}
高レベル廃液ガラス固化建屋	72 時間	20 時間 20 分	約 5.5

※1 冷却機能の喪失から高レベル廃液等が初期液量の70%になるまでの時間

※2 各建屋の貯槽等で蒸発量に対して3倍程度で供給する流量

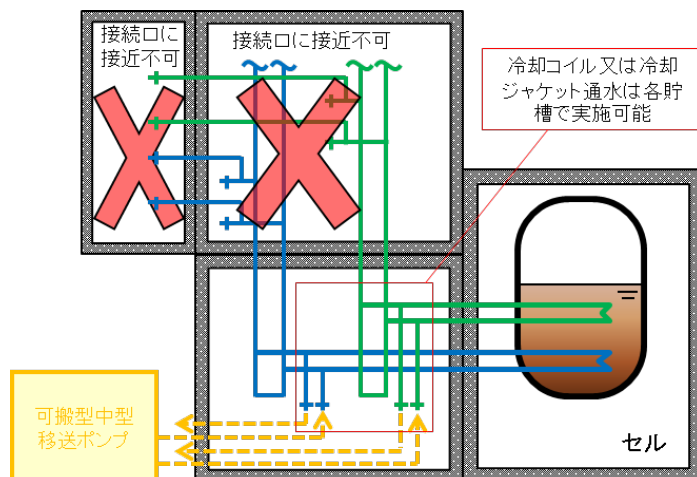
2.2.1 冷却コイル等への通水による冷却に使用する設備の設計

冷却コイル等への通水に使用する系統は、基準地震動を1.2倍にした地震動を考慮する設計とすることで、系統自身の堅牢性を十分確保した上で、乾燥・固化後の状態におけるリスクの大きさを考慮し、さらに信頼性を高めるための設計としている。

- ✓ 位置的分散及び独立性を考慮した系統を2系統整備⇒ 多重性確保
- ✓ 1系統あたり2口⇒ 通水のための多様な空間を確保

○接続口の信頼性

冷却コイル等への通水に使用する配管は、基本的に独立した系統に複数の接続口を設け、複数の部屋で通水できるよう設計している。



第2.-38図 冷却コイル等への通水の接続口概要図

2.2.2 冷却コイル等への通水による冷却に使用する設備の有効性について

蒸発乾固への対処は、安全冷却水系の冷却機能の喪失が発生した場合に実施するため、蒸発乾固への対処に使用する重大事故等対処施設には、安全冷却水系の冷却機能の喪失に伴って生じる環境条件の変化を想定した場合でも、必要な機能を有效地に発揮することが求められる。

以下に、重大事故等対処施設が機能を発揮できることを説明する。

a. 溫度

1) 常設重大事故等対処設備

冷却コイル等への通水は、高レベル廃液等の沸騰前後に実施することから、その温度は最大でも高レベル廃液等の沸点程度であり、設備の機能を損なうことはない。

✓ 冷却コイル等への通水は、事態の収束を図る目的で沸騰後に実施する可能性もあるが、温度条件としては各高レベル廃液等の沸点程度（100°Cを上回る程度）であることから、常設重大事故等対処設備である冷却コイル等が想定される使用温度において有意な影響を受けることはない。

2) 可搬型重大事故等対処設備

可搬型重大事故等対処設備は、直接高レベル廃液等と接することはなく、外部から供給される水又は除熱後の排水を通水するのみである。内部ループへの通水時の供給水量は、除熱後の排水温度が55°C以下となる水量で供給することから、設備の機能を損なうことはない。

✓ 可搬型ホース等は直接高レベル廃液等と接することなく、外部から供給される水又は除熱後の排水を通水するのみである。

✓ 可搬型ホース（消防ホース）の耐熱温度60°Cに対し、内部ループへの通水時の供給水量は、除熱後の排水温度が55°C以下となる水量で供給することから、想定される使用条件において有意な影響を与えることはない。

b. 圧力

可搬型中型移送ポンプからの冷却水供給圧が圧力条件として最も高いが、冷却コイル等への通水による冷却に使用する設備の最高使用圧力以下の供給圧で水を供給する運用とすることから、設備の機能を損なうことはない。

- ✓ 常設重大事故等対処設備の最高使用圧力が 0.98MPa であるのに對し、可搬型中型移送ポンプからの冷却水供給圧を 0.8MPa 以下とすることから、有意な影響はない
- ✓ 可搬型ホース（消防ホース）の使用圧力が 1.6MPa 程度であるのに對し、可搬型中型移送ポンプからの冷却水供給圧を 0.8 MPa 以下とすることから、有意な影響はない

c. 放射線

直接高レベル廃液等と接する常設重大事故等対処設備における放射線影響は、平常運転時と同程度であり、直接放射線と接しない可搬型重大事故等対処設備における放射線影響は、セル外で使用することからその影響は無視できることから、設備の機能を損なうことはない。

2.2.3 水の供給

- ✓ 各建屋において冷却（内包液温度 85°C 以下、冷却水出口温度 55°C 以下）に必要な水の流量を以下に示す。
- ✓ いずれの建屋においても、整備した可搬型中型移送ポンプ（容量 240 m³/h）を用いて冷却水の通水が可能である。

第2.-7表 冷却コイル等への通水必要流量

建屋	必要流量
前処理建屋	約2.3m ³ /h
分離建屋	約5.2m ³ /h
精製建屋	約2.8m ³ /h
ウラン・プルトニウム 混合脱硝建屋	約1.0m ³ /h
高レベル廃液ガラス 固化建屋	約51m ³ /h

2.3.1 セルへの導出経路の構築及び代替セル排気系による対応に使用する設備の設計

セルへの導出経路の構築及び代替セル排気系による対応に使用する系統は、基準地震動を1.2倍にした地震動を考慮する設計とすることで、系統自身の堅牢性を十分確保した設計としており、想定される使用環境において、期待する機能を発揮できる設計とする。

- ✓ 蒸発乾固が発生した場合に発生する蒸気により、蒸発乾固が発生した設備に接続する塔槽類廃ガス処理設備の系統内が加圧状態に至る可能性がある場合には、塔槽類廃ガス処理設備に設置されている隔離弁を閉止し、流路を遮断する。
- ✓ 蒸発乾固が発生した場合に発生する蒸気により、蒸発乾固が発生した設備に接続する塔槽類廃ガス処理設備の系統内が加圧状態に至った場合には、塔槽類廃ガス処理設備及びセルを接続するために新たに設置する常設重大事故等対処設備の塔槽類廃ガス処理設備からセルに導出するユニットを開放する。これにより、発生した蒸気及び放射性物質は当該ユニットを経由してセルに導出される。
- ✓ 仮に当該ユニットを経由して発生した蒸気及び放射性物質がセルに導出されない場合であっても、塔槽類廃ガス処理設備に設置された水封安全器からセルに導出される。（※発生蒸気量の少ないウラン・プルトニウム混合脱硝建屋を除く）
- ✓ 以上より、蒸発乾固により気相中へ移行した放射性物質をセルに導出することができる。

2.3.2. セルへの導出経路の構築及び代替セル排気系による対応に用いる設備の有効性について

蒸発乾固への対処は、安全冷却水系の冷却機能の喪失が発生した場合に実施するため、蒸発乾固への対処に使用する重大事故等対処施設には、安全冷却水系の冷却機能の喪失に伴って生じる環境条件の変化を想定した場合でも、必要な機能を有效地に発揮することが求められる。

以下に、重大事故等対処施設が機能を発揮できることを説明する。

a. 溫度

蒸発乾固の発生を想定する貯槽等が内包する高レベル廃液等の温度が上昇し、沸点に至った場合、蒸気が発生し、系統内の気体の温度が上昇するが、その場合の気体の温度は高レベル廃液等の沸点程度であり、設備の機能を損なうことはない。

1) 常設重大事故等対処設備

- ✓ セルへの導出経路の構築及び代替セル排気系による対応は、基本的に沸騰開始後に実施されることから、温度条件としては各高レベル廃液等の沸点程度（100°Cを上回る程度）であることから、常設重大事故等対処設備である塔槽類廃ガス処理設備の配管及びセル導出ユニット並びに凝縮器及び換気系統のダクトが有意な影響を受けることはない。
- ✓ なお、新たに設置する凝縮器は、凝縮器通過後の排気温度を50°C以下とする除熱能力を有する設計とすることから、実際の温度条件はさらに低い状態となる。

2) 可搬型重大事故等対処設備

- ✓ セルへの導出経路の構築及び代替セル排気系による対応は、基本的に沸騰開始後に実施されることから、温度条件としては各高レベル廃液等の沸点程度（100°Cを上回る程度）である。
- ✓ 新たに整備する可搬型重大事故等対処設備は、想定される温度条件下において使用可能な設備を整備することから影響はない。

b. 圧力

蒸発乾固の発生を想定する貯槽等が内包する高レベル廃液等の温度が上昇し、沸点に至った場合、蒸気が発生し、沸騰が発生している貯槽等に接続する塔槽類廃ガス処理設備内の圧力が上昇するが、塔槽類廃ガス処理設備内の圧力上昇は、塔槽類廃ガス処理設備に設置されている水封安全器又は塔槽類廃ガス処理設備からセルに導出するユニットを経由したセルへの導出により制限され、最大でも 300mm Aq 程度である。また、セルへの導出以降は、セルへの導出の過程における凝縮器による蒸気の凝縮及び可搬型排風機による排気により有意な圧力上昇はないことから、設備の機能を損なうことはない。

c. 放射線

蒸発乾固の発生を想定する貯槽等が内包する高レベル廃液等の温度が上昇し、沸点に至った場合、放射性物質を含む蒸気が発生するが、材質を適切に考慮することから、設備の機能を損なうことはない。

d. 湿度

蒸発乾固の発生を想定する貯槽等が内包する高レベル廃液等の温度が上昇し、沸点に至った場合、蒸気が発生するが、材質の考慮又は凝

縮器を設置することから、設備の機能を損なうことはない。また、放射性物質の除去機能を期待する高性能粒子フィルタの除去効率については、凝縮器の設置及び必要に応じて可搬型デミスタの設置によりミストを除去することから、設備の機能を損なうことはない。

- ✓ 凝縮器出口排気温度を 50°C とし、凝縮器出口の廃ガスを可搬型排風機の排気風量 2400m³/h で希釈することで有意なミストの発生を抑制することから、可搬型フィルタに与える影響はない

2.3.3 凝縮器による発生蒸気の凝縮について

- ✓ 発生した蒸気は凝縮器により凝縮されるが、水素掃気空気が抱えることができる湿分は下流へ流出する。
- ✓ 凝縮器は、廃ガス温度を 50°C 以下とすることが可能な除熱能力を有する設計とすることから、セルに導出される湿分は、50°C の水素掃気空気が抱えられる湿分となる。(表①)
- ✓ セルに導出された水素掃気空気に同伴された湿分は、可搬型排風機により引き込まれる空気と混合する。
- ✓ 可搬型排風機の容量を 2400m³ / h, 引き込まれる空気の温度を 0 °C, 湿度を 7.5 %^{*2}とした場合、引き込まれる空気の湿分は表②となる。
- ✓ 一方、温度 0 °C の 2400m³ / h の空気が抱えられる湿分は 11.7 k g / h であり、表①と②の合計が 11.7 k g / h を超えなければミストの発生はほぼ無視できると考えられ、高レベル廃液ガラス固化建屋以外の建屋については影響が無視できる。
- ✓ 実際には、凝縮器の除熱能力の安全余裕、水素掃気量の安全余裕及び引き込まれる空気温度設定の安全余裕から、高レベル廃液ガラス固化建屋においても大きな影響はないと考えられるが、蒸気発生量が多い

ことを考慮し、可搬型フィルタ上流にミスト除去を目的とした可搬型デミスタを設置することから、可搬型フィルタへ与える影響は無視できる。

第2.-8表 凝縮器以降の蒸気量

	蒸気発生量 (kg/h)	水素掃気量 (Nm ³ /h)	①水素掃気空 気に同伴する 水蒸気量 (kg/h) ^{※1}	②2400m ³ /h の 空気に同伴で きる水蒸気量 (kg/h) ^{※1}	①及び②の 合計
前処理建屋	108	31	2.6	8.7	11.3
分離建屋	127	35	2.9		11.6
精製建屋	131	15	1.3		10.0
ウラン・プルトニ ウム混合脱硝建屋	30.7	4	0.4		9.1
高レベル廃液ガラ ス固化建屋	1830	220	18.3		27.0

※1 50°C空気の飽和水蒸気量を 83g/m³, 0°C空気の飽和水蒸気量を 4.9g/m³とした

※2 気象庁 HP 青森市の年間平均湿度を参照

2.3.4 水の供給

- ✓ 各建屋の沸騰に至るまでの時間が最も短い貯槽等の時間余裕, 凝縮器への通水開始時間及び各建屋において冷却に必要な水の流量を以下に示す。
- ✓ いずれの建屋においても, 整備した可搬型中型移送ポンプ（容量 240 m³/h）を用いて沸騰開始前までに凝縮器への冷却水の通水が可能である。

第2.-9表 時間余裕, 凝縮器への通水開始時間及び必要流量

建屋	沸騰までの時間	凝縮器への通水開始 時間	必要流量
前処理建屋	140 時間	41 時間 10 分	約 10m ³ /h
分離建屋	15 時間	10 時間	約 30m ³ /h
精製建屋	11 時間	8 時間 30 分	約 6 m ³ /h
ウラン・プルトニウム混 合脱硝建屋	19 時間	14 時間 10 分	約 6 m ³ /h
高レベル廃液ガラス固化 建屋	23 時間	19 時間 55 分	約 45m ³ /h

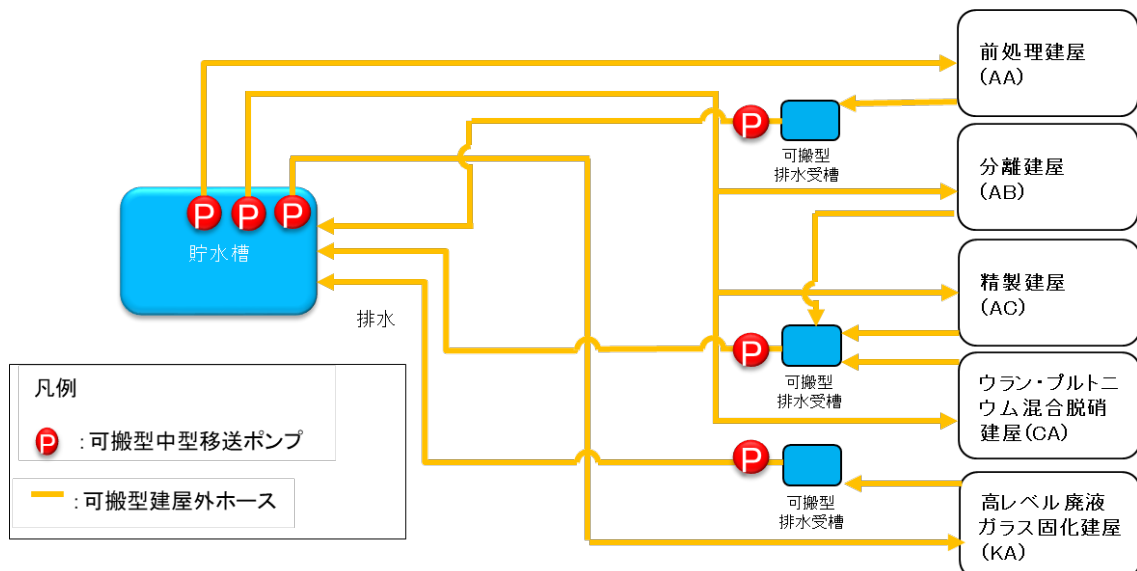
3. 可搬型中型移送ポンプの共用について

蒸発乾固の対処に使用する可搬型中型移送ポンプは、1台当たり約 $240\text{m}^3/\text{h}$ の容量を有し、内部ループへの通水を実施する場合には、前処理建屋における内部ループへの通水の実施に対して1台、分離建屋、精製建屋及びウラン・プルトニウム混合脱硝建屋における内部ループへの通水の実施に対して1台を共用し、高レベル廃液ガラス固化建屋における内部ループへの通水の実施に対して1台を使用する。また、冷却コイル等への通水、貯槽等への注水及びセルへの導出経路の構築及び代替セル排気系による対応の凝縮器への通水の実施に必要な水の供給は、同じ可搬型中型移送ポンプを用いて実施する。

第3.-1表に示すとおり、各建屋で蒸発乾固の各対策に必要な水量を考慮したとしても可搬型中型移送ポンプの容量(約 $240\text{m}^3/\text{h}$)以下であるため、問題はない。また、故障等に備え保管庫、簡易倉庫に十分な数のバックアップを保管している。

第3.-1表 蒸発乾固への対処に使用する水量

建屋	流量 (m^3/h)				
	AA	AB	AC	CA	KA
① 内部ループへの通水	約 29	約 33	約 4.1	約 1.3	約 70
② 冷却コイル等への通水	約 2.3	約 5.2	約 2.8	約 1.0	約 51
③ 貯槽等への注水	約 0.33	約 0.61	約 0.40	約 0.14	約 5.5
④ セルへの導出経路の構築及び代替セル排気系による対応 (凝縮器通水)	約 10	約 30	約 6	約 6	約 45
①+③+④	約 40	約 64	約 11	約 7.5	約 130
(②+③+④)	約 13	約 36	約 9.2	約 7.1	約 110
蒸発乾固の対処での建屋共用考慮	-	約 82 (約 52)			-



第3.-1図 蒸発乾固への対処における水供給概要図

4. 可搬型発電機の共用について

前処理建屋可搬型発電機の電源負荷については、前処理建屋における蒸発乾固の拡大防止対策に必要な負荷として、可搬型排風機の約5.2 kVAであり、可搬型排風機の起動時を考慮すると約39 kVAの給電が必要である。

分離建屋可搬型発電機の電源負荷については、分離建屋における蒸発乾固の拡大防止対策に必要な負荷として、可搬型排風機の約5.2 kVAであり、可搬型排風機の起動時を考慮すると約39 kVAの給電が必要である。

ウラン・プルトニウム混合脱硝建屋可搬型発電機の電源負荷については、精製建屋及びウラン・プルトニウム混合脱硝建屋における蒸発乾固の拡大防止対策に必要な負荷として、精製建屋及びウラン・プルトニウム混合脱硝建屋の可搬型排風機の約11 kVAであり、可搬型排風機1台運転中にもう1台の可搬型排風機の起動時を考慮すると約45 kVAの給電が必要である。

高レベル廃液ガラス固化建屋可搬型発電機の電源負荷については、高レベル廃液ガラス固化建屋における蒸発乾固の拡大防止対策に必要な負荷として、可搬型排風機の約5.2 kVAであり、可搬型排風機の起動時を考慮すると約39 kVAの給電が必要である。

各可搬型発電機（前処理建屋可搬型発電機、分離建屋可搬型発電機、ウラン・プルトニウム混合脱硝建屋可搬型発電機、高レベル廃液ガラス固化建屋可搬型発電機）の供給容量は約80 kVAあり、必要負荷に対しての電源供給が可能である。

精製建屋及びウラン・プルトニウム混合脱硝建屋については、放出低減対策で使用する可搬型発電機を共用している。機器の起動につい

ては、起動の順番を決め、同時起動しないようにしているが、仮に精製建屋及びウラン・プルトニウム混合脱硝建屋の可搬型排風機の同時起動時を考慮した場合、約 78 k V A であり、2 建屋合わせても可搬型発電機の容量(80 k V A)以下である。

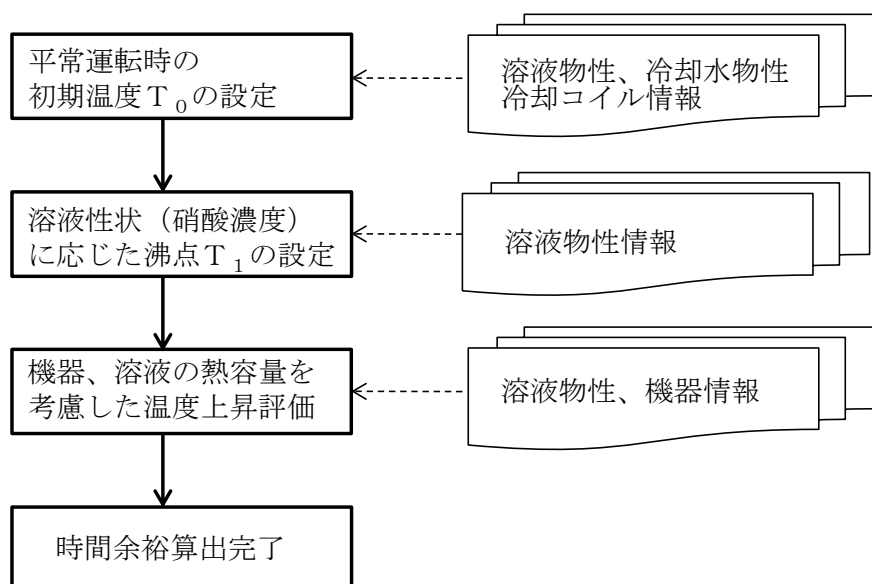
令和2年4月13日 R2

補足説明資料7－3

1. 「地震発生による全交流動力電源の喪失を伴う冷却機能喪失事故」の沸騰に至るまでの時間について

1.1 時間余裕の算出方法

冷却機能の喪失から高レベル廃液等の沸騰開始までの時間余裕は、第 1. - 1 図のフローに基づいて算出する。時間余裕の算出を行う貯槽等は、前処理建屋、分離建屋、精製建屋、ウラン・プルトニウム混合脱硝建屋及び高レベル廃液ガラス固化建屋の蒸発乾固を想定する貯槽等である。



第 1. - 1 図 高レベル廃液等の沸騰開始までの時間余裕算出フロー

(1) 平常運転時の初期温度 T_0 の設定

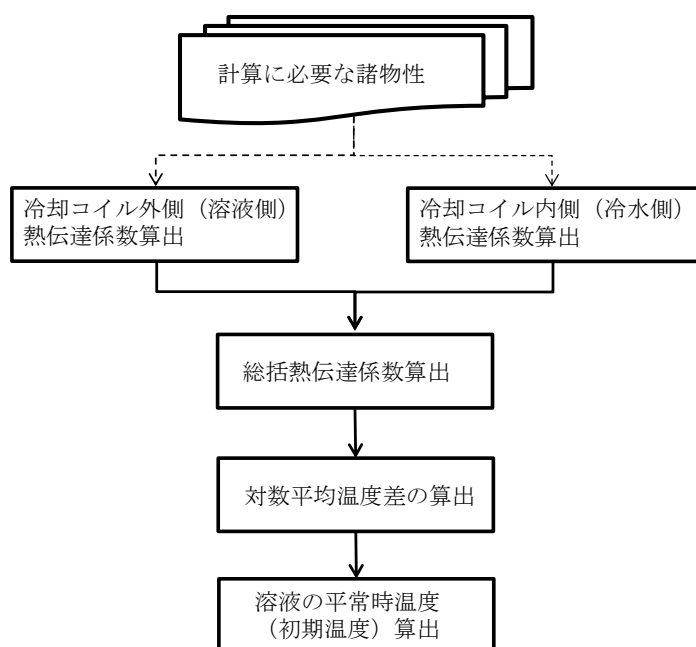
高レベル廃液等の平常運転時の初期温度 T_0 は、設計及び工事の方法の認可申請書の「崩壊熱除去に関する説明書」と同様の手法で評価する。

高レベル廃液等の初期温度の算出に当たって、冷却コイル又は冷却ジャケットを 2 系統有する貯槽では、より厳しい結果を与えるように伝熱面積が小さい方の 1 系統のみで冷却する条件とする。

高レベル廃液等の初期温度を算出するために用いる各種パラメータを第 1. - 1 表及び第 1. - 2 表に示す。

a. 冷却コイルの場合

冷却コイルを用いて冷却を行う前処理建屋、分離建屋、精製建屋及び高レベル廃液ガラス固化建屋の高レベル廃液等の初期温度は以下のとおり算出する。高レベル廃液等の初期温度の計算フローを第 1. - 2 図に示す。



第 1. - 2 図 冷却コイルの場合の高レベル廃液等の初期温度の計算フロー

(a) 冷却コイルの熱伝達係数の算出方法

i. 冷却コイル外側（溶液側）の熱伝達係数

高レベル廃液等の平常運転時の初期温度を算出するために必要な冷却コイル外側（溶液側）の熱伝達係数 h_0 は、以下の計算式を用いて算出する。

$$h_0 = N_0 \times \frac{\lambda_0}{d},$$

$$N_0 = 0.53 \times (G r_0 \times P r_0)^{\frac{1}{4}}$$

$$P r_0 = C_0 \times \frac{\mu_0}{\lambda_0}$$

$$G r_0 = g \times d' \times \rho_0^2 \times \beta \times \frac{(T_0 - T_w)}{\mu_0^2}$$

ii. 冷却コイル内側（冷水側）の熱伝達係数

高レベル廃液等の平常運転時の初期温度を算出するために必要となる冷却コイル内側（冷水側）の熱伝達係数 h_i は、以下の計算式を用いて算出する。

$$h_i = N_i \times \frac{\lambda_i}{d}$$

$$N_i = 0.023 \times R e_i^{0.8} \times P r_i^{0.4}$$

$$P r_i = C_i \times \frac{\mu_i}{\lambda_i}$$

$$R e_i = d \times u \times \frac{\rho_i}{\mu_i}$$

(b) 総括熱伝達係数、対数平均温度差及び平衡温度の算出

i. 総括熱伝達係数

$$\frac{1}{U} = \frac{1}{h_0} + \frac{d'}{d \times h_i} + \frac{2 \times L \times d'}{\lambda \times (d + d')} + \frac{1}{h_{so}} + \frac{d'}{(d \times h_{si})}$$

ii. 対数平均温度差

$$\Delta t_L = \frac{(T_0 - t_1) - (T_0 - t_2)}{\ln \frac{T_0 - t_1}{T_0 - t_2}}$$

iii. 平衡温度

平衡状態では、(b) ii. の算出式が成り立っているため、下式に対数平均温度差 Δt_L を代入し、高レベル廃液等の平衡温度 T_0 を算出する。

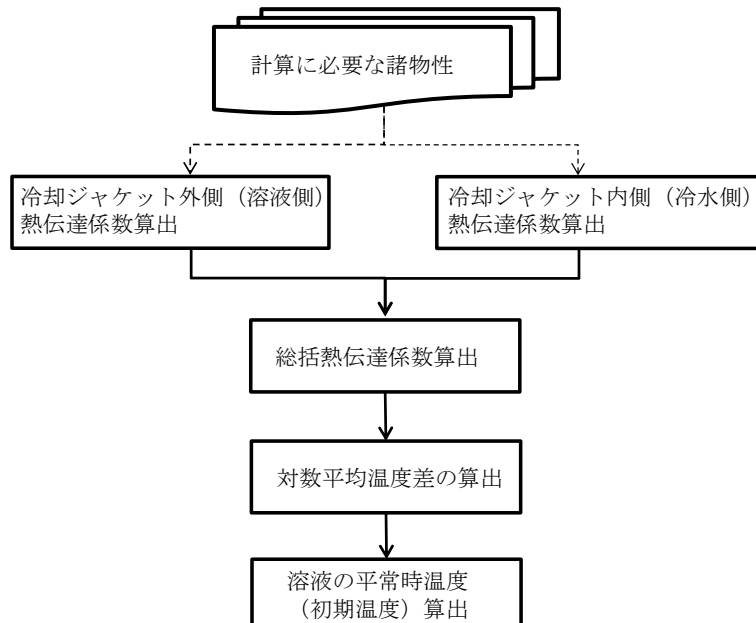
$$Q = U \times A \times \Delta t_L$$

第 1. - 1 表 溶液の初期温度算出に用いる各種パラメータ

λ_o	溶液の熱伝導率	N_o	冷却コイル外面のヌセルト数
d'	冷却コイル外径	$G r_o$	溶液のグラスホフ数
$P r_o$	溶液のプラントル数	C_o	溶液の比熱
μ_o	溶液の粘度	g	重力加速度
ρ_o	溶液の密度	β	溶液の体膨張係数
T_o	溶液温度	T_w	溶液の壁面温度
λ_i	水の熱伝導率	N_i	冷却コイル内面のヌセルト数
d	冷却コイル内径	$R e_i$	水のレイノルズ数
$P r_i$	水のプラントル数	w	冷却水流量
μ_i	水の粘度 (平均温度における値)	u	水の流速
C_i	水の比熱	U	総括伝熱係数
ρ_i	水の密度	h_i	冷却水側の熱伝達率
h_o	溶液側の熱伝達係数	λ	ステンレス鋼の熱伝導係数
L	冷却コイル厚さ	$h_{s,i}$	冷却コイル内面の汚れ係数
h_{so}	冷却コイル外面の汚れ係数	t_2	冷却水出口温度
t_1	冷却水入口温度	Q	崩壊熱量
Δt_L	対数平均温度差		
A	伝熱面積		

b. 冷却ジャケットの場合

冷却ジャケットを用いて冷却を行う前処理建屋、分離建屋、ウラン・プルトニウム混合脱硝建屋及び高レベル廃液ガラス固化建屋の高レベル廃液等の初期温度は以下のとおり算出する。高レベル廃液等の初期温度の計算フローを第 1. - 3 図に示す。



第 1. - 3 図 冷却ジャケットの場合の高レベル廃液等の初期温度の計算フ ロ一

(a) 冷却ジャケットの熱伝達係数の算出方法

i. 冷却ジャケット外側（溶液側）の熱伝達係数

高レベル廃液等の平常運転時の初期温度を算出するために必要な冷却ジャケット外側（溶液側）の熱伝達係数 h_0 は、以下の計算式を用いて算出する。

$$h_0 = N_0 \times \frac{\lambda_0}{L_0}$$

$$N_0 = 0.13 \times (G r_0 \times P r_0)^{\frac{1}{3}}$$

$$P r_0 = C_0 \times \frac{\mu_0}{\lambda_0}$$

$$G r_0 = g \times L_0^3 \times \rho_0^2 \times \beta \times \frac{(T_0 - T_w)}{\mu_0^2}$$

ii. 冷却ジャケット内側（冷水側）の熱伝達係数

高レベル廃液等の平常運転時の初期温度を算出するために必要な冷却ジャケット内側（冷水側）の熱伝達係数 h_i は、以下の計算式を用いて算出する。

$$h_i = N_i \times \frac{\lambda_i}{D_e}$$

$$N_i = 0.023 \times R e_i^{0.8} \times P r_i^{0.4}$$

$$P r_i = C_i \times \frac{\mu_i}{\lambda_i}$$

$$R e_i = D_e \times u \times \frac{\rho_i}{\mu_i}$$

(b) 総括熱伝達係数、対数平均温度差 Δt_L 及び平衡温度 T_0 の算出

i. 総括熱伝達係数

$$\frac{1}{U} = \frac{1}{h_0} + \frac{1}{h_i} + \frac{L}{\lambda} + \frac{1}{h_{so}} + \frac{1}{h_{si}}$$

ii. 対数平均温度差

$$\Delta t_L = \frac{(T_0 - t_1) - (T_0 - t_2)}{\ln \frac{T_0 - t_1}{T_0 - t_2}}$$

iii. 平衡温度

平衡状態では、(b) ii. の算出式が成り立っているため、下式に対数平均温度差 Δt_L を代入し、高レベル廃液等の平衡温度 T_0 を算出する。

$$Q = U \times A \times \Delta t_L$$

第1.-2表 高レベル廃液等の初期温度算出に用いる各種パラメータ

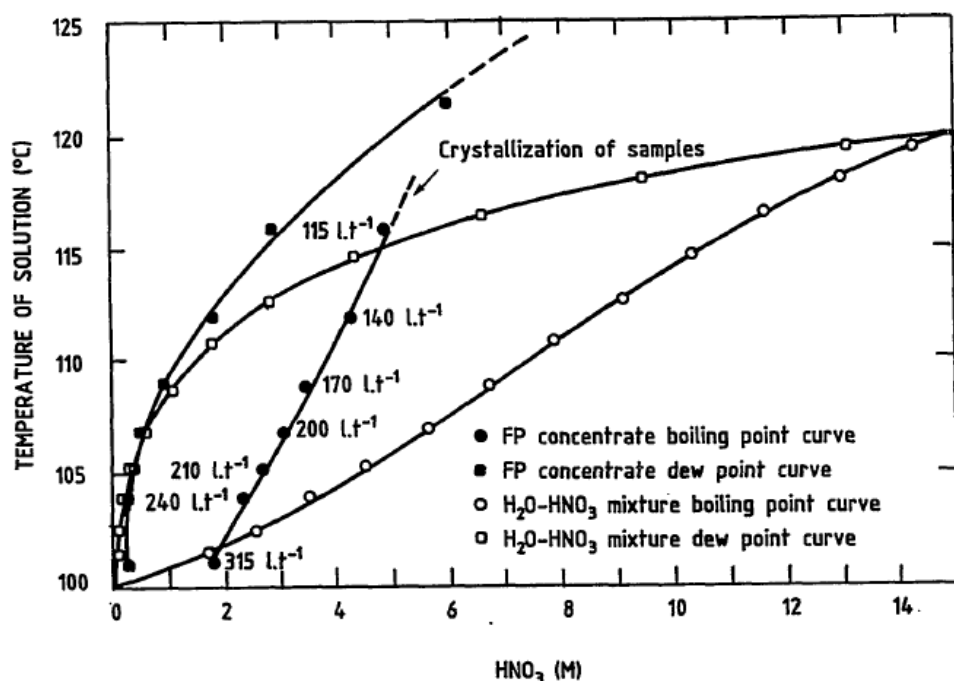
λ_0	高レベル廃液等の熱伝導率	N_0	冷却ジャケット外面のヌセルト数
$G r_0$	高レベル廃液等のグラスホフ数	$P r_0$	高レベル廃液等のプラントル数
$D e$	水力相当径	C_0	高レベル廃液等の比熱
μ_0	高レベル廃液等の粘度	g	重力加速度
ρ_0	高レベル廃液等の密度	β	高レベル廃液等の体膨張係数
T_0	高レベル廃液等の温度	T_w	高レベル廃液等の壁面温度
λ_i	水の熱伝導率	N_i	冷却コイル内面のヌセルト数
$R e_i$	水のレイノルズ数	$P r_i$	水のプラントル数
w	冷却水流量	μ_i	水の粘度 (平均温度における値)
u	水の流速	C_i	水の比熱
U	総括伝熱係数	ρ_i	水の密度
h_i	冷却水側の熱伝達係数	h_o	溶液側の熱伝達係数
λ	ステンレス鋼の熱伝導率	L	銅板長さ
h_{si}	冷却ジャケット内面の汚れ係数	h_{so}	冷却ジャケット外面の汚れ係数
t_2	冷却水出口温度	t_1	冷却水入口温度
Δt_L	対数平均温度差	L_0	代表長さ
A	伝熱面積	Q	崩壊熱量

(2) 溶液性状(硝酸濃度)に応じた沸点 T_1 の設定

高レベル廃液等の沸点 T_1 は高レベル廃液等の硝酸濃度より第 1. - 4 図⁽¹⁾の硝酸濃度と沸点の関係から算出する。実際の高レベル廃液等は、硝酸以外の溶質も溶存しており第 1. - 4 図の水-硝酸の沸点より高くなるが、時間余裕の算出に用いる沸点は、より厳しい結果を与えるよう第 1. - 4 図より求めた以下の近似式に高レベル廃液等の硝酸濃度を代入し算出したものを用いる。

$$T_1 = -0.005447 \times c^3 + 0.1177 \times c^2 + 0.7849 \times c + 99.90$$

c : 硝酸濃度 [M]



第 1. - 4 図 硝酸濃度と沸点の関係

(3) 機器及び高レベル廃液等の熱容量を考慮した温度上昇評価

冷却機能の喪失から沸騰開始までの時間余裕 Δt は、より厳しい結果を与えるように貯槽外面を断熱とし、高レベル廃液等と貯槽等の比熱を考慮して以下の計算式を用いて算出する。時間余裕を算出するために用いる各種パラメータを第 1. - 3 表に示す。

$$Q \times V \times \Delta t = \{ (M \times C) + (\rho \times V \times C') \} \times (T_1 - T_0)$$

$$\Delta t = \{(M \times C) + (\rho \times V \times C')\} \times \frac{(T_1 - T_0)}{(Q \times V)}$$

第 1. - 3 表 溫度上昇評価に用いる各種パラメータ

M	貯槽等の質量	C'	高レベル廃液等の比熱
C	貯槽等の比熱	Q	崩壊熱密度
T ₁	高レベル廃液等の沸点	T ₀	高レベル廃液等の初期温度
V	貯液量	ρ	高レベル廃液等の密度

1.2 各機器及びセルの具体的な評価結果

各建屋の蒸発乾固を想定する貯槽等の時間余裕及び算出に用いた評価

条件を第 1. - 4 表から第 1. - 8 表に示す。

第1. - 4表 前処理建屋の蒸発乾固を想定する貯槽等の時間余裕及び算出に用いた評価条件

機器	貯槽材質	崩壊熱密度 Q [W/m ³]	貯液量 V [m ³]	貯槽等の質量 M [kg]	貯槽等の比熱 C [J/kg/K]	高レベル廃液等の密度 ρ [kg/m ³]	高レベル廃液等の比熱 C [J/kg/K]	高レベル廃液等の硝酸濃度 [M]	高レベル廃液等の沸点 T ₁ [°C]	高レベル廃液等の初期温度 T ₀ [°C]	時間余裕 ΔT [h]
中繼槽	ステンレス鋼	600	7	12100	499	1410	0.7	3	103	34	159
リサイクル槽	ステンレス鋼	600	2	3750	499	1410	0.7	3	103	33	164
不溶解残渣回収槽	ステンレス鋼	3.3	5	9500	499	976	0.99	0.2	100	30	2.9×10^4
計量前中間貯槽	ステンレス鋼	600	25	19100	499	1410	0.7	3	103	32	148
計量後中間貯槽	ステンレス鋼	460	25	19800	499	1410	0.7	3	103	32	194
計量・調整槽	ステンレス鋼	460	25	7950	499	1410	0.7	3	103	32	183
計量補助槽	ステンレス鋼	460	7	5100	499	1410	0.7	3	103	32	192
中間ボット	ジルコニウム	600	■	385	288	1400	0.7	3	103	30	167

■については商業機密の観点から公開できません。

第 1. - 5 表 分離建屋の蒸発乾固を想定する貯槽等の時間余裕及び算出に用いた評価条件

機器	貯槽材質	崩壊熱密度 Q [W/m ³]	貯液量 V [m ³]	貯槽等の 質量 M [kg]	貯槽等の比熱 C [J/kg/K]	高レベル廃 液等の密度 ρ [kg/m ³]	高レベル廃 液等の比熱 C [kcal/kg/K]	硝酸濃度 [M]	初期温度 T ₀ [°C]	高レベル 廃液等の 沸点 T ₁ [°C]	時間余裕 ΔT [h]
溶解液中間貯槽	ステンレス鋼	460	25	10950	499	1410	0.7	3	103	32	186
溶解液供給槽	ステンレス鋼	460	6	3360	499	1410	0.7	3	103	32	189
抽出廃液受槽	ステンレス鋼	290	15	5040	499	1073	0.845	2.8	103	35	258
抽出廃液中間貯槽	ステンレス鋼	290	20	6140	499	1073	0.845	3	103	35	257
抽出廃液供給槽 A	ステンレス鋼	290	60	20700	499	1073	0.845	2.6	103	35	258
抽出廃液供給槽 B	ステンレス鋼	290	60	21050	499	1073	0.845	2.6	103	35	258
第 1 一時貯留処理槽	ステンレス鋼	290	3	6200	499	1073	0.845	2.8	103	35	314
第 8 一時貯留処理槽	ステンレス鋼	290	■	7500	499	1073	0.845	2.8	103	35	314
第 7 一時貯留処理槽	ステンレス鋼	290	■	5800	499	1073	0.845	2.8	103	35	314
第 3 一時貯留処理槽	ステンレス鋼	290	20	7130	499	1073	0.845	2.8	103	35	258
第 4 一時貯留処理槽	ステンレス鋼	290	20	7430	499	1073	0.845	2.8	103	35	259
第 6 一時貯留処理槽	ステンレス鋼	290	■	2780	499	1073	0.845	2.8	103	32	336
高レベル廃液供給槽 A	ステンレス鋼	120	20	18000	499	1050	0.87	2.6	103	30	721
高レベル廃液濃縮缶 A	ステンレス鋼	5800	■	63400	499	1460	0.58	4	104	50※	15

※ 高レベル廃液濃縮缶が加熱運転している場合の温度

■については商業機密の観点から公開できません。

第 1. - 6 表 精製建屋の蒸発乾固を想定する貯槽等の時間余裕及び算出に用いた評価条件

機器	貯槽材質	崩壊熱密度 Q [W/m ³]	貯液量 V [m ³]	貯槽等の質量 M [kg]	貯槽等の比熱 C [J/kg/K]	高レベル廃液等の密度 ρ [kg/m ³]	高レベル廃液等の比熱 C [J/kg/K]	高レベル廃液等の硝酸濃度 [M]	高レベル廃液等の沸点 T_1 [°C]	初期温度 T_0 [°C]	時間余裕 ΔT [h]
ブルトニウム溶液受槽	ステンレス鋼	930	■■■	3400	499	1080	0.89	1.58	101	36	114
油水分離槽	ステンレス鋼	930	■■■	3500	499	1080	0.89	1.58	101	36	115
ブルトニウム濃縮缶供給槽	ステンレス鋼	930	3	8700	499	1080	0.89	1.58	101	42	96
ブルトニウム溶液一時貯槽	ステンレス鋼	930	3	9000	499	1080	0.89	1.58	101	41	98
ブルトニウム濃縮液受槽	ステンレス鋼	8600	1	4500	499	1620	0.59	7	109	49	12
リサイクル槽	ステンレス鋼	8600	1	4500	499	1620	0.59	7	109	49	11
希釀槽	ステンレス鋼	8600	2.5	8300	499	1620	0.59	7	109	45	11
ブルトニウム濃縮液 一時貯槽	ステンレス鋼	8600	1.5	5800	499	1620	0.59	7	109	49	11
ブルトニウム濃縮液計量槽	ステンレス鋼	8600	1	4500	499	1620	0.59	7	109	49	12
ブルトニウム濃縮液 中間貯槽	ステンレス鋼	8600	1	4500	499	1620	0.59	7	109	49	12
第 1 一時貯留処理槽	ステンレス鋼	930	1.5	4600	499	1080	0.89	1.58	101	38	104
第 2 一時貯留処理槽	ステンレス鋼	930	1.5	4600	499	1080	0.89	1.58	101	38	104
第 3 一時貯留処理槽	ステンレス鋼	930	3	8700	499	1080	0.89	1.58	101	42	96

■については商業機密の観点から公開できません。

第1. - 7表 ウラン・プルトニウム混合脱硝建屋の蒸発乾固を想定する貯槽等の時間余裕及び算出に用いた評価条件

機器	貯槽材質	崩壊熱密度 Q [W/m ³]	貯液量 V [m ³]	貯槽等の 質量 M [kg]	貯槽等の比熱 C [J/kg/K]	高レベル廃 液等の密度 ρ [kg/m ³]	高レベル廃液等の比 熱 c' [kc a / kg / K]	高レベル 廃液等の 硝酸濃度 [M] [M]	高レベル 廃液等 の沸点 T_1 [°C]	初期温度 T_0 [°C]	時間余裕 ΔT [h]
硝酸プルトニウム貯槽	ステンレス鋼	8600	1	9600	499	1580	0.59	7	109	41	19
混合槽	ステンレス鋼	5300	1	9600	499	1570	0.59	4.38	105	37	30
一時貯槽	ステンレス鋼	8600	1	9600	499	1580	0.59	7	109	41	19

第1.－8表 高レベル廃液ガラス固化建屋の蒸発乾固を想定する貯槽等の時間余裕及び算出に用いた評価条件

機器	貯槽材質	崩壊熱密度 Q [W/m ³]	貯液量 V [m ³]	貯槽等の質量 M [kg]	貯槽等の比熱 C	高レベル廃液等の密度 ρ [kg/m ³]	高レベル廃液等の比熱 C'	高レベル廃液等の 硝酸濃度 [M]	高レベル 廃液等の 硝酸濃度 の沸点 T_1 [°C]	高レベル 廃液等の 初期温度 T_0 [°C]	時間余裕 ΔT [h]
高レベル濃縮廃液貯槽	ステンレス鋼	3200	120	70000	499	1300	0.8	2	102	41	24
高レベル濃縮廃液一時貯槽	ステンレス鋼	3600	25	20600	499	1300	0.8	2	102	39	23
高レベル廃液混合槽	ステンレス鋼	3600	20	22200	499	1300	0.8	2	102	41	23
供給槽	ステンレス鋼	3600	5	8300	499	1300	0.8	2	102	41	24
供給槽	ステンレス鋼	3600	2	3300	499	1300	0.8	2	102	41	24
不溶解残渣一時貯槽	ステンレス鋼	3.3	5	8150	499	976	0.99	0.17	100	30	2.8×10^4
不溶解残渣廃液貯槽	ステンレス鋼	1.5	70	36100	499	976	0.99	0.09	100	30	5.5×10^4
高レベル廃液共用貯槽	ステンレス鋼	3200	120	70000	499	1300	0.8	2	102	41	24

1.3 貯槽等の熱容量を考慮することの妥当性

高レベル廃液等を保持する貯槽等の胴板を平板形状とした場合、貯槽等の外面を断熱と仮定すると、貯槽等の外面温度の過渡変化は次式の関係で表現することができる。

$$\theta_c = A_1 \exp(-A_2 F_o)$$

$$\theta_c = \frac{T_c - T_o}{T_i - T_o}$$

$$F_o = \frac{\alpha t}{L^2}$$

$$\alpha = \frac{\lambda}{\rho C}$$

ここでA 1およびA 2は、ビオ数 ($B_i = h L / \lambda$) から定まる過渡温度変化パラメータで下表⁽²⁾のとおりとなる。

第1.-9表 ビオ数 ($B_i = h L / \lambda$) から定まる過渡温度変化パラメータ

$B_i = h L / \lambda$	A 1	A 2
0.1	1.016	0.097
0.2	1.031	0.187
0.3	1.045	0.272

第1.-10表 過渡変化算出に用いる各種パラメータ

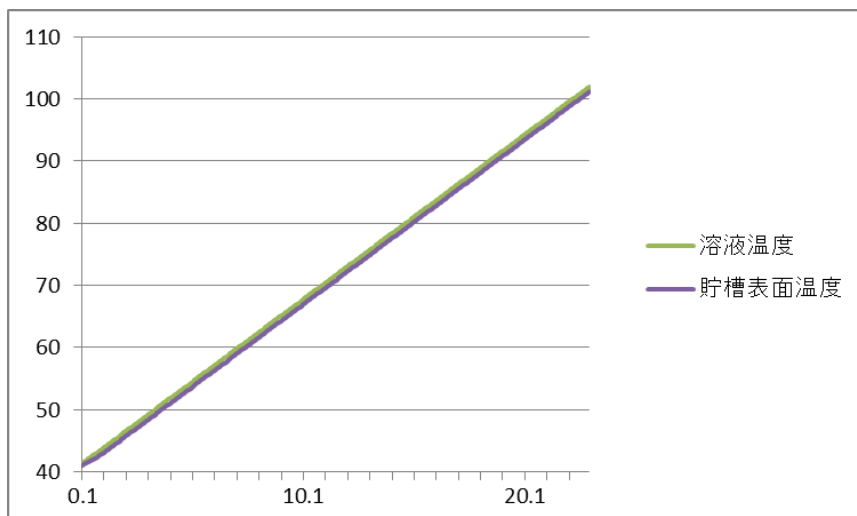
記号	意味	数値	備考
L	貯槽等の厚さ	■ [m]	設計値
P	貯槽等の密度	7920 [kg/m ³]	SUS304の値(伝熱工学資料)
C	貯槽等の比熱	499 [J/kg/K]	SUS304の値(伝熱工学資料)
λ	貯槽等の熱伝導率	16 [W/m/K]	SUS304の値(伝熱工学資料)
h	熱伝達率	110 [W/m ² /K]	
T _c	貯槽等の外面温度		

■については商業機密の観点から公開できません。

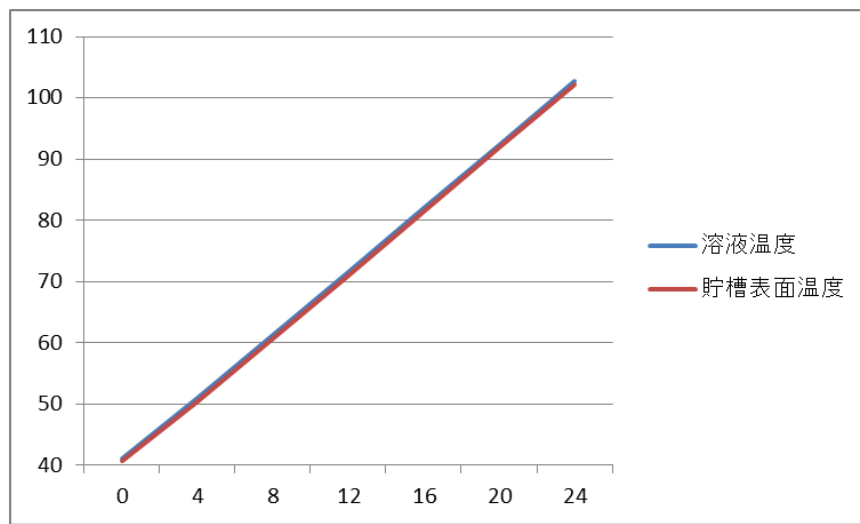
T _i	貯槽等の外面初期温度	
T _o	高レベル廃液等の温度	

上述の関係式から、境界条件となる高レベル廃液等の温度を時間変化させ、ある微小な時間経過後の貯槽等の表面温度を逐次計算し算出する。

高レベル濃縮廃液貯槽の温度上昇速度の場合、貯槽の熱容量を考慮しない場合で約 $2.65^{\circ}\text{C}/\text{h}$ となる。これを境界条件とした場合の貯槽表面温度の時間変化は第 1. - 5 図のとおりとなり、溶液温度の上昇とほぼ同じ上昇傾向を示すことがわかる。また、差分法により溶液温度および貯槽表面温度の時間変化を算出したところ、第 1. - 6 図のとおりとなった。これらの結果から貯槽の熱容量を考慮した時間評価を行うことは妥当と考えられる。



第 1. - 5 図 貯槽表面温度の時間変化



第1.－6図 差分法により求めた溶液温度および貯槽表面温度の時間変化

2. 参考文献

- (1) M. Philippe, J. P. Mercier, and J. P Gue, “Behavior of Ruthenium in the case of Shutdown of the cooling system of HLLW storage tanks”, 21st DOE/NRC Nuclear Air Cleaning Conference, San Diego, USA (1990)
- (2) 「JSME テキストシリーズ 伝熱工学」 日本機械学会

令和2年4月13日 R2

補足説明資料7－4

1. 除熱評価について

安全冷却水系の機器が損傷し、冷却機能が喪失した場合には、蒸発乾固の発生を未然に防止するため、安全冷却水系の内部ループに通水し、蒸発乾固を想定する貯槽等に内包する高レベル廃液等を冷却する。さらに、安全冷却水系の内部ループへの通水が実施できなかった場合でも、より貯槽等に近い位置から冷却コイル等へ通水することにより、蒸発乾固を想定する貯槽等に内包する高レベル廃液等を冷却する。

上記対策の有効性を示すため、蒸発乾固の発生を想定する貯槽等の崩壊熱の除去に関する評価を行う。

1.1 評価対象

設計基準において、崩壊熱により高レベル廃液等が沸騰するおそれがあるとして、安全冷却水系により冷却している以下の第1. - 1表の貯槽等において蒸発乾固の発生を想定する。

第1.－1表 蒸発乾固の発生を想定する貯槽等

建 屋	施設・設備名	貯槽等
	溶解施設 溶解設備	中間ポット
前処理建屋	溶解施設 清澄・計量設備	中継槽 リサイクル槽 計量前中間貯槽 計量後中間貯槽 計量・調整槽 計量補助槽
	分離施設 分離設備	溶解液中間貯槽 溶解液供給槽 抽出廃液受槽 抽出廃液中間貯槽 抽出廃液供給槽
分離建屋	分離施設 分離建屋一時貯留処理設備	第1一時貯留処理槽 第8一時貯留処理槽 第7一時貯留処理槽 第3一時貯留処理槽 第4一時貯留処理槽 第6一時貯留処理槽
	液体廃棄物の廃棄施設 高レベル廃液濃縮設備 高レベル廃液濃縮系	高レベル廃液供給槽 高レベル廃液濃縮缶
精製建屋	精製施設 プルトニウム精製設備	プルトニウム溶液受槽 油水分離槽 プルトニウム濃縮缶供給槽 プルトニウム溶液一時貯槽 プルトニウム濃縮液受槽 リサイクル槽 希釈槽 プルトニウム濃縮液一時貯槽 プルトニウム濃縮液計量槽 プルトニウム濃縮液中間貯槽
	精製施設 精製建屋一時貯留処理設備	第1一時貯留処理槽 第2一時貯留処理槽 第3一時貯留処理槽
ウラン・プルトニウム 混合脱硝建屋	脱硝施設 ウラン・プルトニウム 混合脱硝設備	硝酸プルトニウム貯槽 混合槽 一時貯槽
高レベル廃液 ガラス固化建屋	液体廃棄物の廃棄施設 高レベル廃液貯蔵設備	高レベル濃縮廃液貯槽 高レベル濃縮廃液一時貯槽 高レベル廃液共用貯槽
	固体廃棄物の廃棄施設 高レベル廃液ガラス固化設備	高レベル廃液混合槽 供給液槽 供給槽

1.2 評価基準

蒸発乾固の発生を想定する貯槽等の崩壊熱の除去に関する評価の実施にあたり、前提となる評価基準を以下に示す。

冷却水出口温度 t_2 [°C] : 55°C以下

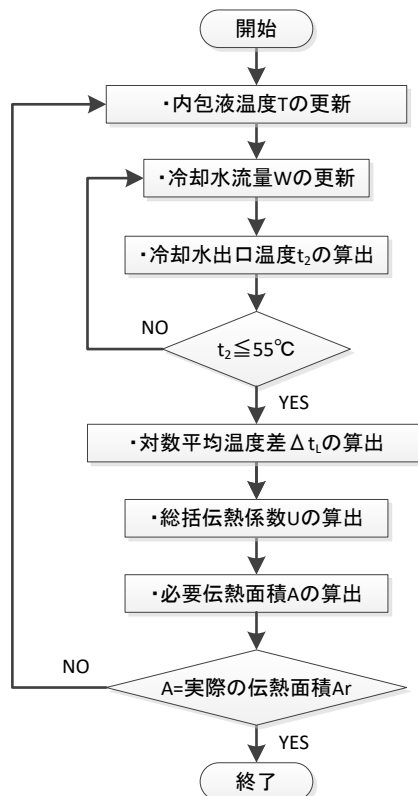
内包液温度 T [°C] : 85°C以下

冷却水出口温度 t_2 [°C]は、消防ホースの使用条件 60°Cに対して余裕を見込んで、55°C以下となるようとする。また、内包液温度 T [°C]は、沸点を十分に下回る温度として、85°C以下となるようとする。

1.3 評価方法

本評価では、「1.2 評価基準」で示した冷却水出口温度 t_2 [°C] 及び内包液温度 T [°C] を満足するとともに、必要伝熱面積 A [m^2] と実際の伝熱面積 A_r [m^2] が等しくなる、定常状態での冷却水流量 W [m^3/h] を算出するために、次頁以降で示す対数平均温度差 Δt_L [°C] 及び総括伝熱係数 U [W/m^2K] の評価式を用いる。

冷却水流量 W [m^3/h] の算出の流れの一例を、第 1. - 1 図に示す。



第 1. - 1 図 冷却水流量 W の評価フローの一例

1.3.1 対数平均温度差の算出

対数平均温度差 Δt_L [°C] は以下のとおり求める。

$$\Delta t_L = \frac{(T - t_1) - (T - t_2)}{\ln \frac{(T - t_1)}{(T - t_2)}}$$

第 1. - 2 表 対数平均温度差の算出に用いる各種パラメータ

Q	[kcal/h]	崩壊熱量
T	[°C]	内包液温度
t_1	[°C]	冷却水入口温度
t_2	[°C]	冷却水出口温度 (= $t_1 + Q / (C_i \times \rho_i \times W)$)
W	[m³/h]	冷却水流量
C_i	[J/kgK]	冷却水の比熱
ρ_i	[kg/m³]	冷却水の密度

1.3.2 冷却コイルの場合の総括伝熱係数の算出

冷却コイルの場合の総括伝熱係数 U [W/m²K] は以下のとおり求め る。

$$\frac{1}{U} = \frac{1}{h_o} + \frac{1}{h_{so}} + \frac{2 \times L \times d'}{\lambda \times (d + d')} + \frac{d'}{(d \times h_{si})} + \frac{d'}{d \times h_i}$$

第 1. - 3 表 冷却コイルの場合の総括伝熱係数の算出に用いる
各種パラメータ

h_o	[W/m²K]	冷却コイル外面 (内包液側) の熱伝達率
h_i	[W/m²K]	冷却コイル内面 (冷却水側) の熱伝達率
L	[m]	冷却コイル厚さ
λ	[W/mK]	冷却コイルの熱伝導率
h_{so}	[W/m²K]	冷却コイル外面 (内包液側) の汚れ係数
h_{si}	[W/m²K]	冷却コイル内面 (冷却水側) の汚れ係数
d'	[m]	冷却コイル外径
d	[m]	冷却コイル内径

ここで、冷却コイル外面（内包液側）の熱伝達率 h_o [W/m²K] は下式であらわされる。

$$h_o = \frac{\lambda_o \times Nu_o}{d},$$

冷却コイル外面（内包液側）のヌセルト数 Nu_o は以下のとおり求める。

($G r_o \times P r_o = 10^4 \sim 10^9$ の場合)

$$Nu_o = 0.53 \times (G r_o \times P r_o)^{1/4} \quad (3)$$

($G r_o \times P r_o > 10^9$ の場合)

$$Nu_o = 0.13 \times (G r_o \times P r_o)^{1/3} \quad (3)$$

第1.-4表 内包液側のヌセルト数の算出に用いる各種パラメータ

$P r_o$	—	内包液のプラントル数 (= $C_o \times \mu_o \times 3600 / \lambda_o$)
$G r_o$	—	内包液のグラスホフ数 (= $g \times d' \times 3 \times \rho_o^{-2} \times \beta \times (T - T_w) / \mu_o^2$)
g	[m/s ²]	重力加速度 (= 9.8)
β	[K ⁻¹]	内包液の体膨張係数
T_w	[°C]	内包液の壁面温度
μ_o	[kg/m s]	内包液の粘度
λ_o	[W/m K]	内包液の熱伝導率
ρ_o	[kg/m ³]	内包液の密度
C_o	[J/kg K]	内包液の比熱

また、冷却コイル内面（冷却水側）の熱伝達率 h_i [W/m²K] は下式であらわされる。

$$h_i = \frac{\lambda_i \times N_u i}{d}$$

冷却コイル内面（冷却水側）のヌセルト数 $N_u i$ は以下のとおり求める。
($Re_i < 2100$ の場合)

$$N_u i = 3.66 + \frac{0.0802 \times (q_{m i} \times C_i / \lambda_i / L_c)}{1 + 0.0458 \times (q_{m i} \times C_i / \lambda_i / L_c)^{2/3}} \quad (2)$$

($Re_i = 2320 \sim 10^4$ の場合)

$$N_u i = 0.116 \times (Re_i^{2/3} - 125) \times Pr_i^{1/3} \times \left[1 + \left(\frac{d}{L_c} \right)^{2/3} \right] \times \left(\frac{\mu_i}{\mu_{w i}} \right)^{0.14} \quad (3)$$

($Re_i > 10^4$ の場合)

$$N_u i = 0.023 \times Re_i^{0.8} \times Pr_i^{0.4} \quad (2)$$

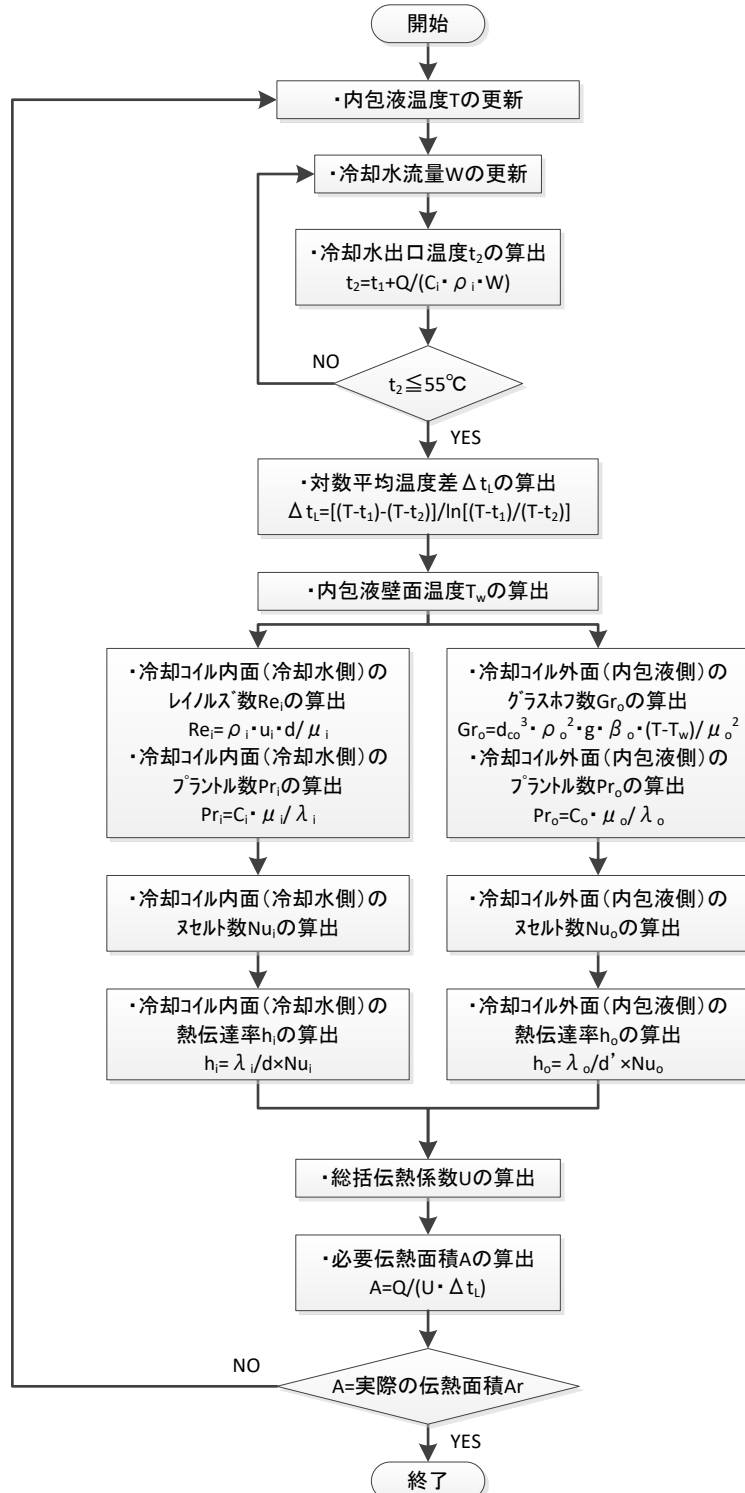
第1.－5表 冷却水側のヌセルト数の算出に用いる各種パラメータ

$q_{m i}$	[k g/s]	質量流量
L_c	[m]	コイル長さ
Re_i		冷却水のレイノルズ数 (= $d \times u \times \rho_i / \mu_i$)
Pr_i		冷却水のプラントル数（平均温度における値） (= $C_i \times \mu_i \times 3600 / \lambda_i$)
u	[m/s]	冷却水の流速
μ_i	[kg/m s]	冷却水の粘度 (平均温度における値)
$\mu_{w i}$	[kg/m s]	冷却水の粘度 (壁面温度における値)
λ_i	[W/m K]	冷却水の熱伝導率 (平均温度における値)
C_i	[J/kg K]	冷却水の比熱

冷却コイルの場合の冷却水流量 W [m³/h] の算出の流れの一例を、

第1.－2図に示す。

また、貯槽等における対数平均温度差 Δt_L [°C] 及び総括伝熱係数 U [W/m²K] の計算に使う物性等を、1.4.3に示す。



第1.－2図 冷却コイルの場合の冷却水流量Wの評価フローの一例

1.3.3 冷却ジャケットの場合の総括伝熱係数の算出

冷却ジャケットの場合の総括伝熱係数 U [W/m²K] は以下のとおり求める。

$$\frac{1}{U} = \frac{1}{h_o} + \frac{1}{h_{so}} + \frac{L}{\lambda} + \frac{1}{h_{si}} + \frac{1}{h_i}$$

第1.－6表 冷却ジャケットの場合の総括伝熱係数の算出に用いる

各種パラメータ

h_o	[W/m ² K]	内包液側の熱伝達率
h_i	[W/m ² K]	冷却水側の熱伝達率
L	[m]	貯槽等の板厚
λ	[W/mK]	貯槽等の熱伝導率
h_{so}	[W/m ² K]	内包液側の汚れ係数
h_{si}	[W/m ² K]	冷却水側の汚れ係数

ここで、内包液側の熱伝達率 h_o [W/m²K] は下式であらわされる。

$$h_o = \frac{\lambda_o \times Nu_o}{L_o}$$

冷却ジャケット外面（内包液側）のヌセルト数 Nu_o は以下のとおり求める。

($G_r_o \times P_r_o = 10^4 \sim 10^9$ の場合)

$$Nu_o = 0.59 \times (G_r_o \times P_r_o)^{1/4} \quad (3)$$

($G_r_o \times P_r_o > 10^9$ の場合)

$$Nu_o = 0.13 \times (G_r_o \times P_r_o)^{1/3} \quad (3)$$

($G_r_o \times P_r_o < 10^4$ の場合)

$$Nu_o = 1.36 \times (G_r_o \times P_r_o)^{1/6} \quad (3)$$

第1.－7表 内包液側のヌセルト数の算出に用いる各種パラメータ

P_r_o	—	内包液のプラントル数 $(= C_o \times \mu_o \times 3600 / \lambda_o)$
G_r_o	—	内包液のグラスホフ数 $(= g \times d' \times 3 \times \rho_o^{-2} \times \beta \times (T - T_w) / \mu_o^2)$
g	[m/s ²]	重力加速度 (=9.8)
β	[K ⁻¹]	内包液の体膨張係数
T_w	[°C]	内包液の壁面温度
μ_o	[kg/m s]	内包液の粘度
λ_o	[W/m K]	内包液の熱伝導率
ρ_o	[kg/m ³]	内包液の密度
C_o	[J/kg K]	内包液の比熱

また、冷却水側の熱伝達率 h_i [W/m²K] は下式であらわされる。

$$h_i = \frac{\lambda_i \times N u_i}{D_e}$$

($R_{e_i} < 2300$ の場合)

$$N u_i = 1.86 \times \left(\frac{L_0}{D_e \times P_e} \right)^{-\frac{1}{3}} \times \left(\frac{\mu_i}{\mu_{w_i}} \right)^{0.14} \quad (3)$$

($R_{e_i} = 2320 \sim 10^4$ の場合)

$$N u_i = 0.116 \times (R_{e_i}^{-\frac{2}{3}} - 125) \times P_r i^{\frac{1}{3}} \times \left[1 + \left(\frac{D_e}{L_0} \right)^{\frac{2}{3}} \right] \times \left(\frac{\mu_i}{\mu_{w_i}} \right)^{0.14} \quad (3)$$

($R_{e_i} > 10^4$ の場合)

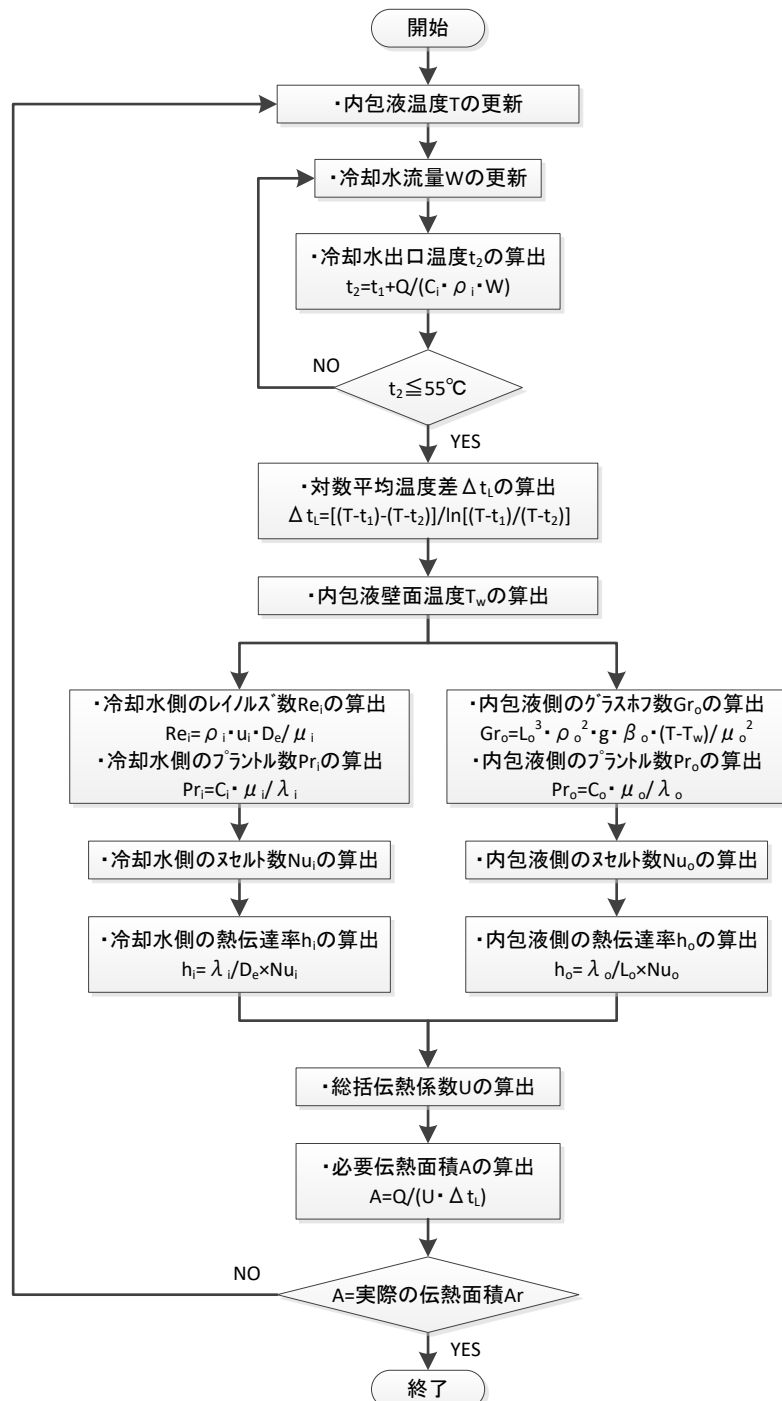
$$N u_i = 0.023 \times R_{e_i}^{0.8} \times P_r i^{0.4} \quad (2)$$

第1.－8表 冷却水側のヌセルト数の算出に用いる各種パラメータ

R_{e_i}	—	冷却水のレイノルズ数 (= $D_e \times u \times \rho_i / \mu_i$)
$P_r i$	—	冷却水のプラントル数 (平均温度における値) (= $C_i \times \mu_i \times 3600 / \lambda_i$)
P_e		冷却水のペクレ数 (= $R_{e_i} \times P_r i$)
D_e	[m]	水力相当径
u	[m/s]	冷却水の流速
μ_i	[kg/m s]	冷却水の粘度 (平均温度における値)
μ_{w_i}	[kg/m s]	冷却水の粘度 (壁面温度における値)
λ_i	[W/mK]	冷却水の熱伝導率 (平均温度における値)
C_i	[J/kg K]	冷却水の比熱

冷却ジャケットの場合の冷却水流量W [m³/h] の算出の流れの一例を、第1. - 3図に示す。

また、貯槽等における対数平均温度差 Δt_L [°C]及び総括伝熱係数U [W/m²K]の計算に使う物性等を、1.4.3に示す。



第1. - 3図 冷却ジャケットの場合の冷却水流量Wの評価フローの一例

1.4 評価条件

1.4.1 各施設・設備が内包する高レベル廃液等の崩壊熱

各施設・設備が内包する高レベル廃液等の崩壊熱は、崩壊熱の観点から最も厳しい燃料仕様を選定し評価する。貯槽等の崩壊熱除去の設計に用いている使用済燃料の仕様は、使用済燃料集合体1体程度の量で取り扱う場合（以下「1体領域」という。）及び1日当たりに再処理する使用済燃料を混合し、平均燃焼度が $45,000 \text{MW d} / t \cdot U_{Pr}$ 以下になるように調整する溶解施設の計量・調整槽以降の溶解液等を取り扱う場合（以下「1日平均領域」という。）があり、各施設・設備の特徴を考慮し設定する。

また、高レベル廃液等の崩壊熱量は、高レベル廃液等の主な核種からORIGINコード（ORIGIN-2⁽¹⁾）を用いて計算する。

各施設・設備の内包する高レベル廃液等の主な核種、燃料仕様及び崩壊熱を第1.-9表に示す。

第1.－9表 各施設・設備が内包する高レベル廃液等の主な核種、燃料仕様及び崩壊熱、

建屋	施設・設備名	領域区分	内包する溶液名	主な核種*	燃料仕様			崩壊熱		
					燃耗度 [GWd / t · U _{Pr}]	初期 濃縮度 [w / t %]	燃料 型式 t · U _{Pr}]			
前処理建屋	溶解施設 溶解設備	一体平均領域	溶解液(1)	FP+ACT	55	3	PWR	60	15	1.96×10 ⁵ [W/t · U _{Pr}]
	溶解施設 清澄・計量設備	一体平均領域	溶解液(1) 溶解液(2)	FP+ACT FP+ACT	55	3	PWR	60	15	1.96×10 ⁵ [W/t · U _{Pr}]
分離施設	分離施設	一日平均領域	溶解液(2)	FP+ACT	45	3.5	PWR	60	15	1.42×10 ⁵ [W/t · U _{Pr}]
	分離設備	一日平均領域	抽出廃液	FP-Kr+ACT-Pu	45	3.5	PWR	60	15	1.42×10 ⁵ [W/t · U _{Pr}]
分離建屋	分離建屋一時貯留 処理設備	一日平均領域	抽出廃液	FP-Kr+ACT-Pu	45	3.5	PWR	60	15	1.25×10 ⁵ [W/t · U _{Pr}]
	液体廃棄物の廃棄施設 高レベル廃液濃縮設備 高レベル廃液濃縮系	一日平均領域	高レベル廃液 高レベル濃縮廃液	FP-Kr+ACT-Pu	45	3.5	PWR	60	15	1.25×10 ⁵ [W/t · U _{Pr}]
精製建屋	精製施設 ブレトニウム精製設備	一日平均領域	硝酸ブレトニウム溶液	Pu+5000 ppm 241Am	45	3.5	BWR	10	15	2.44×10 ¹ [W/Pu-k g]
	精製施設 精製建屋一時貯留設備	一日平均領域	硝酸ブレトニウム溶液	Pu+5000 ppm 241Am	45	3.5	BWR	10	15	2.44×10 ¹ [W/Pu-k g]
ウラン・ブレトニウム 混合脱硝建屋	脱硝施設 ウラン・ブレトニウム 混合脱硝設備	一日平均領域	硝酸ブレトニウム溶液	Pu+5000 ppm 241Am	45	3.5	BWR	10	15	2.44×10 ¹ [W/Pu-k g]
	液体廃棄物の廃棄施設 高レベル廃液貯蔵設備	一日平均領域	高レベル濃縮廃液	FP-Kr+ACT-Pu	45	3.5	PWR	60	15	1.28×10 ⁵ [W/t · U _{Pr}]
高レベル廃液 ガラス固化建屋	固体廃棄物の廃棄施設 高レベル廃液 ガラス固化設備	一日平均領域	高レベル廃液 ガラス固化設備	FP-Kr+ACT-Pu	45	3.5	PWR	60	15	1.28×10 ⁵ [W/t · U _{Pr}]

* FP: 核分裂生成物 ACT: アクチノイド Kr: クリプトン Pu: ブルトニウム Am: アメリシウム

1. 4. 2 貯槽等が内包する高レベル廃液等の崩壊熱密度

溶解液(1), 溶解液(2), 抽出廃液, 高レベル廃液及び高レベル濃縮廃液の崩壊熱密度は, 第 1. - 9 表の崩壊熱及び単位 t · U_{P r}当たりに発生する溶液量から下式により求まる。

$$\text{崩壊熱密度} = \frac{\text{崩壊熱}}{\text{発生量}^*} \times \text{補正係数}$$

* 標準化学処理工程図から求められる発生量

貯槽等が内包する高レベル廃液等の崩壊熱密度を第 1. - 10 表, 第 1. - 11 表及び第 1. - 14 表に示す。

硝酸プルトニウム溶液の崩壊熱密度は, 第 1. - 9 表の崩壊熱及びプルトニウム濃度から下式により求まる。

$$\text{崩壊熱密度} = \text{崩壊熱} \times \text{プルトニウム濃度} \times \text{補正係数}$$

貯槽等が内包する高レベル廃液等の崩壊熱密度を第 1. - 12 表及び第 1. - 13 表に示す。

第1.－10表 前処理建屋における貯槽等が内包する高レベル廃液等の崩壊熱密度

施設・設備名	貯槽等名	基数	内包する溶液名	[m ³ /t・U _{Pr}]	崩壊熱 [W/t・U _{Pr}]	補正係数	崩壊熱密度 [W/m ³]
溶解施設	中間ボット	2	溶解液(1)	■	■	■	■
溶解施設	中継槽	2	溶解液(1)	■	■	■	■
清澄・計量設備	リサイクル槽	2	溶解液(1)	■	■	■	■
	計量前中間貯槽	2	溶解液(1)	■	■	■	■
	計量後中間貯槽	1	溶解液(2)	■	■	■	■
	計量・調整槽	1	溶解液(2)	■	■	■	■
	計量補助槽	1	溶解液(2)	■	■	■	■

■については商業機密の観点から公開できません。

第1.－11表 分離建屋における貯槽等が内包する高レベル廃液等の崩壊熱密度

施設・設備名	貯槽等名	基數	内包する溶液名	[m ³ /t・U _{Pr}]	[W/t・U _{Pr}]	崩壊熱密度 [W/m ³]	補正係数
分離施設 分離設備	溶解液中間貯槽	1	溶解液(2)				
	溶解液供給槽	1	溶解液(2)				
	抽出廃液受槽	1	抽出廃液				
	抽出廃液中間貯槽	1	抽出廃液				
	抽出廃液供給槽	2	抽出廃液				
分離施設 分離建屋一時貯留 処理設備	第1一時貯留処理槽	1	抽出廃液				
	第8一時貯留処理槽	1	抽出廃液				
	第7一時貯留処理槽	1	抽出廃液				
	第3一時貯留処理槽	1	抽出廃液				
	第4一時貯留処理槽	1	抽出廃液				
液体廃棄物の廃棄施設 高レベル廃液濃縮設備 高レベル廃液濃縮系	第6一時貯留供給槽	1	抽出廃液				
	高レベル廃液供給槽	2*	高レベル廃液				
	高レベル廃液濃縮缶	2*	高レベル濃縮廃液				

* 2基のうち1基は長期予備

■については商業機密の観点から公開できません。

第1.－12表 精製建屋における貯槽等が内包する高レベル廃液等の崩壊熱密度

施設・設備名	貯槽等名	基数	内包する溶液名	Pu濃度 [g-Pu/L]	崩壊熱 [W/k g-Pu]	補正係数	崩壊熱密度 [W/m ³]
精製施設 プルトニウム精製設備	プルトニウム溶液受槽	1	硝酸プルートニウム溶液	[REDACTED]	[REDACTED]	[REDACTED]	[REDACTED]
	油水分離槽	1	硝酸プルートニウム溶液	[REDACTED]	[REDACTED]	[REDACTED]	[REDACTED]
	プルトニウム濃縮缶供給槽	1	硝酸プルートニウム溶液	[REDACTED]	[REDACTED]	[REDACTED]	[REDACTED]
	プルトニウム溶液一時貯槽	1	硝酸プルートニウム溶液	[REDACTED]	[REDACTED]	[REDACTED]	[REDACTED]
	プルトニウム濃縮液受槽	1	硝酸プルートニウム溶液	[REDACTED]	[REDACTED]	[REDACTED]	[REDACTED]
	リサイクル槽	1	硝酸プルートニウム溶液	[REDACTED]	[REDACTED]	[REDACTED]	[REDACTED]
	希釀槽	1	硝酸プルートニウム溶液	[REDACTED]	[REDACTED]	[REDACTED]	[REDACTED]
	プルトニウム濃縮液一時貯槽	1	硝酸プルートニウム溶液	[REDACTED]	[REDACTED]	[REDACTED]	[REDACTED]
	プルトニウム濃縮液計量槽	1	硝酸プルートニウム溶液	[REDACTED]	[REDACTED]	[REDACTED]	[REDACTED]
	プルトニウム濃縮液中間貯槽	1	硝酸プルートニウム溶液	[REDACTED]	[REDACTED]	[REDACTED]	[REDACTED]
精製施設 精製建屋一時貯留 処理設備	第1一時貯留処理槽	1	硝酸プルートニウム溶液	[REDACTED]	[REDACTED]	[REDACTED]	[REDACTED]
	第2一時貯留処理槽	1	硝酸プルートニウム溶液	[REDACTED]	[REDACTED]	[REDACTED]	[REDACTED]
	第3一時貯留処理槽	1	硝酸プルートニウム溶液	[REDACTED]	[REDACTED]	[REDACTED]	[REDACTED]

[REDACTED]については商業機密の観点から公開できません。

第1.－13表 ウラン・プルトニウム混合脱硝建屋における貯槽等が内包する高レベル廃液等の崩壊熱密度

施設・設備名	貯槽等名	基数	内包する溶液名	Pu濃度 [g-Pu/L]	Pu濃度 [W/kg-Pu]	崩壊熱 [W/m ³]	崩壊熱密度 [W/m ³]
脱硝施設	硝酸プルトニウム貯槽	1	硝酸プルトニウム溶液	[REDACTED]	[REDACTED]	[REDACTED]	[REDACTED]
ウラン・プルトニウム 混合脱硝設備	混合槽	2	硝酸プルトニウム溶液	[REDACTED]	[REDACTED]	[REDACTED]	[REDACTED]
	一時貯槽	1	硝酸プルトニウム溶液	[REDACTED]	[REDACTED]	[REDACTED]	[REDACTED]

[REDACTED]については商業機密の観点から公開できません。

第1. -14表 高レベル廃液ガラス固化建屋における貯槽等が内包する高レベル廃液等の崩壊熱密度

施設・設備名	貯槽等名	基數	内包する溶液名	[m ³ /t · U _{Pr}]	発生量	崩壊熱	崩壊熱密度 [W/m ³]
液体廃棄物の廃棄施設 高レベル廃液貯蔵設備	高レベル濃縮廃液貯槽	2	高レベル濃縮廃液				
	高レベル濃縮廃液二持貯槽	2	高レベル濃縮廃液				
	高レベル濃縮廃液共用貯槽	1	高レベル濃縮廃液*				
固体廃棄物の廃棄施設 高レベル廃液ガラス 固化設備	高レベル廃液混合槽	2	高レベル廃液				
	供給槽	2	高レベル廃液				
	供給槽	2	高レベル廃液				

* 不溶解残渣溶液を貯蔵する場合もあるが、崩壊熱の厳しい高レベル濃縮廃液貯蔵時の値を記載。

■については商業機密の観点から公開できません。

1. 4. 3 物性値

貯槽等における対数平均温度差及び総括伝熱係数の計算に用いる物性等を、第 1. -15 表から第 1. -19 表に示す。

また、冷却水の比熱、冷却水の密度、冷却水の熱伝導率及び冷却水の粘度は、冷却水の平均温度 ($= (\text{冷却水入口温度 } t_1 + \text{冷却水出口温度 } t_2) / 2$) または冷却水の壁面温度における、第 1. -20 表に示す値の線形近似値とする。

第1.－15表 前処理建屋の貯槽等における対数平均温度差及び総括伝熱係数の計算に使用する物性値等

No.	パラメータ	記号	単位	中继槽 (ジャケット)	リサイクル槽 (ジャケット)	計量前 中間貯槽 (ユイル)	計量後 中間貯槽 (ユイル)	計量・調整槽 (ユイル)	計量補助槽 (ユイル)	中間ボット (ジャケット)
1	崩壊熱密度	P	W/m ³	■	■	■	■	■	■	■
2	液量	V	m ³	■	■	■	■	■	■	■
3	冷却水入口温度	t ₁	°C	■	■	■	■	■	■	■
4	内包液の比熱	C _o	J/kg K	■	■	■	■	■	■	■
5	内包液の密度	ρ _o	kg/m ³	■	■	■	■	■	■	■
6	内包液の熱伝導率	λ _o	W/mK	■	■	■	■	■	■	■
7	内包液の粘度	μ _o	kg/m s	■	■	■	■	■	■	■
8	内包液の体膨張係数	β	K ⁻¹	■	■	■	■	■	■	■
9	ジャケット代表長さ	L _o	m	■	■	■	■	■	■	■
10	水力相当径	D _e	m	■	■	■	■	■	■	■
11	貯槽等の厚さ	L	m	■	■	■	■	■	■	■
12	貯槽等の熱伝導率	λ	W/mK	■	■	■	■	■	■	■
13	冷却コイル厚さ	L	m	—	—	■	■	■	■	—
14	冷却コイルの熱伝導率	λ	W/mK	—	—	■	■	■	■	—
15	冷却コイル外径	d'	m	—	—	■	■	■	■	—
16	冷却コイル内径	d	m	—	—	■	■	■	■	—
17	内包液側汚れ係数	h _{s o}	W/m ² K	■	■	■	■	■	■	■
18	冷却水側汚れ係数	h _{s i}	W/m ² K	■	■	■	■	■	■	■

■については商業機密の観点から公開できません。

第1.-16表 分離建屋の貯槽等における対数平均温度差及び総括伝熱係数の計算に使用する物性値等 (1/2)

No.	パラメータ	記号	単位	溶解液 中間貯槽 (コイル)	溶解液 供給槽 (コイル)	抽出廃液 受槽 (コイル)	抽出廃液 中間貯槽 (コイル)	抽出廃液 供給槽 (コイル)	第1一時 貯留処理槽 (コイル)	第8一時 貯留処理槽 (コイル)	第7一時 貯留処理槽 (コイル)
1	崩壊熱密度	P	W/m^3	■	■	■	■	■	■	■	■
2	液量	V	m^3	■	■	■	■	■	■	■	■
3	冷却水入口温度	t_1	$^{\circ}\text{C}$	■	■	■	■	■	■	■	■
4	内包液の比熱	C_o	$\text{J}/\text{k g K}$	■	■	■	■	■	■	■	■
5	内包液の密度	ρ_o	kg/m^3	■	■	■	■	■	■	■	■
6	内包液の熱伝導率	λ_o	$\text{W}/\text{m K}$	■	■	■	■	■	■	■	■
7	内包液の粘度	μ_o	$\text{kg}/\text{m s}$	■	■	■	■	■	■	■	■
8	内包液の体膨張係数	β	K^{-1}	■	■	■	■	■	■	■	■
9	ジャケット代表長さ	L_o	m	—	—	—	—	—	—	—	—
10	水力相当径	D_e	m	—	—	—	—	—	—	—	—
11	貯槽等の厚さ	L	m	—	—	—	—	—	—	—	—
12	貯槽等の熱伝導率	λ	$\text{W}/\text{m K}$	—	—	—	—	—	—	—	—
13	冷却コイル厚さ	L	m	■	■	■	■	■	■	■	■
14	冷却コイルの熱伝導率	λ	$\text{W}/\text{m K}$	■	■	■	■	■	■	■	■
15	冷却コイル外径	d'	m	■	■	■	■	■	■	■	■
16	冷却コイル内径	d	m	■	■	■	■	■	■	■	■
17	内包液側汚れ係数	h_{s_o}	$\text{W}/\text{m}^2 \text{K}$	■	■	■	■	■	■	■	■
18	冷却水側汚れ係数	h_{s_i}	$\text{W}/\text{m}^2 \text{K}$	■	■	■	■	■	■	■	■

■については商業機密の観点から公開できません。

第1.-16表 分離建屋の貯槽等における対数平均温度差及び総括伝熱係数の計算に使用する物性値等 (2/2)

No.	パラメータ	記号	単位	貯留処理槽 (コイル)	第3一時 貯留処理槽 (コイル)	第4一時 貯留処理槽 (コイル)	第6一時 貯留処理槽 (ジャケット)	高レベル廃液 供給槽 (コイル)	高レベル廃液 濃縮缶 (コイル)
1	崩壊熱密度	P	W/m ³	■	■	■	■	■	■
2	液量	V	m ³	■	■	■	■	■	■
3	冷却水入口温度	t ₁	°C	■	■	■	■	■	■
4	内包液の比熱	C _o	J/kg K	■	■	■	■	■	■
5	内包液の密度	ρ _o	kg/m ³	■	■	■	■	■	■
6	内包液の熱伝導率	λ _o	W/m K	■	■	■	■	■	■
7	内包液の粘度	μ _o	kg/m s	■	■	■	■	■	■
8	内包液の体膨張係数	β	K ⁻¹	■	■	■	■	■	■
9	ジャケット代表長さ	L _o	m	—	—	■	—	—	—
10	水力相当径	D _e	m	—	—	■	—	—	—
11	貯槽等の厚さ	L	m	—	—	■	—	—	—
12	貯槽等の熱伝導率	λ	W/m K	—	—	■	—	—	—
13	冷却コイル厚さ	L	m	■	■	—	■	■	■
14	冷却コイルの熱伝導率	λ	W/m K	■	■	—	■	■	■
15	冷却コイル外径	d'	m	■	■	—	■	■	■
16	冷却コイル内径	d	m	■	■	—	■	■	■
17	内包液側汚れ係数	h _{s o}	W/m ² K	■	■	■	■	■	■
18	冷却水側汚れ係数	h _{s i}	W/m ² K	■	■	■	■	■	■

■については商業機密の観点から公開できません。

第1.-17表 精製建屋の貯槽等における対数平均温度差及び総括伝熱係数の計算に使用する物性値等 (1/2)

No.	パラメータ	記号	単位	プレトニウム 溶液受槽 (コイル)	油水分離槽 (コイル)	プレトニウム 濃縮缶 供給槽 (コイル)	プレトニウム 溶液 一時貯槽 (コイル)	プレトニウム 濃縮液受槽 (コイル)	リサイクル槽 (コイル)	希釀槽 (コイル)	プレトニウム 濃縮液 一時貯槽 (コイル)
1	崩壊熱密度	P	W/m ³	■	■	■	■	■	■	■	■
2	液量	V	m ³	■	■	■	■	■	■	■	■
3	冷却水入口温度	t ₁	℃	■	■	■	■	■	■	■	■
4	内包液の比熱	C _o	J/kg K	■	■	■	■	■	■	■	■
5	内包液の密度	ρ _o	kg/m ³	■	■	■	■	■	■	■	■
6	内包液の熱伝導率	λ _o	W/mK	■	■	■	■	■	■	■	■
7	内包液の粘度	μ _o	kg/m s	■	■	■	■	■	■	■	■
8	内包液の体膨張係数	β	K ⁻¹	■	■	■	■	■	■	■	■
9	ジャケット代表長さ	L _o	m	—	—	—	—	—	—	—	—
10	水力相当径	D _e	m	—	—	—	—	—	—	—	—
11	貯槽等の厚さ	L	m	—	—	—	—	—	—	—	—
12	冷却コイルの熱伝導率	λ	W/mK	—	—	—	—	—	—	—	—
13	冷却コイルの熱伝導率	λ	W/mK	■	■	■	■	■	■	■	■
14	冷却コイルの熱伝導率	λ	W/mK	■	■	■	■	■	■	■	■
15	冷却コイル外径	d'	m	■	■	■	■	■	■	■	■
16	冷却コイル内径	d	m	■	■	■	■	■	■	■	■
17	内包液側汚れ係数	h _{s o}	W/m ² K	■	■	■	■	■	■	■	■
18	冷却水側汚れ係数	h _{s i}	W/m ² K	■	■	■	■	■	■	■	■

■については商業機密の観点から公開できません。

第1.-17表 精製建屋の貯槽等における対数平均温度差及び総括伝熱係数の計算に使用する物性値等 (2/2)

No.	パラメータ	記号	単位	ブレトニウム 濃縮液 計量槽 (コイル)	ブレトニウム 濃縮液 中間貯槽 (コイル)	第1一時 貯留処理槽 (コイル)	第2一時 貯留処理槽 (コイル)	第3一時 貯留処理槽 (コイル)
1	崩壊熱密度	P	W/m^3	[■]	[■]	[■]	[■]	[■]
2	液量	V	m^3	[■]	[■]	[■]	[■]	[■]
3	冷却水入口温度	t_1	°C	[■]	[■]	[■]	[■]	[■]
4	内包液の比熱	C_o	$\text{J}/\text{kg K}$	[■]	[■]	[■]	[■]	[■]
5	内包液の密度	ρ_o	kg/m^3	[■]	[■]	[■]	[■]	[■]
6	内包液の熱伝導率	λ_o	W/mK	[■]	[■]	[■]	[■]	[■]
7	内包液の粘度	μ_o	$\text{kg}/\text{m s}$	[■]	[■]	[■]	[■]	[■]
8	内包液の体膨張係数	β	K^{-1}	[■]	[■]	[■]	[■]	[■]
9	ジャケット代表長さ	L_o	m	—	—	—	—	—
10	水力相当径	D_e	m	—	—	—	—	—
11	貯槽等の厚さ	L	m	—	—	—	—	—
12	冷却コイルの熱伝導率	λ	W/mK	—	—	—	—	—
13	冷却コイルの厚さ	L	m	[■]	[■]	[■]	[■]	[■]
14	冷却コイルの熱伝導率	λ	W/mK	[■]	[■]	[■]	[■]	[■]
15	冷却コイル外径	d'	m	[■]	[■]	[■]	[■]	[■]
16	冷却コイル内径	d	m	[■]	[■]	[■]	[■]	[■]
17	内包液側汚れ係数	h_{s_o}	$\text{W}/\text{m}^2 \text{K}$	[■]	[■]	[■]	[■]	[■]
18	冷却水側汚れ係数	h_{s_i}	$\text{W}/\text{m}^2 \text{K}$	[■]	[■]	[■]	[■]	[■]

[■]については商業機密の観点から公開できません。

第 1. - 18 表 ウラン・プルトニウム混合脱硝建屋の貯槽等における対数平均温度差及び総括伝熱係数の

計算に使用する物性値等

N.o.	パラメータ	記号	単位	硝酸 プロトニウム 貯槽 (ジャケット)	混合槽 (ジャケット)	一時貯槽 (ジャケット)
1	崩壊熱密度	P	W/m ³	[REDACTED]	[REDACTED]	[REDACTED]
2	液量	V	m ³	[REDACTED]	[REDACTED]	[REDACTED]
3	冷却水入口温度	t ₁	°C	[REDACTED]	[REDACTED]	[REDACTED]
4	内包液の比熱:	C _o	J/kg K	[REDACTED]	[REDACTED]	[REDACTED]
5	内包液の密度	ρ _o	kg/m ³	[REDACTED]	[REDACTED]	[REDACTED]
6	内包液の熱伝導率	λ _o	W/m K	[REDACTED]	[REDACTED]	[REDACTED]
7	内包液の粘度	μ _o	kg/m s	[REDACTED]	[REDACTED]	[REDACTED]
8	内包液の体膨張係数	β	K ⁻¹	[REDACTED]	[REDACTED]	[REDACTED]
9	ジャケット代表長さ	L _o	m	[REDACTED]	[REDACTED]	[REDACTED]
10	水力相当径	D _e	m	[REDACTED]	[REDACTED]	[REDACTED]
11	貯槽等の厚さ	L	m	[REDACTED]	[REDACTED]	[REDACTED]
12	貯槽等の熱伝導率	λ	W/m K	[REDACTED]	[REDACTED]	[REDACTED]
13	冷却コイル厚さ	L	m	[REDACTED]	[REDACTED]	[REDACTED]
14	冷却コイルの熱伝導率	λ	W/m K	[REDACTED]	[REDACTED]	[REDACTED]
15	冷却コイル外径	d'	m	[REDACTED]	[REDACTED]	[REDACTED]
16	冷却コイル内径	d	m	[REDACTED]	[REDACTED]	[REDACTED]
17	内包液側汚れ係数	h _{s o}	W/m ² K	[REDACTED]	[REDACTED]	[REDACTED]
18	冷却水側汚れ係数	h _{s i}	W/m ² K	[REDACTED]	[REDACTED]	[REDACTED]

[REDACTED]については商業機密の観点から公開できません。

第1.－19表 高レベル廃液ガラス固化建屋の貯槽等における対数平均温度差及び総括伝熱係数の計算に使用する物性値等

No.	パラメータ	記号	単位	高レベル濃縮廃液貯槽(コイル)	高レベル濃縮廃液一時貯槽(コイル)	高レベル廃液混合槽(コイル)	供給槽(コイル)	供給槽(コイル)	不溶解残渣溶液一時貯槽(ジャケット)	不溶解残渣溶液貯槽(ジャケット)	高レベル廃液共用貯槽(コイル)
1	崩壊熱密度	P	W/m^3	■	■	■	■	■	■	■	■
2	液量	V	m^3	■	■	■	■	■	■	■	■
3	冷却水入口温度	t_1	°C	■	■	■	■	■	■	■	■
4	内包液の比熱	C_o	$\text{J}/\text{k g K}$	■	■	■	■	■	■	■	■
5	内包液の密度	ρ_o	kg/m^3	■	■	■	■	■	■	■	■
6	内包液の熱伝導率	λ_o	$\text{W}/\text{m K}$	■	■	■	■	■	■	■	■
7	内包液の粘度	μ_o	$\text{kg}/\text{m s}$	■	■	■	■	■	■	■	■
8	内包液の体膨張係数	β	K^{-1}	■	■	■	■	■	■	■	■
9	ジャケット代表長さ	L_o	m	—	—	—	—	—	—	—	—
10	水力相当径	D_e	m	—	—	—	—	—	—	—	—
11	貯槽等の厚さ	L	m	—	—	—	—	—	—	—	—
12	貯槽等の熱伝導率	λ	$\text{W}/\text{m K}$	—	—	—	—	—	—	—	—
13	冷却コイル厚さ	L	m	■	■	■	■	■	—	—	—
14	冷却コイルの熱伝導率	λ	$\text{W}/\text{m K}$	■	■	■	■	■	—	—	—
15	冷却コイル外径	d'	m	■	■	■	■	■	—	—	—
16	冷却コイル内径	d	m	■	■	■	■	■	—	—	—
17	内包液側汚れ係数	$h_{s o}$	$\text{W}/\text{m}^2 \text{K}$	■	■	■	■	■	■	■	■
18	冷却水側汚れ係数	$h_{s i}$	$\text{W}/\text{m}^2 \text{K}$	■	■	■	■	■	■	■	■

■については商業機密の観点から公開できません。

第1.-20表 冷却水の比熱、冷却水の密度、冷却水の熱伝導率及び冷却水の粘度

No.	冷却水の温度 [°C]	伝熱工学資料 改訂第5版 ⁽⁴⁾			
		比熱C _i [kcal/m ³ °C]	密度ρ _i [kg/m ³]	熱伝導率λ _i [kcal/m h °C]	粘度μ _i [Pa · s]
1	20	0.9996	998.2	0.5155	1.002E-03
2	25	0.9990	996.9	0.5221	8.997E-04
3	30	0.9984	995.6	0.5288	7.974E-04
4	35	0.9983	993.9	0.5347	7.252E-04
5	40	0.9981	992.2	0.5405	6.530E-04
6	45	0.9983	990.1	0.5456	5.999E-04
7	50	0.9984	988.0	0.5507	5.468E-04
8	55	0.9987	985.6	0.5552	5.066E-04
9	60	0.9991	983.2	0.5596	4.664E-04
10	65	0.9997	980.5	0.5634	4.352E-04
11	70	1.0003	977.7	0.5672	4.039E-04
12	75	1.0012	974.8	0.5703	3.791E-04
13	80	1.0022	971.8	0.5735	3.543E-04
14	85	1.0033	968.6	0.5761	3.344E-04
15	90	1.0043	965.3	0.5787	3.144E-04
16	95	1.0058	961.9	0.5807	2.981E-04
17	100	1.0072	958.4	0.5828	2.817E-04

1.5.1 内部ループ通水による崩壊熱除去について

各建屋の蒸発乾固の発生を想定する貯槽等の内部ループ通水による崩壊熱の除去に関する評価結果を第1.-21表～第1.-25表に示す。

第 1. -21 表 前処理建屋における蒸発乾固の発生を想定する貯槽等の崩壊熱の除去に関する評価結果

N o.	パラメータ	記号	単位	中継槽 (ジャケット)	リサイクル槽 (ジャケット)	計量前 中間貯槽 (エイタ)	計量後 中間貯槽 (エイタ)	計量・調整槽 (エイル)	計量補助槽 (エイル)	中間ボット (ジャケット)
1	崩壊熱量	Q	W	■	■	■	■	■	■	■
2	内包液温度	T	°C	■	■	■	■	■	■	■
3	冷却水出口温度	t ₂	°C	■	■	■	■	■	■	■
4	対数平均温度差	Δ t	°C	■	■	■	■	■	■	■
5	冷却水流量	W	m ³ /h	■	■	■	■	■	■	■
6	総括伝熱系数	U	W/m ² K	■	■	■	■	■	■	■
7	内包液の壁面温度	T _w	°C	■	■	■	■	■	■	■
8	内包液のプラントル数	P r _o	—	■	■	■	■	■	■	■
9	内包液のグラスホフ数	G r _o	—	■	■	■	■	■	■	■
10	プラントル数と グラスホフ数の積	Gr _o × Pr _o	—	■	■	■	■	■	■	■
11	冷却コイル外表面(内包 液側) のスセルト数	N u _o	—	■	■	■	■	■	■	■
12	冷却コイル外表面(内包 液側) の熱伝達率	h _o	W/m ² K	■	■	■	■	■	■	■
13	冷却水のレイノルズ数	R e _i	—	■	■	■	■	■	■	■

■については商業機密の観点から公開できません。

第1.-22表 分離建屋における蒸発乾固の発生を想定する貯槽等の崩壊熱の除去に関する評価結果（1／2）

No.	パラメータ	記号	単位	溶解液 中間貯槽 (コイル)	抽出廃液 受槽 (コイル)	抽出廃液 中間貯槽 (コイル)	抽出廃液 供給槽 (コイル)	第1一时 貯留処理槽 (コイル)	第8一時 貯留処理槽 (コイル)	第7一時 貯留処理槽 (コイル)
1	崩壊熱量	Q	W	■■■	■■■	■■■	■■■	■■■	■■■	■■■
2	内包液温度	T	°C	■■■	■■■	■■■	■■■	■■■	■■■	■■■
3	冷却水出口温度	t ₂	°C	■■■	■■■	■■■	■■■	■■■	■■■	■■■
4	対数平均温度差	Δ t	°C	■■■	■■■	■■■	■■■	■■■	■■■	■■■
5	冷却水流量	W	m ³ /h	■■■	■■■	■■■	■■■	■■■	■■■	■■■
6	総括伝熱係数	U	W/m ² K	■■■	■■■	■■■	■■■	■■■	■■■	■■■
7	内包液の壁面温度	T _w	°C	■■■	■■■	■■■	■■■	■■■	■■■	■■■
8	内包液のプラントル数	P _{r_o}	-	■■■	■■■	■■■	■■■	■■■	■■■	■■■
9	内包液のグラスホフ数	G _{r_o}	-	■■■	■■■	■■■	■■■	■■■	■■■	■■■
10	プラントル数と グラスホフ数の積	G _{r_o} ×P _{r_o}	-	■■■	■■■	■■■	■■■	■■■	■■■	■■■
11	冷却コイル外面(内包 液側)のヌセルト数	N _{u_o}	-	■■■	■■■	■■■	■■■	■■■	■■■	■■■
12	冷却コイル外面(内包 液側)の熱伝達率	h _o	W/m ² K	■■■	■■■	■■■	■■■	■■■	■■■	■■■
13	冷却水のレイノルズ数	R _{e_i}	-	■■■	■■■	■■■	■■■	■■■	■■■	■■■

■については商業機密の観点から公開できません。

第1.－22表 分離建屋における蒸発乾固の発生を想定する貯槽等の崩壊熱の除去に関する評価結果（2／2）

N.o.	パラメータ	記号	単位	第3一時 貯留処理槽 (コイル)	第4一時 貯留処理槽 (コイル)	第6一時 貯留処理槽 (シャッフル)	高レベル廃液 供給槽 (コイル)	高レベル廃液 濃縮缶 (コイル)
1	崩壊熱量	Q	W	■	■	■	■	■
2	内包液温度	T	°C	■	■	■	■	■
3	冷却水出口温度	t ₂	°C	■	■	■	■	■
4	対数平均温度差	Δ t	°C	■	■	■	■	■
5	冷却水流量	W	m ³ /h	■	■	■	■	■
6	総括伝熱係数	U	W/m ² K	■	■	■	■	■
7	内包液の壁面温度	T _w	°C	■	■	■	■	■
8	内包液のプラントル数	P r _o	—	■	■	■	■	■
9	内包液のグラスホフ数	G r _o	—	■	■	■	■	■
10	プラントル数と グラスホフ数の積	Gr _o ×Pr _o	—	■	■	■	■	■
11	冷却コイル外面(内包 液側)のスセルト数	N u _o	—	■	■	■	■	■
12	冷却コイル外面(内包 液側)の熱伝達率	h _o	W/m ² K	■	■	■	■	■
13	冷却水のレイノルズ数	R e _i	—	■	■	■	■	■

■については商業機密の観点から公開できません。

第1.－23表 精製建屋における蒸発乾固の発生を想定する貯槽等の崩壊熱の除去に関する評価結果（1／2）

No.	パラメータ	記号	単位	プロトニウム 溶液受槽 (コイル)	油水分離槽 (コイル)	プロトニウム 濃縮缶 供給槽 (コイル)	プロトニウム 溶液 一時貯槽 (コイル)	プロトニウム 濃縮液受槽 (コイル)	リサイクル槽 (コイル)	希釈槽 (コイル)	プロトニウム 濃縮液 一時貯槽 (コイル)
1	崩壊熱量	Q	W	■■■	■■■	■■■	■■■	■■■	■■■	■■■	■■■
2	内包液温度	T	℃	■■■	■■■	■■■	■■■	■■■	■■■	■■■	■■■
3	冷却水出口温度	t ₂	℃	■■■	■■■	■■■	■■■	■■■	■■■	■■■	■■■
4	対数平均温度差	Δ t	℃	■■■	■■■	■■■	■■■	■■■	■■■	■■■	■■■
5	冷却水流量	W	m ³ /h	■■■	■■■	■■■	■■■	■■■	■■■	■■■	■■■
6	総括伝熱系数	U	W/m ² K	■■■	■■■	■■■	■■■	■■■	■■■	■■■	■■■
7	内包液の壁面温度	T _w	℃	■■■	■■■	■■■	■■■	■■■	■■■	■■■	■■■
8	内包液のプラントル数	P _r o	—	■■■	■■■	■■■	■■■	■■■	■■■	■■■	■■■
9	内包液のグラスホフ数	G _r o	—	■■■	■■■	■■■	■■■	■■■	■■■	■■■	■■■
10	プラントル数と グラスホフ数の積	Gr _o × Pr _o	—	■■■	■■■	■■■	■■■	■■■	■■■	■■■	■■■
11	冷却コイル外面(内包 液側) のスセルト数	N _u o	—	■■■	■■■	■■■	■■■	■■■	■■■	■■■	■■■
12	冷却コイル外面(内包 液側) の熱伝達率	h _o	W/m ² K	■■■	■■■	■■■	■■■	■■■	■■■	■■■	■■■
13	冷却水のレイノルズ数	R _e i	—	■■■	■■■	■■■	■■■	■■■	■■■	■■■	■■■

■については商業機密の観点から公開できません。

第1.－23表 精製建屋における蒸発乾固の発生を想定する貯槽等の崩壊熱の除去に関する評価結果（2／2）

No.	パラメータ	記号	単位	ブルトニウム 濃縮液 計量槽 (=イリ)	ブルトニウム 濃縮液 中間貯槽 (=イリ)	第1一时 貯留処理槽 (=イリ)	第2一时 貯留処理槽 (=イリ)	第3一时 貯留処理槽 (=イリ)
1	崩壊熱量	Q	W	■■■	■■■	■■■	■■■	■■■
2	内包液温度	T	℃	■■■	■■■	■■■	■■■	■■■
3	冷却水出口温度	t ₂	℃	■■■	■■■	■■■	■■■	■■■
4	対数平均温度差	Δt	℃	■■■	■■■	■■■	■■■	■■■
5	冷却水流量	W	m ³ /h	■■■	■■■	■■■	■■■	■■■
6	総括伝熱係数	U	W/m ² K	■■■	■■■	■■■	■■■	■■■
7	内包液の壁面温度	T _w	℃	■■■	■■■	■■■	■■■	■■■
8	内包液のプラントル数	P _{r_o}	—	■■■	■■■	■■■	■■■	■■■
9	内包液のグラスホフ数	G _{r_o}	—	■■■	■■■	■■■	■■■	■■■
10	プラントル数と グラスホフ数の積	G _{r_o} × P _{r_o}	—	■■■	■■■	■■■	■■■	■■■
11	冷却コイル外面(内包 液側)のスセルト数	N _{u_o}	—	■■■	■■■	■■■	■■■	■■■
12	冷却コイル外面(内包 液側)の熱伝達率	h _o	W/m ² K	■■■	■■■	■■■	■■■	■■■
13	冷却水のレイノルズ数	R _{e_i}	—	■■■	■■■	■■■	■■■	■■■

■については商業機密の観点から公開できません。

第1.-24表 ウラン・プルトニウム混合脱硝建屋における蒸発乾固の発生を想定する貯槽等の
崩壊熱の除去に関する評価結果

No.	パラメータ	記号	単位	硝酸 ブリトニウム 貯槽 (ジャケット)	混合槽 (ジャケット)	一時貯槽 (ジャケット)
1	崩壊熱量	Q	W	■■■	■■■	■■■
2	内包液温度	T	°C	■■■	■■■	■■■
3	冷却水出口温度	t ₂	°C	■■■	■■■	■■■
4	対数平均温度差	Δ t	°C	■■■	■■■	■■■
5	冷却水流量	W	m ³ /h	■■■	■■■	■■■
6	総括伝熱係数	U	W/m ² K	■■■	■■■	■■■
7	内包液の壁面温度	T _w	°C	■■■	■■■	■■■
8	内包液のプラントル数	P r _o	-	■■■	■■■	■■■
9	内包液のグラスホフ数	G r _o	-	■■■	■■■	■■■
10	プラントル数と グラスホフ数の積	G r _o × P r _o	-	■■■	■■■	■■■
11	冷却コイル外面(内包 液側) のヌセルト数	N u _o	-	■■■	■■■	■■■
12	冷却コイル外面(内包 液側) の熱伝達率	h _o	W/m ² K	■■■	■■■	■■■
13	冷却水のレイノルズ数	R e _i	-	■■■	■■■	■■■

■については商業機密の観点から公開できません。

第1.-25表 高レベル廃液ガラス建屋における蒸発乾固の発生を想定する貯槽等の除去に関する評価結果

No.	パラメータ	記号	単位	高レベル濃縮廃液貯槽(コイル)	高レベル濃縮廃液一時貯槽(コイル)	高レベル廃液混合槽(コイル)	供給液槽(コイル)	供給槽(コイル)	高レベル廃液共用貯槽(コイル)
1	崩壊熱量	Q	W	■■■	■■■	■■■	■■■	■■■	■■■
2	内包液温度	T	℃	■■■	■■■	■■■	■■■	■■■	■■■
3	冷却水出口温度	t_2	℃	■■■	■■■	■■■	■■■	■■■	■■■
4	対数平均温度差	Δt	℃	■■■	■■■	■■■	■■■	■■■	■■■
5	冷却水流量	W	m^3/h	■■■	■■■	■■■	■■■	■■■	■■■
6	総括伝熱係数	U	W/m^2K	■■■	■■■	■■■	■■■	■■■	■■■
7	内包液の壁面温度	T_w	℃	■■■	■■■	■■■	■■■	■■■	■■■
8	内包液のプラントル数	P_{r_o}	—	■■■	■■■	■■■	■■■	■■■	■■■
9	内包液のグラスホフ数	G_{r_o}	—	■■■	■■■	■■■	■■■	■■■	■■■
10	プラントル数とグラスホフ数の積	$Gr_o \times Pr_o$	—	■■■	■■■	■■■	■■■	■■■	■■■
11	冷却コイル外面(内包液側)のヌセルト数	Nu_o	—	■■■	■■■	■■■	■■■	■■■	■■■
12	冷却コイル外面(内包液側)の熱伝達率	h_o	W/m^2K	■■■	■■■	■■■	■■■	■■■	■■■
13	冷却水のレイノルズ数	Re_i	—	■■■	■■■	■■■	■■■	■■■	■■■

■については商業機密の観点から公開できません。

1.5.2 冷却コイル通水及び冷却ジャケット通水による崩壊熱除去について
各建屋の蒸発乾固の発生を想定する貯槽等の冷却コイル通水及び冷却
ジャケット通水による崩壊熱の除去に関する評価結果を第1.－26表～第
1.－30表に示す。

第 1. -26 表 前処理建屋における蒸発乾固の発生を想定する貯槽等の崩壊熱の除去に関する評価結果

N o.	パラメータ	記号	単位	中継槽 (ジャケット)	リサイクル槽 (ジャケット)	計量前 中間貯槽 (ユイル)	計量後 中間貯槽 (ユイル)	計量・調整槽 (ユイル)	計量補助槽 (ユイル)	中間ボット (ジャケット)
1	崩壊熱量	Q	W	■	■	■	■	■	■	■
2	内包液温度	T	°C	■	■	■	■	■	■	■
3	冷却水出口温度	t ₂	°C	■	■	■	■	■	■	■
4	対数平均温度差	Δ t	°C	■	■	■	■	■	■	■
5	冷却水流量	W	m ³ /h	■	■	■	■	■	■	■
6	総括伝熱係数	U	W/m ² K	■	■	■	■	■	■	■
7	内包液の壁面温度	T _w	°C	■	■	■	■	■	■	■
8	内包液のプラントル数	P _{r_o}	—	■	■	■	■	■	■	■
9	内包液のグラスホフ数	G _{r_o}	—	■	■	■	■	■	■	■
10	プラントル数と グラスホフ数の積	G _{r_o} ×P _{r_o}	—	■	■	■	■	■	■	■
11	冷却コイル外面(内包 液側)のヌセルト数	N _{u_o}	—	■	■	■	■	■	■	■
12	冷却コイル外面(内包 液側)の熱伝達率	h _o	W/m ² K	■	■	■	■	■	■	■
13	冷却水のレイノルズ数	R _{e_i}	—	■	■	■	■	■	■	■

■については商業機密の観点から公開できません。

第1.-27表 分離建屋における蒸発乾固の発生を想定する貯槽等の崩壊熱の除去に関する評価結果（1／2）

No.	パラメータ	記号	単位	溶解液 中間貯槽 (エイル)	溶解液 供給槽 (エイル)	抽出廃液 受槽 (エイル)	抽出廃液 中間貯槽 (エイル)	抽出廃液 供給槽 (エイル)	第1一時 貯留処理槽 (エイル)	第8一時 貯留処理槽 (エイル)	第7一時 貯留処理槽 (エイル)
1	崩壊熱量	Q	W	■	■	■	■	■	■	■	■
2	内包液温度	T	°C	■	■	■	■	■	■	■	■
3	冷却水出口温度	t ₂	°C	■	■	■	■	■	■	■	■
4	対数平均温度差	Δt	°C	■	■	■	■	■	■	■	■
5	冷却水流量	W	m ³ /h	■	■	■	■	■	■	■	■
6	総伝熱係数	U	W/m ² K	■	■	■	■	■	■	■	■
7	内包液の壁面温度	T _w	°C	■	■	■	■	■	■	■	■
8	内包液のプラントル数	P _{r_o}	-	■	■	■	■	■	■	■	■
9	内包液のグラスホフ数	G _{r_o}	-	■	■	■	■	■	■	■	■
10	プラントル数と グラスホフ数の積	G _{r_o} ×P _{r_o}	-	■	■	■	■	■	■	■	■
11	冷却コイル外面(内包 液側)のヌセルト数	N _{u_o}	-	■	■	■	■	■	■	■	■
12	冷却コイル外面(内包 液側)の熱伝達率	h _o	W/m ² K	■	■	■	■	■	■	■	■
13	冷却水のレイノルズ数	R _{e_i}	-	■	■	■	■	■	■	■	■

■については商業機密の観点から公開できません。

第1.-27表 分離建屋における蒸発乾固の発生を想定する貯槽等の崩壊熱の除去に関する評価結果（2／2）

No.	パラメータ	記号	単位	第3一時 貯留処理槽 (コイル)	第4一時 貯留処理槽 (コイル)	第6一時 貯留処理槽 (ジャケット)	高レベル廢液 供給槽 (コイル)	高レベル廢液 濃縮缶 (コイル)
1	崩壊熱量	Q	W	■■■	■■■	■■■	■■■	■■■
2	内包液温度	T	°C	■■■	■■■	■■■	■■■	■■■
3	冷却水出口温度	t ₂	°C	■■■	■■■	■■■	■■■	■■■
4	対数平均温度差	Δ t	°C	■■■	■■■	■■■	■■■	■■■
5	冷却水流量	W	m ³ /h	■■■	■■■	■■■	■■■	■■■
6	総括伝熱係数	U	W/m ² K	■■■	■■■	■■■	■■■	■■■
7	内包液の壁面温度	T _w	°C	■■■	■■■	■■■	■■■	■■■
8	内包液のプラントル数	P r _o	—	■■■	■■■	■■■	■■■	■■■
9	内包液のグラスホフ数	G r _o	—	■■■	■■■	■■■	■■■	■■■
10	プラントル数と グラスホフ数の積	G r _o × P r _o	—	■■■	■■■	■■■	■■■	■■■
11	冷却コイル外面(内包 液側)のスセルト数	N u _o	—	■■■	■■■	■■■	■■■	■■■
12	冷却コイル外面(内包 液側)の熱伝達率	h _o	W/m ² K	■■■	■■■	■■■	■■■	■■■
13	冷却水のレイノルズ数	R e _i	—	■■■	■■■	■■■	■■■	■■■

■については商業機密の観点から公開できません。

第1.-28表 精製建屋における蒸発乾固の発生を想定する貯槽等の崩壊の除去に関する評価結果(1/2)

No.	パラメータ	記号	単位	ブレトニウム 溶被受槽 (コイル)	油水分離槽 (コイル)	ブレトニウム 濃縮缶供給槽 (コイル)	ブレトニウム 溶液 一時貯槽 (コイル)	ブレトニウム 濃縮液受槽 (コイル)	リサイクル槽 (コイル)	希釈槽 (コイル)	ブレトニウム 濃縮液 一時貯槽 (コイル)
1	崩壊熱量	Q	W	■■■	■■■	■■■	■■■	■■■	■■■	■■■	■■■
2	内包液温度	T	℃	■■■	■■■	■■■	■■■	■■■	■■■	■■■	■■■
3	冷却水出口温度	t ₂	℃	■■■	■■■	■■■	■■■	■■■	■■■	■■■	■■■
4	対数平均温度差	Δt	℃	■■■	■■■	■■■	■■■	■■■	■■■	■■■	■■■
5	冷却水流量	W	m ³ /h	■■■	■■■	■■■	■■■	■■■	■■■	■■■	■■■
6	総伝熱系数	U	W/m ² K	■■■	■■■	■■■	■■■	■■■	■■■	■■■	■■■
7	内包液の壁面温度	T _w	℃	■■■	■■■	■■■	■■■	■■■	■■■	■■■	■■■
8	内包液のプラントル数	P _{r_o}	—	■■■	■■■	■■■	■■■	■■■	■■■	■■■	■■■
9	内包液のグラスホフ数	G _{r_o}	—	■■■	■■■	■■■	■■■	■■■	■■■	■■■	■■■
10	プラントル数と グラスホフ数の積	Gr _o × Pr _o	—	■■■	■■■	■■■	■■■	■■■	■■■	■■■	■■■
11	冷却コイル外面(内包 液側)のヌセルト数	N _{u_o}	—	■■■	■■■	■■■	■■■	■■■	■■■	■■■	■■■
12	冷却コイル外面(内包 液側)の熱伝達率	h _o	W/m ² K	■■■	■■■	■■■	■■■	■■■	■■■	■■■	■■■
13	冷却水のレイノルズ数	R _{e_i}	—	■■■	■■■	■■■	■■■	■■■	■■■	■■■	■■■

■については商業機密の観点から公開できません。

第1.－28表 精製建屋における蒸発乾固の発生を想定する貯槽等の崩壊熱の除去に関する評価結果（2／2）

No.	パラメータ	記号	単位	プレニウム 濃縮液 計量槽 (コイル)	アルミニウム 濃縮液 中間貯槽 (コイル)	第1一時 貯留処理槽 (コイル)	第2一時 貯留処理槽 (コイル)	第3一時 貯留処理槽 (コイル)
1	崩壊熱量	Q	W	■■■	■■■	■■■	■■■	■■■
2	内包液温度	T	℃	■■■	■■■	■■■	■■■	■■■
3	冷却水出口温度	t ₂	℃	■■■	■■■	■■■	■■■	■■■
4	対数平均温度差	Δ t	℃	■■■	■■■	■■■	■■■	■■■
5	冷却水流量	W	m ³ /h	■■■	■■■	■■■	■■■	■■■
6	総括伝熱係数	U	W/m ² K	■■■	■■■	■■■	■■■	■■■
7	内包液の壁面温度	T _w	℃	■■■	■■■	■■■	■■■	■■■
8	内包液のプラントル数	P r _o	—	■■■	■■■	■■■	■■■	■■■
9	内包液のグラスホフ数	G r _o	—	■■■	■■■	■■■	■■■	■■■
10	プラントル数と グラスホフ数の積	Gr _o × Pr _o	—	■■■	■■■	■■■	■■■	■■■
11	冷却コイル外面(内包 液側)のスセルト数	N u _o	—	■■■	■■■	■■■	■■■	■■■
12	冷却コイル外面(内包 液側)の熱伝達率	h _o	W/m ² K	■■■	■■■	■■■	■■■	■■■
13	冷却水のレイノルズ数	R e _i	—	■■■	■■■	■■■	■■■	■■■

■については商業機密の観点から公開できません。

第1.-29表 ウラン・プルトニウム混合脱硝建屋における蒸発乾固の発生を想定する貯槽等の崩壊熱の除去に関する評価結果

No.	パラメータ	記号	単位	硝酸 プロトニウム 貯槽 (ジャケット)	混合槽 (ジャケット)	一時貯槽 (ジャケット)
1	崩壊熱量	Q	W	■■■	■■■	■■■
2	内包液温度	T	°C	■■■	■■■	■■■
3	冷却水出口温度	t ₂	°C	■■■	■■■	■■■
4	対数平均温度差	Δt	°C	■■■	■■■	■■■
5	冷却水流量	W	m ³ /h	■■■	■■■	■■■
6	総伝伝熱係数	U	W/m ² K	■■■	■■■	■■■
7	内包液の壁面温度	T _w	°C	■■■	■■■	■■■
8	内包液のプラントル数	Pr _o	—	■■	■■	■■
9	内包液のグラスホフ数	Gr _o	—	■■■	■■■	■■■
10	プラントル数と グラスホフ数の積	Gr _o ×Pr _o	—	■■■	■■■	■■■
11	冷却コイル外面(内包 液側)のヌセルト数	Nu _o	—	■■■	■■■	■■■
12	冷却コイル外面(内包 液側)の熱伝達率	h _o	W/m ² K	■■■	■■■	■■■
13	冷却水のレイノルズ数	Re _i	—	■■■	■■■	■■■

■については商業機密の観点から公開できません。

第1.-30表 高レベル廃液ガラス建屋における蒸発乾固の発生を想定する貯槽等の除去に関する評価結果

No.	パラメータ	記号	単位	高レベル 濃縮廃液 貯槽 (=イール)	高レベル 濃縮廃液 一時貯槽 (=イール)	高レベル 廃液混合槽 (=イール)	供給液槽 (=イール)	供給槽 (=イール)	高レベル 廃液 共用貯槽 (=イール)
1	崩壊熱量	Q	W	■■■	■■■	■■■	■■■	■■■	■■■
2	内包液温度	T	℃	■■■	■■■	■■■	■■■	■■■	■■■
3	冷却水出口温度	t ₂	℃	■■■	■■■	■■■	■■■	■■■	■■■
4	対数平均温度差	Δ t	℃	■■■	■■■	■■■	■■■	■■■	■■■
5	冷却水流量	W	m ³ /h	■■■	■■■	■■■	■■■	■■■	■■■
6	総括伝熱係数	U	W/m ² K	■■■	■■■	■■■	■■■	■■■	■■■
7	内包液の壁面温度	T _w	℃	■■■	■■■	■■■	■■■	■■■	■■■
8	内包液のプラントル数	P _{r_o}	—	■■■	■■■	■■■	■■■	■■■	■■■
9	内包液のグラスホフ数	G _{r_o}	—	■■■	■■■	■■■	■■■	■■■	■■■
10	プラントル数と グラスホフ数の積	Gr _o ×Pr _o	—	■■■	■■■	■■■	■■■	■■■	■■■
11	冷却コイル外面(内包 液側)のスセルト数	N _{u_o}	—	■■■	■■■	■■■	■■■	■■■	■■■
12	冷却コイル外面(内包 液側)の熱伝達率	h _o	W/m ² K	■■■	■■■	■■■	■■■	■■■	■■■
13	冷却水のレイノルズ数	R _{e_i}	—	■■■	■■■	■■■	■■■	■■■	■■■

■については商業機密の観点から公開できません。

6. 参考文献

- (1) A. G. Croff, "A User's Manual for the ORIGEN2 Computer Code" , ORNL/TM-7125 (1980)
- (2) 化学工学協会「化学工学便覧」
- (3) 尾花 英明 「熱交換器設計ハンドブック」
- (4) 伝熱工学資料 改訂第5版

令和2年4月13日 R2

補足説明資料7－5

1. 貯槽等からの放熱による時間余裕に与える影響について

沸騰に至るまでの時間余裕の算出では、水及び高レベル廃液等の物性値の変動が影響を与えると考えられるものの、より厳しい結果を与えるように、高レベル廃液等の崩壊熱密度は、冷却期間 15 年を基に算出した平常運転時の最大値を設定した上で、貯槽等に内包する高レベル廃液等の液量は貯槽等の公称容量とし、貯槽等からセル雰囲気への放熱を考慮せず断熱評価で実施している。本資料では、放熱を考慮した場合の時間余裕への影響を複数の温度条件での放熱量及び熱伝達率から考察する。

1.1 放熱量の算出

セル雰囲気の温度 T_{∞} としたときの貯槽等表面からセル雰囲気への放熱量 Q は、貯槽等表面を鉛直平板と仮定し、以下のとおり求める。

$$Q = h \times A \times (T - T_{\infty})$$

第 1. - 1 表 放熱量の算出に用いる各種パラメータ

Q	[W]	放熱量
h	[W/m ² K]	熱伝達率
A	[m ²]	貯槽等表面積
T	[K]	貯槽等表面温度
T_{∞}	[K]	セル内空気温度

1.2 熱伝達率の算出

貯槽等の熱伝達率 h [kcal/m²h°C] は以下のとおり求める。

$$h = \frac{\lambda \times \overline{N u}}{l}$$

ここで、平均ヌセルト数 $\overline{N_{u}}$ 及び局所ヌセルト数 N_{u_x} は以下のとおり求める。

$$\overline{N_{u}} = \frac{4}{3} \times N_{u_x}$$

$$N_{u_x} = C_t \times R_a^{\frac{1}{4}}$$

第1.-2表 熱伝達率の算出に用いる各種パラメータ

λ	[W/mK]	セル内空気の熱伝導率
l	[m]	貯槽等高さ
$\overline{N_{u}}$	—	平均ヌセルト数
N_{u_x}	—	局所ヌセルト数
C_t	—	プラントル数の関数 $= \frac{3}{4} \left(\frac{P_r}{2.4 + 4.9 \sqrt{P_r + 5 P_r}} \right)^{\frac{1}{4}}$
R_a	—	レイリ一数 ($R_a = P_r \times G_r$)
P_r	—	セル内空気のプラントル数 ($= C \times \mu \times 3600 / \lambda$)
G_r	—	セル内空気のグラスホフ数 ($= g \times l^3 \times \beta \times \rho^2 \times (T - T_w) / \mu^2$)
C	[J/kgK]	セル内空気の比熱
μ	[kg/ms]	セル内空気の粘度
g	[m/s ²]	重力加速度 (=9.8)
β	[K ⁻¹]	セル内空気の体膨張係数
ρ	[kg/m ³]	セル内空気の密度

1.3 評価条件

中継槽（溶解液）、希釀槽（Pu濃縮液）、Pu溶液一時貯槽（Pu溶液）、抽出廃液受槽（抽出廃液）、高レベル濃縮廃液貯槽及び高レベル廃液混合槽（高レベル濃縮廃液）を代表に放熱の効果を推定する。貯槽等

に内包する高レベル廃液等, 崩壊熱量, 貯槽等高さ及び貯槽等表面積を, 第 1. - 3 表に示す。

また, 貯槽等における貯槽等表面温度は 100°C と設定し, 貯槽等表面温度とセル雰囲気の温度差が 20°C から 80°C の範囲において評価する。各温度におけるセル内空気の密度, 比熱, 粘度, 熱伝導率, 体膨張係数, を第 1. - 4 表に示す。

第 1. - 3 表 貯槽等高さ及び貯槽等表面積

貯槽等	内包する高レベル廃液等	崩壊熱量 [W]	貯槽等高さ [m]	表面積 [m ²]
中継槽	溶解液			
希釀槽	プルトニウム濃縮液			
プルトニウム溶液一時貯槽	プルトニウム溶液			
抽出廃液受槽	抽出廃液			
高レベル濃縮廃液貯槽	高レベル濃縮廃液			
高レベル混合廃液貯槽	高レベル廃液			

第 1. - 4 表 空気の密度, 比熱, 粘度, 熱伝導率, 体膨張係数

No.	空気の 温度 [K]	空気の 密度 [kg/m ³]	空気の 比熱 [J/kg K]	空気の 粘度 [kg/m s]	空気の 熱伝導率 [W/m K]	空気の 体膨張係数 [1/K]
1	293	1.188	1007	1.82E-05	0.02572	3.4×10 ⁻³
2	313	1.112	1007	1.92E-05	0.0272	3.1×10 ⁻³
3	333	1.045	1009	2.01E-05	0.02865	3.0×10 ⁻³
4	353	0.9859	1010	2.11E-05	0.03007	2.8×10 ⁻³

1.4 評価結果

貯槽等からの放熱を考慮した場合の熱伝達率等の評価結果を第 1. - 5 表から第 1. - 10 表に示す。

貯槽等の表面からセル雰囲気への放熱の効果は, 貯槽等の表面温度とセル雰囲気の温度差に依存し, 温度差が 20°C から 80°C の範囲において鉛直平板を仮定した場合, 貯槽等の表面とセル雰囲気間の熱伝達率は約

■については商業機密の観点から公開できません。

$1.8W/(m^2 \cdot K) \approx 3.3W/(m^2 \cdot K)$ となる。

放熱の効果は、高レベル廃液等の崩壊熱密度に高レベル廃液等の体積を乗じて算出された崩壊熱を、放熱に寄与する貯槽等の表面積で除して算出される値に依存し、この値が大きい高レベル濃縮廃液、高レベル廃液及びプルトニウム濃縮液に対する放熱効果は、温度差を 20°C と仮定した場合、高レベル濃縮廃液に対して約1.6%程度、高レベル廃液に対して約3.0%程度、プルトニウム濃縮液に対して約15%程度となる。一方、高レベル廃液等の崩壊熱を放熱に寄与する貯槽等の表面積で除して算出される値が小さくなる溶解液、抽出廃液及びプルトニウム溶液に対する放熱効果は、温度差を 20°C と仮定した場合、溶解液に対して約30%，抽出廃液に対して約42%，プルトニウム溶液に対して100%となる。

高レベル廃液等の崩壊熱を放熱に寄与する貯槽等の表面積で除して算出される値が大きい高レベル濃縮廃液及びプルトニウム濃縮液を内包する貯槽等は、沸騰に至るまでの時間が短いという特徴を有している。 高レベル廃液等の崩壊熱を放熱に寄与する貯槽等の表面積で除して算出される値が小さい溶解液、抽出廃液及びプルトニウム溶液を内包する貯槽等は、沸騰に至るまでの時間が長いという特徴を有していることから、断熱条件においても沸騰に至るまでの時間が長い溶解液、抽出廃液及びプルトニウム溶液を内包する貯槽等が沸騰に至るまでの時間は、断熱条件においても沸騰に至るまでの時間が短い高レベル濃縮廃液及びプルトニウム濃縮液を内包する貯槽等に比べてより長くなることになる。

以上より、実際の熱条件の下では、評価結果に示す沸騰に至るまでの時間は、全ての高レベル廃液等においてより長い時間となる可能性があるが、その効果は崩壊熱の小さな高レベル廃液等ほど顕著であり、高レ

ベル廃液等の沸騰までの時間が逆転することはないことから、蒸発乾固への対処の作業の優先順位及び実施組織要員の操作の時間余裕に与える影響はない。

第 1. - 5 表 各セル内空気温度における中継槽の評価結果

パラメータ	記号	単位	293 [K]	313 [K]	333 [K]	353 [K]
放熱量	Q'	W	[REDACTED]	[REDACTED]	[REDACTED]	[REDACTED]
熱伝達率	h	W / (m ² · K)	3.3	3.0	2.7	2.2
平均 ヌセルト数	N u	—	[REDACTED]	[REDACTED]	[REDACTED]	[REDACTED]
局所 ヌセルト数	N u x	—	[REDACTED]	[REDACTED]	[REDACTED]	[REDACTED]
レイリー数	R a	—	[REDACTED]	[REDACTED]	[REDACTED]	[REDACTED]
プラントル数	P r	—	[REDACTED]	[REDACTED]	[REDACTED]	[REDACTED]
グラフホフ数	G r	—	[REDACTED]	[REDACTED]	[REDACTED]	[REDACTED]
放熱効果				100%	73%	30%

第 1. - 6 表 各セル内空気温度における希釀槽の評価結果

パラメータ	記号	単位	293 [K]	313 [K]	333 [K]	353 [K]
放熱量	Q'	W	[REDACTED]	[REDACTED]	[REDACTED]	[REDACTED]
熱伝達率	h	W / (m ² · K)	3.1	2.8	2.5	2.0
平均 ヌセルト数	N u	—	[REDACTED]	[REDACTED]	[REDACTED]	[REDACTED]
局所 ヌセルト数	N u x	—	[REDACTED]	[REDACTED]	[REDACTED]	[REDACTED]
レイリー数	R a	—	[REDACTED]	[REDACTED]	[REDACTED]	[REDACTED]
プラントル数	P r	—	[REDACTED]	[REDACTED]	[REDACTED]	[REDACTED]
グラフホフ数	G r	—	[REDACTED]	[REDACTED]	[REDACTED]	[REDACTED]
放熱効果				93%	63%	37%
						15%

第 1. - 7 表 各セル内空気温度におけるプルトニウム溶液一時貯槽

の評価結果

パラメータ	記号	単位	293 [K]	313 [K]	333 [K]	353 [K]
放熱量	Q'	W	[REDACTED]	[REDACTED]	[REDACTED]	[REDACTED]
熱伝達率	h	W / (m ² · K)	3.0	2.7	2.4	2.0
平均 ヌセルト数	N u	—	[REDACTED]	[REDACTED]	[REDACTED]	[REDACTED]
局所 ヌセルト数	N u x	—	[REDACTED]	[REDACTED]	[REDACTED]	[REDACTED]
レイリー数	R a	—	[REDACTED]	[REDACTED]	[REDACTED]	[REDACTED]
プラントル数	P r	—	[REDACTED]	[REDACTED]	[REDACTED]	[REDACTED]
グラフホフ数	G r	—	[REDACTED]	[REDACTED]	[REDACTED]	[REDACTED]
放熱効果					100%	

[REDACTED] については商業機密の観点から公開できません。

第1.-8表 各セル内空気温度における抽出廃液受槽の評価結果

パラメータ	記号	単位	293 [K]	313 [K]	333 [K]	353 [K]
放熱量	Q'	W	[REDACTED]	[REDACTED]	[REDACTED]	[REDACTED]
熱伝達率	h	W / (m ² · K)		3.0	2.7	2.4
平均 ヌセルト数	N u	—	[REDACTED]	[REDACTED]	[REDACTED]	[REDACTED]
局所 ヌセルト数	N u x	—	[REDACTED]	[REDACTED]	[REDACTED]	[REDACTED]
レイリー数	R a	—	[REDACTED]	[REDACTED]	[REDACTED]	[REDACTED]
プラントル数	P r	—	[REDACTED]	[REDACTED]	[REDACTED]	[REDACTED]
グラフホフ数	G r	—	[REDACTED]	[REDACTED]	[REDACTED]	[REDACTED]
放熱効果				100%		42%

第1.-9表 各セル内空気温度における高レベル濃縮廃液受槽の評価結果

パラメータ	記号	単位	293 [K]	313 [K]	333 [K]	353 [K]
放熱量	Q'	W	[REDACTED]	[REDACTED]	[REDACTED]	[REDACTED]
熱伝達率	h	W / (m ² · K)		2.8	2.5	2.2
平均 ヌセルト数	N u	—	[REDACTED]	[REDACTED]	[REDACTED]	[REDACTED]
局所 ヌセルト数	N u x	—	[REDACTED]	[REDACTED]	[REDACTED]	[REDACTED]
レイリー数	R a	—	[REDACTED]	[REDACTED]	[REDACTED]	[REDACTED]
プラントル数	P r	—	[REDACTED]	[REDACTED]	[REDACTED]	[REDACTED]
グラフホフ数	G r	—	[REDACTED]	[REDACTED]	[REDACTED]	[REDACTED]
放熱効果				9.9%	6.7%	4.0%
						1.6%

第1.-10表 各セル内空気温度における高レベル廃液混合槽の評価結果

パラメータ	記号	単位	293 [K]	313 [K]	333 [K]	353 [K]
放熱量	Q'	W	[REDACTED]	[REDACTED]	[REDACTED]	[REDACTED]
熱伝達率	h	W / (m ² · K)		2.8	2.6	2.3
平均 ヌセルト数	N u	—	[REDACTED]	[REDACTED]	[REDACTED]	[REDACTED]
局所 ヌセルト数	N u x	—	[REDACTED]	[REDACTED]	[REDACTED]	[REDACTED]
レイリー数	R a	—	[REDACTED]	[REDACTED]	[REDACTED]	[REDACTED]
プラントル数	P r	—	[REDACTED]	[REDACTED]	[REDACTED]	[REDACTED]
グラフホフ数	G r	—	[REDACTED]	[REDACTED]	[REDACTED]	[REDACTED]
放熱効果				17%	12%	7.2%
						3.0%

[REDACTED]については商業機密の観点から公開できません。

令和2年5月11日 R9

補足説明資料 7－6

1. 必要な要員及び資源の算出方法

1.1 必要な要員の算出方法

蒸発乾固の発生防止対策及び拡大防止対策において、外的事象の「地震」を要因とした場合に必要な要員は、待機している要員を含めた場合の蒸発乾固への対処に関与している要員数、待機している要員を含めた各対策に関与している要員数を算出する。

外的事象の「地震」を条件として蒸発乾固が発生した場合、待機している要員を含めた蒸発乾固への対処に関与している要員数が最も多くなり 141 人である。外的事象の「地震」を条件として蒸発乾固が発生した場合、待機している要員を含めた蒸発乾固への対処に関与している要員数を第 1. - 1 図に「火山の影響」を条件として蒸発乾固が発生した場合、待機している要員を含めた蒸発乾固への対処に関与している要員数を第 1. - 2 図に示す。

待機している要員を含めた各対策に関与している要員数は、建屋対策班、建屋外対応班、実施責任者等から算出する。精製建屋における内部ループへの通水は建屋対策班（建屋内 14 班、15 班、16 班、17 班、18 班、23 班、26 班、27 班）の 16 人、建屋外対応班（建屋外班員、燃料給油班 1 班～3 班、建屋外 1～8 班）の 19 人及び実施責任者等（実施責任者、建屋対策班長、現場管理者、要員管理班、情報管理班、通信班長、建屋外対応班長、放射線対応班長、放射線対応班 1～5 班）の 28 人の合計 63 人となる。その他の建屋及び対策に係る要員も同様に算出する。第 1. - 3 図に精製建屋における内部ループへの通水に関与している要員数の算出例を示す。

第7.2-7図 精製建屋における地震を想定した場合の内部ループへの通水に必要な要員及び作業項目（抜粋）

作業番号	作業内容	作業班	要員数	所要時間表 (時:分)
-	・準備導管確認（室内のアクセスルートの確認及び可動型通風装置の設置）	建屋内11班, 建屋内12班 建屋内13班	6	0:00 1:00 2:00 3:00 建屋内11, 12, 13時 → AC1 (導管内) → AC2 (導管内) AC3 (導管内) AC4 (導管内)
AC 20	・膨張導管確認	建屋内13班	2	1:00
AC 21	・可動型計器温度計設置及び計器等温度計測	建屋内14班, 建屋内15班	4	1:30 AC1 (導管内) → AC2 (導管内) AC3 (導管内) AC4 (導管内) AC5 (導管内) AC6 (導管内) AC7 (導管内) AC8 (導管内)
AC 22	・内部ループへの通水準備（可動型建屋内ホース敷設、接続、弁詰め）	建屋内14班, 建屋内15班	4	0:50
AC 23	・内部ループへの通水実施（弁操作、漏水い確認、内部ループ通水流量確認）	建屋内14班	2	0:30
AC 24	・計器等温度計測	建屋内15班	2	0:30
受付	・可動型漏水センサ設置（漏水センサ液位測定）	建屋内16班, 建屋内17班 建屋内18班	6	1:20 AC1 (導管内) → AC2 (導管内) AC3 (導管内) → AC4 (導管内) AC5 (導管内) → AC6 (導管内)
AC 31	・計器整備（計器等温度、内部ループ通水流量、排水流量） ・可動型電池及び可動型空気圧縮機等への燃料の補給	建屋内20班, 建屋内21班	4	—

作業番号	作業内容	作業班	要員数	所要時間表 (時:分)
-	・建屋外対応者 ・導管内清掃 ・便器洗浄 ・便器詰め ・便器交換 ・便器取扱 ・便器内対応者 ・便器外対応者	1 2 3 4 5 6 7 8	1 1 1 1 1 1 1 1	0:00 1:00 2:00 3:00 4:00 5:00 6:00 7:00

作業番号	作業内容	作業班	要員数	所要時間表 (時:分)
-	・建屋外対応者の活動	建屋外対応班	1	—
燃 1	・転落用タシタコローラから可動型耐震用荷物用容器（ゾタム板等）への燃料の搬送及び転落用タシタコローラの移動（燃料搬送用）	燃料搬送1班	1	—
燃 2	・転落用タシタコローラから可動型耐震用荷物用容器（ゾタム板等）への燃料の搬送及び転落用タシタコローラの移動（燃料搬送用）	燃料搬送2班	1	—
燃 3	・転落用タシタコローラから可動型耐震用荷物用容器（ゾタム板等）への燃料の搬送及び転落用タシタコローラの移動（燃料搬送用）	燃料搬送1班	1	—
燃 4	・転落用タシタコローラから可動型耐震用荷物用容器（ゾタム板等）への燃料の搬送及び転落用タシタコローラの移動（燃料搬送用）	燃料搬送2班	1	—
燃 5	・転落用タシタコローラから可動型耐震用荷物用容器（ゾタム板等）への燃料の搬送及び転落用タシタコローラの移動（燃料搬送用）	燃料搬送1班	1	—
燃 6	・転落用タシタコローラから可動型耐震用荷物用容器（ゾタム板等）への燃料の搬送及び転落用タシタコローラの移動（燃料搬送用）	燃料搬送2班	2	—
燃 7	・転落用タシタコローラから可動型耐震用荷物用容器（ゾタム板等）への燃料の搬送及び転落用タシタコローラの移動（燃料搬送用）	燃料搬送1班	1	2:10
燃 8	・転落用タシタコローラから可動型耐震用荷物用容器（ゾタム板等）への燃料の搬送及び転落用タシタコローラの移動（燃料搬送用）	燃料搬送2班	1	—
外 1	・第1号棟から各棟までのアクセスルート（北ルート）	燃料搬送1班	2	0:35 燃料搬送1, 2班 → 内2 (導管内) → 内3 (導管内) → 内4 (導管内)
外 2	・第1号棟から各棟までのアクセスルート（南ルート）	燃料搬送2班	2	0:35 燃料外2班 → 内2 (導管内) → 内3 (導管内) → 内4 (導管内)
外 3	・ホイールロードの確認	燃料外1班, 燃料外2班	3	0:10 燃料外1班 → 内2 (導管内) → 内3 (導管内) → 内4 (導管内)
外 4	・アクセルメントへの搬入（ボンベ搬入）	燃料外1班, 燃料外2班	3	5:10 燃料外1班 → 内2 (導管内) → 内3 (導管内) → 内4 (導管内)

第1. - 3図 精製建屋における内部ループへの通水に関与している要員数の算出例

1.2 必要な水源の算出方法

貯槽等への注水によって消費される水量は、貯槽等に内包する高レベル廃液等の蒸発速度に対して、高レベル廃液等の沸騰までの時間余裕と冷却コイル等への通水開始までの時間の差の積である。

また、単位時間当たりの蒸発速度については、貯槽等に内包する高レベル廃液等の崩壊熱（貯槽等に内包する高レベル廃液等の崩壊熱密度と溶液体積の積）を水の蒸発潜熱で除して算出する。

貯槽等への注水によって消費される水量

$$= \text{蒸発速度} \times (\text{冷却コイル等への通水開始までの時間})$$

—高レベル廃液等の沸騰までの時間余裕)

以上の条件で評価した結果、貯槽等への注水によって消費される水量は、合計約 26m³ の水が必要である。

貯槽等への注水によって消費される各建屋での水量についての詳細を以下に示す。

前処理建屋	約 0 m ³
分離建屋	約 1.4 m ³
精製建屋	約 2.1 m ³
ウラン・プルトニウム混合脱硝建屋	約 0.2 m ³
高レベル廃液ガラス固化建屋	約 23 m ³
全建屋合計	約 26 m ³

貯槽等への注水によって消費される水量（＝凝縮水の発生量）の詳細は、補足説明資料 7-8 に示すとおりである。

また、代替安全冷却水系と第 1 貯水槽間を循環させるために必要な水量は、約 3,000 m³ である。

1.3 必要な燃料の算出方法

蒸発乾固への対処で必要な燃料は、機器の 1 時間あたりの燃料消費量と燃料を必要とする機器の使用開始から対応時間 7 日間（168 時間）までの時間の差（使用時間）の積である。

蒸発乾固への対処で燃料（軽油）を必要とする設備としては、可搬型中型移送ポンプ、可搬型発電機、可搬型空気圧縮機、軽油用タンクローリ、可搬型中型移送ポンプ運搬車、ホース展張車、運搬車及びホイールローダがある。

1 時間あたりの燃料消費量を第 1.3-1 表に示す。

第 1.3-1 表 各機器の 1 時間あたりの燃料消費量

機器名	台数	1 時間あたりの燃料消費量 (m ³ /h)
可搬型中型移送ポンプ	6	0.043
可搬型発電機	4	0.018
可搬型排気モニタリング用発電機	1	0.0013
可搬型空気圧縮機 (前処理建屋, 分離建屋及び高レベル廃液ガラス固化建屋)	3	0.01
可搬型空気圧縮機 (精製建屋及びウラン・プルトニウム混合脱硝建屋)	1	0.008
軽油用タンクローリ	3	0.002
可搬型中型移送ポンプ運搬車	2	0.002
ホース展張車	2	0.002
運搬車	2 (9 [※])	0.005
ホイールローダ	3	0.02

※外的事象の「火山の影響」想定

必要な燃料の量については、可搬型中型移送ポンプ、可搬型発電機及び可搬型空気圧縮機を共用する対策、建屋の中で、最も使用量が多くなるように算出する。(共用している中で使用開始が最も早いものをもとに必要な燃料の量を算出)

1.3.1 可搬型中型移送ポンプ

可搬型移送ポンプは、蒸発乾固の発生防止対策の内部ループへの通水と蒸発乾固の拡大防止対策の貯槽等への注水、冷却コイル等への通水及び凝縮器への通水で同じ可搬型移送ポンプを使用する。

貯水槽から建屋への水供給及び建屋から貯水槽への排水に使用する可搬型移送ポンプは、前処理建屋で 2 台、分離建屋、精製建屋及びウラン・プルトニウム混合脱硝理建屋で 2 台、高レベル廃液ガラス固化建屋で 2 台使用する。

外的事象の「地震」又は「火山の影響」の想定によらず、必要な燃料の量は変わらない。

必要燃料算出過程（外的事象の「地震」又は「火山の影響」想定）	合計
可搬型中型移送ポンプ（給水） 3台起動 （燃料消費率は保守的に定格出力運転時を想定） 前処理建屋 $43\text{L/h (燃料消費率)} \times 142.9\text{h (運転時間)} = \text{約 } 6.2\text{m}^3$ 分離建屋、精製建屋及びウラン・プルトニウム混合脱硝理建屋 $43\text{L/h (燃料消費率)} \times 166.9\text{h (運転時間)} = \text{約 } 7.2\text{m}^3$ 高レベル廃液ガラス固化建屋 $43\text{L/h (燃料消費率)} \times 166.4\text{h (運転時間)} = \text{約 } 7.2\text{m}^3$	7日間の軽油消費量 約 20m^3
可搬型中型移送ポンプ（排水） 3台起動 （燃料消費率は保守的に定格出力運転時を想定） 前処理建屋 $43\text{L/h (燃料消費率)} \times 132.5\text{h (運転時間)} = \text{約 } 5.8\text{m}^3$ 分離建屋、精製建屋及びウラン・プルトニウム混合脱硝理建屋 $43\text{L/h (燃料消費率)} \times 159\text{h (運転時間)} = \text{約 } 6.9\text{m}^3$ 高レベル廃液ガラス固化建屋 $43\text{L/h (燃料消費率)} \times 151.5\text{h (運転時間)} = \text{約 } 6.6\text{m}^3$	7日間の軽油消費量 約 20m^3

1.3.2 可搬型発電機

可搬型発電機は、蒸発乾固の拡大防止対策の可搬型排風機の運転に使用する。

前処理建屋で1台、分離建屋で1台、精製建屋及びウラン・プルトニウム混合脱硝理建屋で1台、高レベル廃液ガラス固化建屋で1台使用する。

また、主排気筒を介した大気中への放射性物質の放出状況の監視に必要な負荷への給電のために可搬型排気モニタリング用発電機（1台）を使用する。

外的事象の「地震」又は「火山の影響」の想定によらず、必要な燃料の量は変わらない。

必要燃料算出過程（外的事象の「地震」又は「火山の影響」想定）	合計
可搬型発電機（18L/h） 4台起動 前処理建屋 18L/h（燃料消費率）×161.5（運転時間）=約2.9m ³	
分離建屋 18L/h（燃料消費率）×163.5h（運転時間）=約3.0m ³	7日間の軽油消費量 約12m ³
精製建屋及びウラン・プルトニウム混合脱硝理建屋 18L/h（燃料消費率）×163.5h（運転時間）=約3.0m ³	
高レベル廃液ガラス固化建屋 18L/h（燃料消費率）×165h（運転時間）=約3.0m ³	
可搬型排気モニタリング用発電機 1.3L/h（燃料消費率）×166.7h（運転時間）=約0.22m ³	

1.3.3 可搬型空気圧縮機

可搬型空気圧縮機は、重大事故等計装設備の可搬型液位計への圧縮空気の供給に使用する。

前処理建屋で1台、分離建屋で1台、精製建屋及びウラン・プルトニウム混合脱硝理建屋で1台、高レベル廃液ガラス固化建屋で1台使用する。

外的事象の「地震」又は「火山の影響」の想定によらず、必要な燃料の量は変わらない。

必要燃料算出過程（外的事象の「地震」又は「火山の影響」想定）	合計
可搬型空気圧縮機 4台起動 前処理建屋 10L/h（燃料消費率）×132h（運転時間）=約1.4m ³	
分離建屋 10L/h（燃料消費率）×162h（運転時間）=約1.7m ³	7日間の軽油消費量 約5.9m ³
精製建屋及びウラン・プルトニウム混合脱硝理建屋 8L/h（燃料消費率）×166.7h（運転時間）=約1.4m ³	
高レベル廃液ガラス固化建屋 10L/h（燃料消費率）×157.5h（運転時間）=約1.6m ³	

1.3.4 軽油用タンクローリ、可搬型中型移送ポンプ運搬車、ホース展張車、運搬車及びホイールローダ

軽油用タンクローリ、可搬型中型移送ポンプ運搬車、ホース展張車、運搬車及びホイールローダは、燃料及び可搬型重大事故等対処設備の運搬及び設置並びにアクセスルートの整備に使用する。

外的事象の「地震」及び「火山の影響」の想定時に必要な燃料の量をそれぞれ下表に示す。

必要燃料算出過程（外的事象の「地震」想定）	合計
運搬等に必要な車両等 軽油用タンクローリ $2\text{L}/\text{h}$ (燃料消費率) $\times 168\text{h}$ (運転時間) $\times 3$ 台 = 約 1.0m^3 可搬型中型移送ポンプ運搬車 $2\text{L}/\text{h}$ (燃料消費率) $\times 2.5\text{h}$ (運転時間) $\times 2$ 台 = 約 0.010m^3 ホース展張車 $2\text{L}/\text{h}$ (燃料消費率) $\times 5.5\text{h}$ (運転時間) $\times 2$ 台 = 約 0.022m^3 運搬車 $5\text{L}/\text{h}$ (燃料消費率) $\times 12.5\text{h}$ (運転時間) $\times 2$ 台 = 約 0.13m^3 ホイールローダ $20\text{L}/\text{h}$ (燃料消費率) $\times 168\text{h}$ (運転時間) $\times 1$ 台 = 約 3.4m^3 $20\text{L}/\text{h}$ (燃料消費率) $\times 3.7\text{h}$ (運転時間) $\times 1$ 台 = 約 0.074m^3 $20\text{L}/\text{h}$ (燃料消費率) $\times 3.7\text{h}$ (運転時間) $\times 1$ 台 = 約 0.074m^3	7 日間の軽油 消費量 約 4.7m^3

必要燃料算出過程（外的事象の「火山の影響」想定）	合計
運搬等に必要な車両等 軽油用タンクローリ $2\text{L}/\text{h}$ (燃料消費率) $\times 168\text{h}$ (運転時間) $\times 3$ 台 = 約 1.0m^3 可搬型中型移送ポンプ運搬車 $2\text{L}/\text{h}$ (燃料消費率) $\times 2.5\text{h}$ (運転時間) $\times 2$ 台 = 約 0.010m^3 ホース展張車 $2\text{L}/\text{h}$ (燃料消費率) $\times 5.5\text{h}$ (運転時間) $\times 2$ 台 = 約 0.022m^3 運搬車 $5\text{L}/\text{h}$ (燃料消費率) $\times 12.5\text{h}$ (運転時間) $\times 2$ 台 = 約 0.13m^3 $5\text{L}/\text{h}$ (燃料消費率) $\times 1.4\text{h}$ (運転時間) $\times 6$ 台 = 約 0.04m^3 $5\text{L}/\text{h}$ (燃料消費率) $\times 0.7\text{h}$ (運転時間) $\times 1$ 台 = 約 0.0034m^3 ホイールローダ $20\text{L}/\text{h}$ (燃料消費率) $\times 168\text{h}$ (運転時間) $\times 1$ 台 = 約 3.4m^3 $20\text{L}/\text{h}$ (燃料消費率) $\times 3.7\text{h}$ (運転時間) $\times 1$ 台 = 約 0.074m^3 $20\text{L}/\text{h}$ (燃料消費率) $\times 3.7\text{h}$ (運転時間) $\times 1$ 台 = 約 0.074m^3	7 日間の軽油 消費量 約 4.8m^3

1.4 必要な電源の算出方法

可搬型発電機については、蒸発乾固の拡大防止対策での可搬型排風機の運転に使用する。建屋間の共用については、精製建屋とウラン・プルトニウム混合脱硝建屋のみ共用している。

1.4.1 前処理建屋可搬型発電機

前処理建屋可搬型発電機の電源負荷を積上げた結果は以下のとおりである。動的負荷である前処理建屋の可搬型排風機の起動時容量については、電動機の起動電流（7.5 kW以下の電動機については、全負荷電流の750%）を踏まえ容量を7.5倍とし、 $5.2 \text{ kVA} / \text{台} \times 1 \text{ 台} \times 7.5 = 39 \text{ kVA}$ と評価した。

可搬型排風機の起動時を考慮しても39 kVAであることから、可搬型発電機の容量である約80 kVAを超えることなく給電可能である。

(単位はkVA)

順番	対象機器	台数	定格容量	積上げ	起動時
1	可搬型排風機	1	5.2	5.2	39
合 計 (起動時は最高値を記載)				5.2	39
評 価		80 kVA以下			

1.4.2 分離建屋可搬型発電機

分離建屋可搬型発電機の電源負荷を積上げた結果は以下のとおりである。動的負荷である分離建屋の可搬型排風機の起動時容量については、電動機の起動電流（7.5 kW以下の電動機については、全負荷電流の750%）を踏まえ容量を7.5倍とし、 $5.2 \text{ kVA} / \text{台} \times 1 \text{ 台} \times 7.5 = 39 \text{ kVA}$ と評価した。

可搬型排風機の起動時を考慮しても 39 k V Aであることから、可搬型発電機の容量である約 80 k V Aを超えることなく給電可能である。

(単位は k V A)

順番	対象機器	台数	定格容量	積上げ	起動時
1	可搬型排風機	1	5.2	5.2	39
合 計 (起動時は最高値を記載)				5.2	39
評 價			80 k V A以下		

1.4.3 ウラン・プルトニウム混合脱硝建屋可搬型発電機（精製建屋と共に）

ウラン・プルトニウム混合脱硝建屋可搬型発電機の電源負荷を積上げた結果は以下のとおりである。動的負荷である精製建屋及びウラン・プルトニウム混合脱硝建屋は可搬型排風機の起動時容量については、電動機の起動電流（7.5 k W以下の電動機については、全負荷電流の 750%）を踏まえ容量を 7.5 倍とし、 $5.2 \text{ k V A} / \text{台} \times 1 \text{ 台} \times 7.5 = 39 \text{ k V A}$ と評価した。

可搬型排風機の 1 台運転中で、さらに 1 台が起動する場合は、約 45 k V Aであることから、可搬型発電機の容量である約 80 k V Aを超えることなく給電可能である。

(単位は k V A)

順番	対象機器	台数	定格容量	積上げ	起動時
1	可搬型排風機（精製建屋）	1	5.2	5.2	39
2	可搬型排風機（ウラン・プルトニウム混合脱硝建屋）	1	5.2	10.4	44.2
合 計 (起動時は最高値を記載)				10.4	44.2
評 價			80 k V A以下		

1.4.4 高レベル廃液ガラス固化建屋可搬型発電機

高レベル廃液ガラス固化建屋可搬型発電機の電源負荷を積上げた結果は以下のとおりである。動的負荷である可搬型排風機の起動時容量については、電動機の起動電流（7.5 kW以下の電動機については、全負荷電流の750%）を踏まえ容量を7.5倍とし、 $5.2 \text{ kVA} / \text{台} \times 1 \text{ 台} \times 7.5 = 39 \text{ kVA}$ と評価した。

可搬型排風機の起動時を考慮しても 39 kVAであることから、可搬型発電機の容量である約 80 kVAを超えることなく給電可能である。

(単位は kVA)

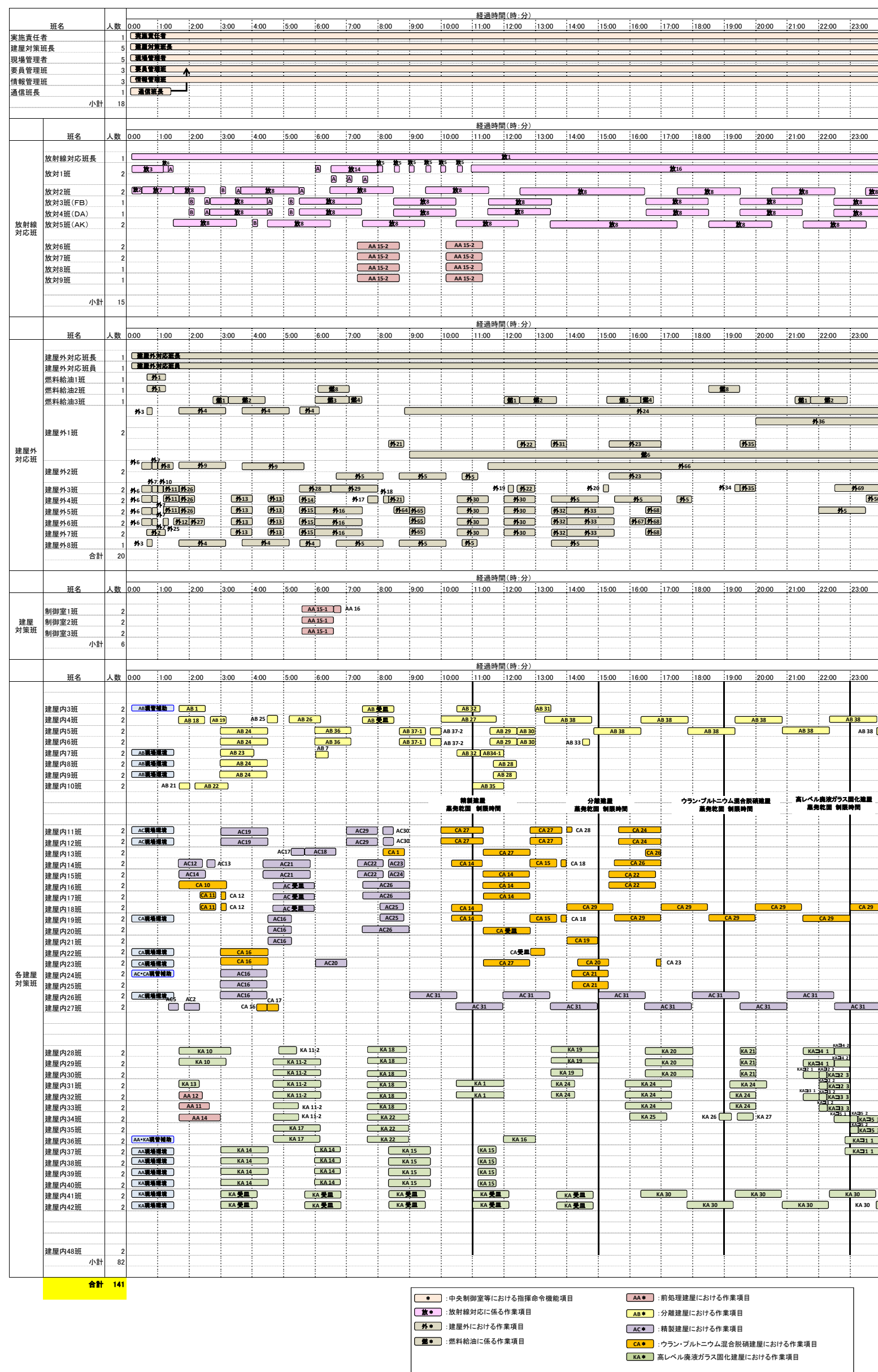
順番	対象機器	台数	定格容量	積上げ	起動時
1	可搬型排風機	1	5.2	5.2	39
合 計 (起動時は最高値を記載)				5.2	39
評 価			80 kVA以下		

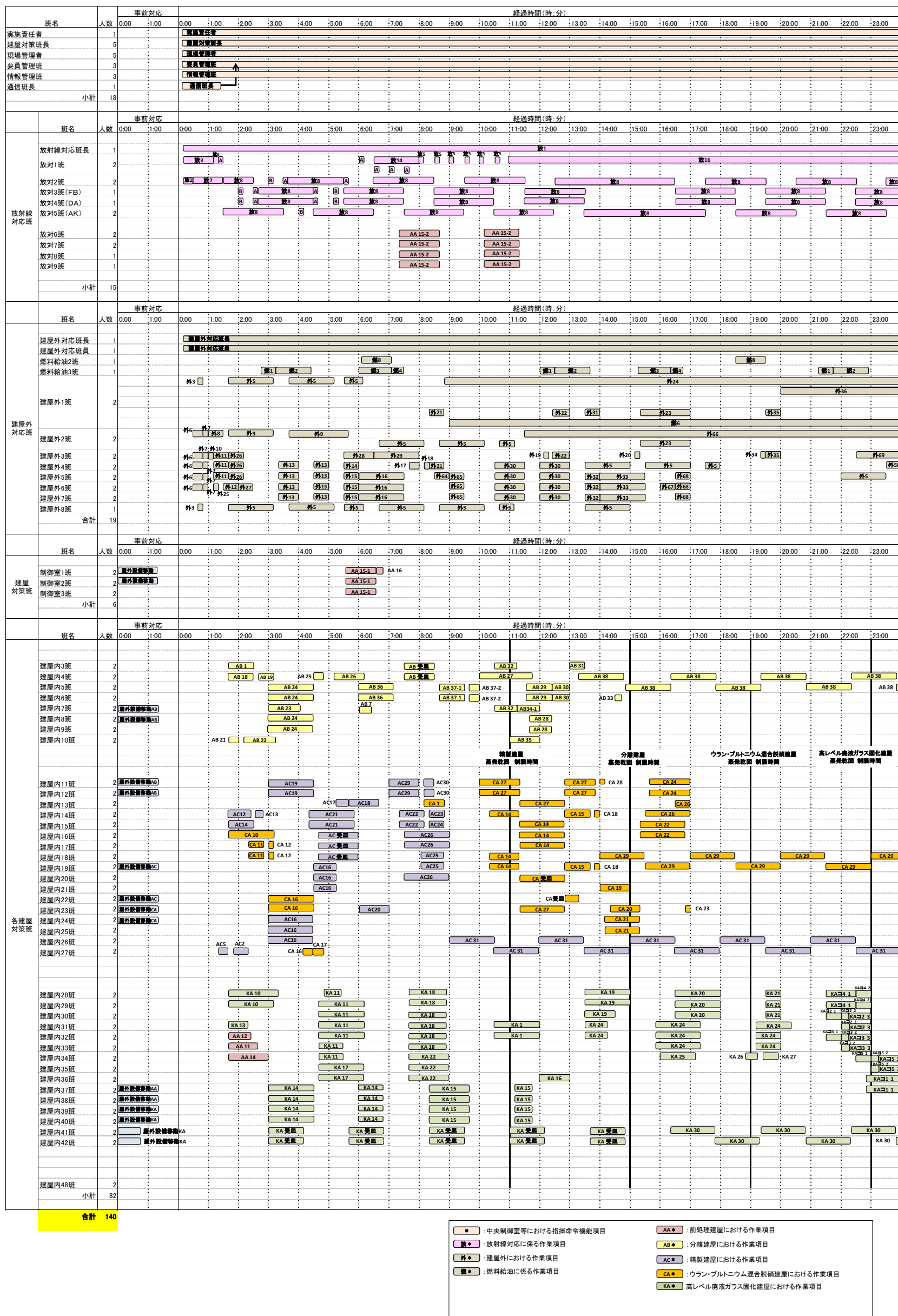
1.4.5 可搬型排気モニタリング用発電機

可搬型排気モニタリング用発電機の電源負荷を積上げた結果は以下のとおりである。対象負荷の積上げは約 1.8 kVAであることから、可搬型発電機の容量である約 3 kVAを超えることなく給電可能である。

(単位は kVA)

順番	対象機器	台数	定格容量	積上げ	起動時
1	可搬型ガスモニタ	1	0.163	0.163	0.163
2	可搬型排気サンプリング設備	1	0.660	0.823	0.823
3	可搬型核種分析装置	1	0.250	1.073	1.073
4	可搬型トリチウム測定装置	1	0.500	1.573	1.573
5	可搬型排気モニタリング用データ伝送装置	1	0.150	1.723	1.723
合 計 (起動時は最高値を記載)				1.723	1.723
評 価			3 kVA 以下		





第1.-2図 「火山の影響」を条件として蒸発乾固が発生した場合の対処要員

令和 2 年 4 月 1 3 日 R5

補足説明資料 7 — 7

1. 蒸発乾固における事態の収束までの放出量評価

1.1 評価内容

冷却機能が喪失し、高レベル廃液等が沸騰に至ってから事態が収束するまでの放射性物質の大気中への放出量を評価する。沸騰停止までに気相部へ移行した放射性物質の全量が大気中へ放出されたものとして評価する。事態が収束するタイミングは、冷却機能の回復である冷却コイル等への通水開始時であり、放射性物質の放出が停止するものとする。

なお、評価対象建屋は蒸発乾固の発生を想定する前処理建屋、分離建屋、精製建屋、ウラン・プルトニウム混合脱硝建屋及び高レベル廃液ガラス固化建屋である。

1.2 大気中への放射性物質の放出量評価

大気中への放射性物質の放出量は、重大事故等が発生する貯槽等に内包する放射性物質量に対して、高レベル廃液等が沸騰を開始してから乾燥し固化に至るまでの期間のうち、放射性物質の放出に寄与する時間割合、高レベル廃液等の沸騰に伴い気相中に移行する放射性物質の割合、大気中への放出経路における低減割合を乗じて算出する。

また、評価した大気中への放射性物質の放出量にセシウム-137への換算係数を乗じて、大気中へ放出された放射性物質の放出量（セシウム-137換算）を算出する。

1.3 冷却コイル等への通水開始までの時間

各建屋とも貯槽等への注水、塔槽類廃ガス処理設備からセルへの導出経路の構築、凝縮器による発生した蒸気及び放射性物質の除去、可搬型フィルタ及び可搬型排風機を用いたセル排気系を代替する排気系による対応を優先して実施し、大気中への放射性物質の放出を抑制できる状態を整備してから、冷却コイル等への通水の作業に着手する。

冷却機能の喪失から冷却コイル等への通水開始までに要する時間は、第1.－1表に示す通りである。

第1.－1表 各建屋の冷却コイル等への通水完了時間

機器グループ	冷却機能の喪失から冷却コイル等への通水開始までの時間
前処理建屋内部ループ1	46時間15分
前処理建屋内部ループ2	45時間00分
分離建屋内部ループ1	25時間55分
分離建屋内部ループ2	47時間40分
分離建屋内部ループ3	65時間45分
精製建屋内部ループ1	30時間40分
精製建屋内部ループ2	37時間30分
ウラン・プルトニウム混合脱硝建屋内部ループ	26時間20分
高レベル廃液ガラス固化建屋内部ループ1	37時間55分
高レベル廃液ガラス固化建屋内部ループ2	34時間35分
高レベル廃液ガラス固化建屋内部ループ3	36時間05分
高レベル廃液ガラス固化建屋内部ループ4	37時間35分

1.4 評価に用いる各種パラメータの設定

大気中への放射性物質の放出量を「1.2 大気中への放射性物質の放出量評価」の通りに算出する。また、算出に必要なパラメータは第 1. - 2 表に示す通りである。

第 1. - 2 表 放出量評価に必要なパラメータの設定

項目	パラメータ	
貯槽等に内包する放射性物質量 (M A R)	貯槽等ごとに設定	
高レベル廃液等が沸騰を開始してから乾燥し固化に至るまでの期間のうち、放射性物質の放出に寄与する時間割合 (D R)	貯槽等ごとに設定	
高レベル廃液等の沸騰に伴い気相中に移行する放射性物質の割合 (A R F)	5.0×10^{-5}	
大気中への放出経路における除染係数 (D F)	凝縮器	10
	経路上での沈着等	10
	高性能粒子フィルタ	1.0×10^5

1.5 貯槽等に内包する放射性物質量の設定

貯槽等が内包する放射性物質量は、1日当たりに処理する使用済燃料の平均燃焼度 $45,000 \text{MW d} / \text{t} \cdot \text{U P r}$ ，照射前燃料濃縮度 4.5wt \% ，比出力 $38 \text{MW} / \text{t} \cdot \text{U P r}$ ，冷却期間 15 年を基に算出した内蔵放射能に、使用済燃料の燃料仕様の変動に係る補正係数を考慮して平常運転時の最大値を算出し設定する。使用済燃料の燃料仕様の変動に係る補正係数を第 1. - 3 表に示す。

第 1. - 3 表 使用済燃料の燃料仕様の変動に係る補正係数

元素グループ	使用済燃料中の放 射能	燃料仕様の変動に係 る補正係数
	($B_q / t \cdot U_{Pr}$)	
R u / R h	1.6×10^{12} ※ 2	1.7
その他 F P ※ 1	1.3×10^{16}	1.1
P u	α 1.7×10^{14}	2.0
	β 2.9×10^{15}	
A m, C m	1.8×10^{14}	2.7

※ 1 その他 F P とは、核分裂生成物のうち、K r - 85 ,

I - 129 及び R u / R h を除いたものを示す。

※ 2 R u 及び R h の合算値を示す。

1.6 高レベル廃液等の沸騰に伴い気相中に移行する放射性物質の割合の設定

高レベル廃液等の沸騰に伴い気相中に移行する放射性物質の割合は、 $0.005\%^{(1)}$ とする。ARFの設定根拠については、「2. 沸騰状態における飛沫同伴移行割合について」で記載する。

1.7 大気中への放出経路における除染係数の設定

凝縮器による放射性エアロゾルの除染係数は、10とする。また、放出経路上の構造物への沈着による放射性エアロゾルの除染係数は、10とする。さらに、高性能粒子フィルタの放

射性エアロゾルの除染係数は、凝縮器による蒸気の凝縮により、高性能粒子フィルタが所定の性能を発揮できることから 2 段で 10^5 とする。D F の設定根拠については、「3. 除染係数の設定について」で記載する。

1.8 セシウム-137 換算係数

放射性物質のセシウム-137 換算係数は、IAEA-TECDOC-1162 に記載されている地表沈着した核種からのガンマ線による外部被ばく及び再浮遊核種の吸入による内部被ばくを考慮した 50 年間の実効線量への換算係数並びに吸入核種の化学形態を線量告示に適合させるために、プルトニウム等の一部の核種について、IAEA-TECDOC-⁽³⁾ 1162 に記載の吸入摂取換算係数を ICRP Publicat⁽⁴⁾ ion. 72 の吸入摂取換算係数で補正するために設定する「吸入核種の化学形態に係る補正係数」を用いて、以下の計算式により算出する。

また、セシウム-137 換算係数の算出過程を第 1.-4 表に示す。

セシウム-137 換算係数

$$= (\text{ある核種の CF4 換算係数}) / (\text{セシウム-137 CF4 換算係数}) \times (\text{吸入核種の化学形態に係る補正係数})$$

第1.-4表 主要な核種のセシウム-137 換算係数

	I A E A - T E C D O C - 1162 の C F ₄ 換算係数 [A]	I A E A - T E C D O C - 1162 の C F ₄ 換算係数(C s 137 の値) [B]	吸入核種の化学形態 に係る補正係数 [C]	C s 137 換算係数 ※1 [D] = [A] / [B] × [C]
	(m S v / (k B q · m ⁻²))	(m S v / (k B q · m ⁻²))	(-)	(-)
S r 90	2.1 E-02	1.3 E-01	1.0	0.16
R u 106	4.8 E-03	1.3 E-01		0.037
C s 134	5.1 E-02	1.3 E-01		0.39
C s 137	1.3 E-01	1.3 E-01		1.0
C e 144	1.4 E-03	1.3 E-01		0.011
E u 154	1.3 E-01	1.3 E-01		1.0
P u 238	6.6 E+00	1.3 E-01	0.41	21
P u 239	8.5 E+00	1.3 E-01	0.42	27
P u 240	8.4 E+00	1.3 E-01	0.42	27
P u 241	1.9 E-01	1.3 E-01	0.39	0.56
A m 241	6.7 E+00	1.3 E-01	0.45	23
C m 242	5.9 E-02	1.3 E-01	0.88	0.40
C m 244	2.8 E+00	1.3 E-01	0.47	10

注：放射平衡核種の子孫核種の寄与は、親核種に含む。

	I A E A - T E C D O C - 1162 の吸入 摂取換算係数 [a] (S v / B q)	I C R P P u b l i c a t i o n . 72 の 吸入摂取 換算係数(化学形態を考慮) [b] (S v / B q)	吸入核種の化学形態に係る補正係数 [c] = [b] / [a]
	(-)		
P u 238	1.13 E-04 ※2	4.6 E-05	0.41
P u 239	1.20 E-04 ※2	5.0 E-05	0.42
P u 240	1.20 E-04 ※2	5.0 E-05	0.42
P u 241	2.33 E-06 ※2	9.0 E-07	0.39
A m 241	9.33 E-05	4.2 E-05	0.45
C m 242	5.93 E-06	5.2 E-06	0.88
C m 244	5.73 E-05	2.7 E-05	0.47

※ 1 : 地表沈着した核種からの外部被ばく及び再浮遊核種の吸入による内部被ばくの 50 年間の実効線量を用いてセシウム -137 放出量に換算する係数

※ 2 : 化学形態としてキレートを想定

1.9 評価結果

冷却機能の喪失から蒸発乾固における事態の収束までの放射性物質の大気中への放出量（セシウム -137 换算）の計算過程を第 1. - 5 表から第 1. - 9 表に、評価結果を第 1. - 10 表に示す。

第 1. - 10 表の結果から、放射性物質の放出量は事業指定基準規則第 28 条で要求されているセシウム -137 换算で 100 TBq を十分下回る。

さらに放出量評価の前提を第 1. - 1 図から第 1. - 5 図に示す。

第1.－5表 前処理建屋における事態の収束までの放出量

(セシウム-137換算) の計算過程

蒸発乾固 対象貯槽等	接種 G r	M A R [B q]	A R F [-]	L P F [-]	沸騰開始 時間 [h]	冷却コイル 等への通水 開始時間 [h]	沸騰継続時間 [h]	D R [-]	放出量 [B q]	セシウム-137 放出算係数 [B q / (B q)]	放出量 [B q]	機器種別放出量 (セシウム-137換算) [TB q]	建屋総放出量 (セシウム-137換算) [TB q]
中間ボットA	Z r/Nb	5.51E+09							0.00E+00	0.00E+00			
中間ボットA	R u/R h	9.46E+10							0.00E+00	1.34E+01	0.00E+00		
中間ボットA	セシウム/B a	2.48E+14							0.00E+00	5.13E+01	0.00E+00		
中間ボットA	C e/P r	1.18E+09							0.00E+00	5.35E+03	0.00E+00		
中間ボットA	S r/Y	2.02E+14							0.00E+00	8.08E+02	0.00E+00		
中間ボットA	その他FP	1.39E+13	5.00E-05	1.00E-07	167.4	45.0	859.8	0.00E+00	0.00E+00	4.87E+01	0.00E+00	0.00E+00	
中間ボットA	P u	2.15E+14							0.00E+00	1.76E+00	0.00E+00		
中間ボットA	A m/C m	1.74E+13							0.00E+00	1.78E+01	0.00E+00		
中間ボットA	U	0.00E+00							0.00E+00	7.35E+00	0.00E+00		
中間ボットA	N p	3.46E+10							0.00E+00	3.41E+01	0.00E+00		
中間ボットB	Z r/Nb	5.51E+09							0.00E+00	2.41E+02	0.00E+00		
中間ボットB	R u/R h	9.46E+10							0.00E+00	1.84E+02	0.00E+00		
中間ボットB	セシウム/B a	2.78E+14							0.00E+00	5.13E+01	0.00E+00		
中間ボットB	C e/P r	6.18E+09							0.00E+00	5.35E+03	0.00E+00		
中間ボットB	S r/Y	2.02E+14							0.00E+00	8.08E+02	0.00E+00		
中間ボットB	その他FP	1.39E+13	5.00E-05	1.00E-07	167.4	45.0	859.8	0.00E+00	0.00E+00	4.87E+01	0.00E+00	0.00E+00	
中間ボットB	P u	2.15E+14							0.00E+00	1.76E+00	0.00E+00		
中間ボットB	A m/C m	1.74E+13							0.00E+00	1.78E+01	0.00E+00		
中間ボットB	U	0.00E+00							0.00E+00	7.35E+00	0.00E+00		
中間ボットB	N p	3.46E+10							0.00E+00	3.41E+01	0.00E+00		
中間ボットB	Z r/Nb	5.51E+09							0.00E+00	2.41E+02	0.00E+00		
中間ボットB	R u/R h	9.46E+10							0.00E+00	1.84E+02	0.00E+00		
中間ボットB	セシウム/B a	2.78E+14							0.00E+00	5.13E+01	0.00E+00		
中間ボットB	C e/P r	6.18E+09							0.00E+00	5.35E+03	0.00E+00		
中間ボットB	S r/Y	2.02E+14							0.00E+00	8.08E+02	0.00E+00		
中間ボットB	その他FP	1.39E+13	5.00E-05	1.00E-07	167.4	45.0	859.8	0.00E+00	0.00E+00	4.87E+01	0.00E+00	0.00E+00	
中間ボットB	P u	2.15E+14							0.00E+00	1.76E+00	0.00E+00		
中間ボットB	A m/C m	1.74E+13							0.00E+00	1.78E+01	0.00E+00		
中間ボットB	U	0.00E+00							0.00E+00	7.35E+00	0.00E+00		
中間ボットB	N p	3.46E+10							0.00E+00	3.41E+01	0.00E+00		
中間ボットB	Z r/Nb	2.97E+11							0.00E+00	2.41E+02	0.00E+00		
中間ボットB	R u/R h	5.09E+12							0.00E+00	1.84E+02	0.00E+00		
中間ボットB	セシウム/B a	1.50E+16							0.00E+00	5.13E+01	0.00E+00		
中間ボットB	C e/P r	3.40E+11							0.00E+00	5.35E+02	0.00E+00		
中間ボットB	S r/Y	1.09E+16							0.00E+00	8.08E+01	0.00E+00		
中間ボットB	その他FP	7.50E+13	5.00E-05	1.00E-07	159.5	46.3	860.9	0.00E+00	0.00E+00	4.87E+01	0.00E+00	0.00E+00	
中間ボットB	P u	1.16E+16							0.00E+00	1.76E+00	0.00E+00		
中間ボットB	A m/C m	9.38E+14							0.00E+00	1.78E+01	0.00E+00		
中間ボットB	U	9.00E+00							0.00E+00	7.35E+00	0.00E+00		
中間ボットB	N p	1.86E+12							0.00E+00	3.41E+01	0.00E+00		
中間ボットB	Z r/Nb	2.97E+11							0.00E+00	2.41E+02	0.00E+00		
中間ボットB	R u/R h	5.09E+12							0.00E+00	1.84E+02	0.00E+00		
中間ボットB	セシウム/B a	1.50E+16							0.00E+00	5.13E+01	0.00E+00		
中間ボットB	C e/P r	3.40E+11							0.00E+00	5.35E+02	0.00E+00		
中間ボットB	S r/Y	1.09E+16							0.00E+00	8.08E+01	0.00E+00		
中間ボットB	その他FP	7.50E+14	5.00E-05	1.00E-07	159.5	46.3	860.9	0.00E+00	0.00E+00	4.87E+01	0.00E+00	0.00E+00	
中間ボットB	P u	1.16E+16							0.00E+00	1.76E+00	0.00E+00		
中間ボットB	A m/C m	9.38E+14							0.00E+00	1.78E+01	0.00E+00		
中間ボットB	U	9.00E+00							0.00E+00	7.35E+00	0.00E+00		
中間ボットB	N p	1.86E+12							0.00E+00	3.41E+01	0.00E+00		
リサイクル槽A	Z r/Nb	2.97E+10							0.00E+00	2.41E+02	0.00E+00		
リサイクル槽A	R u/R h	3.53E+11							0.00E+00	1.84E+02	0.00E+00		
リサイクル槽A	セシウム/B a	1.04E+15							0.00E+00	5.13E+01	0.00E+00		
リサイクル槽A	C e/P r	2.31E+10							0.00E+00	5.35E+03	0.00E+00		
リサイクル槽A	S r/Y	7.54E+14	5.00E-05	1.00E-07	164.2	46.3	923.4	0.00E+00	0.00E+00	8.08E+02	0.00E+00	0.00E+00	
リサイクル槽A	その他FP	5.20E+13							0.00E+00	4.87E+01	0.00E+00		
リサイクル槽A	P u	8.29E+14							0.00E+00	1.76E+00	0.00E+00		
リサイクル槽A	A m/C m	6.71E+13							0.00E+00	1.78E+01	0.00E+00		
リサイクル槽A	U	0.00E+00							0.00E+00	7.35E+00	0.00E+00		
リサイクル槽A	N p	1.33E+11							0.00E+00	3.41E+01	0.00E+00		
リサイクル槽B	Z r/Nb	2.06E+10							0.00E+00	2.41E+02	0.00E+00		
リサイクル槽B	R u/R h	3.53E+11							0.00E+00	1.84E+02	0.00E+00		
リサイクル槽B	セシウム/B a	1.04E+15							0.00E+00	5.13E+01	0.00E+00		
リサイクル槽B	C e/P r	2.31E+10							0.00E+00	5.35E+03	0.00E+00		
リサイクル槽B	S r/Y	7.54E+14	5.00E-05	1.00E-07	164.2	46.3	923.4	0.00E+00	0.00E+00	8.08E+02	0.00E+00	0.00E+00	
リサイクル槽B	その他FP	5.20E+13							0.00E+00	4.87E+01	0.00E+00		
リサイクル槽B	P u	8.29E+14							0.00E+00	1.76E+00	0.00E+00		
リサイクル槽B	A m/C m	6.71E+13							0.00E+00	1.78E+01	0.00E+00		
リサイクル槽B	U	0.00E+00							0.00E+00	7.35E+00	0.00E+00		
リサイクル槽B	N p	6.55E+12							0.00E+00	3.41E+01	0.00E+00		
計量用中間貯槽A	Z r/Nb	1.05E+12							0.00E+00	2.41E+02	0.00E+00		
計量用中間貯槽A	R u/R h	1.34E+13							0.00E+00	1.84E+02	0.00E+00		
計量用中間貯槽A	セシウム/B a	5.27E+16							0.00E+00	5.13E+01	0.00E+00		
計量用中間貯槽A	C e/P r	1.17E+12							0.00E+00	5.35E+03	0.00E+00		
計量用中間貯槽A	S r/Y	3.83E+16	5.00E-05	1.00E-07	148.3	45.0	860.7	0.00E+00	0.00E+00	8.08E+02	0.00E+00	0.00E+00	
計量用中間貯槽A	その他FP	2.59E+15							0.00E+00	4.87E+01	0.00E+00		
計量用中間貯槽A	P u	4.07E+16							0.00E+00	1.76E+00	0.00E+00		
計量用中間貯槽A	A m/C m	3.30E+15							0.00E+00	1.78E+01	0.00E+00		
計量用中間貯槽A	U	0.00E+00							0.00E+00	7.35E+00	0.00E+00		
計量用中間貯槽A	N p	6.55E+12							0.00E+00	3.41E+01	0.00E+00		
計量用中間貯槽B	Z r/Nb	1.05E+12							0.00E+00	2.41E+02	0.00E+00		
計量用中間貯槽B	R u/R h	1.34E+13							0.00E+00	1.84E+02	0.00E+00		
計量用中間貯槽B	セシウム/B a	5.27E+16							0.00E+00	5.13E+01	0.00E+00		
計量用中間貯槽B	C e/P r	1.17E+12							0.00E+00	5.35E+03	0.00E+00		
計量用中間貯槽B	S r/Y	3.83E+16	5.00E-05	1.00E-07	148.3	45.0	860.7	0.00E+00	0.00E+00	8.08E+02	0.00E+00	0.00E+00	
計量用中間貯槽B	その他FP	2.59E+15							0.00E+00	4.87E+01	0.00E+00		
計量用中間貯槽B	P u	4.07E+16							0.00E+00	1.76E+00	0.00E+00		
計量用中間貯槽B	A m/C m	3.30E+15							0.00E+00	1.78E+01	0.00E+00		
計量用中間貯槽B	U	0.00E+00							0.00E+00	7.35E+00	0.00E+00		
計量用中間貯槽B	N p	6.55E+12							0.00E				

第1.-6表 分離建屋における事態の収束までの放出量

(セシウム-137換算) の計算過程

蒸気乾固 対象貯蔵等	種類 G r	M A F [B q]	A R F [-]	L P F [-]	沸騰開始 時間 [h]	冷却コル 等への過 水開始時	沸騰継続時間 [h]	D R [-]	放出量 [B q]	①	②	③=①×②	④=Σ③	⑤=Σ④
										放出量 [B q/B q]	沸騰係数 (セシウム-137換算) [T B q]	換算放出量 (セシウム-137換算) [T B q]	換算放出量 (セシウム-137換算) [T B q]	
高レベル廃液貯蔵槽	$Z_{x/N}b$	8.63E+12							4.87E+00	2.41E-02	1.16E-01			
高レベル廃液貯蔵槽	$R_{u/R}b$	5.55E+14							6.63E+01	1.84E-02	1.59E+00			
高レベル廃液貯蔵槽	$C_{x/P}b$	4.69E+17							5.71E+02	5.13E-01	3.2E+05			
高レベル廃液貯蔵槽	$S_{x/V}$	9.03E+15							4.44E+02	5.13E-01	2.2E+05			
高レベル廃液貯蔵槽	$S_{x/F}P$	3.03E+16	5.00E-05	1.00E-07	15.1	25.9	97.0	1.12E-01	1.77E+03	8.68E-02	1.43E+04	4.31E-07		
高レベル廃液貯蔵槽	P_{u}	8.61E+14							1.69E+01	4.87E-01	8.22E+03			
高レベル廃液貯蔵槽	$A_{u/C}m$	8.60E+00							4.80E+00	1.76E+00	8.43E+02			
高レベル廃液貯蔵槽	P_{u}	6.00E+00							1.69E+00	4.87E-01	6.00E+00			
高レベル廃液貯蔵槽	N_p	6.00E+00							6.00E+00	3.41E-01	6.00E+00			
高濃度中間貯蔵槽	$Z_{x/N}b$	1.03E+12							6.00E+00	2.41E-02	6.00E+00			
高濃度中間貯蔵槽	$R_{u/R}b$	1.03E+12							6.00E+00	1.84E-02	6.00E+00			
高濃度中間貯蔵槽	$C_{x/P}b$	5.27E+16							6.00E+00	5.13E-01	6.00E+00			
高濃度中間貯蔵槽	$S_{x/V}$	1.17E+12							6.00E+00	5.35E-03	6.00E+00			
高濃度中間貯蔵槽	$S_{x/F}P$	3.52E+16	5.00E-05	1.00E-07	186.4	65.8	1122.7	0.00E+00	6.00E+00	8.68E-02	6.00E+00	0.00E+00		
高濃度中間貯蔵槽	P_{u}	8.61E+14							6.00E+00	1.76E+00	6.00E+00			
高濃度中間貯蔵槽	$A_{u/C}m$	6.00E+00							6.00E+00	3.41E-01	6.00E+00			
高濃度中間貯蔵槽	P_{u}	6.00E+00							6.00E+00	7.35E+00	6.00E+00			
高濃度中間貯蔵槽	N_p	6.00E+00							6.00E+00	3.41E-01	6.00E+00			
溶解供給槽	$Z_{x/N}b$	2.87E+11							6.00E+00	2.41E-02	6.00E+00			
溶解供給槽	$R_{u/R}b$	3.22E+12							6.00E+00	1.84E-02	6.00E+00			
溶解供給槽	$C_{x/P}b$	1.27E+16							6.00E+00	5.13E-01	6.00E+00			
溶解供給槽	$S_{x/V}$	2.32E+15	5.00E-05	1.00E-07	189.0	65.8	1122.7	0.00E+00	6.00E+00	8.68E-02	6.00E+00	0.00E+00		
溶解供給槽	$S_{x/F}P$	6.17E+14							6.00E+00	4.87E-01	6.00E+00			
溶解供給槽	P_{u}	9.27E+15							6.00E+00	1.76E+00	6.00E+00			
溶解供給槽	$A_{u/C}m$	6.00E+00							6.00E+00	1.78E+01	6.00E+00			
溶解供給槽	P_{u}	6.00E+00							6.00E+00	7.35E+00	6.00E+00			
溶解供給槽	N_p	1.57E+12							6.00E+00	3.41E-01	6.00E+00			
抽出液受容槽	$Z_{x/N}b$	1.59E+12							6.00E+00	2.41E-02	6.00E+00			
抽出液受容槽	$R_{u/R}b$	2.03E+12							6.00E+00	1.84E-02	6.00E+00			
抽出液受容槽	$C_{x/P}b$	5.03E+16							6.00E+00	5.13E-01	6.00E+00			
抽出液受容槽	$S_{x/V}$	9.22E+15	5.00E-05	1.00E-07	258.0	65.8	1959.8	0.00E+00	6.00E+00	8.68E-02	6.00E+00	0.00E+00		
抽出液受容槽	$S_{x/F}P$	4.48E+15							6.00E+00	4.87E-01	6.00E+00			
抽出液受容槽	P_{u}	9.27E+15							6.00E+00	1.76E+00	6.00E+00			
抽出液受容槽	$A_{u/C}m$	1.42E+15							6.00E+00	1.78E+01	6.00E+00			
抽出液受容槽	P_{u}	6.22E+12							6.00E+00	4.47E-01	6.00E+00			
抽出液受容槽	N_p	6.27E+11							6.00E+00	3.41E-01	6.00E+00			
抽出液受容槽	$Z_{x/N}b$	6.00E+11							6.00E+00	2.41E-02	6.00E+00			
抽出液受容槽	$R_{u/R}b$	7.10E+12							6.00E+00	1.84E-02	6.00E+00			
抽出液受容槽	$C_{x/P}b$	3.69E+16							6.00E+00	5.13E-01	6.00E+00			
抽出液受容槽	$S_{x/V}$	1.30E+16	5.00E-05	1.00E-07	257.1	65.8	1955.0	0.00E+00	6.00E+00	8.68E-02	6.00E+00	0.00E+00		
抽出液受容槽	$S_{x/F}P$	4.48E+15							6.00E+00	4.87E-01	6.00E+00			
抽出液受容槽	P_{u}	6.22E+12							6.00E+00	1.76E+00	6.00E+00			
抽出液受容槽	$A_{u/C}m$	6.00E+00							6.00E+00	1.78E+01	6.00E+00			
抽出液受容槽	P_{u}	6.00E+00							6.00E+00	3.41E-01	6.00E+00			
抽出液受容槽	N_p	6.27E+11							6.00E+00	3.41E-01	6.00E+00			
抽出液供給槽	$Z_{x/N}b$	2.09E+12							6.00E+00	2.41E-02	6.00E+00			
抽出液供給槽	$R_{u/R}b$	2.08E+12							6.00E+00	1.84E-02	6.00E+00			
抽出液供給槽	$C_{x/P}b$	6.18E+16							6.00E+00	5.13E-01	6.00E+00			
抽出液供給槽	$S_{x/V}$	1.31E+17	5.00E-05	1.00E-07	258.3	65.8	1972.0	0.00E+00	6.00E+00	8.68E-02	6.00E+00	0.00E+00		
抽出液供給槽	$S_{x/F}P$	4.09E+16							6.00E+00	4.87E-01	6.00E+00			
抽出液供給槽	P_{u}	7.25E+14							6.00E+00	1.76E+00	6.00E+00			
抽出液供給槽	$A_{u/C}m$	8.00E+00							6.00E+00	1.78E+01	6.00E+00			
抽出液供給槽	P_{u}	6.00E+00							6.00E+00	7.35E+00	6.00E+00			
抽出液供給槽	N_p	3.41E+11							6.00E+00	3.41E-01	6.00E+00			
第一-1 時行的処理槽	$Z_{x/N}b$	2.41E+12							6.00E+00	2.41E-02	6.00E+00			
第一-1 時行的処理槽	$R_{u/R}b$	2.03E+13							6.00E+00	1.84E-02	6.00E+00			
第一-1 時行的処理槽	$C_{x/P}b$	5.13E+16							6.00E+00	5.13E-01	6.00E+00			
第一-1 時行的処理槽	$S_{x/V}$	9.22E+15	5.00E-05	1.00E-07	314.3	65.8	1972.0	0.00E+00	6.00E+00	8.68E-02	6.00E+00	0.00E+00		
第一-1 時行的処理槽	$S_{x/F}P$	4.48E+15							6.00E+00	4.87E-01	6.00E+00			
第一-1 時行的処理槽	P_{u}	2.53E+14							6.00E+00	1.76E+00	6.00E+00			
第一-1 時行的処理槽	$A_{u/C}m$	1.90E+14							6.00E+00	1.78E+01	6.00E+00			
第一-1 時行的処理槽	P_{u}	6.00E+00							6.00E+00	3.41E-01	6.00E+00			
第一-1 時行的処理槽	N_p	1.60E+11							6.00E+00	3.41E-01	6.00E+00			
第一-7 時行的処理槽	$Z_{x/N}b$	7.97E+10							6.00E+00	2.41E-02	6.00E+00			
第一-7 時行的処理槽	$R_{u/R}b$	1.02E+12							6.00E+00	1.84E-02	6.00E+00			
第一-7 時行的処理槽	$C_{x/P}b$	4.64E+16							6.00E+00	5.13E-01	6.00E+00			
第一-7 時行的処理槽	$S_{x/V}$	1.31E+17	5.00E-05	1.00E-07	258.8	65.8	1972.0	0.00E+00	6.00E+00	8.68E-02	6.00E+00	0.00E+00		
第一-7 時行的処理槽	$S_{x/F}P$	4.09E+16							6.00E+00	4.87E-01	6.00E+00			
第一-7 時行的処理槽	P_{u}	2.53E+14							6.00E+00	1.76E+00	6.00E+00			
第一-7 時行的処理槽	$A_{u/C}m$	1.90E+14							6.00E+00	1.78E+01	6.00E+00			
第一-7 時行的処理槽	P_{u}	6.00E+00							6.00E+00	7.35E+00	6.00E+00			
第一-7 時行的処理槽	N_p	3.41E+11							6.00E+00	3.41E-01	6.00E+00			
第二-3 時行的処理槽	$Z_{x/N}b$	2.87E+12							6.00E+00	2.41E-02	6.00E+00			
第二-3 時行的処理槽	$R_{u/R}b$	2.03E+12							6.00E+00	1.84E-02	6.00E+00			
第二-3 時行的処理槽	$C_{x/P}b$	6.13E+16							6.00E+00	5.13E-01	6.00E+00			
第二-3 時行的処理槽	$S_{x/V}$	9.22E+15	5.00E-05	1.00E-07	314.4	65.8	1972.0	0.00E+00	6.00E+00	8.68E-02	6.00E+00	0.00E+00		
第二-3 時行的処理槽	$S_{x/F}P$	4.48E+15							6.00E+00	4.87E-01	6.00E+00			
第二-3 時行的処理槽	P_{u}	2.53E+14							6.00E+00	1.76E+00	6.00E+00			
第二-3 時行的処理槽	$A_{u/C}m$	1.90E+14							6.00E+00	1.78E+01	6.00E+00			
第二-3 時行的処理槽	P_{u}	6.00E+00							6.00E+00	7.35E+00	6.00E+00			
第二-3 時行的処理槽	N_p	3.41E+11							6.00E+00	3.41E-01	6.00E+00			
第三-3 時行的処理槽	$Z_{x/N}b$	1.03E+11							6.00E+00	2.41E-02	6.00E+00			
第三-3 時行的処理槽	$R_{u/R}b$	7.30E+12							6.00E+00	1.84E-02	6.00E+00			
第三-3 時行的処理槽	$C_{x/P}b$	2.87E+16							6.00E+00	5.13E-01	6.00E+00			
第三-3 時行的処理槽	$S_{x/V}</math$													

第1.-7表 精製建屋における事態の収束までの放出量

(セシウム-137換算) の計算過程

							①	②	③=①×②	④=Σ③	⑤=Σ④
							セシウム-137 放出量 [B q]	機器総放出量 [B q]	セシウム-137換算 放出量 [T B q]	建屋総放出量 [T B q]	
蒸発乾燥 対象の槽等	核種 G r	M A R [B q]	A R F [-]	L P F [-]	沸騰開始 時間 [h]	合計コイル 等への通水 開始時間 [h]	沸騰継続時間 [h]	D R [-]	セシウム-137 放出量 [B q]	機器総放出量 [B q]	セシウム-137換算 放出量 [T B q]
第1-1時刻貯留処理槽	$Z_{\text{g}}/N_{\text{b}}$	0.00E+00							0.00E+00	2.41E-02	0.00E+00
第1-1時刻貯留処理槽	$R_{\text{g}}/N_{\text{b}}$	7.72E-07							0.00E+00	8.34E-03	0.00E+00
第1-1時刻貯留処理槽	$C_{\text{g}}/N_{\text{b}}$	0.00E+00							0.00E+00	5.13E-01	0.00E+00
第1-1時刻貯留処理槽	$c_{\text{g}}/p_{\text{t}}$	0.00E+00							0.00E+00	5.35E-03	0.00E+00
第1-1時刻貯留処理槽	$S_{\text{g}}/C_{\text{g}}$	0.00E+00							0.00E+00	8.08E-02	0.00E+00
第1-1時刻貯留処理槽	$\phi_{\text{g}}/p_{\text{t}}$	1.00E-01							0.00E+00	1.76E+00	0.00E+00
第1-1時刻貯留処理槽	P_{g}	5.50E+15							0.00E+00	1.75E+01	0.00E+00
第1-1時刻貯留処理槽	$A_{\text{g}}/C_{\text{g}}$	0.00E+00							0.00E+00	7.35E+00	0.00E+00
第1-1時刻貯留処理槽	U	2.52E-07							0.00E+00		
第1-1時刻貯留処理槽	N_{g}	0.00E+00							0.00E+00	3.41E-01	0.00E+00
第1-2時刻貯留処理槽	$Z_{\text{g}}/N_{\text{b}}$	0.00E+00							0.00E+00	2.41E-02	0.00E+00
第1-2時刻貯留処理槽	$R_{\text{g}}/N_{\text{b}}$	5.33E-06							0.00E+00	1.84E-02	0.00E+00
第1-2時刻貯留処理槽	$C_{\text{g}}/N_{\text{b}}$	0.00E+00							0.00E+00	5.13E-01	0.00E+00
第1-2時刻貯留処理槽	$c_{\text{g}}/p_{\text{t}}$	0.00E+00							0.00E+00	5.35E-03	0.00E+00
第1-2時刻貯留処理槽	$S_{\text{g}}/C_{\text{g}}$	0.00E+00							0.00E+00	8.08E-02	0.00E+00
第1-2時刻貯留処理槽	$\phi_{\text{g}}/p_{\text{t}}$	1.00E-01							0.00E+00	1.76E+00	0.00E+00
第1-2時刻貯留処理槽	P_{g}	1.79E+16							0.00E+00	1.75E+01	0.00E+00
第1-2時刻貯留処理槽	$A_{\text{g}}/C_{\text{g}}$	0.00E+00							0.00E+00	7.35E+00	0.00E+00
第1-2時刻貯留処理槽	U	2.33E-07							0.00E+00		
第1-3時刻貯留処理槽	N_{g}	0.00E+00							0.00E+00	3.41E-01	0.00E+00
第1-4時刻貯留処理槽	$Z_{\text{g}}/N_{\text{b}}$	0.00E+00							0.00E+00	2.41E-02	0.00E+00
第1-4時刻貯留処理槽	$R_{\text{g}}/N_{\text{b}}$	2.15E-08							0.00E+00	1.84E-02	0.00E+00
第1-4時刻貯留処理槽	$C_{\text{g}}/N_{\text{b}}$	0.00E+00							0.00E+00	5.13E-01	0.00E+00
第1-4時刻貯留処理槽	$c_{\text{g}}/p_{\text{t}}$	0.00E+00							0.00E+00	5.35E-03	0.00E+00
第1-4時刻貯留処理槽	$S_{\text{g}}/C_{\text{g}}$	0.00E+00							0.00E+00	8.08E-02	0.00E+00
第1-4時刻貯留処理槽	$\phi_{\text{g}}/p_{\text{t}}$	1.00E-01							0.00E+00	1.76E+00	0.00E+00
第1-4時刻貯留処理槽	P_{g}	1.93E+16							0.00E+00	1.75E+01	0.00E+00
第1-4時刻貯留処理槽	$A_{\text{g}}/C_{\text{g}}$	0.00E+00							0.00E+00	7.35E+00	0.00E+00
第1-4時刻貯留処理槽	U	1.08E-07							0.00E+00		
第1-5時刻貯留処理槽	N_{g}	0.00E+00							0.00E+00	3.41E-01	0.00E+00
第1-6時刻貯留処理槽	$Z_{\text{g}}/N_{\text{b}}$	0.00E+00							0.00E+00	2.41E-02	0.00E+00
第1-6時刻貯留処理槽	$R_{\text{g}}/N_{\text{b}}$	0.00E+00							0.00E+00	1.84E-02	0.00E+00
第1-6時刻貯留処理槽	$C_{\text{g}}/N_{\text{b}}$	0.00E+00							0.00E+00	5.13E-01	0.00E+00
第1-6時刻貯留処理槽	$c_{\text{g}}/p_{\text{t}}$	0.00E+00							0.00E+00	5.35E-03	0.00E+00
第1-6時刻貯留処理槽	$S_{\text{g}}/C_{\text{g}}$	0.00E+00							0.00E+00	8.08E-02	0.00E+00
第1-6時刻貯留処理槽	$\phi_{\text{g}}/p_{\text{t}}$	1.00E-01							0.00E+00	1.76E+00	0.00E+00
第1-6時刻貯留処理槽	P_{g}	1.93E+16							0.00E+00	1.75E+01	0.00E+00
第1-6時刻貯留処理槽	$A_{\text{g}}/C_{\text{g}}$	0.00E+00							0.00E+00	7.35E+00	0.00E+00
第1-6時刻貯留処理槽	U	7.34E-06							0.00E+00		
第1-7時刻貯留処理槽	N_{g}	0.00E+00							0.00E+00	3.41E-01	0.00E+00
ブルトニウム濃縮供給槽	$Z_{\text{g}}/N_{\text{b}}$	0.00E+00							0.00E+00	2.41E-02	0.00E+00
ブルトニウム濃縮供給槽	$R_{\text{g}}/N_{\text{b}}$	3.04E-06							0.00E+00	1.84E-02	0.00E+00
ブルトニウム濃縮供給槽	$C_{\text{g}}/N_{\text{b}}$	0.00E+00							0.00E+00	5.13E-01	0.00E+00
ブルトニウム濃縮供給槽	$c_{\text{g}}/p_{\text{t}}$	0.00E+00							0.00E+00	5.35E-03	0.00E+00
ブルトニウム濃縮供給槽	$S_{\text{g}}/C_{\text{g}}$	0.00E+00							0.00E+00	8.08E-02	0.00E+00
ブルトニウム濃縮供給槽	$\phi_{\text{g}}/p_{\text{t}}$	0.00E+00							0.00E+00	8.78E-01	0.00E+00
ブルトニウム濃縮供給槽	P_{g}	4.38E-16							0.00E+00	1.76E+00	0.00E+00
ブルトニウム濃縮供給槽	$A_{\text{g}}/C_{\text{g}}$	0.00E+00							0.00E+00	1.75E+01	0.00E+00
ブルトニウム濃縮供給槽	U	2.45E-07							0.00E+00	7.35E+00	0.00E+00
ブルトニウム濃縮供給槽	N_{g}	0.00E+00							0.00E+00	3.41E-01	0.00E+00
ブルトニウム濃縮成-助貯槽	$Z_{\text{g}}/N_{\text{b}}$	0.00E+00							0.00E+00	2.41E-02	0.00E+00
ブルトニウム濃縮成-助貯槽	$R_{\text{g}}/N_{\text{b}}$	1.01E-07							0.00E+00	1.84E-02	0.00E+00
ブルトニウム濃縮成-助貯槽	$C_{\text{g}}/N_{\text{b}}$	0.00E+00							0.00E+00	5.13E-01	0.00E+00
ブルトニウム濃縮成-助貯槽	$c_{\text{g}}/p_{\text{t}}$	0.00E+00							0.00E+00	5.35E-03	0.00E+00
ブルトニウム濃縮成-助貯槽	$S_{\text{g}}/C_{\text{g}}$	0.00E+00							0.00E+00	8.08E-02	0.00E+00
ブルトニウム濃縮成-助貯槽	$\phi_{\text{g}}/p_{\text{t}}$	0.00E+00							0.00E+00	8.78E-01	0.00E+00
ブルトニウム濃縮成-助貯槽	P_{g}	1.90E-08							0.00E+00	1.76E+00	0.00E+00
ブルトニウム濃縮成-助貯槽	$A_{\text{g}}/C_{\text{g}}$	0.00E+00							0.00E+00	1.75E+01	0.00E+00
ブルトニウム濃縮成-助貯槽	U	4.39E-16							0.00E+00	7.35E+00	0.00E+00
ブルトニウム濃縮成-助貯槽	N_{g}	0.00E+00							0.00E+00	3.41E-01	0.00E+00
ブルトニウム濃縮成-助貯槽	$Z_{\text{g}}/N_{\text{b}}$	0.00E+00							0.00E+00	2.41E-02	0.00E+00
ブルトニウム濃縮成-助貯槽	$R_{\text{g}}/N_{\text{b}}$	1.01E-07							0.00E+00	1.84E-02	0.00E+00
ブルトニウム濃縮成-助貯槽	$C_{\text{g}}/N_{\text{b}}$	0.00E+00							0.00E+00	5.13E-01	0.00E+00
ブルトニウム濃縮成-助貯槽	$c_{\text{g}}/p_{\text{t}}$	0.00E+00							0.00E+00	5.35E-03	0.00E+00
ブルトニウム濃縮成-助貯槽	$S_{\text{g}}/C_{\text{g}}$	0.00E+00							0.00E+00	8.08E-02	0.00E+00
ブルトニウム濃縮成-助貯槽	$\phi_{\text{g}}/p_{\text{t}}$	0.00E+00							0.00E+00	8.78E-01	0.00E+00
ブルトニウム濃縮成-助貯槽	P_{g}	4.38E-16							0.00E+00	1.76E+00	0.00E+00
ブルトニウム濃縮成-助貯槽	$A_{\text{g}}/C_{\text{g}}$	0.00E+00							0.00E+00	1.75E+01	0.00E+00
ブルトニウム濃縮成-助貯槽	U	2.46E-07							0.00E+00		
ブルトニウム濃縮成-助貯槽	N_{g}	0.00E+00							0.00E+00	3.41E-01	0.00E+00
ブルトニウム濃縮成-助貯槽	$Z_{\text{g}}/N_{\text{b}}$	0.00E+00							0.00E+00	2.41E-02	0.00E+00
ブルトニウム濃縮成-助貯槽	$R_{\text{g}}/N_{\text{b}}$	1.02E-07							0.00E+00	1.84E-02	0.00E+00
ブルトニウム濃縮成-助貯槽	$C_{\text{g}}/N_{\text{b}}$	0.00E+00							0.00E+00	5.13E-01	0.00E+00
ブルトニウム濃縮成-助貯槽	$c_{\text{g}}/p_{\text{t}}$	0.00E+00							0.00E+00	5.35E-03	0.00E+00
ブルトニウム濃縮成-助貯槽	$S_{\text{g}}/C_{\text{g}}$	0.00E+00							0.00E+00	8.08E-02	0.00E+00
ブルトニウム濃縮成-助貯槽	$\phi_{\text{g}}/p_{\text{t}}$	1.00E-01							0.00E+00	4.87E-01	0.00E+00
ブルトニウム濃縮成-助貯槽	P_{g}	4.39E-16							0.00E+00	1.76E+00	0.00E+00
ブルトニウム濃縮成-助貯槽	$A_{\text{g}}/C_{\text{g}}$	0.00E+00							0.00E+00	1.75E+01	0.00E+00
ブルトニウム濃縮成-助貯槽	U	2.46E-07							0.00E+00		
ブルトニウム濃縮成-助貯槽	N_{g}	0.00E+00							0.00E+00	3.41E-01	0.00E+00
リサイクル槽	$Z_{\text{g}}/N_{\text{b}}$	0.00E+00							0.00E+00	2.41E-02	0.00E+00
リサイクル槽	$R_{\text{g}}/N_{\text{b}}$	3.56E-07							6.88E-05	1.84E-02	1.27E-06
リサイクル槽	$C_{\text{g}}/N_{\text{b}}$	0.00E+00							0.00E+00	5.13E-01	0.00E+00
リサイクル槽	$c_{\text{g}}/p_{\text{t}}$	0.00E+00							0.00E+00	5.35E-03	0.00E+00
リサイクル槽	$S_{\text{g}}/C_{\text{g}}$	0.00E+00							0.00E+00	8.08E-02	0.00E+00
リサイクル槽	$\phi_{\text{g}}/p_{\text{t}}$	0.00E+00							0.00E+00	4.87E-01	0.00E+00
リサイクル槽	P_{g}	1.53E+17							2.99E+05	1.76E+00	5.20E+05
リサイクル槽	$A_{\text{g}}/C_{\text{g}}$	0.00E+00							0.00E+00	1.75E+01	0.00E+00
リサイクル槽	U	8.56E-07							0.00E+00	3.41E-01	0.00E+00
リサイクル槽	N_{g}	0.00E+00									

第1.－8表 ウラン・プルトニウム混合脱硝建屋における事態の収束

までの放出量（セシウム-137換算）の計算過程

蒸発乾固 対象貯槽等	核種 G r	M A R [B q]	A R F [-]	L P F [-]	沸騰開始 時間 [h]	冷却コイル 等への通水 開始時間 [h]	D R [-]	放出量 [B q]	セシウム-137 換算係数 [B q / B q]	放出量 （セシウム-137換算） [B q]	機器総放出量 （セシウム-137換算） [T B q]	建屋総放出量 （セシウム-137換算） [T B q]
硝酸アルミニウム貯槽	Z r /Nb	0.00E+00						0.00E+00	2.41E-02	0.00E+00		
硝酸アルミニウム貯槽	R u /Rh	2.08E+06						1.14E-06	1.84E-02	3.02E-08		
硝酸アルミニウム貯槽	C s /Ba	4.04E+08						3.18E-04	5.13E-01	1.63E-04		
硝酸アルミニウム貯槽	C e /P r	8.47E+04						6.67E-08	5.35E-03	3.57E-10		
硝酸アルミニウム貯槽	S r /Y	4.92E+08						3.87E-04	8.08E-02	3.13E-05		
硝酸アルミニウム貯槽	水のH F P	6.36E+09	5.00E-05	1.00E-07	19.1	26.3	46.0	5.01E-01	4.87E-01	2.44E-03	2.18E-07	
硝酸アルミニウム貯槽	P u	1.56E+17						1.23E+05	1.76E+00	2.16E+05		
硝酸アルミニウム貯槽	A m /C m	1.34E+13						1.20E+05	1.73E+01	2.13E+06		
硝酸アルミニウム貯槽	U	8.72E+07						1.04E+05	7.35E+00	5.63E-04		
硝酸アルミニウム貯槽	N p	0.00E+00						0.00E+00	3.41E-01	0.00E+00		
混合槽 A	Z r /Nb	0.00E+00						0.00E+00	2.41E-02	0.00E+00		
混合槽 A	R u /Rh	1.29E+06						0.00E+00	1.84E-02	0.00E+00		
混合槽 A	C s /Ba	2.50E+08						0.00E+00	5.13E-01	0.00E+00		
混合槽 A	C e /P r	5.25E+04						0.00E+00	5.35E-03	0.00E+00		
混合槽 A	S r /Y	3.04E+08						0.00E+00	8.08E-02	0.00E+00	0.00E+00	
混合槽 A	水のH F P	3.93E+09	5.00E-05	1.00E-07	30.9	26.3	85.4	0.00E+00	4.87E-01	0.00E+00	0.00E+00	2.18E-07
混合槽 A	P u	9.34E+07						0.00E+00	1.76E+00	0.00E+00		
混合槽 A	A m /C m	9.34E+13						0.00E+00	1.73E+01	0.00E+00		
混合槽 A	U	2.58E+10						0.00E+00	7.35E+00	0.00E+00		
混合槽 A	N p	4.35E+08						0.00E+00	3.41E-01	0.00E+00		
混合槽 B	Z r /Nb	0.00E+00						0.00E+00	2.41E-02	0.00E+00		
混合槽 B	R u /Rh	1.29E+06						0.00E+00	1.84E-02	0.00E+00		
混合槽 B	C s /Ba	2.50E+08						0.00E+00	5.13E-01	0.00E+00		
混合槽 B	C e /P r	5.25E+04						0.00E+00	5.35E-03	0.00E+00		
混合槽 B	S r /Y	3.04E+08						0.00E+00	8.08E-02	0.00E+00	0.00E+00	
混合槽 B	水のH F P	3.93E+09	5.00E-05	1.00E-07	30.9	26.3	85.4	0.00E+00	4.87E-01	0.00E+00	0.00E+00	
混合槽 B	P u	9.34E+16						0.00E+00	1.76E+00	0.00E+00		
混合槽 B	A m /C m	9.34E+13						0.00E+00	1.73E+01	0.00E+00		
混合槽 B	U	2.58E+10						0.00E+00	7.35E+00	0.00E+00		
混合槽 B	N p	4.35E+08						0.00E+00	3.41E-01	0.00E+00		

$$\text{※ L P F} = 1 / \text{D F}$$

第1.-9表 高レベル廃液ガラス固化建屋における事態の収束までの

放出量(セシウム-137換算)の計算過程

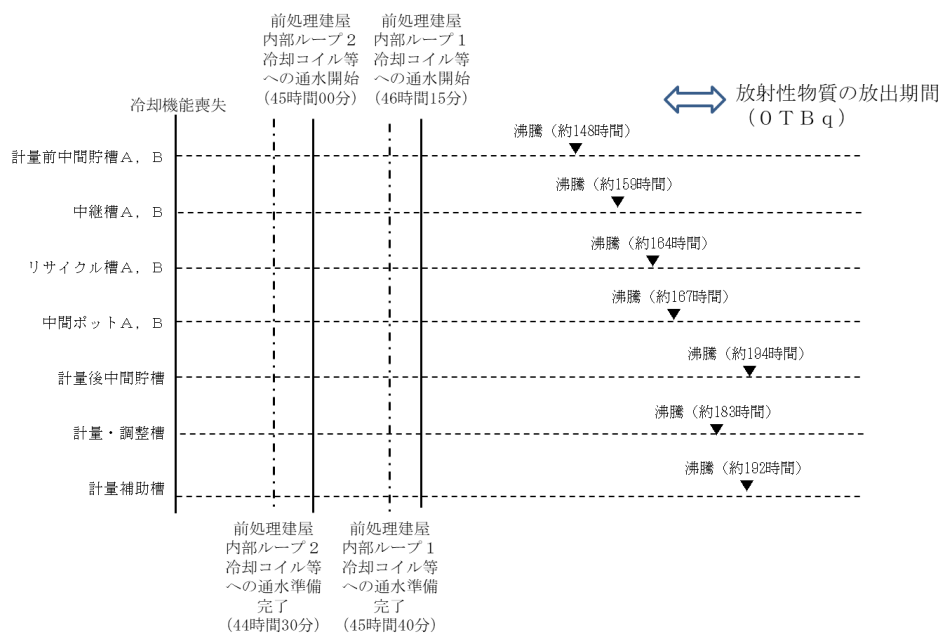
蒸発乾固 対象貯槽	種類G r	M A R	A R F	L P F	沸騰開始 時間 [h]	冷却コイル 等への通水 開始時間 [h]	沸騰継続時間 [h]	D R	放出量 [B q / B q]	セシウム-137 換算係数 [B q / B q]	④=Σ③	⑤=Σ④
第1高レベル濃縮廃液貯槽	Z r/Nb	4.70E+13							1.38E+01	2.41E-02	3.09E-01	
第1高レベル濃縮廃液貯槽	R u/R h	8.44E+14							2.31E+02	1.84E-02	4.23E+00	
第1高レベル濃縮廃液貯槽	C s/B a	2.50E+18							6.83E+05	5.13E-01	3.50E+05	
第1高レベル濃縮廃液貯槽	C e/P r	5.30E+13							1.45E+01	5.35E-03	7.75E+02	
第1高レベル濃縮廃液貯槽	S r/V	1.73E+18							4.72E+05	8.08E-02	3.81E+04	
第1高レベル濃縮廃液貯槽 その他のP		4.70E+13	5.00E-05	1.00E-07	24.6	34.6	183.0	5.47E-02	4.64E+04	4.87E-01	2.26E+04	
第1高レベル濃縮廃液貯槽	P u	4.70E+13							4.72E+05	1.84E-02	2.25E+03	
第1高レベル濃縮廃液貯槽	A m/C m	1.51E+17							4.72E+04	1.78E+01	7.35E+05	
第1高レベル濃縮廃液貯槽	U	4.86E+10							1.33E+02	7.35E+00	9.77E+02	
第1高レベル濃縮廃液貯槽	N p	3.01E+14							8.23E+01	3.41E-01	2.81E+01	
第2高レベル濃縮廃液貯槽	Z r/Nb	4.70E+13							1.48E+01	2.41E-02	3.56E+01	
第2高レベル濃縮廃液貯槽	R u/R h	8.44E+14							2.65E+02	1.84E-02	4.89E+00	
第2高レベル濃縮廃液貯槽	C s/B a	2.50E+18							7.86E+05	5.13E-01	4.03E+05	
第2高レベル濃縮廃液貯槽	C e/P r	5.30E+13							1.45E+01	5.35E-03	8.91E+02	
第2高レベル濃縮廃液貯槽	S r/V	1.73E+18							4.72E+05	8.08E-02	3.81E+04	
第2高レベル濃縮廃液貯槽 その他のP		4.70E+13	5.00E-05	1.00E-07	24.6	36.1	183.0	6.28E-02	5.45E+04	4.87E-01	2.60E+04	
第2高レベル濃縮廃液貯槽	P u	4.68E+15							1.37E+03	1.76E+00	2.59E+03	1.32E-06
第2高レベル濃縮廃液貯槽	A m/C m	1.51E+17							4.75E+03	1.78E+01	8.45E+05	
第2高レベル濃縮廃液貯槽	U	4.86E+10							1.53E+02	7.35E+00	1.12E+01	
第2高レベル濃縮廃液貯槽	N p	3.01E+14							8.23E+01	3.41E-01	3.23E+01	
第2高レベル濃縮廃液貯槽		3.01E+14							8.23E+01	3.41E-01	3.23E+01	
第1高レベル濃縮廃液貯槽一時貯槽	Z r/Nb	4.70E+12							1.34E+02	2.41E-02	3.14E+02	
第1高レベル濃縮廃液貯槽一時貯槽	R u/R h	1.76E+14							7.80E+01	1.84E-02	1.44E+00	
第1高レベル濃縮廃液貯槽一時貯槽	C s/B a	5.21E+17							2.31E+02	5.13E-01	1.18E+05	
第1高レベル濃縮廃液貯槽一時貯槽	C e/P r	1.10E+13							4.90E+00	5.35E-03	2.62E+02	
第1高レベル濃縮廃液貯槽一時貯槽	S r/V	3.60E+17							1.59E+05	8.08E-02	1.29E+04	
第1高レベル濃縮廃液貯槽一時貯槽 その他のP		3.54E+16	5.00E-05	1.00E-07	23.2	37.6	162.7	8.87E-02	1.57E+04	4.87E-01	7.64E+03	3.88E-07
第1高レベル濃縮廃液貯槽一時貯槽	P u	9.43E+16							4.73E+02	1.76E+00	7.00E+02	
第1高レベル濃縮廃液貯槽一時貯槽	A m/C m	3.15E+16							1.56E+04	1.78E+01	2.49E+05	
第1高レベル濃縮廃液貯槽一時貯槽	U	1.01E+10							4.95E+03	7.35E+00	3.30E+02	
第1高レベル濃縮廃液貯槽一時貯槽	N p	6.27E+13							2.78E+01	3.41E-01	9.49E+00	
第2高レベル濃縮廃液貯槽一時貯槽	Z r/Nb	9.78E+12							4.34E+00	2.41E-02	1.05E+01	
第2高レベル濃縮廃液貯槽一時貯槽	R u/R h	1.76E+14							7.80E+01	1.84E-02	1.44E+00	
第2高レベル濃縮廃液貯槽一時貯槽	C s/B a	5.21E+17							2.31E+02	5.13E-01	1.18E+05	
第2高レベル濃縮廃液貯槽一時貯槽	C e/P r	1.10E+13							4.90E+00	5.35E-03	2.62E+02	
第2高レベル濃縮廃液貯槽一時貯槽	S r/V	3.60E+17							1.59E+05	8.08E-02	1.29E+04	
第2高レベル濃縮廃液貯槽一時貯槽 その他のP		3.54E+16	5.00E-05	1.00E-07	23.2	37.6	162.7	8.87E-02	1.57E+04	4.87E-01	7.64E+03	3.88E-07
第2高レベル濃縮廃液貯槽一時貯槽	P u	9.43E+16							4.73E+02	1.76E+00	7.00E+02	
第2高レベル濃縮廃液貯槽一時貯槽	A m/C m	3.15E+16							1.56E+04	1.78E+01	2.49E+05	
第2高レベル濃縮廃液貯槽一時貯槽	U	1.01E+10							4.95E+03	7.35E+00	3.30E+02	
第2高レベル濃縮廃液貯槽一時貯槽	N p	6.27E+13							2.78E+01	3.41E-01	9.49E+00	
第2高レベル濃縮廃液貯槽一時貯槽		6.27E+13							2.78E+01	3.41E-01	9.49E+00	
第1高レベル濃縮廃液貯槽合併A	Z r/Nb	7.40E+12							6.15E+01	1.84E-02	1.18E+00	
第1高レベル濃縮廃液貯槽合併A	R u/R h	1.41E+14							1.30E+02	5.13E-01	7.94E+04	
第1高レベル濃縮廃液貯槽合併A	C s/B a	4.47E+17							4.92E+00	5.35E-03	2.15E+02	
第1高レベル濃縮廃液貯槽合併A	C e/P r	8.83E+12							1.31E+05	8.08E-02	1.06E+04	
第1高レベル濃縮廃液貯槽合併A	S r/V	2.88E+17							1.29E+05	8.08E-02	1.29E+04	
第1高レベル濃縮廃液貯槽合併A その他のP		2.83E+16	5.00E-05	1.00E-07	23.1	37.9	162.7	9.11E-02	1.29E+04	4.87E-01	6.28E+03	3.19E-07
第1高レベル濃縮廃液貯槽合併A	P u	7.40E+16							2.95E+02	1.76E+00	6.00E+02	
第1高レベル濃縮廃液貯槽合併A	A m/C m	6.50E+16							1.56E+04	1.78E+01	2.64E+05	
第1高レベル濃縮廃液貯槽合併A	U	8.10E+09							3.69E+03	7.35E+00	2.71E+02	
第1高レベル濃縮廃液貯槽合併A	N p	5.02E+13							2.29E+01	3.41E-01	7.80E+00	
第1高レベル濃縮廃液貯槽合併B	Z r/Nb	7.83E+12							3.57E+00	2.41E-02	8.59E+02	
第1高レベル濃縮廃液貯槽合併B	R u/R h	1.41E+14							6.11E+01	1.84E-02	1.18E+00	
第1高レベル濃縮廃液貯槽合併B	C s/B a	4.47E+17							1.30E+02	5.13E-01	9.74E+04	
第1高レベル濃縮廃液貯槽合併B	C e/P r	8.83E+12							4.92E+00	5.35E-03	2.15E+02	
第1高レベル濃縮廃液貯槽合併B	S r/V	2.88E+17							1.31E+05	8.08E-02	1.06E+04	
第1高レベル濃縮廃液貯槽合併B その他のP		2.83E+16	5.00E-05	1.00E-07	23.1	37.9	162.7	9.11E-02	1.29E+04	4.87E-01	6.28E+03	3.19E-07
第1高レベル濃縮廃液貯槽合併B	P u	7.40E+16							4.73E+02	1.76E+00	6.20E+02	
第1高レベル濃縮廃液貯槽合併B	A m/C m	6.50E+16							1.56E+04	1.78E+01	2.49E+05	
第1高レベル濃縮廃液貯槽合併B	U	8.10E+09							3.69E+03	7.35E+00	2.60E+03	
第1高レベル濃縮廃液貯槽合併B	N p	5.02E+13							2.29E+01	3.41E-01	1.78E+00	
第1高レベル濃縮廃液貯槽合併B		5.02E+13							2.29E+01	3.41E-01	1.78E+00	
供給構造A	Z r/Nb	1.41E+13							8.34E+01	2.41E-02	1.96E+02	
供給構造A	R u/R h	3.52E+13							1.40E+01	1.84E-02	2.22E+01	
供給構造A	C s/B a	1.04E+17							4.66E+04	5.13E-03	2.22E+04	
供給構造A	C e/P r	2.21E+12							9.18E+01	5.35E-03	4.91E+03	
供給構造A	S r/V	7.10E+16							2.95E+04	8.08E-02	2.42E+03	
供給構造A その他のP		7.08E+15	5.00E-05	1.00E-07	24.4	37.9	162.7	8.32E-02	2.95E+03	4.87E-01	1.43E+03	7.28E-08
供給構造A	P u	1.95E+16							8.25E+02	1.76E+00	6.20E+02	
供給構造A	A m/C m	6.40E+15							1.51E+04	1.78E+01	4.66E+04	
供給構造A	U	2.03E+09							3.63E+04	7.35E+00	6.20E+03	
供給構造A	N p	1.25E+13							5.22E+00	3.41E-01	1.78E+00	
供給構造B	Z r/Nb	1.96E+12							8.14E+01	2.41E-02	1.96E+02	
供給構造B	R u/R h	4.14E+13							1.46E+01	1.84E-02	2.70E+01	
供給構造B	C s/B a	4.47E+16							4.33E+04	5.13E-03	2.22E+04	
供給構造B	C e/P r	8.83E+11							9.18E+00	5.35E-03	4.91E+03	
供給構造B	S r/V	2.88E+16							2.95E+03	8.08E-02	2.42E+03	
供給構造B その他のP		2.83E+15	5.00E-05	1.00E-07	24.4	37.9	162.7	8.32E-02	2.95E+03	4.87E-01	1.43E+03	7.28E-08
供給構造B	P u	7.81E+14							8.25E+02	1.76E+00	6.20E+02	
供給構造B	A m/C m	6.30E+15							1.51E+04	1.78E+01	4.66E+04	
供給構造B	U	2.03E+09							3.63E+04	7.35E+00	6.20E+03	
供給構造B	N p	1.25E+13							5.22E+00	3.41E-01	1.78E+00	
供給構造A	Z r/Nb	7.83E+11							3.26E+01	2.41E-02	7.86E+00	
供給構造A	R u/R h	1.41E+13							5.86E+00	1.84E-02	1.08E+01	
供給構造A	C s/B a	4.47E+16							1.74E+04	5.13E-03	8.90E+03	
供給構造A	C e/P r	8.83E+11							3.68E+01	5.35E-03	1.97E+03	
供給構造A	S r/V	2.88E+16							1.20E+04	8.08E-02	9.68E+02	
供給構造A その他のP		2.83E+15	5.00E-05	1.00E-07	24.4	37.9	162.7	8.33E-02	3.26E+01	4.87E-01	5.74E+02	2.92E-08
供給構造A	P u	8.10E+08							3.25E+01	1.76E		

第 1. - 10 表 蒸発乾固における事態の収束までの放出量

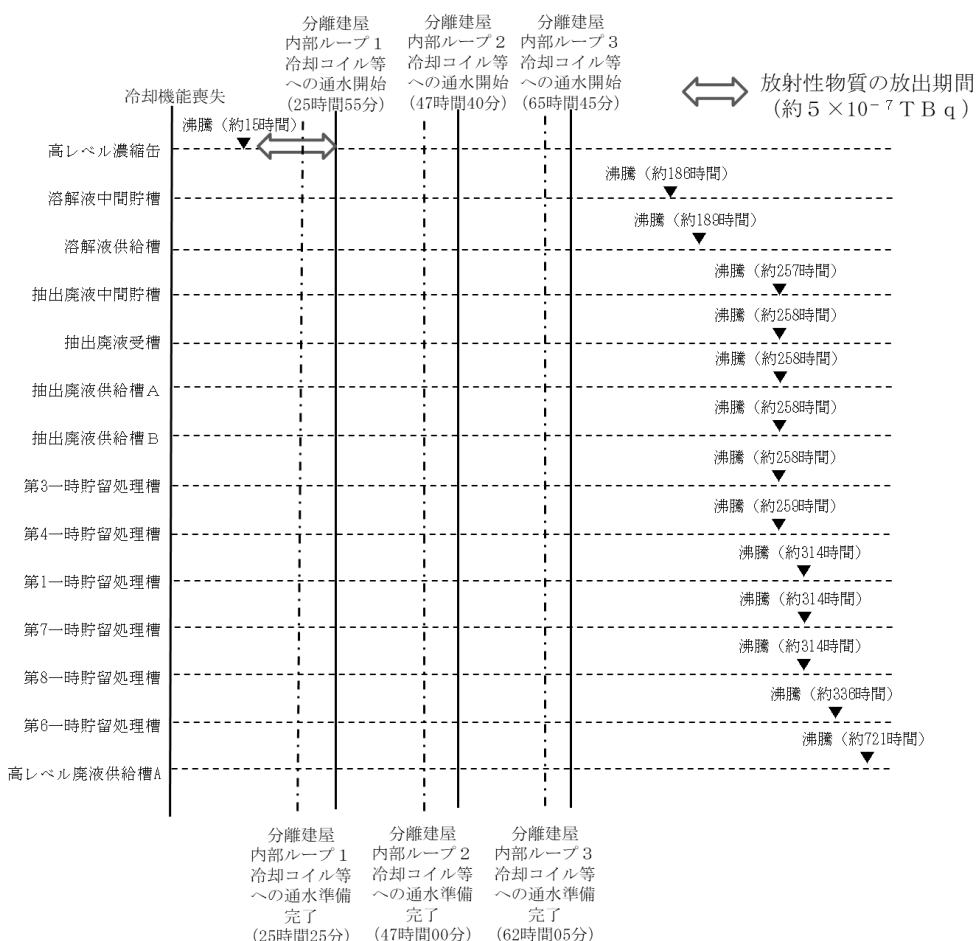
(セシウム-137 換算)

建屋	放出量 (セシウム-137 換 算) [T B q]
前処理建屋	-※
分離建屋	5×10^{-7}
精製建屋	5×10^{-6}
ウラン・プルトニウム 混合脱硝建屋	3×10^{-7}
高レベル廃液 ガラス固化建屋	4×10^{-6}
合計	9×10^{-6}

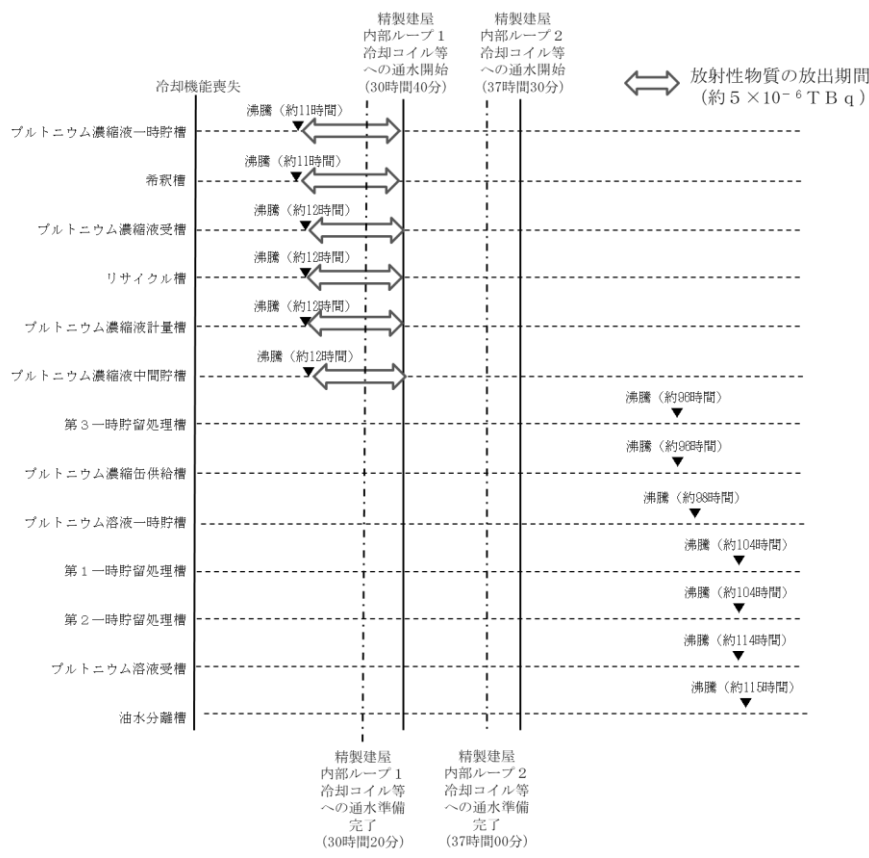
※沸騰前までに全ての貯槽等で冷却コイル等への通水が完了するため、放射性物質の放出はない。



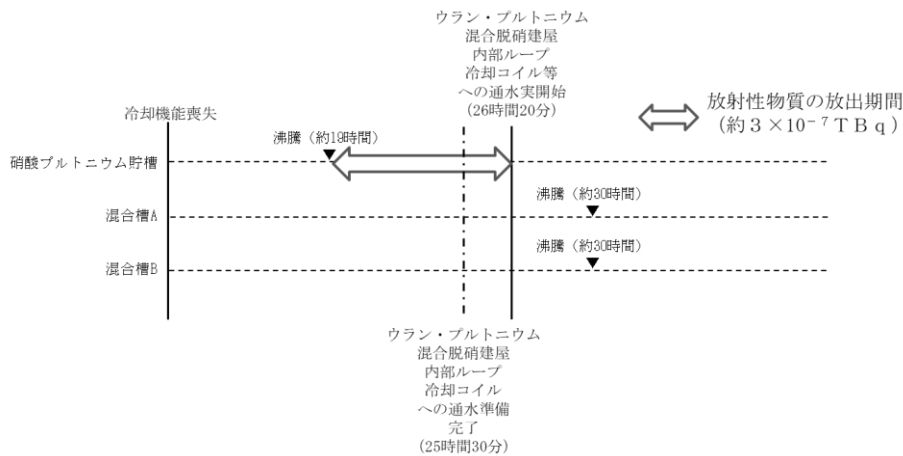
第1.－1図 前処理建屋の放出量評価の前提



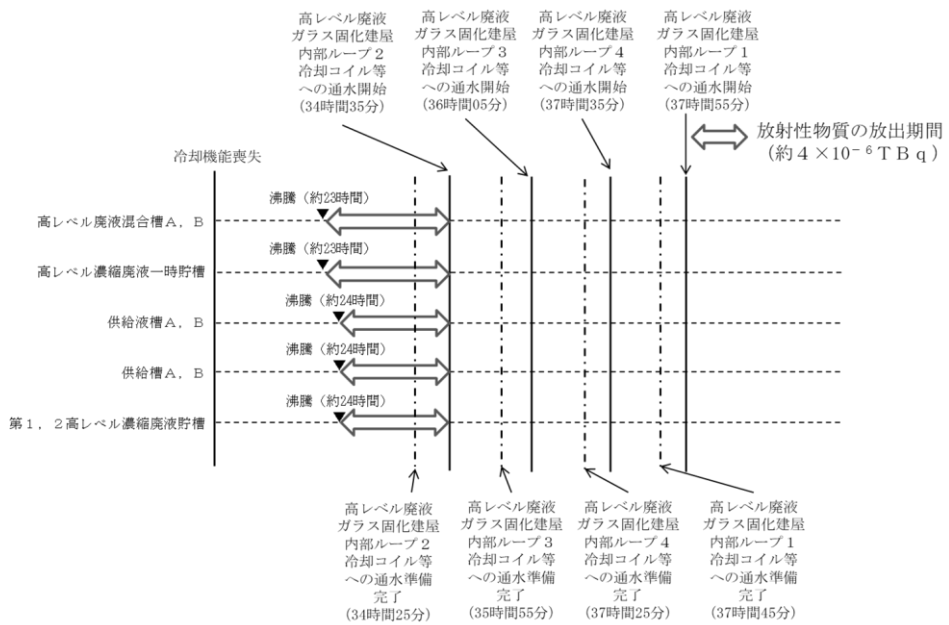
第1.－2図 分離建屋の放出量評価の前提



第 1. - 3 図 精製建屋の放出量評価の前提



第 1. - 4 図 ウラン・プルトニウム混合脱硝建屋の放出量評価の前提



第1. - 5図 高レベル廃液ガラス固化建屋の放出量評価の前提

2. 沸騰状態における飛沫同伴移行割合について⁽¹⁾

2.1 移行割合の定義

冷却機能喪失に伴う崩壊熱による高レベル廃液等の沸騰時の、飛まつ同伴に起因する気相中への放射性物質の移行評価に用いる移行割合 A R F は、貯槽等内の全放射性物質量 [Bq] に対する貯槽等外部に移行した放射性物質量 [Bq] の割合として定義される。

$$\text{移行割合} = \frac{\text{貯槽等外部に移行した放射性物質量 } [Bq]}{\text{貯槽等内の全放射性物質量 } [Bq]}$$

2.2 移行割合の設定について

高レベル廃液等の沸騰に伴い気相中に移行する放射性物質の移行割合は、以下に示す試験の結果から、保守性を見込んだ値として 0.005% とする。

2.2.1 小型試験

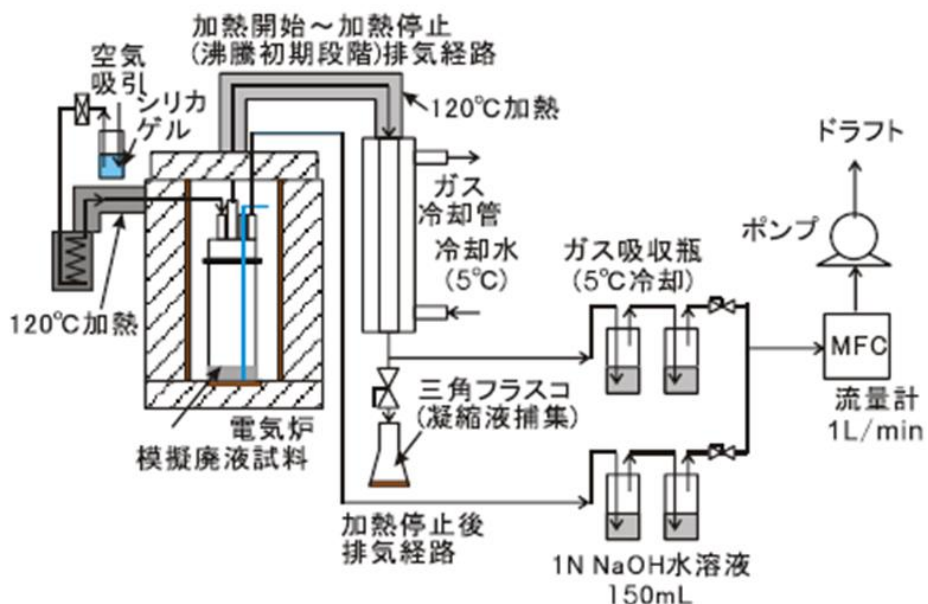
本試験では、蒸気流速を変化させて、溶液が 120°C に至るまでの沸騰状態での飛まつ同伴による気相中への移行量を測定し、蒸気流速が外部移行割合に及ぼす影響を確認している。

電気炉内に設置した高さ約 0.3m、内径約 0.09m のフラスコ内で、模擬高レベル廃液 100mL を所定の流速 (1 ~ 2 cm/s) となるように温度 120°C まで蒸発させ、発生した蒸気により容器外部に運ばれた物質(セシウム、ネオジウム)の量を測定することにより、外部移行割合(容器外部に運ばれた物質量 ÷ 初期存在量)を求めている。

流速は、時間ごとに回収した凝縮液量を元に、容器断面積及

び試料回収時間から算出した。

蒸気流速に対する外部移行割合の測定結果は第 2. - 1 表のとおりであり、流速によらず外部移行割合はほぼ一定の値となつた。



第 2. - 1 図 小型試験の概略図

第 2. - 1 表 小型試験の結果

流速(cm/s) 外部移行割合※

約 1.1	4.3×10^{-5}
約 1.4	3.6×10^{-5}
約 1.6	4.5×10^{-5}
約 1.7	3.5×10^{-5}

2.2.2 工学規模試験

本試験では、高さ約2m、内径約0.2mの円筒容器内で、模擬高レベル廃液400mLを蒸気流速1.1cm/sで蒸発乾固させ、模擬高レベル廃液が140°Cに到達するまでの間に、試料容器以降で捕集された物質の割合を測定している。また、本試験では、ブロアにより流量10L/minで吸引が行われ、吸引に伴い、試験装置内の圧力を一定に保つためN₂ガスが自動的に供給されるため、掃気N₂ガスに起因する放射性物質の移行も含まれる。試験で得られた移行割合を第2.-2表に示す。

ここで、試験結果を実機に適用する場合には、容器の寸法が大きくなるにつれて移行割合に及ぼす壁面の影響が相対的に小さくなることを考慮する必要がある。このため、本試験では、壁面への付着量を極力低減するよう壁面を150°C以上に加熱し、壁面での凝縮による還流及び熱泳動の影響を防止する考慮を払っている。

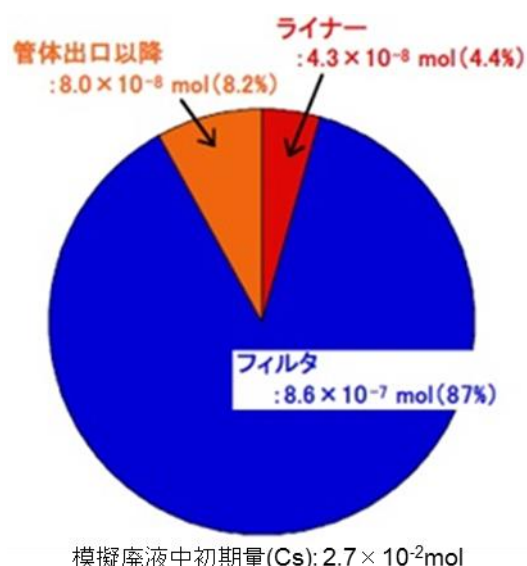
また、内壁（ライナー）に付着した物質量を測定した結果は液面近くでのみ付着が確認され、この付着量は第2.-2図に示すとおり、全回収量の4.4%であった。これは、蒸気と共に容器外部に移行できない粗大粒子が液面近くで跳ね、重力落下で沈降する過程で壁に付着したものと考えられる。

高さ約0.8mの結果は本来移行割合とはならない粗大粒子の結果を含むおそれがあるが保守性を見込んだARFとして採用している。

以上のことから、工学規模試験の結果を用いて実機に適用する移行割合を求めるることは妥当であると考える。

第 2. - 2 表 工学規模試験の結果

高さ	ARF
約 0.8m	3.7×10^{-5}
約 2m	1.7×10^{-5}

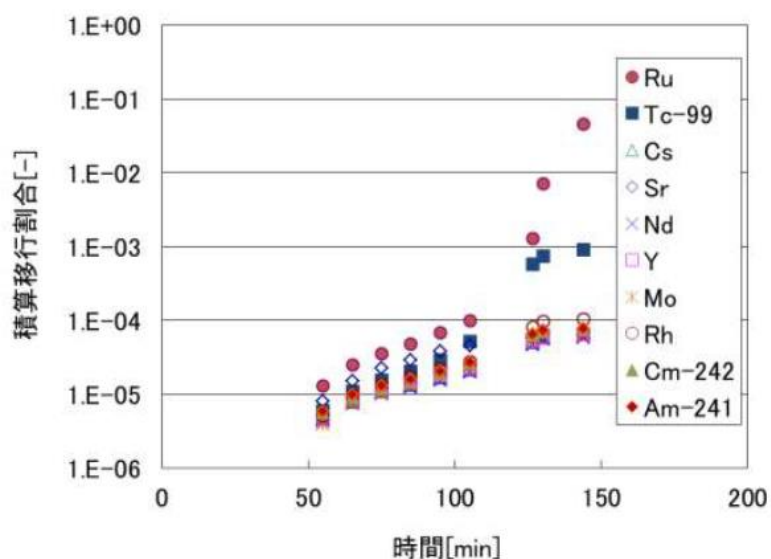


第 2. - 2 図 フィルタの高さを約 0.8 m とした試験の回
収割合

2.3 沸騰初期及び沸騰晚期における移行割合について

有効性評価で使用した移行割合は沸騰から乾燥し固化に至るまでの積算移行率を基に設定している。有効性評価においては、拡大防止対策である貯槽等への注水を継続して実施するため、沸騰初期の状態を維持している。しかし、沸騰初期と晚期で積算移行率に違いがある可能性があり、これに対し、小型 A R F 測定装置を用いて実廃液を 50W で 400°C まで、また、100 W で 300°C まで加熱し、捕集した凝縮液の分析により放射性物質の積算移行割合を測定した。試験結果の一例を第 2. - 3 図に示す。

積算移行割合の経時変化を見ると、難揮発性核種では、沸騰初期及び沸騰晚期における積算移行割合はほぼ一定であり、有意な差がみられないことから、有効性評価で設定した移行割合への影響はないと考えられる。



第 2. - 3 図 凝縮液の I C P - M S 分析結果

(～400°C／100W)

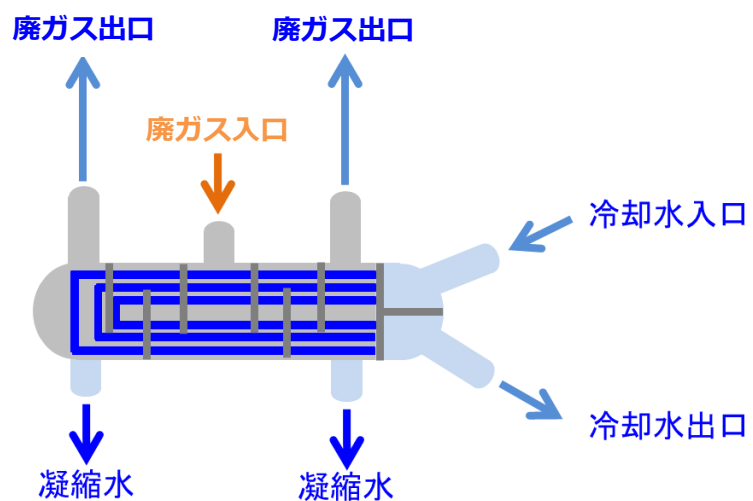
3. 除染係数の設定について

3.1 凝縮器の除染係数の設定について

3.1.1 凝縮器の概要

凝縮器の設計は以下のとおりである。

- ✓ 多管式熱交換器（シェル・アンド・チューブ型）
- ✓ 凝縮器出口排気温度を 50 °C 以下にできる除熱能力を有する。



第 3. - 1 図 凝縮器の概要図

3.1.2 凝縮器の除染係数に係る文献

文献⁽⁵⁾では、高レベル廃液ガラス固化工程における廃ガス処理設備について、各国の設備の公開データを取り纏めており、その結果から廃ガス処理設備の粒子に対する除染係数を記している。

この結果を下表に示す。

本表では、粒子に対する除染係数は、凝縮器で D F 100～1000 を期待できるとしている。

第 3. - 1 表 廃ガス処理設備の粒子に対する除染係数

TABLE 5
TYPICAL DECONTAMINATION FACTORS ACROSS OFF-GAS CLEANUP DEVICES

Component	DF			
	Particulates	Volatileized Ru	NO ₂	NO
Cyclone	10 ^a	1	1	1
Venturi Scrubber	100-600 ^{a,b}	10 ^{a,b}	2	1
Tube and Shell Condenser	10 ² -10 ^{3b}	2x10 ^{2a,b,h}	2	1
NO _x Absorber	10	10	5 ⁱ	1
Brink Fiber Mist Eliminator	10 ²	1	1	1
Packed Spray Tower	10 ³	10 ²	4	1
NO _x Converter	2	3.8x10 ^{2d}	10 ^{2g}	10 ^{2g}
Ruthenium Sorber: Silica Gel	8 ^{a,c}	10 ^{3a,e}	1	1
Fe ₂ O ₃ on Glass	2 ^j	(1 to 5)x10 ²	1	1
Sintered Metal Filter	10 ^{3f}	1	1	1
HEPA Filter	10 ^{3a}	1	1	1

3.2 経路上における放射性エアロゾルの除染係数の設定について

3.2.1 塔槽類廃ガス処理設備の除染係数に係る文献

文献では、除染係数について以下のとおり記している。

- 蒸発乾固の場合、放射性物質は蒸気とともに同伴するミスト（液滴）中に溶存している。
- ミストは気体に比べて質量が大きく、塔槽類廃ガス処理設備の配管の曲がり部等において慣性によりその多くが配管の内壁に衝突する。
- 配管内壁では放熱による蒸気の凝縮により液膜が形成されおり、衝突したミスト中の放射性物質は液膜に吸収される。
- W a l s h , S c h e a による蒸発缶の研究⁽⁶⁾によれば、初期のミスト濃度 $1000 \text{ m g} / \text{m}^3$ に対して、1回の直角衝突を通過した後のミスト濃度は $10 \text{ m g} / \text{m}^3$ 以下となることが報告されている。
- 蒸発乾固による発生するミストの濃度は約 $100 \text{ m g} / \text{m}^3$ であるため、1回の曲がり部における除染係数は最低でも 10 が想定される。
- 実際の塔槽類廃ガス処理設備には、数十箇所の曲がり部があるため、除染係数として 10 以上が期待できる。



第3.-2図 ミストの慣性衝突のイメージ及び
塔槽類廃ガス処理設備の例

3.2.2 セル及び換気系の構造的な特徴での除染係数

セル及び換気系における放射性エアロゾルの除染係数は、MAAPコードを用いて定量化が可能である。第3.-3図にMAAPコードによるモデル化のイメージを示す。

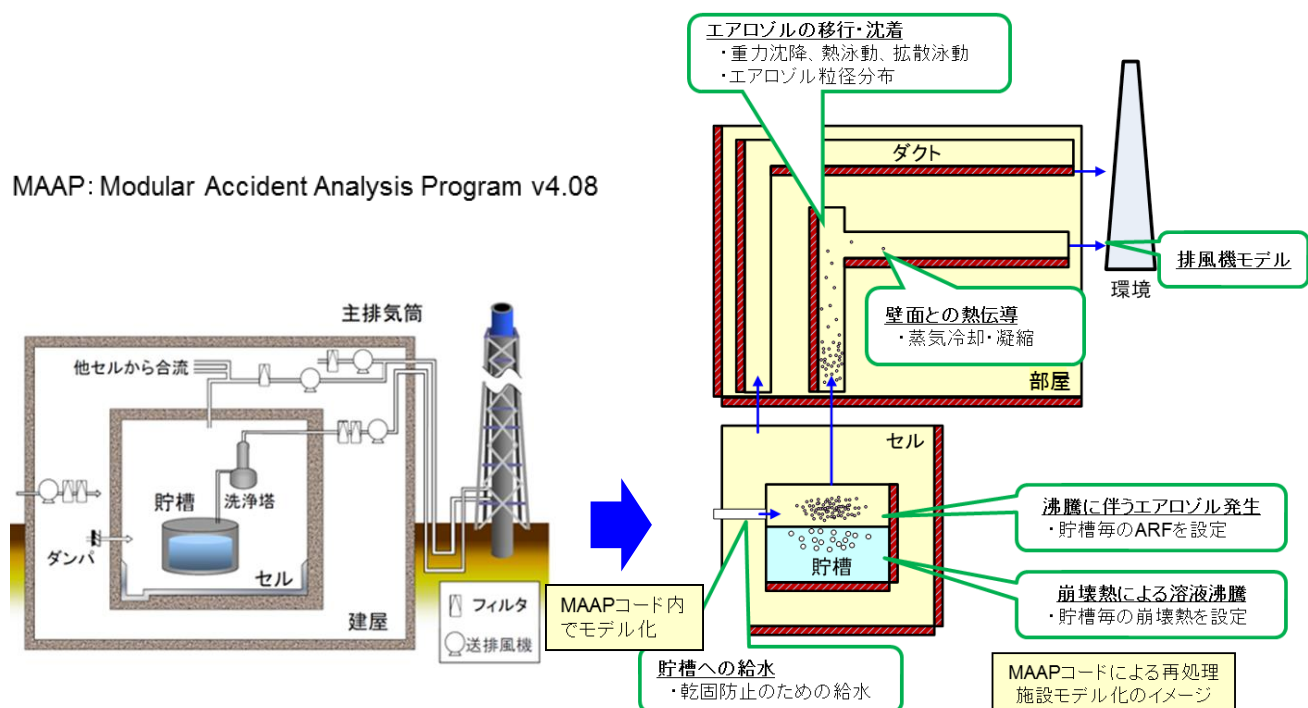
以下に高レベル廃液ガラス固化建屋における評価例を示す。

貯槽等から蒸気・エアロゾルが発生後、配管・ダクト・セルを経由して、大気中への放出に至るまでの移行挙動を計算し、主に以下のパラメータを評価する。

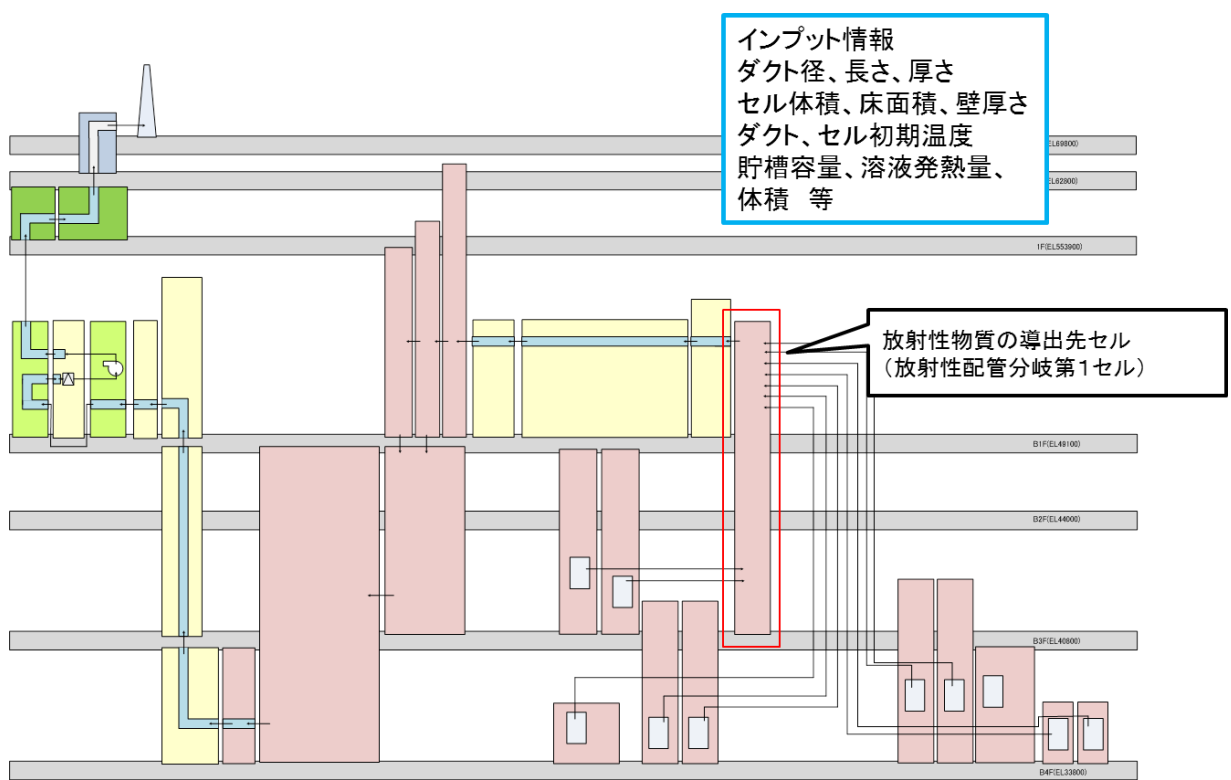
①建屋の除染係数

②建屋内の蒸気凝縮量分布

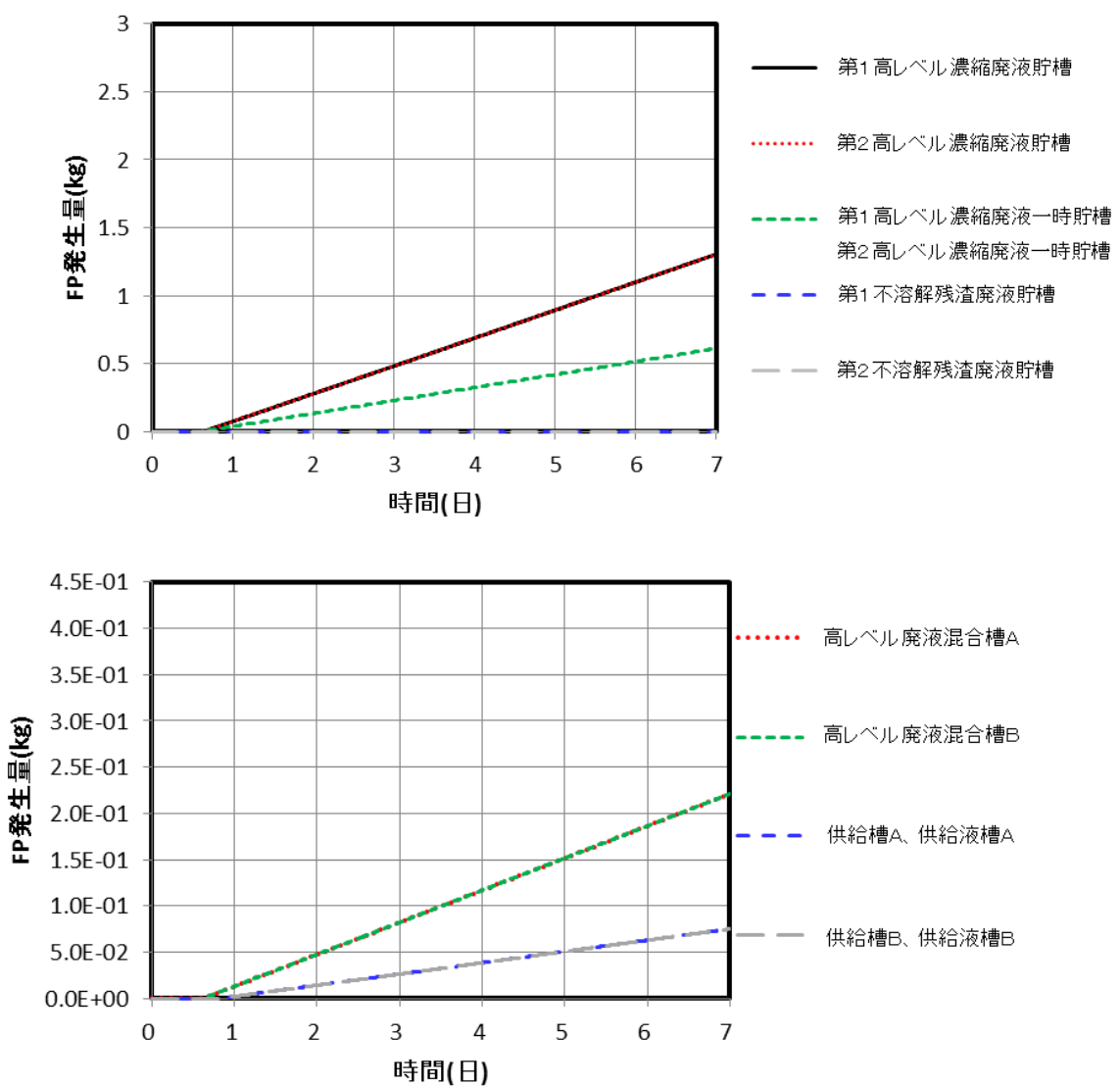
第3.-4図に解析モデル、第3.-5図及び第3.-6図に評価結果を示す。



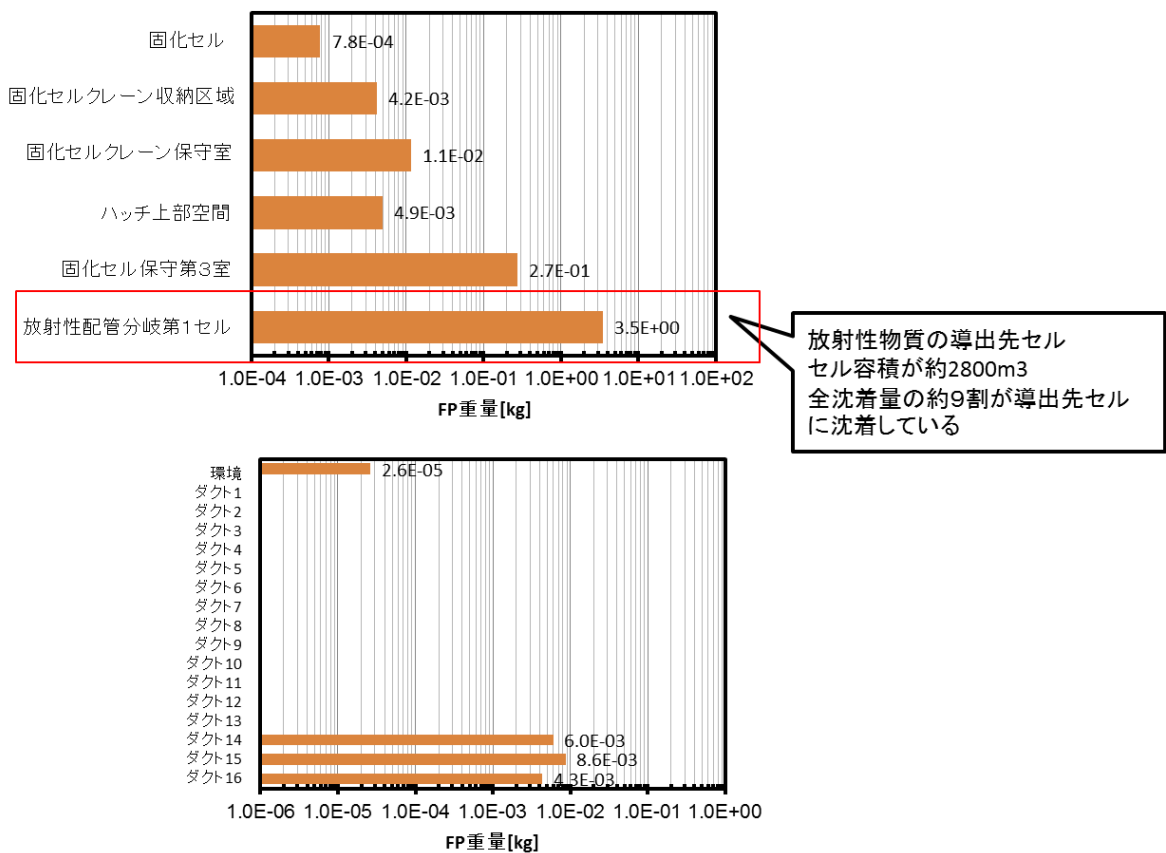
第3.-3図 MAAPコードによるモデル化のイメージ



第3. - 4図 高レベル廃液ガラス固化建屋の解析モデル



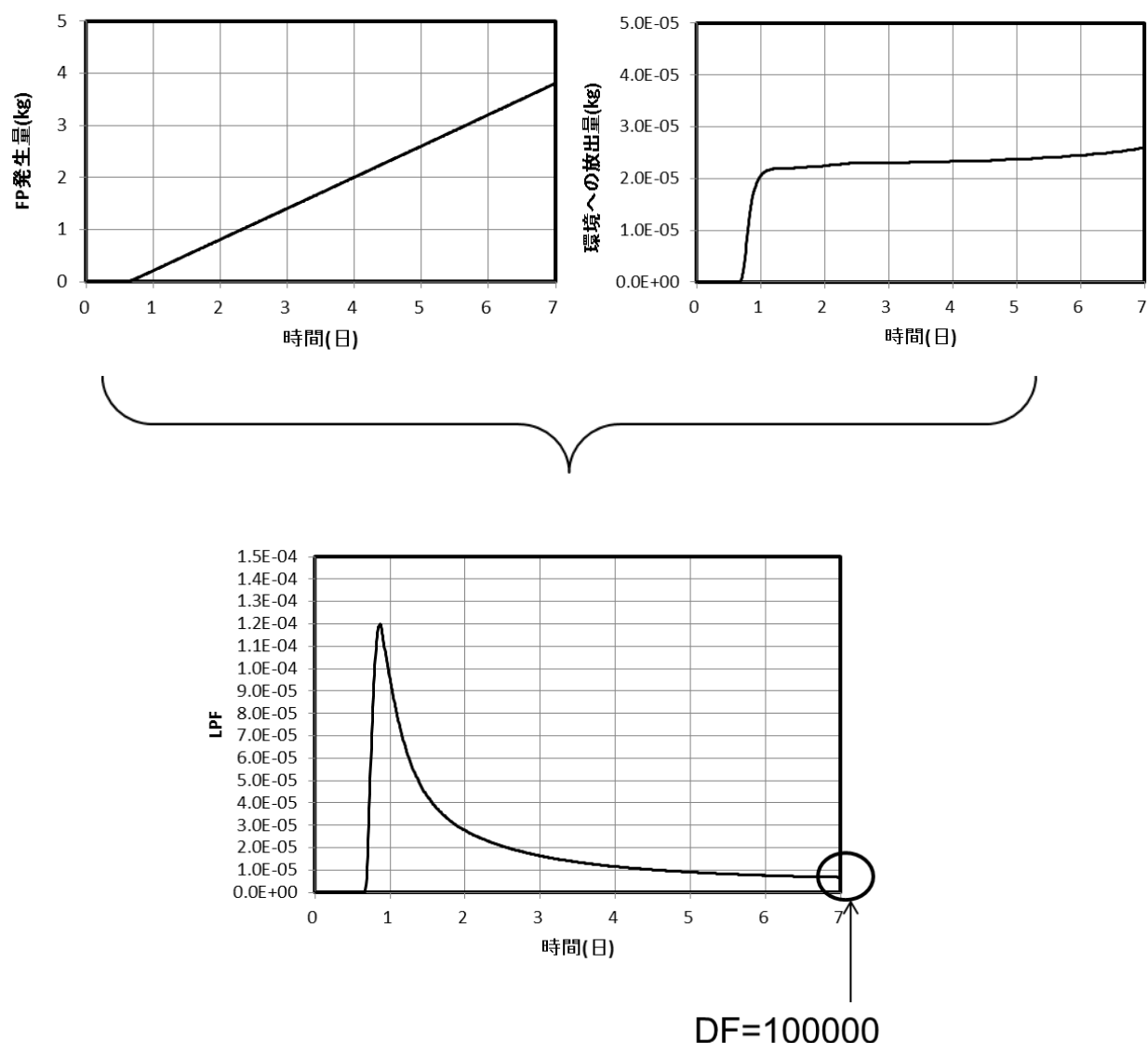
第 3. - 5 図 F P 発生量



第3.－6図 放出経路沈着量

【除染係数(7日目)】

セルへの沈着による除染係数が 10^5 であり、効果が大きいことがわかる。本評価では重力沈降の効果のみ考慮しており、静的に閉じ込める効果や慣性沈着の効果を織り込んでおらず、これらを考慮するとさらなる低減効果が期待できる。



第 3. – 7 図 移行率の経時変化

3.3 可搬型フィルタの除染係数の設定について

引用している試験条件及び蒸発乾固、水素爆発への対処で除染係数は、フィルタ 1 段あたり 1000 を期待している可搬型フィルタの仕様は以下の通り同等であり、DF は適用可能である。

第 3.-2 表 可搬型フィルタの仕様

項目	試験条件	実機条件 (可搬型フィルタ)	考察
材質	グラスファイバー	グラスファイバー	同一の素材であり適用可能である。
サイズ	幅-高さ-奥行き: 610-610-292(mm)	幅-高さ-奥行き: 610-610-約300(mm)	同様のサイズであり適用可能である。 (実機奥行きは構造図に記載ないため構造図から推測)
耐熱温度(°C)	200	180 (連続使用最高温度)	実機条件の温度に比べて、試験条件の耐熱温度が高いことから適用可能である。
定格風量(m ³ /h)	定格風量:2,000	約2,500	風量が異なる場合でも所定の除染効率を期待できることから適用可能である。
試験温度 (°C)	25~45	50~100°C程度	試験に用いられているフィルタの最高使用温度を下回ることから適用可能である。
粒径	0.024~0.750μmで試験	エアロゾルの径は事象により異なるが、μmオーダーと想定	試験より0.13μm近辺で最もDFが低くなるが、この場合でもLPF10 ⁻³ に余裕があること、実機条件のエアロゾル径は0.13μmより大きいと想定されることから、適用可能と考える。

3.3.1 粒径について⁽⁷⁾

さまざまな粒径において除染係数 1000 を維持できている。

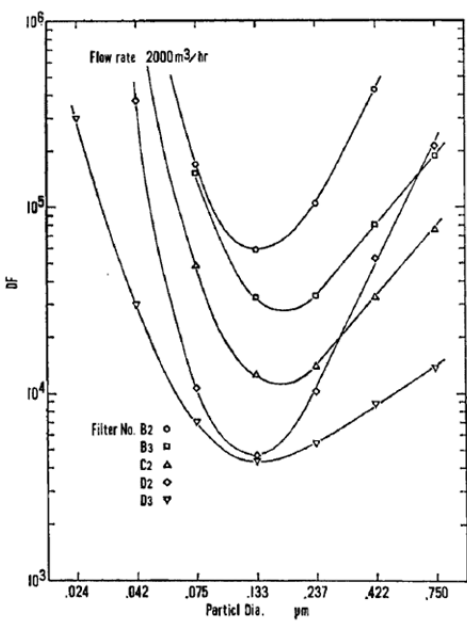


Fig. 3 Decontamination factor of HEPA filters measured by CNC/DB system

第 3. - 8 図 高性能粒子フィルタの粒径に対する除染係数

3.3.2 風量について⁽⁷⁾

さまざまな風量、粒径において除染係数 1000 を維持できている。

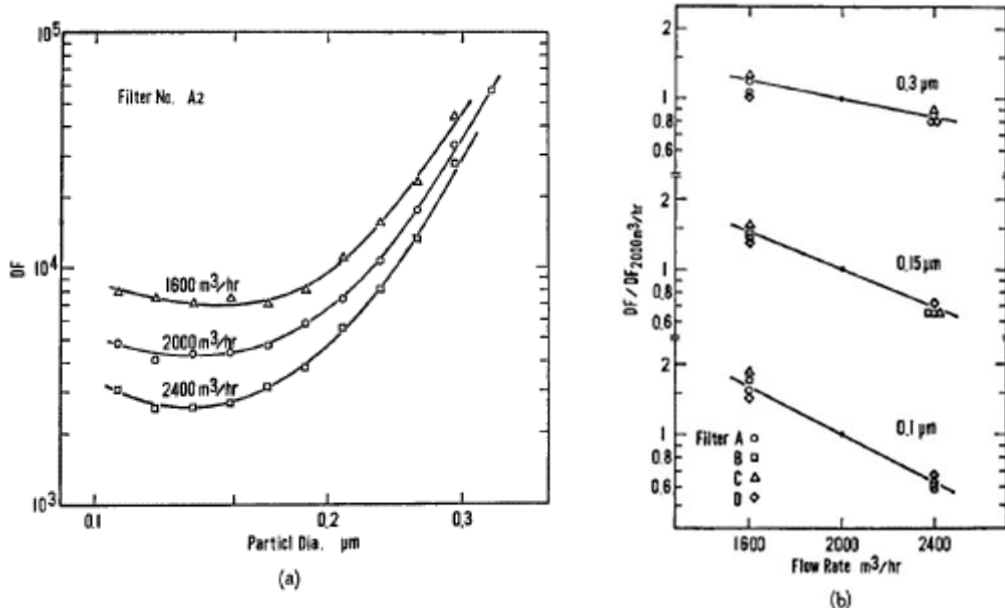


Fig. 5(a), (b) Decontamination factor of HEPA filters as function of flow rate

第 3. - 9 図 高性能粒子フィルタの粒径及び風量に対する除染係数

3.4 ミストによる可搬型フィルタへの影響検討

高レベル廃液等の沸騰に伴い発生した蒸気は、凝縮器により凝縮されるが、水素爆発対策として実施する水素掃気空気に同伴する湿分は下流側へ流出する。

凝縮器は、廃ガス出口温度が50°C以下となるような除熱能力を有する設計とすることから、セルに導出される湿分は、第3.-3表に示す50°C（飽和水蒸気量83 g / m³）の水素掃気空気に同伴する湿分となる。

また、セルに導出された水素掃気空気に同伴する湿分は、可搬型排風機により引き込まれる空気と混合する。可搬型排風機の容量を2400 m³ / h、引き込まれる空気の温度を0度（飽和水蒸気量4.9 g / m³）、湿度を75%とした場合、引き込まれる空気に同伴する湿分は8.7 kg / hになる。

さらに、温度0°Cの2400 m³ / hの空気に同伴できる湿分は11.7 kg / hであり、水素掃気空気に同伴する湿分と引き込まれる空気に同伴する湿分の合計が11.7 kg / hを超えないればミストの発生は無視することができる。第3.-3表に示すとおり、前処理建屋、分離建屋、精製建屋及びウラン・プルトニウム混合脱硝建屋については影響を無視することが出来る。

一方、高レベル廃液ガラス固化建屋については、凝縮器の除熱能力、水素掃気量及び引き込まれる空気温度設定の保守性から、高レベル廃液ガラス固化建屋においても大きな影響はないと考えられるが、蒸気発生量が多いことを考慮し、可搬型フィルタ上流にミスト除去を目的とした可搬型デミスタを設置することから、可搬型フィルタへ与える影響は無視することが出

来る。

第3.-3表 ミストによる可搬型フィルタへの影響

建屋	水素掃気空気に 同伴する 湿分 (kg / h)	2400 m ³ / h の空気に同伴 する湿分 (kg / h)	合計 (kg / h)
前処理建屋	2.6		11.3
分離建屋	2.9		11.6
精製建屋	1.3		10.0
ウラン・プルトニウム 混合脱硝建屋	0.4	8.7	9.1
高レベル 廃液ガラス固化建屋	18.3		27.0

4. 参考文献

- (1) 「再処理施設における放射性物質移行挙動に係る研究」運営管理グループ. 再処理施設における放射性物質移行挙動に係る研究報告書. 2014-02
- (2) Science Applications International. Nuclear Fuel Cycle Facility Accident Analysis Handbook. United States Nuclear Regulatory Commission, 1998-03, NUREG/CR-6410.
- (3) GENERIC PROCEDURES FOR ASSESSMENT AND RESPONSE DURING A RADIOLOGICAL EMERGENCY. IAEA, VIENNA, 2000 IAEA-TCD-1162
- (4) ICRP. Age-dependent Doses to Members of the Public from Intake of Radionuclides : Part 5 Compilation of Ingestion and Inhalation Dose Coefficients. Annals of the ICRP, ICRP Publication 72. 1996, vol. 26, no. 1.
- (5) J. D. Christian, D. T. Pence: "Critical Assessment of Method for Treating Airborne fluents from High-Level Waste Solidification Processes" PNL-2486(1977)
- (6) "Siting of fuel Reprocessing Plants and Waste Management Facilities", ORNL-4451, 1970 (P8-45～)
- (7) 尾崎誠, 金川昭. 高性能エアフィルタの苛酷時健全性試験, (I) DOP エアロゾルの捕集性能. 日本原子力学会誌. 1985, vol. 27, no. 7.

令和2年4月13日 R5

補足説明資料7－8

1. 凝縮水回収セルの漏えい液受皿等の凝縮水回収可能量について

高レベル廃液等の沸騰により発生した蒸気は、凝縮器において凝縮水となり、凝縮水回収先セルの漏えい液受皿等へ移送される。

本評価では、事態の収束までの凝縮水発生量が、凝縮水回収先セルの漏えい液受け皿等の容量を下回ることを確認する。

1.1 冷却コイル等への通水開始までの時間について

各建屋とも貯槽等への注水、塔槽類廃ガス処理設備からセルへの導出経路の構築、凝縮器による発生した蒸気及び放射性物質の除去、可搬型フィルタ及び可搬型排風機を用いた代替セル排気系による対応を優先して実施し、大気中への放射性物質の放出を抑制できる状態を整備してから、冷却コイル等への通水の作業に着手する。

冷却機能の喪失から冷却コイル等への通水開始までに要する時間は、第1.-1表に示す通りである。

第 1. - 1 表 各建屋の冷却コイル等への通水開始時間

機器グループ	冷却機能の喪失から 冷却コイル等への通 水開始までの時間
前処理建屋内部ループ 1	46 時間 15 分
前処理建屋内部ループ 2	45 時間 00 分
分離建屋内部ループ 1	25 時間 55 分
分離建屋内部ループ 2	47 時間 40 分
分離建屋内部ループ 3	65 時間 45 分
精製建屋内部ループ 1	30 時間 40 分
精製建屋内部ループ 2	37 時間 30 分
ウラン・プルトニウム混合脱硝建屋内部ループ	26 時間 20 分
高レベル廃液ガラス固化建屋内部ループ 1	37 時間 55 分
高レベル廃液ガラス固化建屋内部ループ 2	34 時間 35 分
高レベル廃液ガラス固化建屋内部ループ 3	36 時間 05 分
高レベル廃液ガラス固化建屋内部ループ 4	37 時間 35 分

1.2 冷却コイル等への通水開始までの凝縮水発生量について

凝縮水は、高レベル廃液等が沸騰し冷却コイル等への通水が開始されるまでの間で発生する。冷却コイル等への通水開始までの凝縮水発生量は、高レベル廃液等の蒸発速度から算出する。

各建屋の貯槽等の蒸発速度、沸騰までの時間余裕及び冷却コイル等への通水開始までの凝縮水発生量を第1.－2表から第1.－6表に示す。

第1.－2表 前処理建屋の貯槽等の蒸発速度、時間余裕及び凝縮水発生量

蒸発乾固 対象貯槽等	蒸発速度 (m ³ / h)	時間余裕 (h)	凝縮水 発生量 (m ³)	建屋 合計 (m ³)	凝縮水回 収先セル の漏えい 液受皿等 の容量 (m ³)
中継槽A	6.8×10^{-3}	150	—※	—※	20
中継槽B	6.8×10^{-3}	150	—※		
リサイクル槽A	2.0×10^{-3}	160	—※		
リサイクル槽B	2.0×10^{-3}	160	—※		
計量前中間貯槽A	2.5×10^{-2}	140	—※		
計量前中間貯槽B	2.5×10^{-2}	140	—※		
計量後中間貯槽	1.9×10^{-2}	190	—※		
計量・調整槽	1.9×10^{-2}	180	—※		
計量補助槽	5.3×10^{-3}	190	—※		
中間ポットA	1.3×10^{-4}	160	—※		
中間ポットB	1.3×10^{-4}	160	—※		

※ 沸騰に至る前に冷却コイル等への通水が開始されるため、凝縮水は発生しない

第1.－3表 分離建屋の貯槽等の蒸発速度、時間余裕及び凝縮水発生量

蒸発乾固 対象貯槽等	蒸発速度 (m ³ /h)	時間 余裕 (h)	凝縮水 発生量 (m ³)	建屋 合計 (m ³)	凝縮水回 収先セル の漏えい 液受皿等 の容量 (m ³)
溶解液中間貯槽	1.9×10^{-2}	180	—※	—※	22
溶解液供給槽	4.5×10^{-3}	180	—※		
抽出廃液受槽	7.1×10^{-3}	250	—※		
抽出廃液中間貯 槽	9.4×10^{-3}	250	—※		
抽出廃液供給槽 A	2.9×10^{-2}	250	—※		
抽出廃液供給槽 B	2.9×10^{-2}	250	—※		
第1一時貯留処 理槽	1.4×10^{-3}	310	—※		
第8一時貯留処 理槽	1.7×10^{-3}	310	—※		
第7一時貯留処 理槽	1.4×10^{-3}	310	—※		
第3一時貯留処 理槽	9.4×10^{-3}	250	—※		
第4一時貯留処 理槽	9.4×10^{-3}	250	—※		
第6一時貯留処 理槽	5.7×10^{-3}	330	—※		
高レベル廃液供 給槽	3.9×10^{-3}	720	—※		
高レベル廃液濃 縮缶	1.3×10^{-1}	15	1.4	1.4	27

※ 沸騰に至る前に冷却コイル等への通水が開始されるため、凝縮水は発生

しない

第1.-4表 精製建屋の貯槽等の蒸発速度、時間余裕及び凝縮水発生量

蒸発乾固 対象貯槽等	蒸発速度 (m ³ /h)	時間 余裕 (h)	凝縮水 発生量 (m ³)	建屋 合計 (m ³)	凝縮水回 収先セル の漏えい 液受皿等 の容量 (m ³)
プルトニウム溶液 受槽	1.4×10^{-3}	110	—※	2.1	5.3
油水分離槽	1.4×10^{-3}	110	—※		
プルトニウム濃縮 缶供給槽	4.6×10^{-3}	96	—※		
プルトニウム溶液 一時貯槽	4.6×10^{-3}	98	—※		
プルトニウム濃縮 液受槽	1.4×10^{-2}	12	2.6×10^{-1}		
リサイクル槽	1.4×10^{-2}	12	2.6×10^{-1}		
希釈槽	3.5×10^{-2}	11	6.7×10^{-1}		
プルトニウム濃縮 液一時貯槽	2.1×10^{-2}	11	4.1×10^{-1}		
プルトニウム濃縮 液計量槽	1.4×10^{-2}	12	2.6×10^{-1}		
プルトニウム濃縮 液中間貯槽	1.4×10^{-2}	12	2.6×10^{-1}		
第1 一時貯留処 理槽	2.3×10^{-3}	100	—※		
第2 一時貯留処 理槽	2.3×10^{-3}	100	—※		
第3 一時貯留処 理槽	4.6×10^{-3}	96	—※		

※ 沸騰に至る前に冷却コイル等への通水が開始されるため、凝縮水は発生しない

第1.－5表 ウラン・プルトニウム混合脱硝建屋の貯槽等の
蒸発速度、時間余裕及び凝縮水発生量

蒸発乾固 対象貯槽等	蒸発速度 (m ³ /h)	時間 余裕 (h)	凝縮水 発生量 (m ³)	建屋 合計 (m ³)	凝縮水回 収先セル の漏えい 液受皿等 の容量 (m ³)
硝酸プルトニウム貯槽	1.4×10^{-2}	19	0.11	0.11	17
混合槽A	8.6×10^{-3}	30	—※1		
混合槽B	8.6×10^{-3}	30	—※1		
一時貯槽	1.4×10^{-2}	19	—※2		

※1 沸騰に至る前に冷却コイル等への通水が開始されるため、凝縮水は発生しない

※2 平常時は他の貯槽等の内包液を受け入れることができるよう、空き容量を確保している。

第1. - 6表 高レベル廃液ガラス固化建屋の貯槽等の
蒸発速度、時間余裕及び凝縮水発生量

蒸発乾固 対象貯槽等	蒸発速度 (m ³ /h)	時間余裕 (h)	凝縮水 発生量 (m ³)	建屋 合計 (m ³)	凝縮水回 収先セル の漏えい 液受皿等 の容量 (m ³)
第1高レベル濃縮廃液貯槽	6.3×10^{-1}	24	6.3	23	1300
第2高レベル濃縮廃液貯槽	6.3×10^{-1}	24	7.2		
第1高レベル濃縮廃液一時貯槽	1.5×10^{-1}	23	2.2		
第2高レベル濃縮廃液一時貯槽	1.5×10^{-1}	23	2.2		
高レベル廃液 共用貯槽	6.3×10^{-1}	24	-※		
高レベル廃液混合槽A	1.2×10^{-1}	23	1.8		
高レベル廃液 混合槽B	1.2×10^{-1}	23	1.8		
供給液槽A	3.0×10^{-2}	24	4.0×10^{-1}		
供給液槽B	3.0×10^{-2}	24	4.0×10^{-1}		
供給槽A	1.2×10^{-2}	24	1.6×10^{-1}		
供給槽B	1.2×10^{-2}	24	1.6×10^{-1}		

※ 平常時は他の貯槽等の内包液を受け入れることができるよう、空き容量を確保している。

令和2年4月28日 R4

補足説明資料 7-9

1. 貯槽等への注水による高レベル廃液等の温度への影響について

1.1 概要

貯槽等への注水は、高レベル廃液等の沸騰後に行う対策であり、注水による温度低下がどの程度、高レベル廃液等の状態に影響を与えるか検討を行う。

1.2 貯槽等への注水による高レベル廃液等の温度低下への寄与

貯槽等への注水により高レベル廃液等の温度を沸点未満に下げるためには、注水により投入される水が沸点に至るまでの熱量（顯熱）が、高レベル廃液等が有する自己崩壊熱より大きい必要があり、蒸発速度の約8倍以上の注水速度で注水しなければ、沸騰を抑制するほどの温度低下に寄与しない。

① 高レベル廃液等の発熱量 Q_1 (J/s)

$$= \text{発熱密度 } g \text{ (W/m}^3\text{)} \times \text{体積 } V \text{ (m}^3\text{)}$$

② 注水分の温度上昇に必要な熱量 Q_2 (J/s)

$$= M \text{ (kg/s)} \times C \text{ (J/kg · K)} \times \Delta t \text{ (K)}$$

蒸発速度 M (kg/s) : 注水速度 (kg/s) と等しいものとする。

水の比熱 C (J/kg · K) : 4180 (J/kg · K) (水30°Cのとき)

温度上昇 Δt (K) : 71K (29°Cから100°Cまで)

③ 蒸発速度 M (kg/s) = $\frac{\text{①高レベル廃液等の発熱量 } Q_1 \text{ (J/s)}}{\text{水の蒸発潜熱 } J \text{ (J/kg)}}$

水の蒸発潜熱 J : 2257 k J/kg (= 2257000 J/kg)

①②③より

$$\text{④ } Q_2 \text{ (J/s)} = \frac{g \text{ (W/m}^3\text{)} \times V \text{ (m}^3\text{)}}{J \text{ (J/kg)}} \times C \text{ (J/kg · K)} \times \Delta t \text{ (K)}$$

①と④を比較すると

$$\frac{Q_1 \text{ (J/s)}}{Q_2 \text{ (J/s)}} = \frac{J \text{ (J/kg)}}{C \text{ (J/kg · K)} \times \Delta t \text{ (K)}} = \frac{2257000 \text{ (J/kg)}}{4180 \text{ (J/kg · K)} \times 71 \text{ (K)}} = 7.6049 \dots$$

Q_1/Q_2 は定数で求められるため、高レベル廃液等(崩壊熱密度)によらず一定である。また、 Q_2 が Q_1 を上回らないため、温度低下にはほとんど

寄与しない。

第1.－1表 各建屋の計算結果

建屋	建屋	機器名	崩壊熱密度 (W/m ²)	溶液体積 (m ³)	崩壊熱量 (J/s) Q1	蒸発速度 (kg/s) M	水の比熱 (J/kgK) C	水の上昇温度 71K(29→100°C) Δt	注水した水を沸騰させる のに必要な熱量(J/s) Q2	Q1/Q2
AA	前処理建屋	中継槽A/B	600	7	4200	1.86E-03	4180	71	552	7.6
AA		リサイクル槽A/B	600	2	1200	5.32E-04	4180	71	158	7.6
AA		不溶解残渣回収槽A/B	3.3	5	16.5	7.31E-06	4180	71	2	7.6
AA		計量前中間貯槽A/B	600	25	15000	6.65E-03	4180	71	1972	7.6
AA		計量後中間貯槽	460	25	11500	5.10E-03	4180	71	1512	7.6
AA		計量・調整槽	460	25	11500	5.10E-03	4180	71	1512	7.6
AA		計量補助槽	460	7	3220	1.43E-03	4180	71	423	7.6
AA		中間ボトムA/B	■■■	■■■	■■■	3.46E-05	4180	71	10	7.6
AB		溶解液中間貯槽	460	25	11500	5.10E-03	4180	71	1512	7.6
AB		溶解液供給槽	460	6	2760	1.22E-03	4180	71	363	7.6
AB	分離建屋	抽出廃液受槽	290	15	4350	1.93E-03	4180	71	572	7.6
AB		抽出廃液中間貯槽	290	20	5800	2.57E-03	4180	71	763	7.6
AB		抽出廃液供給槽A	290	60	17400	7.71E-03	4180	71	2288	7.6
AB		抽出廃液供給槽B	290	60	17400	7.71E-03	4180	71	2288	7.6
AB		第1一時貯留処理槽	290	3	870	3.85E-04	4180	71	114	7.6
AB		第2一時貯留処理槽	■■■	■■■	■■■	4.63E-04	4180	71	137	7.6
AB		第3一時貯留処理槽	■■■	■■■	■■■	3.60E-04	4180	71	107	7.6
AB		第4一時貯留処理槽	290	20	5800	2.57E-03	4180	71	763	7.6
AB		第5一時貯留処理槽	290	20	5800	2.57E-03	4180	71	763	7.6
AB		高レベル廃液供給槽A	120	20	2400	1.06E-03	4180	71	46	7.6
AB	精製建屋	高レベル廃液濃縮缶A	3600	22	79200	3.51E-02	4180	71	316	7.6
AC		ブルートニウム溶液受槽	■■■	■■■	■■■	3.71E-04	4180	71	110	7.6
AC		油水分離槽	■■■	■■■	■■■	3.71E-04	4180	71	110	7.6
AC		ブルートニウム濃縮缶供給槽	930	3	2790	1.24E-03	4180	71	367	7.6
AC		ブルートニウム溶液一時貯槽	930	3	2790	1.24E-03	4180	71	367	7.6
AC		ブルートニウム濃縮液受槽	8600	1	8600	3.81E-03	4180	71	1131	7.6
AC		リサイクル槽	8600	1	8600	3.81E-03	4180	71	1131	7.6
AC		希釈槽	8600	2.5	21500	9.53E-03	4180	71	2827	7.6
AC		ブルートニウム濃縮液一時貯槽	8600	1.5	12900	5.72E-03	4180	71	1696	7.6
AC		ブルートニウム濃縮液計量槽	8600	1	8600	3.81E-03	4180	71	1131	7.6
AC	ウラン・ブルトニウム混合脱硝建屋	ブルートニウム濃縮液中間貯槽	8600	1	8600	3.81E-03	4180	71	1131	7.6
AC		第1一時貯留処理槽	930	1.5	1395	6.18E-04	4180	71	183	7.6
AC		第2一時貯留処理槽	930	1.5	1395	6.18E-04	4180	71	183	7.6
AC		第3一時貯留処理槽	930	3	2790	1.24E-03	4180	71	367	7.6
CA		硝酸ブルトニウム貯槽	8600	1	8600	3.81E-03	4180	71	1131	7.6
CA		混合槽A	5300	1	5300	2.35E-03	4180	71	697	7.6
CA		混合槽B	5300	1	5300	2.35E-03	4180	71	697	7.6
CA		一時貯槽	8600	1	8600	3.81E-03	4180	71	1131	7.6
KA	高レベル廃液ガラス固化建屋	第1,第2高レベル濃縮廃液貯槽	3200	120	384000	1.70E-01	4180	71	50493	7.6
KA		第1,第2高レベル濃縮廃液一時貯槽	3600	25	90000	3.99E-02	4180	71	11834	7.6
KA		高レベル廃液共用貯槽	3200	120	384000	1.70E-01	4180	71	50493	7.6
KA		高レベル廃液混合槽A, B	3600	20	72000	3.19E-02	4180	71	9468	7.6
KA		供給槽A, B	3600	5	18000	7.98E-03	4180	71	2367	7.6
KA		供給槽A, B	3600	2	7200	3.19E-03	4180	71	947	7.6
KA		第1,第2不溶解残渣廃液一時貯槽	3.3	5	16.5	7.31E-06	4180	71	2	7.6
KA		第1,第2不溶解残渣廃液貯槽	1.5	70	105	4.65E-05	4180	71	14	7.6

■については商業機密の観点から公開できません。

令和2年7月13日 R3

補足説明資料7－12

	流量計		手動弁
	可搬型接続金具等		(破線) 本設備以外の設備
	可搬型中型移送ポンプ (水中ポンプ)		可搬型建屋外ホース

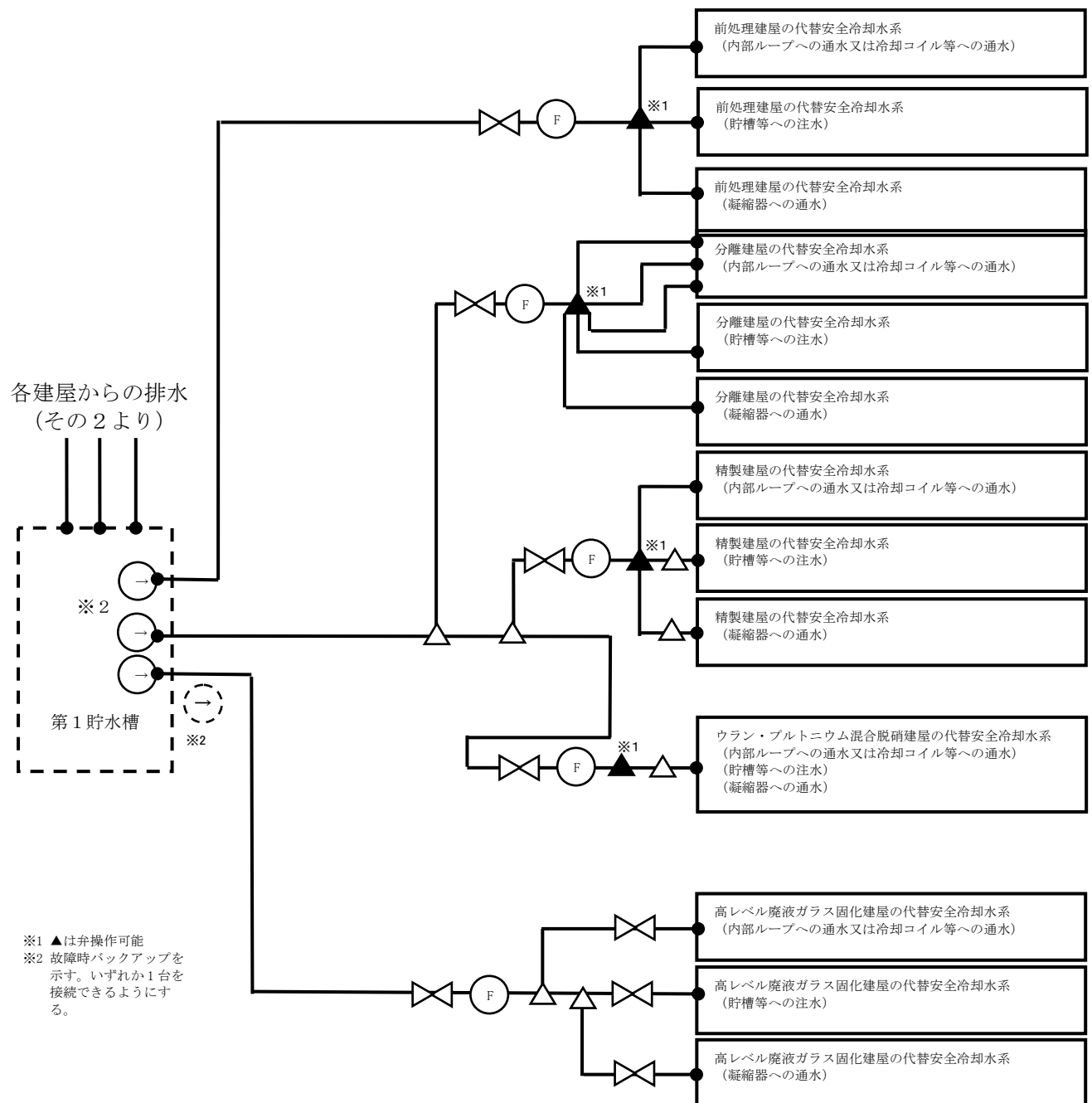


図 1 冷却機能の喪失による蒸発乾固に対処するための代替安全冷却水系の系統概要図 屋外 (その1)

	流量計		手動弁
	可搬型接続金具等		本設備以外の設備
	可搬型中型移送ポンプ (水中ポンプ)		可搬型建屋外ホース

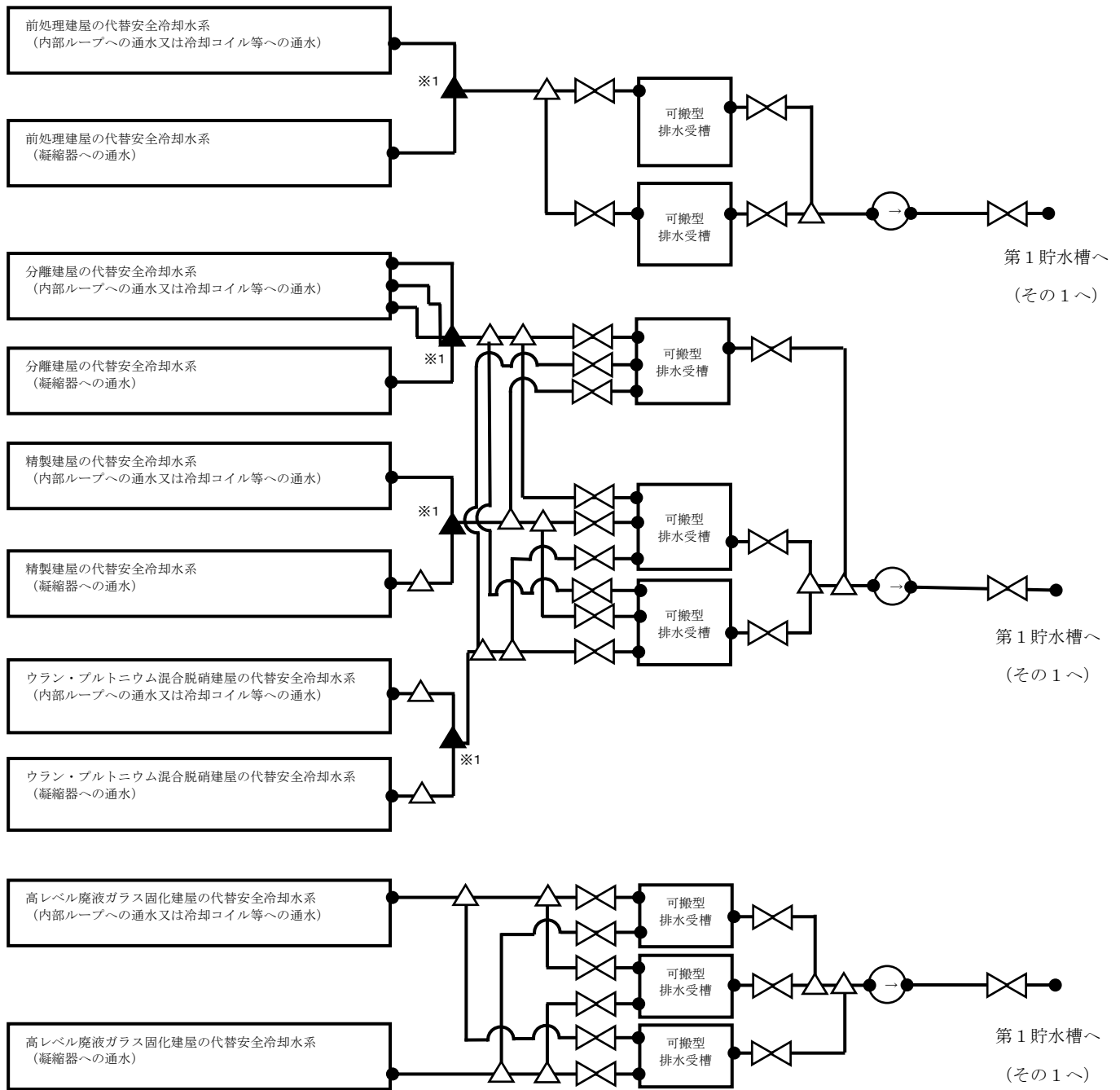
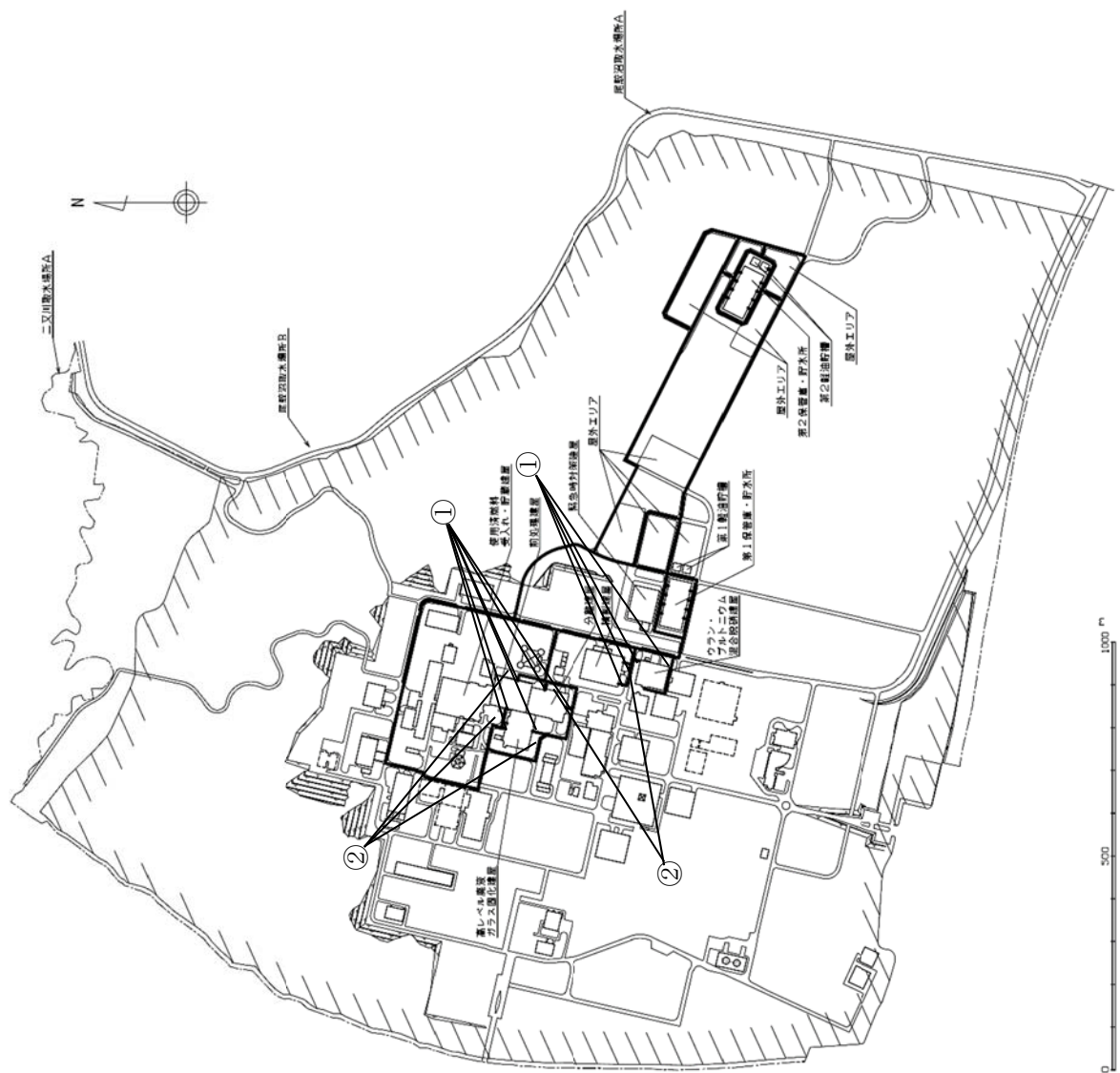
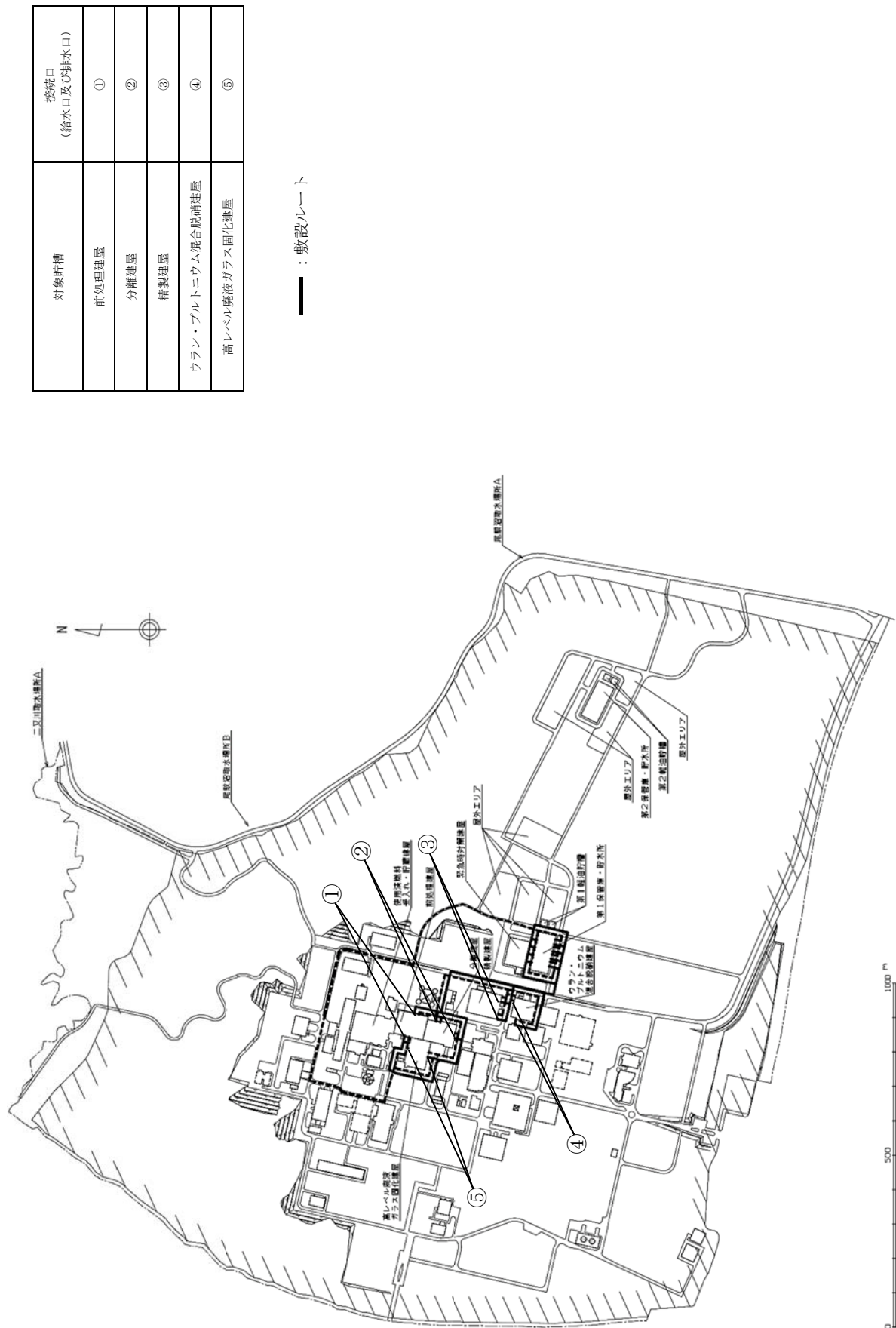


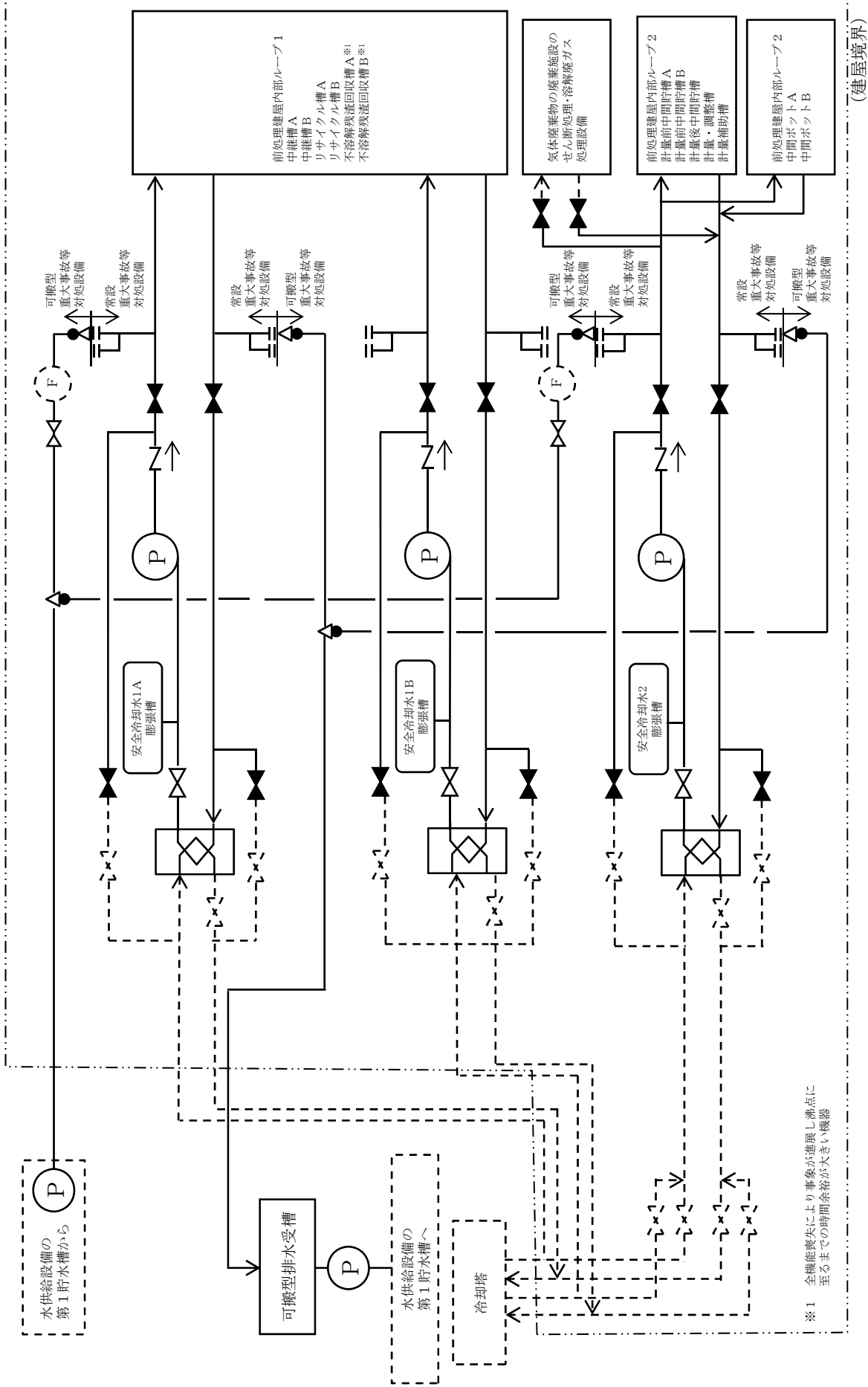
図1 冷却機能の喪失による蒸発乾固に対処するための
代替安全冷却水系の系統概要図 屋外 (その2)

冷却機能の喪失による蒸発乾固に對処するためのアクセルート 屋外

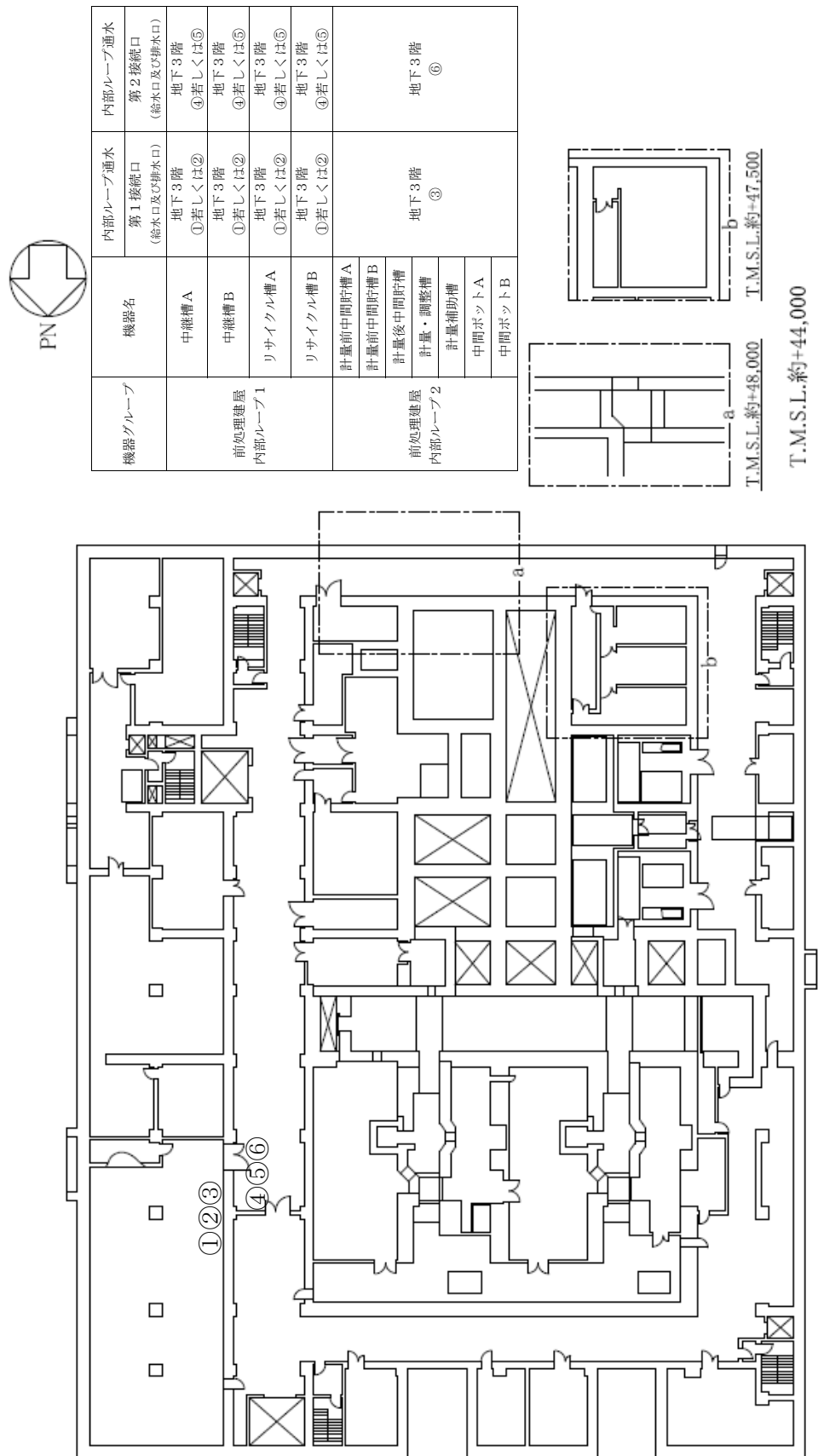


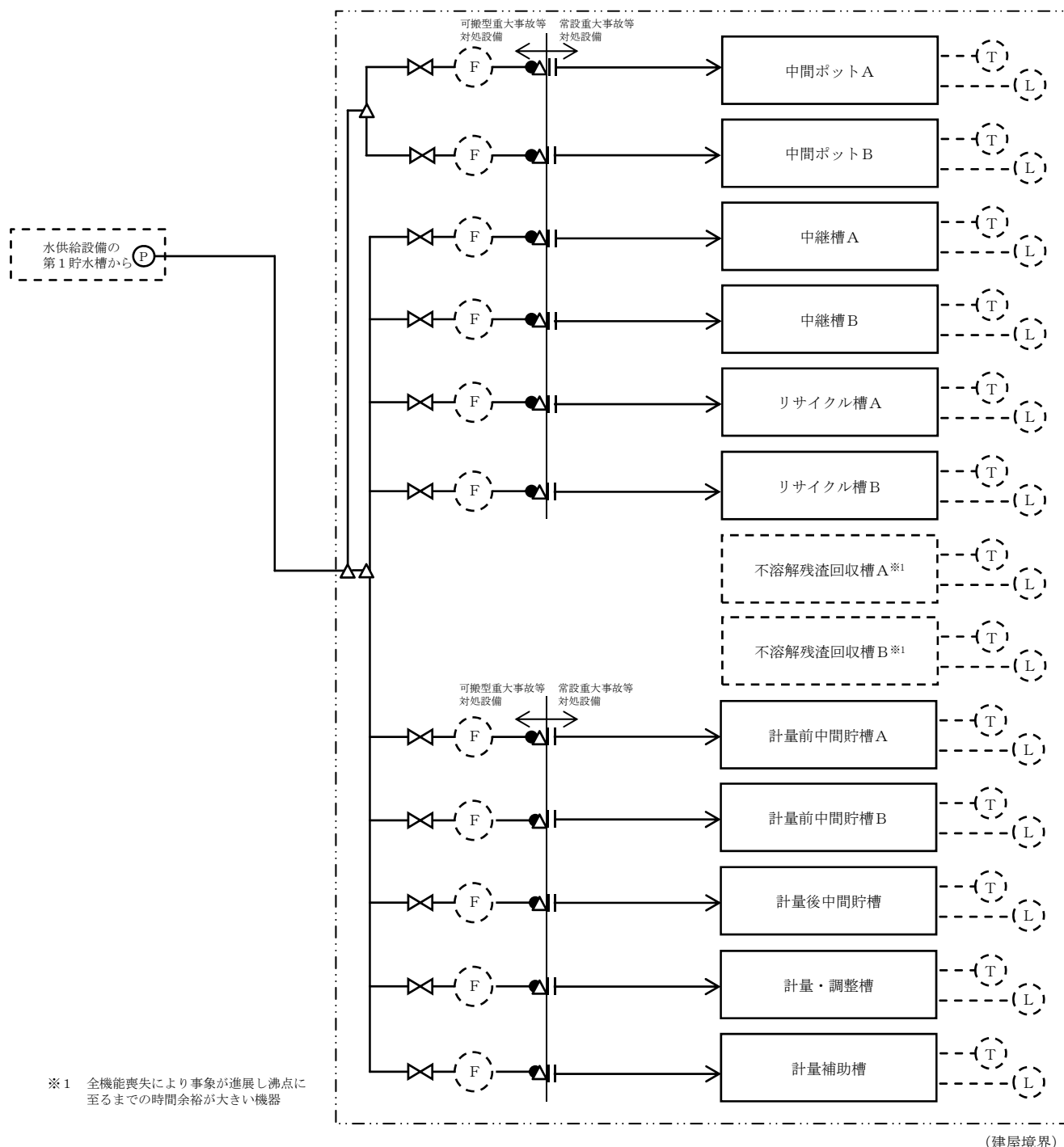
冷却機能の喪失による蒸発乾固に對処するためのホース敷設ルート 建屋外





代替安全冷却水系（内部ループへの通水による冷却）の通水接続口配置図及び接続口一覧 前処理建屋（地下3階）



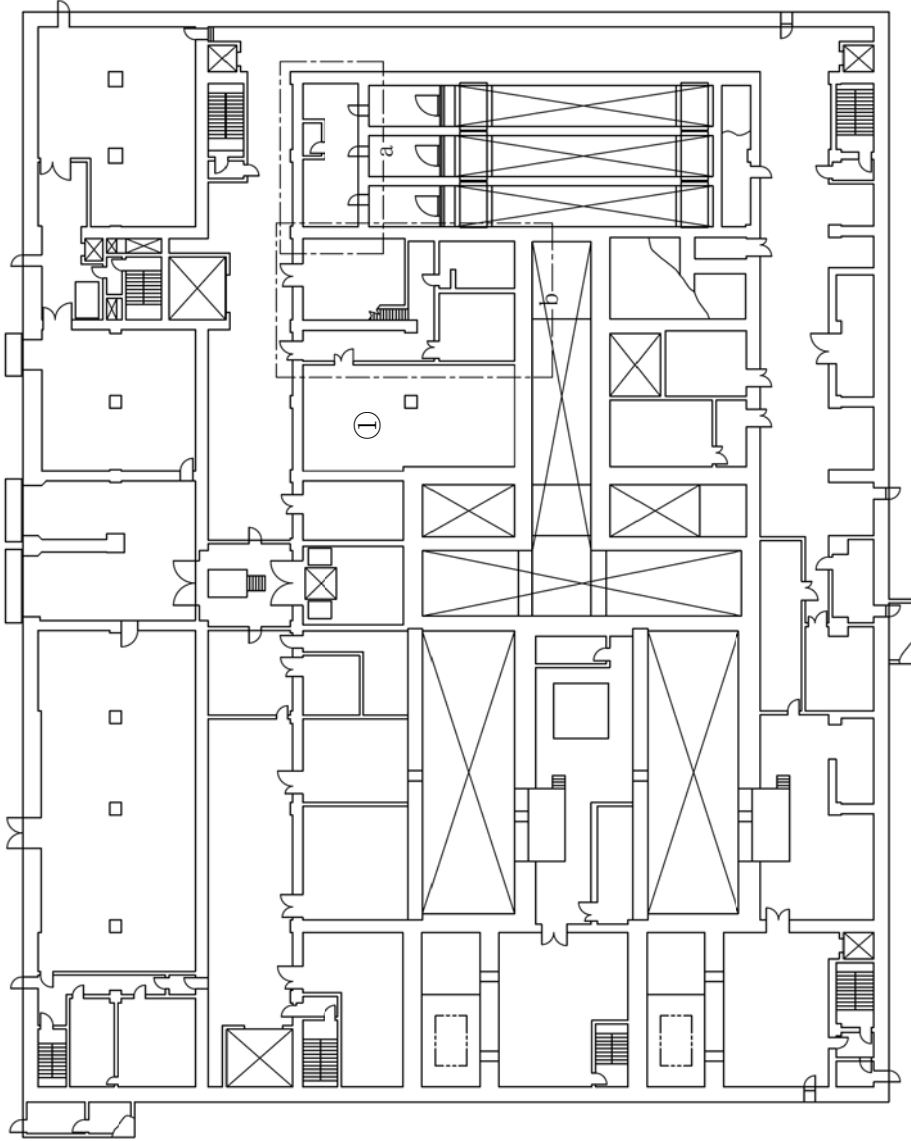


本図は、第1接続口に接続した場合の例である。接続口毎に機器注水配管が異なるため、第2接続口から第4接続口に接続する場合は系統構成が異なる。また接続金具等の個数及び位置についても、ホース敷設ルートごとになる。

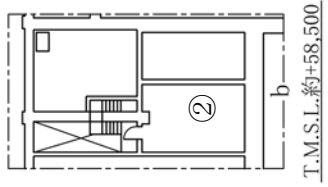
蒸発乾固の拡大防止対策（貯槽等への注水）の系統概要図 前処理建屋



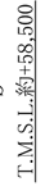
PN



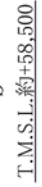
機器グループ	機器名	貯槽等注水	貯槽等注水	貯槽等注水	貯槽等注水
前処理棧橋 内部ループ1	中継槽A	地上1階①	地上3階④	地上1階①	地上1階①
	中継槽B	地上1階①	地上3階③	地上1階①	地上1階①
	リサイクル槽A	地上1階①	地上3階④	地上1階①	地上1階②
	リサイクル槽B	地上1階①	地上3階④	地上1階①	地上1階②
計量前中継槽A	地上1階①	地上3階④	地上1階②	地上1階①	
計量前中継槽B	地上1階①	地上3階④	地上1階②	地上1階①	
計量後中継槽	地上1階①	地上3階③	地上1階②	地上1階①	
計量 調整槽	地上1階①	地上3階④	地上1階②	地上1階①	
計量補助槽	地上1階①	地上3階④	地上1階②	地上1階①	
中间ポントA	地上3階③	地上3階④	地上3階⑤	地上3階⑥	
中间ポントB	地上3階②	地上3階④	地上3階⑤	地上3階⑥	



T.M.S.L.+55,500



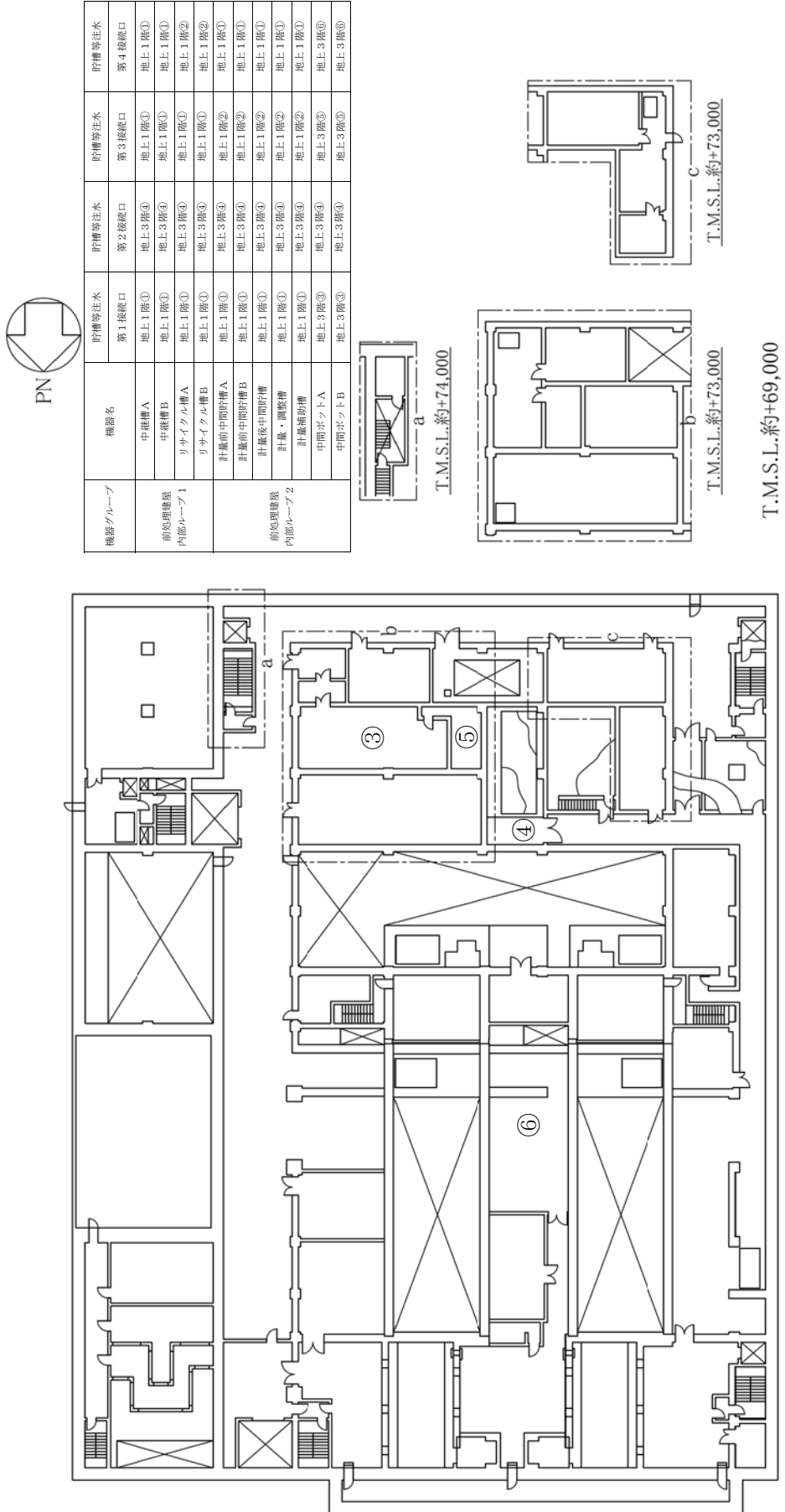
T.M.S.L.約+58,000

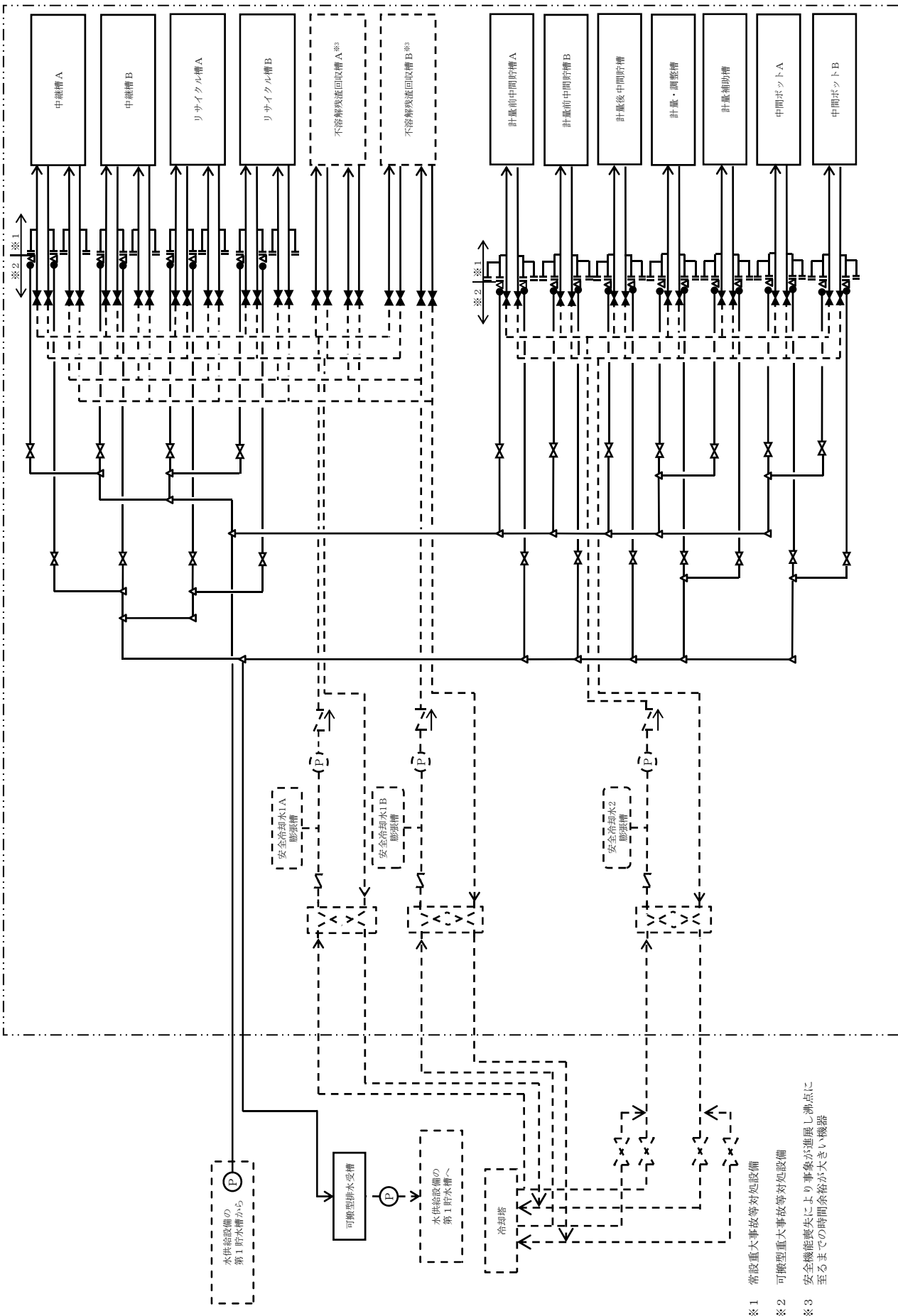


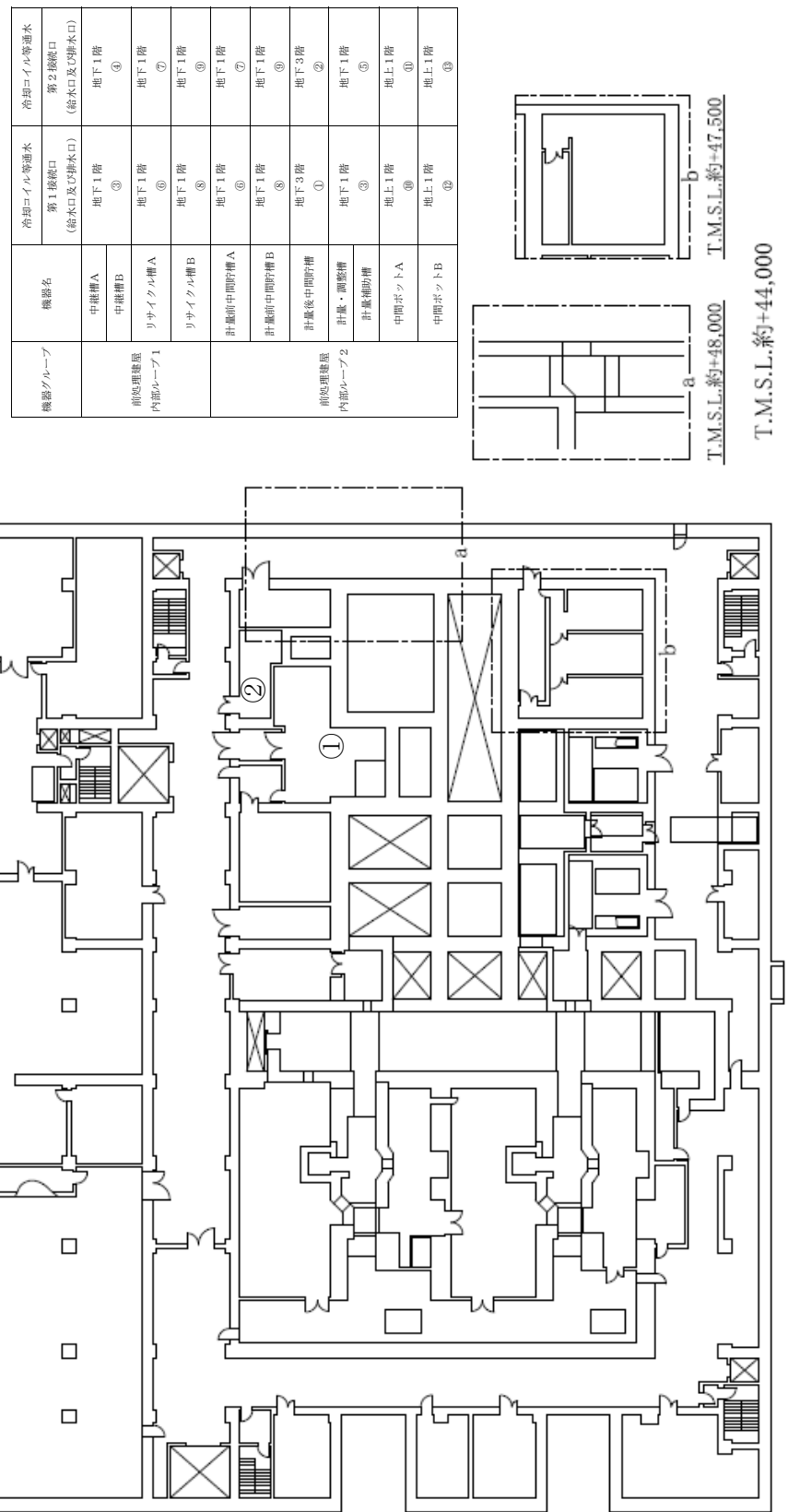
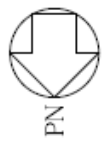
T.M.S.L.約+58,500

代替安全冷却水系（貯槽等への注水）の注水接続口配置図及び接続口一覧 前処理建屋（地上1階）

代替安全冷却水系（貯槽等への注水）の注水接続口配置図及び接続口一覧 前処理建屋（地上3階）



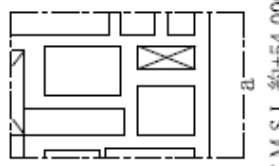




代替安全冷却水系（冷却コイル等への通水による冷却）の通水接続口配置図及び接続口一覧 前処理建屋（地下3階）

PN

機器グループ	機器名	冷却コイル等通水	冷却コイル等通水
		第1接続口 (給水口及び排水口)	第2接続口 (給水口及び排水口)
前処理建屋 内部ループ1	中槽槽 A 中槽槽 B	地下1階 ③	地下1階 ④
	リサイクル槽A リサイクル槽B	地下1階 ⑥	地下1階 ⑦
	計量前中间貯槽A	地下1階 ⑤	地下1階 ⑦
	計量後中间貯槽B	地下1階 ⑧	地下1階 ⑨
前処理建屋 内部ループ2	計量・調整槽 計量補助槽	地下3階 ①	地下3階 ②
	中間ボットA	地上1階 ⑩	地上1階 ⑪
	中間ボットB	地上1階 ⑫	地上1階 ⑬



T.M.S.L.約+54,000

代替安全冷却水系 (冷却コイル等への通水による冷却) の通水接続口配置図及び接続口一覧 前処理建屋 (地下1階)
T.M.S.L.約+51,000

